



TUGAS AKHIR TERAPAN - RC 145501

**PERENCANAAN ULANG JALAN TOL
MOJOKERTO -KERTOSONO (MOKER) SESI II
PADA STA 8+000 - 11+000 MENGGUNAKAN
PERKERASAN KAKU METODE AASHTO 1993
DAN Pd-T-14-2003**

Eka Indriani
NRP.3114 030 007

Ahmad Faqihul Muqoddam
NRP. 3114 030 022

DOSEN PEMBIMBING
Ir. Sulchan Arifin,M.Eng
NIP. 19571119 198503 1 001

**PROGRAM STUDI DIPLOMA TIGA TEKNIK SIPIL
DEPARTEMEN TEKNIK INFRASTRUKTUR SIPIL
FAKULTAS VOKASI
INSTITUT TEKNOLOGI SEPULUH NOPEMBER
SURABAYA 201**



TUGAS AKHIR TERAPAN - RC 145501

**PERENCANAAN ULANG JALAN TOL
MOJOKERTO -KERTOSONO (MOKER) SESI II
PADA STA 8+000 - 11+000 MENGGUNAKAN
PERKERASAN KAKU METODE AASHTO 1993
DAN Pd-T-14-2003**

Eka Indriani
NRP.3114 030 007

Ahmad Faqihul Muqoddam
NRP. 3114 030 022

DOSEN PEMBIMBING
Ir. Sulchan Arifin,M.Eng
NIP. 19571119 198503 1 001

**PROGRAM STUDI DIPLOMA TIGA TEKNIK SIPIL
DEPARTEMEN TEKNIK INFRASTRUKTUR SIPIL
FAKULTAS VOKASI
INSTITUT TEKNOLOGI SEPULUH NOPEMBER
SURABAYA 2017**



FINAL PROJECT - RC 145501

**REPLANNING MOJOKERTO-KERTOSONO
(MOKER) HIGHWAY ROAD SECTION II AT STA
8+000-11+000 USING RIGID PAVEMENT
AASTHO 1993 AND Pd-T-14-2003 METHODS**

**Eka Indriani
NRP.3114 030 007**

**Ahmad Faqihul Muqoddam
NRP. 3114 030 022**

**COUNSELOR LECTURE
Ir. Sulchan Arifin,M.Eng
NIP. 19571119 198503 1 001**

**DIPLOMA III CIVIL ENGINEERING STUDY PROGRAM
INFRASTRUCTURE CIVIL ENGINEERING DEPARTMENT
FACULTY OF VOCATIONAL
SEPULUH NOPEMBER INSTITUTE OF TECHNOLOGY
SURABAYA 2017**

**PERENCANAAN ULANG JALAN TOL MOJOKERTO-KERTOSONO (MOKER) SESI II PADA STA 8+000-11+000
MENGGUNAKAN PERKERASAN KAKU METODE
AASHTO 1993 DAN Pd-T-14-2003**

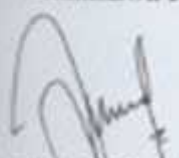
Disusun untuk mengusulkan gagasan tugas akhir terapan
sebagai salah satu syarat kelulusan pada

Diploma III Teknik Sipil
Departemen Teknik Infrastruktur Sipil
Fakultas Vokasi
Institut Teknologi Sepuluh Nopember
Surabaya

Surabaya, 18 Juli 2017

Disusun oleh :

Mahasiswa I



Eka Indriani
NRP. 3114030007

Mahasiswa II



Ahmad Faqihul M
NRP. 3114030022



19 JUL 2017

Ir. Sulchan Arifin, M.Eng
NIP. 19571119 / 98503 1 001

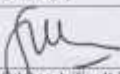


B E R I T A A C A R A
UJIAN TUGAS AKHIR TERAPAN
DEPARTEMEN TEKNIK INFRASTRUKTUR SIPIL
FAKULTAS VOKASI-ITS
PROGRAM DIPLOMA III
KONSENTRASI BANGUNAN TRANSPORTASI

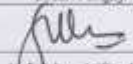
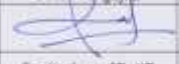
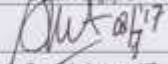
Nomor Agenda :
 0377113/IT2.VI.B.1/PP.06.00
 /2017

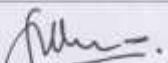
Tanggal Ujian :
 5 Juli 2017

| | | | |
|--|--|--------------|------------|
| Judul Proyek Akhir | Perencanaan Ulang Perkerasan Jalan Tol Mojokerto - Kertosono (Moker) Sesi II pada STA 8+000 - 11+000 Menggunakan Perkerasan Kaku Metode AASHTO 1993 dan Pd-T-14-2003 | | |
| Nama Mahasiswa 1 | Eka Indriani | NRP | 3110403007 |
| Nama Mahasiswa 2 | Ahmad Faqihul Muqoddam | NRP | 3114030022 |
| Dosen Pembimbing 1 NIP: 19571119 198503 1 001 | Ir. Sulchan Arifin, M.Eng | Tanda tangan | |
| Dosen Pembimbing 2 NIP: | | Tanda tangan | |

| URAIAN REVISI | Dosen Pengaji |
|--|--|
| |  Ir. Sulchan Arifin, M.Eng NIP: 19571119 198503 1 001 |
| ✓ * Cile Wang cor permencahan gradien yg merugikan ada keseluruhan. ✓ * kerangka latar port (8) untuk jalinan beton ✓ Dafar pasirnya direngah. ✓ Proporsi kelebihan yg ✓ Pan sekitar 10 cm yg tidak ada relasi pada bentuk tegak pd gbr skema ✓ Daya sikring tanah dasar → ACKD → K Ad COC ✓ Persebaran dan Arsitektur kelebihanakan pada dinding diketahui & tanpa klien dg spesifikasi yg diberikan. |  Dr. Machsus, ST, MT NIP: 19730914 200501 1 002 |
| ✓ Pan sekitar 10 cm yg tidak ada relasi pada bentuk tegak pd gbr skema ✓ Daya sikring tanah dasar → ACKD → K Ad COC ✓ Persebaran dan Arsitektur kelebihanakan pada dinding diketahui & tanpa klien dg spesifikasi yg diberikan. |  Ir. Durat Indratmo, MT NIP: 19530323 198502 1 001 |
| ✓ Pan sekitar 10 cm yg tidak ada relasi pada bentuk tegak pd gbr skema ✓ Daya sikring tanah dasar → ACKD → K Ad COC ✓ Persebaran dan Arsitektur kelebihanakan pada dinding diketahui & tanpa klien dg spesifikasi yg diberikan. | |

PERSETUJUAN HASIL REVISI

| Dosen Pengaji 1 | Dosen Pengaji 2 | Dosen Pengaji 3 | Dosen Pengaji 4 |
|--|--|---|-----------------|
|  Ir. Sulchan Arifin, M.Eng NIP: 19571119 198503 1 001 |  Dr. Machsus, ST, MT NIP: 19730914 200501 1 002 |  Ir. Durat Indratmo, MT NIP: 19530323 198502 1 001 | |

| Pembimbing 1 | Pembimbing 2 | Pembimbing 3 |
|--|--------------|--------------|
|  Ir. Sulchan Arifin, M.Eng NIP: 19641114 198903 1 001 | | |

Persetujuan Dosen Pembimbing Untuk Penjilidkan
Buku Laporan Tugas Akhir Terapan



KEMENTERIAN RISET, TEKNOLOGI, DAN PENDIDIKAN TINGGI
INSTITUT TEKNOLOGI SEPULUH NOPEMBER

FAKULTAS VOKASI
DEPARTEMEN TEKNIK INFRASTRUKTUR SIRI
Kampus ITS, Jl. Menteri Supomo 127 Surabaya 60115
Tele: 031-5947837 Fax: 031-5438025

ASISTENSI TUGAS AKHIR TERAPAN

Nama : 1 Eka Indriani 2 Agus D Taibul M
NRP : 1 314030007 2 314030012
Judul Tugas Akhir : Perencanaan dan Perkembangan Talan Tel Matokone - Kartosono (MKER) Setia Budi ITB 2000 - II tanda persetujuan perencanaan
Kakuk Metode AMPTO 1993 dan PT-T 2008.
Dosen Pembimbing : Ir. Sulistyo Atipin, M.Eng

| No | Tanggal | Tugas / Materi yang dibahas | Tanda tangan | Keterangan |
|----|-------------------|--|--------------|--|
| 1. | 14- Feby - 2009 | - Lanjutkan - Kisi metode yang ditulis - Kisi yang diberikan adalah. Yang dilengkapi | <i>Joko</i> | B C K <input checked="" type="checkbox"/> <input type="checkbox"/> <input type="checkbox"/> |
| 2. | 2 - Maret - 2009 | - Pelajaran Dasar LHK. - Pelajaran Metode AMPTO Log. - Pelajaran Lampiran & Metode Minio | <i>Joko</i> | B C K <input checked="" type="checkbox"/> <input type="checkbox"/> <input type="checkbox"/> |
| 3. | 15 - Maret - 2009 | - Contoh yang diberikan dalam sisirahan Saja, nanya tidak ditulis diambil. | <i>Joko</i> | B C K <input checked="" type="checkbox"/> <input type="checkbox"/> <input type="checkbox"/> |
| 4. | 1 - April - 2009 | - Diskusi mengenai ke AC - Lanjutkan | <i>Joko</i> | B C K <input checked="" type="checkbox"/> <input type="checkbox"/> <input type="checkbox"/> |
| 5. | 2 - April - 2009 | - Contoh detail teknisasi. Tambahkan - Metode Log. Infotainya. | <i>Joko</i> | B C K <input checked="" type="checkbox"/> <input type="checkbox"/> <input type="checkbox"/> |

- SEL.
 B. > Lanjut keper dari penulis
 C. > Bukan dengan penulis
 K. > Terkenal dari penulis



KEMENTERIAN RISET, TEKNOLOGI, DAN PENDIDIKAN TINGGI

MANAGERS, FERNSIDE, BAY, BISHOP'S
WATER, ENGLAND, IN NOVEMBER

FAKULTAS VOKASI

DEPARTEMEN TEKNIK INFRASTRUKTUR BIPM

Kampus ITB - Jl. Merdeka 127 Bandung 40111

Telp. 031-56478337 Fax. 031-56386

www.english-test.net

ASISTENSI TUGAS AKHIR TERAPAN

Name

11 Eka Lembiran

2. 算卦与占卜的例子

四〇〇

3. Atoms & Elements

2 项目管理与设计

Judul Tugas Akhir

• Рекомендовано Учителем Задачи по Математике

Kortelano (MÖKÖ) 1818 p. Pato STA 87000- STA 87000
Mönkijän aikaa. Tarkkuus 1000 m. Aamulla 1952.

Dosen Pembimbing

Jr. Bricham, Anna, M. S.

10

- Laiuhi sajatuksid jaotuvad
 - Eeskuju sajatuksid jaotuvad
 - Täitvustusid sajatuksid jaotuvad

**PERENCANAAN ULANG JALAN TOL
MOJOKERTO-KERTOSONO (MOKER) SESI II
PADA STA 8+000-11+000 MENGGUNAKAN
PERKERASAN KAKU METODE AASHTO 1993 DAN
Pd-T-14-2003**

Disusun Oleh :

Nama Mahasiswa : Eka Indriani
NRP : 3114030007
Jurusan : Departemen Teknik Infrastruktur
Sipil – Fakultas Vokasi – ITS

Nama Mahasiswa : Ahmad Faqihul Muqoddam
NRP : 3114030022
Jurusan : Departemen Teknik Infrastruktur
Sipil – Fakultas Vokasi – ITS

Dosen Pembimbing : Ir. Sulchan Arifin,M.Eng
NIP : 19571119 198503 1 001

ABSTRAK

Jalan merupakan salah satu sarana penghubung darat yang mempunyai peranan penting dalam kehidupan manusia baik dalam ekonomi maupun sosial. Disisi lain pertumbuhan penduduk setiap tahunnya semakin meningkat, maka jalan mempunyai peranan penting untuk memenuhi kebutuhan-kebutuhan masyarakat baik sebagai akses perekonomian maupun sosial. Dalam perencanaan jalan kenyamanan dan keamanan jalan merupakan hal terpenting. Seperti pada perencanaan jalan Tol Mojokerto-Kertosono.

Rencana pembangunan Jalan Tol Kertosono-Mojokerto (MOKER) merupakan program pemerintah untuk mengatasi pertumbuhan lalu lintas di kabupaten Mojokerto dan kabupaten Jombang yang mana Jalan Tol ini akan terhubung dengan Jalan

Tol Surabaya- Mojokerto. Pada tugas akhir ini, perencanaan jalan tol MOKER dibatasi pada Sesi II STA 8+000-11+000.

Perencanaan jalan tol memiliki beberapa tahapan yaitu pengumpulan data-data yang dibutuhkan, mengolah data lalu lintas, analisa geometrik, perencanaan tebal pekerasan jalan menggunakan metode AASTHO 1993 dan Pd-T-14-2003, perencanaan sambungan, perencanaan drainase dan gambar rencana. Hasil penghitungan perencanaan jalan Tol MOKER Sesi II STA 8+000 – 11+000 untuk analisa kapasitas jalan memenuhi persyaratan yaitu pada awal tahun rencana **DS = 0,15** dan akhir umur rencana **DS= 0,84** dengan **syarat DS < 0,85**. Analisa geometrik jalan untuk alinyemen horizontal memenuhi syarat yaitu **R_{rencana} = 6000 m > R_{min} = 365 m** dan **Lc < 2 Tc**. Sedangkan alinyemen vertikal memiliki kelandaian maksimal 3% (datar) maka untuk kelandaian <5% diasumsikan **tidak terjadi lengkung cembung maupun lengkung cekung**. Hasil perencanaan tebal perkerasaan untuk **metode AASTHO 1993 sebesar 300 mm** dan metode **Pd-T-14-2003 sebesar 260 mm**. **Perbedaan perencanaan** metode AASTHO 1993 dan Pd-T-14-2003 yaitu pada **hitungan lalu lintas rencana, spesifikasi Jenis Kendaraan, parameter desain tebal perkerasan, tingkat perencanaan, analisa penerimaan desain, dan kondisi drainase**. Tebal perkerasaan metode Pd-T-14-2003 sebagai acuan perencanaan sambungan. Dimensi perencanaan **drainase tepi** menggunakan **tipe persegi** dengan **dimensi b= 1 m; h= 1 m**, **drainase tengah** menggunakan **tipe persegi** dengan **b= 0,5; h= 0,6**.

Total biaya yang dibutuhkan pada jalan Tol MOKER Sesi II STA 8+000 – 11+000 dengan acuan HSPK Mojokerto 2016 dan tebal perkerasan terpilih yaitu metode Pd-T-14-2003 dengan tebal perkerasan 290 mm sebesar **Rp. 87.011.114.545,76**.

Kata kunci : Tol MOKER, Metode AASTHO 1993, Metode Pd-T-14-2003, Tebal Perkerasan

**REPLANNING MOJOKERTO-KERTOSONO
(MOKER) HIGHWAY ROAD SECTION II AT STA
8+000-11+000 USING RIGID PAVEMENT AASTHO
1993 AND Pd-T-14-2003 METHODS**

Composed By :

| | |
|--------------------------|---|
| 1' Name Student | : Eka Indriani |
| NRP | : 3114030007 |
| Study Program | : Infrastructure Civil Engineering Departments – Faculty of Vocational – ITS |
| | |
| 1' Name Student | : Ahmad Faqihul Muqoddam |
| NRP | : 3114030091 |
| Study Program | : Infrastructure Civil Engineering Departments – Faculty of Vocational – ITS |
| | |
| Counselor Lecture | : Ir. Sulchan Arifin., M.Eng |
| NIP | :NIP. 19571119 198503 1 001 |

ABSTRACT

Road is one of the land connector facility that has an important role in human's life, for economy's life as good as for social's life. On the other hand, population growth for every year is increased, so the road has an important role for fulfilling the need of people, for economy's access as well as social. On the planning of road, comfort and safety are very important. Just like the planning of Mojokerto-Kertosono Highway road.

The plan of building the Mojokerto-Kertosono (MOKER) Highway is the government's program to resolve the traffic growth's of the kabupaten Mojokerto and kabupaten Jombang which is this highway will connected to Surabaya-Mojokerto

Highway. In this final project, the planning of MOKER highway is limited between Section II STA. 8+000 - 11+000.

The planning of highway has some stages that is collecting data that needed, processing the traffic data, geometric analysis, planning the thickness of the pavement using AASTHO 1993 and Pd-T-14-2003 methods, connector planning, drainage planning and the picture plan. The result of the calculation of the MOKER section II STA. 8+000 - 11+000 highway planning for road capacity analisis meet the requirement, which is the first year of planning $DS = 0,15$ and the end of life plan $DS = 0,84$ with the provision of $DS < 0,85$. The road geometric analysis for horizontal alignment meet the requirement which is $R_{rencana} = 6000 \text{ m} > R_{min} = 365 \text{ m}$ dan $Lc < 2 Tc$. While the vertical alignment has slopiness maximum 3% (flat) then for slopiness $<5\%$ assumed to not convex arcing occurs and convace either. The result of the planning thickness for AASTHO 1993 method is 300 mm and for Pd-T-14-2003 method is 260 mm. The difference calculation method between AASTHO 1993 and Pd-T-14-2003 is calculation traffic plan, vehicle specification, design pavement thickness parameter, planning level, design acceptance analysis and drainage condition. The thickness pavement of Pd-T-14-2003 method as reference to planning th connector. The planning dimention of the side drainage is using square type with $b = 1 \text{ m}$; $h = 1 \text{ m}$ dimention, as well as the middle drainage using the square type with $b = 0,5$; $h = 0,6$ dimention.

The total cost that needed on MOKER highway section II STA. 8+000 - 11+000 road with HSPK Mojokerto 2016 as reference and the selected thickness pavement method which is Pd-T-14-2003 with 290 mm thick is Rp. 87.011.114.545,76.

Keyword : MOKER highway, AASTHO 1993 method, Pd-T-14-2003 method, Pavement Thickness.

KATA PENGANTAR

Bismillahirrohmanirrohim.

Dengan mengucapkan syukur Alhamdulillah kepada Allah SWT atas segala Rahmat dan Ridho-Nya yang diberikan kepada umat-Nya, sehingga kami dapat menyelesaikan Proposal Tugas Akhir yang berjudul “Perencanaan Ulang Jalan Tol Mojokerto-Kertosono (MOKER) Sesi II pada STA 8+000-11+000 Menggunakan Perkerasan Kaku Metode AASTHO 1993 dan Pd-T-14-2003”.

Proposal Tugas Akhir merupakan salah satu syarat akademik yang harus ditempuh mahasiswa untuk menyelesaikan pendidikan di Departemen Teknik Infrastruktur Sipil Institut Teknologi Sepuluh Nopember Surabaya.

Proposal Tugas Akhir ini dapat tersusun dan terselesaikan berkat bantuan dan bimbingan dari berbagai pihak, untuk itu pada kesempatan ini kami mengucapkan terima kasih kepada semua pihak yang telah membantu dalam penyusunan Tugas Akhir Terapan ini. Ucapan terima kasih kami sampaikan kepada yang terhormat:

1. Bapak Ir. Sulchan Arifien M.Eng selaku dosen pembimbing dalam Tugas Akhir Terapan ini.
2. Segenap Dosen dan Staf Pengajar pada program studi Diploma III.
3. Orangtua dan keluarga kami yang telah memberi dorongan baik moral maupun materil yang tak terhingga, sehingga kami dapat menyelesaikan Tugas Akhir Terapan ini.
4. Rekan – rekan mahasiswa jurusan Departemen Teknik Infrastruktur Sipil ITS Surabaya khususnya kelas BT’14 yang telah banyak membantu penyelesaian Tugas Akhir Terapan ini.

Surabaya, 12 Syawal 1438

Penulis

“Halaman ini sengaja di kosongkan”

DAFTAR ISI

| | |
|---|----------|
| ABSTRAK | i |
| ABSTRACT | iii |
| KATA PENGANTAR..... | v |
| DAFTAR ISI | vii |
| DAFTAR TABEL | xi |
| DAFTAR GAMBAR | xvii |
| BAB I PENDAHULUAN | 1 |
| 1.1 Latar Belakang | 1 |
| 1.2 Rumusan Masalah | 2 |
| 1.3 Batasan Masalah..... | 3 |
| 1.4 Tujuan..... | 3 |
| 1.5 Manfaat..... | 4 |
| 1.6 Lokasi Studi..... | 5 |
| BAB II TINJAUAN PUSTAKA | 7 |
| 2.1 Jenis Perkerasan Jalan | 7 |
| 2.2 Perkerasan Kaku (<i>Rigid Pavement</i>)..... | 7 |
| 2.3 Jenis-Jenis Perkerasan Kaku (<i>Rigid Pavement</i>) | 7 |
| 2.4 Analisa Kapasitas Jalan | 8 |
| 2.4.1 Arus lalu lintas..... | 8 |
| 2.4.2 Analisa Kapasitas | 10 |
| 2.4.3 Kapasitas Dasar (C_0)..... | 10 |
| 2.4.4 Faktor Penyesuaian Lebar Jalur (FC_L) | 11 |
| 2.4.5 Faktor Penyesuaian Pemisah Arah (FC_{PA}) | 11 |
| 2.4.6 Derajat Kejemuhan (DS) | 11 |
| 2.5 Kontrol Geometrik Jalan | 12 |
| 2.5.1 Arus lalu lintas..... | 12 |
| 2.5.2 Arus lalu lintas..... | 17 |
| 2.5.3 Alinyemen Vertikal | 38 |
| 2.5.4 Koordinasi Alinyemen Horizontal dan Alinyemen Vertikal | 45 |
| 2.6 Perhitungan Perencanaan Tebal Perkerasan Kaku | 46 |
| 2.6.1 Metode Perencanaan Jalan Beton Semen PD-T-14-2003 | 46 |

| | | |
|---|---|------------|
| 2.6.2 | Metode American Associate of State Highway and Transportation Official 1993 (AASHTO 1993) | 57 |
| 2.7 | Prencanaan Drainase..... | 66 |
| 2.7.1 | Menghitung Intensitas Curah Hujan..... | 66 |
| 2.7.2 | Kurva Basis | 69 |
| 2.7.3 | Menghitung Koefisien Aliran Rata – Rata | 70 |
| 2.7.4 | Menghitung Luas Daerah Pengaliran | 71 |
| 2.7.5 | Menghitung Debit Air (Q)..... | 71 |
| 2.7.6 | Menghitung Kemiringan Saluran | 72 |
| 2.8 | Rencana Anggaran Biaya | 73 |
| BAB III METODOLOGI PELAKSANAAN | | 75 |
| 3.1 | Umum | 75 |
| 3.2 | Data yang Diperoleh..... | 75 |
| 3.2.1 | Data Primer..... | 75 |
| 3.2.2 | Data Sekunder..... | 75 |
| 3.3 | Analisa Data Metode Pd-T-14-2003..... | 76 |
| 3.4 | Analisa Data Metode AASHTO 1993 | 77 |
| 3.5 | Perencanaan Drainase..... | 79 |
| 3.6 | Gambar Rencana | 79 |
| 3.7 | Perhitungan Rencana Anggaran Biaya | 79 |
| 3.8 | Kesimpulan..... | 79 |
| BAB IV ANALISA DATA | | 89 |
| 4.1 | Umum | 89 |
| 4.2 | Pengumpulan Daten..... | 89 |
| 4.2.1 | Peta Lokasi Proyek | 89 |
| 4.2.2 | Pengumpulan data CBR Tanah..... | 89 |
| 4.2.3 | Pengumpulan data LHR..... | 91 |
| 4.2.4 | Data Perekonomian..... | 92 |
| 4.2.5 | Data Curah Hujan | 93 |
| 4.3 | Pengolahan Data..... | 94 |
| 4.3.1 | Data Curah Hujan | 94 |
| 4.3.2 | Pengolahan Data Lalin..... | 96 |
| 4.3.3 | Pengolahan Data Curah Hujan | 99 |
| BAB V PERENCANAAN STRUKTUR JALAN | | 101 |
| 5.1 | Analisa Kapasitas Rencana Jalan | 101 |

| | | |
|-------|---|-----|
| 5.1.1 | Menentukan Kapasitas Dasar (C_o)..... | 101 |
| 5.1.2 | Menentukan Faktor Penyesuaian Kapasitas Akibat Lebar Lalu Lintas (FC_L) | 104 |
| 5.1.3 | Menentukan Faktor Penyesuaian Kapasitas Akibat Pemisah Arah (FC_{PA})..... | 104 |
| 5.1.4 | Menghitung Nilai Kapasitas (C)..... | 104 |
| 5.1.5 | Menghitung Nilai Arus Total Lalu Lintas (Q)... | 104 |
| 5.1.6 | Menghitung Derajat Kejemuhan (DS)..... | 105 |
| 5.1.7 | Menghitung Kapasitas Rencana dengan 4 Lajur 2 Arah | 107 |
| 5.2 | Kontrol Geometrik Jalan | 108 |
| 5.2.1 | Penentuan Karakteristik Perencanaan Jalan | 108 |
| 5.2.2 | Alinyemen Horizontal | 109 |
| 5.2.3 | Alinyemen Vertikal | 110 |
| 5.3 | Perencanaan Tebal Perkerasan Jalan | 111 |
| 5.3.1 | Perhitungan Tebal Pondasi Bawah Minimum... | 111 |
| 5.3.2 | Kekuatan Beton Semen | 111 |
| 5.3.3 | Perencanaan Tebal Perkerasan Jalan Beton Metode SNI Pd-T-14-2003 | 111 |
| 5.3.4 | Perencanaan Tebal Perkerasan Jalan Beton Metode ASSHTO 1993 | 145 |
| 5.4 | Perbandingna Perencanaan Perkerasan Jalan Beton antara Metode SNI Pd-T-14-2003 dan ASSHTO 1993..... | 156 |
| 5.5 | Perencanaan Sambungan Perkerasan | 159 |
| 5.5.1 | Sambungan Susut Melintang (<i>Contraction Joint</i>) | 159 |
| 5.5.2 | Sambungan Memanjang Menggunakan Batang Pengikat <i>Tie Bar</i> (<i>Construction Joint</i>) | 160 |
| 5.6 | Perencanaan Saluran Tepi dan Tengah (<i>Drainase</i>) ... | 161 |
| 5.6.1 | Perencanaan Saluran Tepi | 161 |
| 5.6.2 | Perencanaan Saluran Tengah (<i>Drainase</i>) | 182 |
| 5.7 | <i>Method's Statement</i> | 192 |
| 5.7.1 | Pekerjaan Persiapan..... | 192 |
| 5.7.2 | Pekerjaan <i>Drainase</i> | 193 |
| 5.7.3 | Pekerjaan Lapisan Pondasi Agregat B | 194 |

| | | |
|----------|---------------------------------------|-----|
| 5.7.4 | Pekerjaan Lean Concrete | 195 |
| 5.7.5 | Pekerjaan Perkerasan Kaku | 195 |
| 5.7.6 | Pengecoran Bahu Dalam | 197 |
| 5.7.7 | Pekerjaan Perlengkapan Jalan | 197 |
| BAB VI | PERENCANAAN ANGGARAN BIAYA | 199 |
| 6.1 | Analisa Kapasitas Rencana Jalan | 199 |
| 6.1.1 | Volume Pekerjaan..... | 199 |
| 6.1.2 | HSPK Mojokerto 2017 | 217 |
| BAB VII | PENUTUP | 241 |
| 7.1 | KESIMPULAN | 241 |
| 7.2 | SARAN..... | 243 |
| DAFTAR | PUSTAKA..... | 245 |
| LAMPIRAN | | 247 |

DAFTAR TABEL

| | |
|---|----|
| Tabel 2. 1. Ekr untuk JBH4/2-T | 9 |
| Tabel 2. 2. Ekr untuk JBH6/2-T | 9 |
| Tabel 2. 3. Kapasitas Jalan Bebas Hambatan | 10 |
| Tabel 2. 4. Faktor Kapasitas Akibat Lebar Jalur Lalu Lintas (FC_L) | 11 |
| Tabel 2. 5. Faktor Kapasitas Akibat Pemisah Arah..... | 11 |
| Tabel 2. 6. Klasifikasi Menurut Medan Jalan..... | 12 |
| Tabel 2. 7. Tipe Alinyemen..... | 13 |
| Tabel 2. 8. Jumlah Lajur Berdasarkan Arus Lalu Lintas..... | 13 |
| Tabel 2. 9. Lebar Lajur dan Bahu Jalan Tol | 14 |
| Tabel 2. 10. Dimensi Ruang Jalan Bebas Hambatan untuk Jalan Total | 16 |
| Tabel 2. 11. Panjang Tikungan Minimum..... | 22 |
| Tabel 2. 12. Superelevasi Maksimum Berdasarkan Tata Guna Lahan dan Iklim | 23 |
| Tabel 2. 13. Jari-Jari (R) Minimum yang Dijamin Tanpa Superelevasi | 26 |
| Tabel 2. 14. Superelevasi Makasimum Berdasarkan Tata Cara Guna Lahan dan Iklim..... | 27 |
| Tabel 2. 15. Koefisien Gesek Maksimum Berdasarkan V_R | 28 |
| Tabel 2. 16. Panjang Jari-Jari Minimum | 28 |
| Tabel 2. 17. Jarak Pandang Henti (Ss) Minimum | 31 |
| Tabel 2. 18. Jarak Pandang Henti (Ss) Minimum dengan Kelandaian..... | 31 |
| Tabel 2. 19. Ls Min Berdasarkan Waktu Perjalanan..... | 33 |
| Tabel 2. 20. Ls Min berdasarkan tingkat perubahan kelandaian melintang jalan | 34 |
| Tabel 2. 21 Ls Min Berdasarkan Antisipasi Gaya Sentrifugal | 35 |
| Tabel 2. 22 Tingkat Perubahan Kelandaian Melintang Maksimum | 35 |
| Tabel 2. 23 Ls min dan Ls max berdasarkan Pergeseran lintasan (p) | 38 |
| Tabel 2. 24 Kelandaian Maksimum..... | 39 |

| | |
|--|----|
| Tabel 2. 25 Panjang Landai Kritis | 40 |
| Tabel 2. 26 Panjang Lengkung Vertikal Cembung Berdasarkan Jarak Pandang Henti | 42 |
| Tabel 2. 27 Panjang Lengkung Vertikal Cekung Berdasarkan Jarak Pandang Henti | 43 |
| Tabel 2. 28 Panjang Lenkung Vertikal Cekung berdasarkan Faktor Kenyamanan | 44 |
| Tabel 2. 29 Nilai Koefisien Gesekan (μ) | 49 |
| Tabel 2. 30 Koefisien Distribusi Kendaraan Niaga pada Lajur Rencana | 50 |
| Tabel 2. 31 Faktor Pertumbuhan lalu Lintas (R) | 50 |
| Tabel 2. 32 Faktor Keamanan Beban (F_{KB}) | 51 |
| Tabel 2. 33 Diameter Sambungan Berdasarkan Tebal Pelat Beton | 55 |
| Tabel 2. 36. Besaran Umur Rencana Berdasarkan Volume Kendaraan | 58 |
| Tabel 2. 37 Faktor Distribusi (D_L) | 59 |
| Tabel 2. 38 Tingkat Reliability (R) Untuk Bermacam –macam Klasifikasi Jalan | 61 |
| Tabel 2. 39 Nilai Standart normal deviation (Z_R) Untuk Tingkat Reliability Tertentu | 61 |
| Tabel 2. 40 Terminal Serviceability Index(P_t) | 62 |
| Tabel 2. 41 Load Transfer Coefficient (J) | 64 |
| Tabel 2. 42 Quality of drainage | 64 |
| Tabel 2. 43 Drainage coefficient (C_d) | 65 |
| Tabel 2. 44 Nilai Y_t | 67 |
| Tabel 2. 45 Tabel Y_n | 67 |
| Tabel 2. 46 Tabel S_n | 68 |
| Tabel 2. 47 Hubungan Kondisi Permukaan Dengan Koefisien Hambatan | 69 |
| Tabel 2. 48 Kecepatan Aliran Yang Diizinkan Berdasarkan Jenis Material | 69 |
| Tabel 2. 49 Hubungan Kondisi Permukaan Tanah Dan Koefisien Pengaliran | 71 |
| Tabel 2. 50 Harga n Untuk Rumus Manning | 73 |

| | |
|---|-----|
| Tabel 2. 51 Hubungan Kemiringan Saluran Samping Jalan dan Jarak Pematah Arus | 73 |
| Tabel 4. 1. Data Tes CBR tanah | 90 |
| Tabel 4. 2. Data Lalu- lintas Tahun 2009 | 91 |
| Tabel 4. 3. Laju Pertumbuhan PDRB Kab.Mojokerto Atas Dasar Harga Konstan (ADHK)..... | 92 |
| Tabel 4. 4. PDRB/kapita Kabupaten Mojokerto Atas dasar harga Konstan (ADHK) | 93 |
| Tabel 4. 5. Data Curah Hujan | 93 |
| Tabel 4. 6. Prosentase Pertumbuhan PDRB Kab. Mojokerto atas Dasar Harga Konstan 2011-2015 | 94 |
| Tabel 4. 7. Prosentase Pertumbuhan PDRB per kapita Kab.Mojokerto Atas Dasar Harga Konstan 2011-2015 | 95 |
| Tabel 4. 8. Angka Pertumbuhan Kendaraan | 95 |
| Tabel 4. 9. LHR Jalan Hingga Awal Umur Rencana | 96 |
| Tabel 4. 10. Volume Kendaraan Jalan Tol Mojokerto - Kertosono | 97 |
| Tabel 4. 11. Perhitungan Curah Hujan Per Tahun..... | 99 |
| Tabel 5. 1. Rekapitulasi Elevasi Potongan Memanjang | 101 |
| Tabel 5. 2. Perhitungan DS Tahun 2018 | 105 |
| Tabel 5. 3. Rekapitulasi DS | 105 |
| Tabel 5. 4. Beban Maksimum Kendaraan | 111 |
| Tabel 5. 5. Pembagian Beban Sumbu / As | 114 |
| Tabel 5. 6. Perhitungan Jumlah Sumbu Kendaraan Niaga Harian (JKSNH)..... | 116 |
| Tabel 5. 7. Perhitungan Sumbu Berdasarkan Jenis dan Bebannya | 117 |
| Tabel 5. 8. Perhitungan Jumlah Repetisi Sumbu..... | 118 |
| Tabel 5. 9. Analisa Fatik dan Erosi | 119 |
| Tabel 5. 10. Tabel Perhitungan ASHTO 1993 | 145 |
| Tabel 5. 11. Jenis-Jenis Kendaraan | 149 |
| Tabel 5. 12. Angka Ekivalen Sumbu Tunggal Untuk Perkerasan | 150 |
| Tabel 5. 13. Angka Ekivalen Sumbu Tandem Untuk Perkerasan Kaku | 150 |

| | |
|---|-----|
| Tabel 5. 14. Rekapitulasi Nilai Angka Ekivalen (E) | 152 |
| Tabel 5. 15. Rekapitulasi Parameter desain..... | 154 |
| Tabel 5. 16. Rekapitulasi Perencanaan Plat beton dengan Metode AASHTO 1993 | 156 |
| Tabel 5. 17. Perbandingan Perencanaan Perkerasan Jalan Beton Antar Metode ASSHTO 1993 dan SNI Pd-T-14-2003..... | 156 |
| Tabel 5. 18. Data Perencanaan Saluran Tepi..... | 162 |
| Tabel 5. 19. Data Perencanaan Saluran Tepi..... | 168 |
| Tabel 5. 20. Rekapitulasi Perhitungan Waktu Kosentrasi | 168 |
| Tabel 5. 21. Rekapitulasi Perhitungan Debit Saluran Tepi | 174 |
| Tabel 5. 22. Rekapitulasi Perhitungan Dimensi Saluran Tepi.. | 177 |
| Tabel 5. 23. Kontrol Saluran Tepi | 179 |
| Tabel 5. 24. Data Perencanaan Saluran Tengah | 186 |
| Tabel 5. 25. Rekapitulasi Perhitungan Waktu Kosentrasi | 187 |
| Tabel 5. 26. Rekapitulasi Perhitungan Debit Saluran Tengah. | 189 |
| Tabel 5. 27. Rekapitulasi Perhitungan Dimensi Saluran Tengah | 190 |
| Tabel 5. 28. Kontrol Saluran Tengah | 191 |
| Tabel 6. 1. Volume Pekerjaan Galian..... | 204 |
| Tabel 6. 2. VolumePekerjaan Pasangan Batu Kali 15/20..... | 206 |
| Tabel 6. 3. Volume Pekerjaan Plesteran..... | 208 |
| Tabel 6. 4. Rekapitulasi Rencana Anggaran Biaya | 214 |
| Tabel 6. 5. HSPK Mojokerto 2016 Pekerjaan Direksi KIT | 217 |
| Tabel 6. 6. HSPK Mojokerto 2016 Pekerjaan Papa Nama Proyek | 219 |
| Tabel 6. 7. HSPK Mojokerto 2016 Pekerjaan Lapangan..... | 221 |
| Tabel 6. 8. HSPK Mojokerto 2016 Pekerjaan Mobilisasi | 221 |
| Tabel 6. 9. HSPK Mojokerto 2016 Pekerjaan Pemasangan Seng Gelombang 2 m untuk Strock Pile) | 222 |
| Tabel 6. 10. HSPK Mojokerto 2016 Pekerjaan Lapisan Agregat B | 223 |
| Tabel 6. 11. HSPK Mojokerto 2016 Pekerjaan <i>Lean Concrete</i> | 224 |
| Tabel 6. 12. HSPK Mojokerto 2016 Pekerjaan Beton K-400 untuk Badan Jalan..... | 225 |

| | |
|--|-----|
| Tabel 6. 13. HSPK Mojokerto 2016 Pekerjaan Beton K-400 untuk Bahu Dalam..... | 227 |
| Tabel 6. 14. HSPK Mojokerto 2016 Pekerjaan <i>Joint Sealant</i> | 228 |
| Tabel 6. 15. HSPK Mojokerto 2016 Pekerjaan <i>Dowel</i> Menggunakan Tulangan Polos | 229 |
| Tabel 6. 16. HSPK Mojokerto 2016 Pekerjaan <i>Tiebar</i> menggunakan Tulangan Ulin | 230 |
| Tabel 6. 17. HSPK Mojokerto 2016 Pekerjaan <i>Wiremesh</i> | 231 |
| Tabel 6. 18. HSPK Mojokerto 2016 Pekerjaan Galian dan Penimbunan Tanah Biasa | 232 |
| Tabel 6. 19. HSPK Mojokerto 2016 Pekerjaan Batu Kali Belah 15/20 (1pc:1pp) | 233 |
| Tabel 6. 20. HSPK Mojokerto 2016 Pekerjaan Plesteran (1pc:1ps Tebal 15mm)..... | 234 |
| Tabel 6. 21. HSPK Mojokerto 2016 Pekerjaan Pelesteran 1pc:1ps Tebal 15 mm | 235 |
| Tabel 6. 22. HSPK Mojokerto 2016 Pekerjaan <i>Finishing</i> (mobilisasi)..... | 235 |
| Tabel 6. 23. Analisa Harga Satuan dan Upah..... | 236 |

“Halaman ini sengaja di kosongkan”

DAFTAR GAMBAR

| | |
|---|----|
| Gambar 1. 1 Peta Lokasi Proyek Tol MOKER seksi II STA 8+000-STA 11+000..... | 5 |
| Gambar 2. 1. Contoh Kemiringan Melintang Jalan 1 Arah pada Tiap Jalur..... | 14 |
| Gambar 2. 2. Contoh Kemiringan Melintang Jalan 1 Arah pada Tiap Jalur..... | 15 |
| Gambar 2. 3. Tipikal Rumaja, Rumija dan Ruwasja Jalan Bebas Hambatan untuk Jalan Tol..... | 17 |
| Gambar 2. 4. Tikungan <i>Full Circle</i> | 18 |
| Gambar 2. 5. Tikungan <i>Spiral-Circle-Spiral</i> | 19 |
| Gambar 2. 6. Tikungan <i>Spiral-Spiral</i> | 20 |
| Gambar 2. 7. Metode Pencapaian Superelevasi pada Tikungan.. | 24 |
| Gambar 2. 8 Pencapaian Superelevasi Pada Tikungan Tipe SCS24 | |
| Gambar 2. 9 Pencapaian superelevasi pada tikungan tipe FC | 25 |
| Gambar 2. 10 Pencapaian superelevasi pada tikungan tipe SS ... | 25 |
| Gambar 2. 11. Jarak Pandang Henti Pada Lengkung Vertikal Cembung | 29 |
| Gambar 2. 12. 13Jarak pandang henti pada lengkung vertikal cekung | 30 |
| Gambar 2. 13 Pergeseran Lintasan Pada Tikungan menggunakan Lengkung Peralihan..... | 37 |
| Gambar 2. 14 Lengkung Vertikal Cekung dan Lengkung vertikal Cembung | 38 |
| Gambar 2. 15 Jarak Pandang Henti lebih Kecil dari panjang Lengkung Vertikal Cembung | 40 |
| Gambar 2. 16 Jarak Pandang Lebih Besar dari Panjang lengkung Vertikal Cembung | 41 |
| Gambar 2. 17 Tebal perkeerasan Minumim untuk Perkerasan Beton | 48 |
| Gambar 2. 18 CBR Tanah DasarEfektif dan Tebal Pondasi | 48 |
| Gambar 2. 19. Tipikal Sambungan Memanjang..... | 53 |
| Gambar 2. 20 Ukuran Standar Penguncian Sambungan Memanjang..... | 54 |

| | |
|---|-----|
| Gambar 2. 21 Sambungan Susut Melintang Tanpa Ruji | 55 |
| Gambar 2. 22 Sambungan Susut Melintang Dengan Ruji | 55 |
| Gambar 2. 23 Sambungan Pelaksanaan yang Direncanakan dan Tidak Direncanakan Per Lajur | 56 |
| Gambar 2. 24 Sambungan Pelaksanaan yang Direncanakan dan Tidak Direncanakan Per Lajur | 57 |
| Gambar 2. 25 Kurva Basis..... | 70 |
| Gambar 3. 1. Diagram Alir Perencanaan Tugas Akhir..... | 81 |
| Gambar 3. 2. Diagram Alir Analisa Kapasitas Jalan..... | 82 |
| Gambar 3. 3. Diagram Alir Kintrol Alinyemen Horizontal..... | 83 |
| Gambar 3. 4. Diagram Alir Perencanaan Saluran Tepi | 84 |
| Gambar 3. 5. Diagram Alir Kontrol Alinyemen Vertikal..... | 85 |
| Gambar 3. 6. Diagram Alir Perencanaan Tebal Perkerasan Menggunakan Metode pd-T-14-2003..... | 87 |
| Gambar 3. 7. Diagram Alir Perencanaan Tebal Perkerasan Menggunakan ASSHTO 1993..... | 88 |
| Gambar 5. 1. Analisa Fatik dan Beban Repetisi Ijin STRT Berdasarkan Rasio Tegangan, dengan/ tanpa bahu beton | 121 |
| Gambar 5. 2. Analisa Fatik dan Beban Repetisi Ijin STRG Berdasarkan Rasio Tegangan, dengan/ tanpa bahu beton | 122 |
| Gambar 5. 3. Analisa Fatik dan Beban Repetisi Ijin STdRG Berdasarkan Rasio Tegangan, dengan/ tanpa bahu beton | 123 |
| Gambar 5. 4. Analisa Erosi dan Jumlah Repetisi Ijin STRT Berdasarkan Faktor Erosi, dengan Bahu Beton..... | 124 |
| Gambar 5. 5. Analisa Erosi dan Jumlah Repetisi Ijin STRG Berdasarkan Faktor Erosi, dengan Bahu Beton..... | 125 |
| Gambar 5. 6. Analisa Erosi dan Jumlah Repetisi Ijin STdRG Berdasarkan Faktor Erosi, dengan Bahu Beton..... | 126 |
| Gambar 5. 7. Lokasi Stock Pile dan Kantor | 193 |

BAB I

PENDAHULUAN

1.1 Latar Belakang

Pertumbuhan jumlah penduduk di Indonesia setiap tahunnya terus meningkat. Berdasarkan Badan Pusat Statistik (BPS) pada tahun 2010, Indonesia memiliki jumlah penduduk 237,6 juta orang pada tahun 2010 dan pada tahun 2016 jumlah penduduk Indonesia sekitar 225 juta jiwa lebih. Menurut proyeksi yang dilakukan oleh Perserikatan Bangsa-Bangsa (PBB) dengan menilik populasi absolut Indonesia di masa depan, Indonesia akan memiliki penduduk lebih dari 290 juta jiwa hingga tahun 2045.

Pertumbuhan penduduk yang terus meningkat berelasi dengan pelayanan masyarakat dari sektor infrastruktur jalan. Jalan memiliki syarat umum yaitu dari segi konstruksi harus kuat, awet dan kedap air. Jika dilihat dari segi pelayanan, jalan harus rata, tidak licin, geometrik memadai dan ekonomis.

Perkerasan dan struktur perkerasan merupakan struktur yang terdiri dari satu atau beberapa lapisan perkerasan. Jenis perkerasan yang umum digunakan perkerasan lentur (*flexibel pavement*) dan perkerasan kaku (*rigid pavement*).

Perkerasan kaku (*rigid pavement*) adalah suatu susunan konstruksi perkerasan dengan lapisan atas pelat beton yang terletak di atas pondasi atau di atas tanah dasar pondasi atau langsung di atas tanah dasar (*subgrade*). Perkerasan ini umumnya dipakai pada jalan yang memiliki kondisi lalu lintas yang cukup padat dan memiliki distribusi beban yang besar. Contohnya pada jalan-jalan lintas antar provinsi, jembatan layang (*fly over*), jalan tol, maupun pada persimpangan bersinyal.

Jalan Tol Kertosono–Mojokerto SESI II adalah jalan tol sepanjang ruas S.S Jombang – S.S Mojokerto barat sepanjang STA 24+900 s/d STA 5+000 (±19,9 Km) yang akan menghubungkan daerah Kertosono dengan Mojokerto, Jawa Timur. Pembangunan jalan tol ini dimulai pada tahun 2007. Tol ini adalah bagian dari Jalan Tol Trans Jawa, seksi 1 sepanjang 14,7 kilometer yang menghubungkan Bandar Kedungmulyo

dengan Tembelang, Jombang telah beroperasi pada Oktober 2014 dan seksi 3 pada 1 Desember 2016. Tol Kertosono-Mojokerto seharusnya dapat beroperasi penuh pada tahun 2014, namun akhirnya molor 2 tahun akibat sulitnya pembebasan lahan. Pembangunan tol ini ditargetkan selesai bulan Maret 2017 sehingga dapat digunakan saat lebaran (Juni 2017) nanti.

Perkerasan yang digunakan pada Jalan Tol Moker sesi II adalah perkerasan kaku dengan umur rencana 20 tahun dan menggunakan analisa metode Pd-T-14-2003 dengan tebal perkerasan 27 cm menggunakan beton K-400 dengan lapisan pondasi Lean concrete dengan tebal 10 cm dengan mutu beton K-125.

Berdasarkan uraian di atas, penulis melakukan peninjauan serta perencanaan ulang jalan Tol Moker sesi II pada STA 8+000 - STA 11+000 menggunakan perkerasan kaku (*rigid pavement*) dengan umur rencana 30 tahun menggunakan metode yang sama yaitu Pd-T-14-2003 dengan umur rencana 30 tahun, kemudian digunakan metode AASHTO 1993 sebagai pembanding. Diharapkan perkerasan akan tetap kokoh hingga 30 tahun kedepan guna memperlancar akses jaringan jalan jawa serta mendukung kelancaran lalu-lintas dan memacu pertumbuhan ekonomi di daerah sekitarnya.

1.2 Rumusan Masalah

Adapun perumusan masalah ditinjau dari segi teknis perencanaan jalan dapat diuraikan sebagai berikut:

1. Berapakah kebutuhan kapasitas rencana jalan Tol Moker Sesi II STA 8+000 - 11+000 yang berpedoman pada manual kapasitas rencana jalan Indonesia (PKJI 2014) yang dibutuhkan hingga umur rencana 30 tahun?
2. Bagaimana kontrol geometrik jalan yang meliputi alinyemen vertikal dan alinyemen horizontal berpedoman pada metode Geometri Jalan Bebas Hambatan Untuk Jalan Tol PU Bina Marga 007/BM/2009 ?

3. Berapakah ketebalan perkerasan kaku yang direncanakan untuk jalan tersebut dengan metode AASHTO 1993 dan Bina Marga Pd T-14-2003 untuk umur rencana 30 tahun?
4. Bagaimana perbedaan perhitungan antara metode AASTHO 1993 dan Bina Marga Pd-T-14-2003 ?
5. Berapa dimensi saluran tepi (*drainase*) yang di rencanakan untuk jalan tersebut menurut SNI T 03-3424-1994 ?
6. Berapa rencana anggaran dan biaya proyek jalan tersebut (sesuai dengan perhitungan ketebalan yang dipilih) ?

1.3 Batasan Masalah

Adapun batasan masalah yang digunakan pada perencanaan Jalan Tol Mojokerto-Kertosono ini ialah sebagai berikut:

1. Data-data yang digunakan dalam perencanaan jalan tol Kertosono – Mojokerto merupakan data sekunder.
2. Perkerasan jalan yang ditinjau hanya pada STA 8+000 sampai dengan 11+000.
3. Tidak membahas dinding penahan, struktur jembatan, *box culvert*, *pipe culvert* yang terdapat dalam proyek tersebut.
4. Tidak membahas perencanaan timbunan.
5. Analisa Harga Dasar dan Upah serta Harga Satuan Pokok Kegiatan (HSPK) menggunakan HSPK Kota Mojokerto.
6. Rencana Anggaran Biaya hanya dibatasi pada konstruksi perkerasan dan saluran drainase dan tidak memperhitungkan biaya perawatan perkerasan.
7. Teknik pelaksanaan hanya dibahas sebatas *method statement* pelaksanaan proyek.

1.4 Tujuan

Adapun tujuan dari perencanaan Jalan Tol Mojokerto-Kertosono ini ialah sebagai berikut :

1. Untuk mengetahui kebutuhan kapasitas rencana jalan Tol Moker sesi II STA 8+000 – 11+000 yang berpedoman pada Manual Kapasitas Jalan Indonesia (PKJI 2014) yang dibutuhkan hingga umur rencana 30 tahun.

2. Untuk mengetahui kontrol geometrik jalan yang meliputi alinyemen vertikal dan alinyemen horizontal berpedoman pada metode Geometri Jalan Bebas Hambatan Untuk Jalan Tol PU Bina Marga 007/BM/2009.
3. Untuk mengetahui ketebalan perkerasan kaku yang direncanakan untuk jalan tersebut menggunakan metode Pd-T-14-2003 dan AASHTO 1993.
4. Untuk mengetahui perbedaan perhitungan antara metode AASHTO 1993 dan Metode Bina Marga Pd-T-14-2003.
5. Untuk mengetahui dimensi saluran tepi (*drainase*) yang direncanakan untuk jalan tersebut menggunakan SNI T-03-3424-1994 .
6. Untuk mengetahui rencana anggaran dan biaya proyek jalan tersebut (sesuai dengan tebal perkerasan yang dipilih).

1.5 Manfaat

Adapun manfaat dari perencanaan jalan tol MOKER Sesi II ini ialah sebagai berikut :

1. Dapat mengetahui kapasitas jalan Tol MOKER Sesi II pada STA 8+000-11+000.
2. Dapat mengetahui kenyamanan alinyemen vertikal maupun alinyemen horizontal.
3. Dapat mengetahui tebal perkerasan kaku untuk umur rencana jalan 30 tahun dengan Metode Pd-T-14-2003 dan AASHTO 1993 serta parameter – parameter perencanaannya.
4. Dapat mengetahui dimensi saluran tepi (*drainase*) yang direncanakan untuk jalan dengan pedoman SNI T-03-3424-1994.
5. Dapat mengetahui perbedaan perhitungan perkerasaan jalan beton dengan menggunakan metode AASTHO 1993 dan metode Bina Marga Pd-T-14-2003..
6. Dapat mengetahui total kebutuhan biaya proyek.

1.6 Lokasi Studi

Nama Proyek : Proyek Pembangunan Jalan Tol Mojokerto-Kertosono Seksi II

Alamat Proyek : Desa Pesantren , Kec Tambelang kab. Jombang s/d Desa Pagerluyung, Kec. Gedeg Kab Mojokerto



Gambar 1. 1 Peta Lokasi Proyek Tol MOKER seksi II STA 8+000-STA 11+000

“Halaman ini sengaja di kosongkan”

BAB II

TINJAUAN PUSTAKA

2.1 Jenis Perkerasan Jalan

Secara umum perkerasan jalan terbagi menjadi 3 jenis, yaitu Perkerasan Lentur (*Flexible Pavement*), Perkerasan Kaku (*Rigid Pavement*), dan Perkerasan Komposit (*Composite Pavement*) yang merupakan gabungan antara perkerasan lentur dengan perkerasan kaku (beton semen). Pada tugas akhir ini akan membahas mengenai perhitungan tebal perkerasan kaku menggunakan 2 Metode yaitu, Metode Pd-T-14-2003 dan Metode AASHTO 1993.

2.2 Perkerasan Kaku (*Rigid Pavement*)

Perkerasan Kaku (*Rigid Pavement*) adalah perkerasan yang menggunakan beton sebagai bahan utama, terdiri dari pelat (slab) beton semen portland dan lapisan pondasi diatas tanah dasar (bisa juga tidak ada). Perkerasan beton memiliki modulus elastisitas yang tinggi, yang akan mendistribusikan beban terhadap bidang area yang luas, sehingga bagian terbesar dari kapasitas struktur perkerasan diperoleh dari slab beton itu sendiri. Maka faktor utama yang paling diperhatikan dalam perencanaan perkerasan jalan beton adalah kekuatan beton itu sendiri.

2.3 Jenis-Jenis Perkerasan Kaku (*Rigid Pavement*)

Adapun jenis perkerasan kaku atau biasa disebut perkerasan beton berdasarkan SNI pd-T-14-2003 dapat dibedakan menjadi 4 yaitu :

1. Perkerasan Beton Bersambung Tanpa Tulangan (*Rigid Pavement*)

Jenis perekkerasan beton semen ini dibuat tanpa tulangan dengan ukuran pelat mendekati bujur sangkar, dimana panjang dari pelatnya dibatasi oleh adanya sambungan – sambungan melintang untuk mencegah retak beton.

Umumnya perkerasan ini tidak menggunakan tulangan, namun ruji (dowel) dan batang pengikat (tie bar).

2. Perkerasan beton bersambung dengan tulangan (*Jointed Reinforced Concrete Pavement*)

Jenis perekasan beton semen ini dibuat dengan tulangan, yang ukuran pelatnya berbentuk persegi panjang, dimana panjang dari pelatnya dibatasi oleh adanya sambungan melintang. panjang pelat berkisar 8-15 m.

3. Perkerasan beton semen menerus dengan tulangan (*Continuously Reinforced Concrete Pavement*).

Jenis perkerakan ini dibuat dengan tulangan, pelat tulangan mulai melintang. Pelat beton menerus hanya dibatasi adanya sambungan muai melintang. Panjang pelat beton lebih dari 75 m.

4. Perkerasan beton semen pra-tegang (*Prestressed Concrete Pavement*)

Jenis perkerasan beton semen yang menggunakan tulangan prategang untuk mengurangi pengaruh susut, muai akibat perubahan suhu dan umumnya tanpa tulangan melintang. Banyak digunakan untuk airport, apron, taxiway, runway.

2.4 Analisa Kapasitas Jalan

2.4.1 Arus lalu lintas

Perhitungan arus lalu lintas pada jalan bebas hambatan berpedoman pada PKJI 2014 dengan cara perhitungan sebagai berikut :

$$Q = LHRT \times k \times Ekr$$

Pers. 2. 1

Dimana :

- Q = Arus kendaraan (kendaraan/jam)
- $LHRT$ = Lalu lintas harian rata-rata tahunan (kendaraan/hari)
- K = Rasio antara arus jam rencana dan LHRT (nilai normal 0,11)

Tabel 2. 1. Ekr untuk JBH4/2-T

| Tipe alinemen | q per arah (kend./jam) | Ekr | | |
|---------------|------------------------|-----|-----|-----|
| | | KS | BB | TB |
| Datar | 0 | 1,2 | 1,2 | 1,6 |
| | 1250 | 1,4 | 1,4 | 2,0 |
| | 2250 | 1,6 | 1,7 | 2,5 |
| | ≥ 2800 | 1,3 | 1,5 | 2,0 |
| Bukit | 0 | 1,8 | 1,6 | 4,8 |
| | 900 | 2,0 | 2,0 | 4,6 |
| | 1700 | 2,2 | 2,3 | 4,3 |
| | ≥ 2250 | 1,8 | 1,9 | 3,5 |
| Gunung | 0 | 3,2 | 2,2 | 5,5 |
| | 700 | 2,9 | 2,6 | 5,1 |
| | 1450 | 2,6 | 2,9 | 4,8 |
| | ≥ 2000 | 2,0 | 2,4 | 3,8 |

Sumber : PKJI 2014

Tabel 2. 2. Ekr untuk JBH6/2-T

| Tipe alinemen | q per arah (kend./jam) | Ekr | | |
|---------------|------------------------|-----|-----|-----|
| | | KS | BB | TB |
| Datar | 0 | 1,2 | 1,2 | 1,6 |
| | 1500 | 1,4 | 1,4 | 2,0 |
| | 2750 | 1,6 | 1,7 | 2,5 |
| | ≥ 3250 | 1,3 | 1,5 | 2,0 |
| Bukit | 0 | 1,8 | 1,6 | 4,8 |
| | 1100 | 2,0 | 2,0 | 4,6 |
| | 2100 | 2,2 | 2,3 | 4,3 |
| | ≥ 2650 | 1,8 | 1,9 | 3,5 |
| Gunung | 0 | 3,2 | 2,2 | 5,5 |
| | 800 | 2,9 | 2,6 | 5,1 |
| | 1700 | 2,6 | 2,9 | 4,8 |
| | ≥ 2300 | 2,0 | 2,4 | 3,8 |

Sumber : PKJI 2014

2.4.2 Analisa Kapasitas

Untuk jalan tak-terbagi, semua analisa (kecuali analisa-kelandaian khusus) dilakukan pada kedua arah menggunakan satu set formulir. Untuk jalan terbagi, analisa dilakukan pada masing-masing arah dan seolah-olah masing-masing arah adalah jalan satu arah yang terpisah.

$$C = C_0 \times FC_L \times FC_{PA}$$

Pers. 2. 2

Keterangan :

- C = Kapasitas
- C_0 = Kapasitas dasar (smp/jam)
- FC_L = Faktor penyesuaian akibat lebar jalur lalu-lintas
- FC_{PA} = Faktor penyesuaian akibat pemisahan arah
(jalan bebas hambatan tak terbagi)

2.4.3 Kapasitas Dasar (C_0)

Kapasitas dasar adalah kapasitas suatu segmen jalan untuk suatu set koordinasi yang ditentukan sebelumnya (geometrik, pola arus lalu lintas dan faktor lingkungan). Perhatikan bahwa

pengaruh tipe medan pada kapasitas juga diperhitungkan melalui penggunaan emp yang berbeda seperti yang diuraikan dalam tabel di bawah ini :

Tabel 2. 3. Kapasitas Jalan Bebas Hambatan

| Tipe JBH/Tipe alinyemen | Kapasitas dasar (skr/jam/lajur) |
|-------------------------|------------------------------------|
| JBH4/2 dan JBH 6/2 | 2300 |
| - Datar | 2250 |
| - Bukit | 2150 |
| - Gunung | |

Sumber : PKJI 2014

Kapasitas dasar untuk jalan bebas hambatan dengan lebih dari enam lajur (berlajur banyak) dapat ditentukan dengan menggunakan kapasitas per lajur yang diberikan dalam tabel di atas, meskipun lajur yang bersangkutan tidak dengan lebar yang standar.

2.4.4 Faktor Penyesuaian Lebar Jalur (FC_L)

Untuk jalan bebas hambatan yang umumnya mempunyai bahu diperkeras yang dapat digunakan untuk lalu lintas, lebar bahu tidak ditambahkan pada lebar efektif jalur lalu lintas.

Tabel 2. 4. Faktor Kapasitas Akibat Lebar Jalur Lalu Lintas (FC_L)

| Tipe jalan | Lebar efektif jalur lalu lintas (L_{L+E}), m | FC_L |
|------------|---|--------|
| JBH4/2 | 3,25 | 0,96 |
| dan | Per Lajur | 1,00 |
| JBH6/2 | 3,75 | 1,03 |

Sumber : PKJI 2014

Faktor penyesuaian kapasitas jalan dengan lebih dari enam lajur dapat ditentukan dengan menggunakan nilai per lajur yang diberikan untuk jalan bebas hambatan empat-dan enam-lajur pada tabel di atas.

2.4.5 Faktor Penyesuaian Pemisah Arah (FC_{PA})

Faktor penyesuaian kapasitas akibat pemisah arah dapat ditentukan sesuai dalam tabel dibawah ini.

Tabel 2. 5. Faktor Kapasitas Akibat Pemisah Arah

| Pemisahan arah SP %-% | | 50-50 | 55-45 | 60-40 | 65-35 | 70-30 |
|-----------------------|----------------------------------|-------|-------|-------|-------|-------|
| FC _{SP} | Jalan bebas hambatan tak terbagi | 1,00 | 0,97 | 0,94 | 0,91 | 0,88 |

Sumber : PKJI 2014

2.4.6 Derajat Kejemuhan (DS)

Derajat Kejemuhan adalah ratio antara arus total lalu lintas (Q) dalam smp/jam dengan kapasitas (C).

$$DS = \frac{Q}{C} \quad \text{Pers. 2. 3}$$

Dimana :

DS = Derajat Kejemuhan

Q = Arus total lalu lintas (smp/jam)

C = Kapasitas.

2.5 Kontrol Geometrik Jalan

Geometri jalan merupakan perencanaan bentuk fisik jalan yang akan memberikan pelayanan optimum pada arus lalu lintas dan sebagai prasarana suatu wilayah. Dasar perencanaan geometrik jalan adalah sifat gerakan dan ukuran kendaraan. Hal tersebut akan mempengaruhi perencanaan ukuran jalan, bentuk dan ruang gerak kendaraan yang memenuhi tingkat keamanan dan kenyamanan pengemudi.

2.5.1 Arus lalu lintas

2.5.1.1 Klasifikasi Medan Jalan

Klasifikasi medan jalan berdasarkan kondisi sebagian besar kemiringan medan yang diukur melintang terhadap sumbu jalan dapat dilihat pada tabel dibawah ini :

Tabel 2. 6. Klasifikasi Menurut Medan Jalan

| Medan Jalan | Notasi | Kemiringan Medan |
|-------------|--------|------------------|
| Datar | D | < 10,0 % |
| Perbukitan | B | 10,0 % - 25,0% |
| Pegunungan | G | >25,0% |

Sumber:Buku Geometrik Jalan Bebas hambatan Untuk Jalan Tol, Departemen Pekerjaan Umum Direktorat Jendral Bina Marga (No.007/BM/2009).

2.5.1.2 Standar Jumlah Lajur

Standar minimal jumlah lajur adalah 2 lajur per arah atau 6/2 D dan ditentukan berdasarkan tipe alinyemen dan prakiraan volume lalu lintas yang dinyatakan dalam kendaraan/jam seperti ditunjukkan pada tabel dibawah ini

Tabel 2. 7. Tipe Alinyemen

| Tipe Alinyemen | Naik + Turun (m/km) | Lengkung Horisontal (rad/km) |
|----------------|---------------------|------------------------------|
| Datar | < 10 | < 1,0 |
| Perbukitan | 10-30 | 1,0 – 2,5 |
| Pegunungan | > 30 | > 2,5 |

Sumber:Buku Geometrik Jalan Bebas hambatan Untuk Jalan Tol, Departemen Pekerjaan Umum Direktorat Jendral Bina Marga (No.007/BM/2009).

Tabel 2. 8. Jumlah Lajur Berdasarkan Arus Lalu Lintas

| Tipe Alinyemen | Arus Lalu Litas Per Arah (kend/jam) | Jumlah Lajut (Minimal) |
|----------------|-------------------------------------|------------------------|
| Datar | 2,250 | 4/2 D |
| | 3,400 | 6/2 D |
| | 5,000 | 8/2 D |
| Perbukitan | 1,700 | 4/2 D |
| | 2,600 | 6/2 D |
| Pegunungan | 1,450 | 4/2 D |
| | 2,150 | 6/2 D |

Sumber:Buku Geometrik Jalan Bebas hambatan Untuk Jalan Tol, Departemen Pekerjaan Umum Direktorat Jendral Bina Marga (No.007/BM/2009).

2.5.1.3 Lebar Jalur dan Bahu Jalan

Lebar lajur dan lebar bahu jalan ditentukan berdasarkan lokasi jalan dan kecepatan rencana. Lebar lajur dan bahu jalan dapat dilihat pada tabel dibawah ini :

Tabel 2. 9. Lebar Lajur dan Bahu Jalan Tol

| Lokasi Jalan Tol | V_R (km/jam) | Lebar Lajur (m) | | Lebar Bahu Luar Diperkeras (m) | | Lebar Bahu Dalam Diperkeras (m) |
|------------------|-------------------|-----------------|-------|--------------------------------|---------|---------------------------------|
| | | Minim | Ideal | Minim | Ideal*) | |
| Antarkota | 120 | 3.60 | 3.75 | 3.00 | 3.50 | 1.50 |
| | 100 | 3.60 | 3.60 | 3.00 | 3.50 | 1.50 |
| | 80 | 3.60 | 3.60 | 3.00 | 3.50 | 1.00 |
| Perkotaan | 100 | 3.50 | 3.60 | 3.00 | 3.50 | 1.00 |
| | 80 | 3.50 | 3.50 | 2.00 | 3.50 | 0.50 |
| | 60 | 3.50 | 3.50 | 2.00 | 3.50 | 0.50 |

*) dibutuhkan pada saat kendaraan besar mengalami kerusakan

Sumber:Buku Geometrik Jalan Bebas hambatan untuk Jalan Tol,
Departemen Pekerjaan Umum Direktorat Jendral Bina
Marga (No. 007/BM/2009)

Kemiringan melintang jalur lalu lintas dibuat agar air yang menimpa perkerasan jalan dapat masuk ke saluran tepi dengan cepa. Semakin kedap air pada permukaan jalan tersebut, maka kemiringan jalan semakin landai, sebaliknya jika permukaan jalan mudah dirembesi air maka kemiringan jalan harus dibuat cukup besar.



Gambar 2. 1. Contoh Kemiringan Melintang Jalan 1 Arah pada Tiap Jalur



Gambar 2. 2. Contoh Kemiringan Melintang Jalan 1 Arah pada Tiap Jalur

Sumber:Buku Geometrik Jalan Bebas Hambatan untuk Jalan Tol, Departemen Pekerjaan Umum Direktorat Jenderal Bina Marga (No. 007/BM/2009)

2.5.1.4 Bagian-Bagian Jalan

- a. Ruang milik jalan adalah suatu daerah jalan diperuntukan bagi ruang manfaat jalan dan pelebaran jalan maupun penambahan lajur lalu lintas di kemudian hari serta kebutuhan ruangan untuk pengamanan jalan tol dan fasilitas jalan tol.
- b. Ruang manfaat jalan adalah suatu daerah diperuntukkan bagi median, perkerasan jalan, jalur pemisah, bahu jalan, saluran tepi jalan, lereng, ambang pengaman, timbunan, galian, gorong - gorong, perlengkapan jalan dan bangunan pelengkap jalan.
- c. Ruang pengawasan jalan adalah suatu daerah diperuntukkan bagi pandangan bebas pengemudi dan pengamanan konstruksi jalan. Batas ruang pengawasan jalan bebas hambatan untuk jalan tol adalah 40 meter untuk daerah perkotaan dan 75 meter untuk daerah antarkota, diukur dari as jalan tol. Dalam hal jalan tol berdempetan dengan jalan umum ketentuan tersebut di atas tidak berlaku.

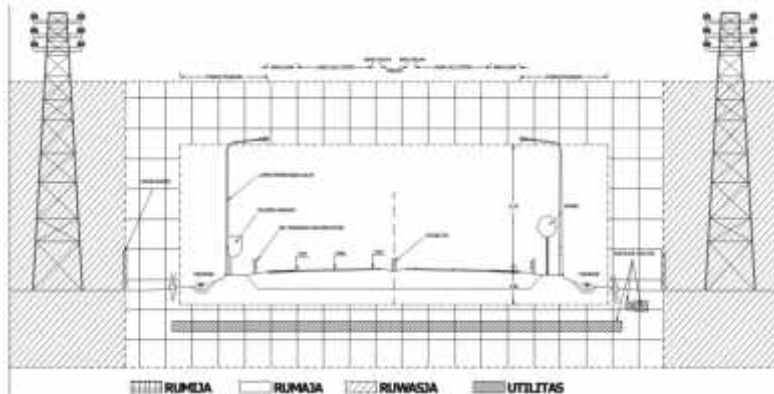
Tabel 2. 10. Dimensi Ruang Jalan Bebas Hambatan untuk Jalan Total

| Bagian-bagian jalan | Komponen Geometri | Dimensi Minimum (m) | | |
|---------------------|---------------------|---------------------|-----------|----------------------|
| | | Jalan Tol | | |
| RUMAJA | Lebar Badan Jalan | Antar Kota | Perkotaan | |
| | | 3,00 | 22,0 | |
| | Tinggi | 5,00 | 5,00 | |
| | Kedalaman | 1,50 | 1,50 | |
| RUMAJA | JBH | Jalan Tol | | |
| | | Antar Kota | Perkotaan | Layangan /Terowongan |
| | | 30 | 40 | 30 |
| RUMAJA | JBH | Jalan Tol | | |
| | | Antar Kota | Perkotaan | Jembatan |
| | Lebar ¹⁾ | 75 | 75 | 40 |
| | | | | 100 ²⁾ |

Catatan: ¹⁾ Lebar diukur dari As Jalan

²⁾ 100 m ke hilir dan 100 ke hulu

Sumber:Buku Geometrik Jalan Bebas Hambatan untuk Jalan Tol,
Departemen Pekerjaan Umum Direktorat Jenderal Bina
Marga (No.007/BM/2009)



Gambar 2. 3. Tipikal Rumaja, Rumija dan Ruwasja Jalan Bebas Hambatan untuk Jalan Tol

Sumber:Buku Geometrik Jalan Bebas Hambatan untuk Jalan Tol, Departemen Pekerjaan Umum Direktorat Jenderal Bina Marga (No.007/BM/2009)

2.5.2 Arus lalu lintas

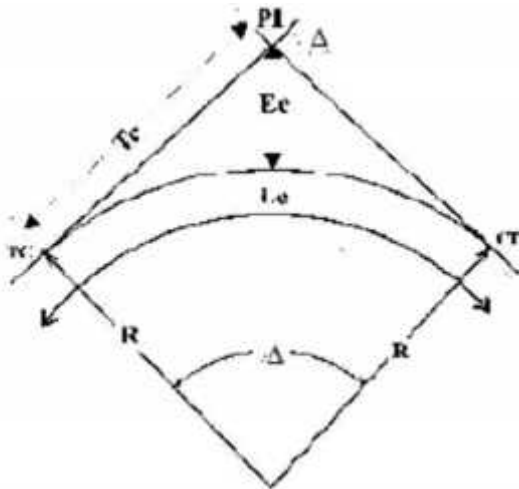
2.5.2.1 Umum

- a. Alinyemen horizontal terdiri atas bagian lurus dan bagian lengkung (disebut juga tikungan).
- b. Geometrik pada bagian lengkung didesain sedemikian rupa dimaksudkan untuk mengimbangi gaya sentrifugal yang diterima oleh kendaraan yang berjalan pada kecepatan V_R .
- c. Untuk keselamatan pemakai jalan, jarak pandang dan daerah bebas samping jalan, maka alinyemen horizontal harus diperhitungkan secara akurat.

2.5.2.2 Standar Bentuk Tikungan

Standar bentuk tikungan terdiri atas 3 bentuk secara umum, yaitu:

- a. *Full Circle* (FC), yaitu tikungan yang berbentuk busur lingkaran secara penuh. Tikungan ini memiliki satu titik pusat lingkaran dengan jari-jari yang seragam.



Gambar 2. 4. Tikungan *Full Circle*

Sumber:Buku Geometrik Jalan Bebas Hambatan untuk Jalan Tol,
Departemen Pekerjaan Umum Direktorat Jenderal Bina
Marga (No.007/BM/2009)

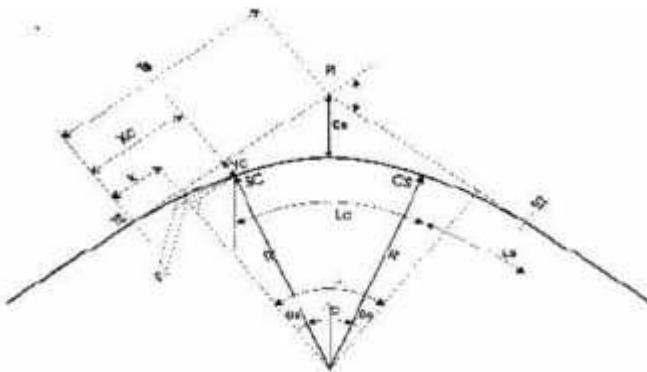
$$LC = \frac{\Delta}{3} \cdot 2\pi R \quad \text{Pers. 2. 4}$$

$$Ec = \frac{R}{\tan \frac{\Delta}{2}} - R \text{ atau}$$

$$Ec = Tc \tan \frac{1}{4} \quad \text{Pers. 2. 5}$$

$$Tc = R \tan \frac{1}{2} \quad \text{Pers. 2. 6}$$

- b. *Spiral-Circle-Spiral* (SCS), yaitu tikungan yang terdiri dari 1 (satu) lengkung lingkaran dan 2 (dua) laengkungan spiral.



Gambar 2. 5. Tikungan *Spiral-Circle-Spiral*

Sumber:Buku Geometrik Jalan Bebas Hambatan untuk Jalan Tol,
Departemen Pekerjaan Umum Direktorat Jenderal Bina
Marga (No.007/BM/2009)

$$\theta = \frac{L}{2R} \cdot \frac{3}{2\pi} \quad \text{Pers. 2. 7}$$

$$k = X - R \quad \text{Pers. 2. 8}$$

$$c = -2 \quad \text{Pers. 2. 9}$$

$$p = Y - R(1 - c) \quad \text{Pers. 2. 10}$$

$$LC = \frac{3}{2} \cdot 2\pi R \quad \text{Pers. 2. 11}$$

$$T = (R + p) \cdot \frac{\pi}{2} + k \quad \text{Pers. 2. 12}$$

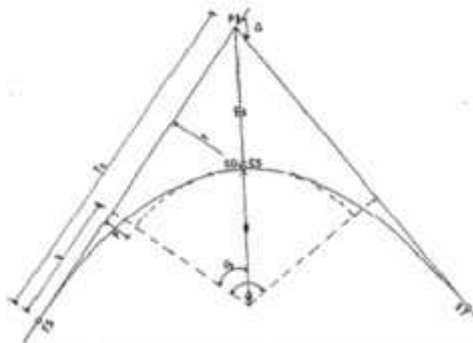
$$Y = \frac{L}{6} \quad \text{Pers. 2. 13}$$

$$X = L - \frac{L^3}{4c^2} \quad \text{Pers. 2. 14}$$

$$E = \frac{(R+p)}{c - \frac{L}{2}} - R \quad \text{Pers. 2. 15}$$

$$L_{\text{total}} = L_c + 2L_s \quad \text{Pers. 2. 16}$$

- c. *Spiral-spiral* (SS), yaitu tikungan yang terdiri atas 2 (dua) lengkung spiral.



- d. Lengkung khusus, yaitu berupa tikungan majemuk yang memiliki beberapa radius tikungan, yang dapat terdiri dari 3 (tiga) lengkung spiral atau lebih.
- e. Lengkung horizontal gabungan Ada 2 macam tikungan gabungan, sebagai berikut :
 -]) Tikungan gabungan searah, yaitu gabungan dua atau lebih tikungan dengan putaran yang sama tetapi dengan jari-jari yang berbeda. Pada tikungan gabungan jenis ini tergantung perbandingan R1 dan R2.

$$\frac{R_1}{R_2} > \frac{2}{3}$$
, Tikungan gabungan searah harus dihindarkan.
 -]) $\frac{R_1}{R_2} > \frac{2}{3}$, Tikungan gabungan harus dilengkapi bagian lurus sepanjang paling tidak 20 m.
 -]) Tikungan gabungan balik arah, yaitu gabungan dua tikungan dengan arah putaran yang berbeda. Setiap tikungan gabungan balik arah harus dilengkapi dengan bagian lurus di antara kedua tikungan tersebut sepanjang paling tidak 30 meter.

2.5.2.3 Panjang Tikungan

Panjang tikungan (Lt) dapat terdiri dari panjang busur lingkaran (Lc) dan panjang 2 (dua) lengkung spiral (Ls) atau beberapa lengkung spiral yang diukur sepanjang sumbu jalan. Untuk menjamin kelancaran dan kemudahan mengemudikan kendaraan pada saat menikung, maka panjang suatu tikungan tidak kurang dari 6 detik perjalanan dengan VR. Panjang ini dapat diperhitungkan berdasarkan V_R atau ditetapkan berdasarkan tabel di bawah ini :

Tabel 2. 11. Panjang Tikungan Minimum

| V_R (km/jam) | Panjang Tikungan Minimum |
|---|---------------------------------|
| 120 | 200 |
| 100 | 170 |
| 80 | 140 |
| 60 | 100 |

Catatan:

- a. Pada tikungan *full circle*, nilai Ls=0,
Sehingga Lt ; Lc
- b. Pada tikungan *spiral-spiral*, nilai Lc
= 10, sehingga Lt= 2 Ls

Sumber:Buku Geometrik Jalan Bebas Hambatan untuk Jalan Tol,
Departemen Pekerjaan Umum Direktorat Jenderal Bina
Marga (No.007/BM/2009)

2.5.2.4 Panjang Tikungan

a. Umum

-]) Superelevasi harus dibuat pada semua tikungan kecuali tikungan yang memiliki radius yang lebih besar dari Rmin tanpa superelevasi. Besarnya superelevasi harus direncanakan sesuai dengan V_R.
-]) Superelevasi berlaku pada jalur lalu lintas dan bahu jalan.
-]) Nilai superelevasi maksimum ditetapkan antara 4%-10 %.
-]) Harus diperhatikan masalah drainase pada pencapaian kemiringan.

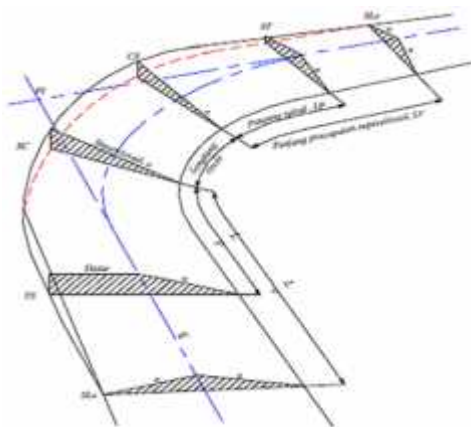
Tabel 2. 12. Superelevasi Maksimum Berdasarkan Tata Guna Lahan dan Iklim

| Superelevasi Maks. | Kondisi yang Digunakan |
|---------------------------|---|
| 120 | Maksimum untuk jalan tol antar kota |
| 100 | Maksimum untuk jalan tol antar kota dengan curah hujan tinggi |
| 80 | Maksimum untuk jalan tol perkerasan |
| 60 | Maksmimum untuk jalan tol perkotaan dengan kapadatan tinggi |

Sumber:Buku Geometrik Jalan Bebas Hambatan untuk Jalan Tol, Departemen Pekerjaan Umum Direktorat Jenderal Bina Marga (No.007/BM/2009)

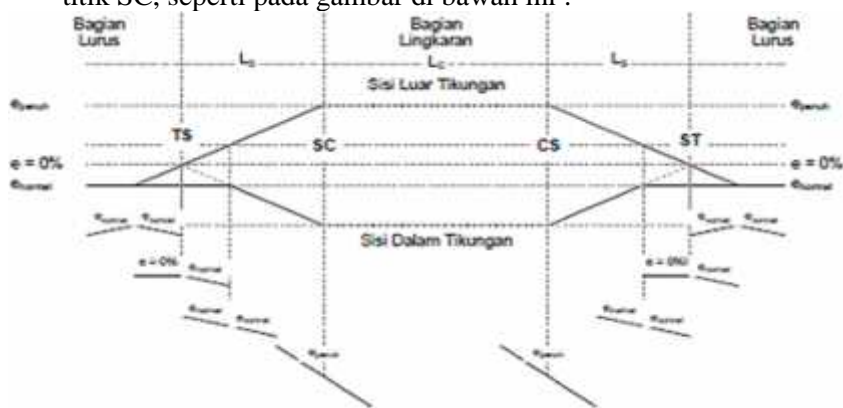
b. Diagram Superelevasi

-]) Superelevasi dicapai secara bertahap dari kemiringan melintang normal pada bagian jalan yang lurus sampai ke superelevasi penuh pada bagian lengkung, seperti pada gambar di bawah ini :



Gambar 2. 7. Metode Pencapaian Superelevasi pada Tikungan

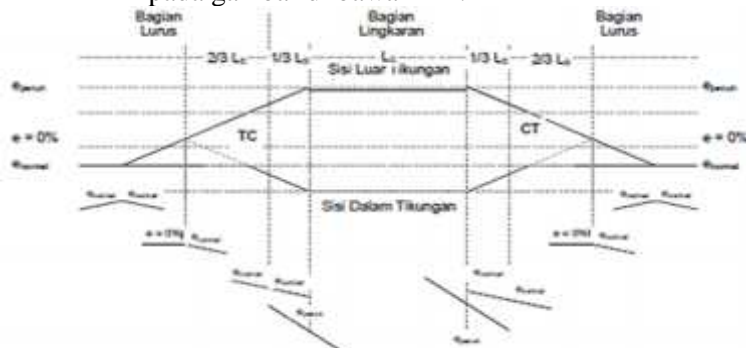
-) Pada tikungan tipe SCS, pencapaian superelevasi dilakukan secara linear, diawali dari bentuk normal sampai awal lengkung peralihan pada titik TS, kemudian meningkat secara bertahap sampai mencapai superelevasi penuh pada titik SC, seperti pada gambar di bawah ini :



Gambar 2. 8 Pencapaian Superelevasi Pada Tikungan Tipe SCS

-) Pada tikungan tipe FC, bila diperlukan pencapaian superelevasi dilakukan secara linear,

diawali dari bagian lurus sepanjang $2/3 LS$ dan dilanjutkan pada bagian lingkaran penuh sepanjang $1/3$ bagian panjang LS , seperti pada gambar di bawah ini :



Gambar 2. 9 Pencapaian superelevasi pada tikungan tipe FC

-) Pada tikungan tipe SS, pencapaian superelevasi seluruhnya dilakukan pada bagian spiral, seperti pada gambar di bawah ini :



Gambar 2. 10 Pencapaian superelevasi pada tikungan tipe SS

Sumber:Buku Geometrik Jalan Bebas Hambatan untuk Jalan Tol,
Departemen Pekerjaan Umum Direktorat Jenderal Bina
Marga (No.007/BM/2009)

c. Batasan Tikungan Tanpa Superelevasi

Untuk tikungan-tikungan yang tumpul, karena kecilnya kemiringan yang diperlukan, dapat saja tidak diadakan kemiringan. Dalam menentukan batas ini, perlu diperhatikan kemiringan minimum yaitu disamakan dengan kemiringan jalan normal yakni 2%, dan besarnya koefisien gesekan yang timbul pada bagian dengan lereng berlawanan, yang masih harus dibawah batas yang aman. Berdasarkan ketentuan ini, maka batas tikungan dimana tidak diperlukan superelevasi, adalah bilamana jari-jari lebih besar atau sama dengan yang tercantum pada tabel 2.14 (Konstruksi Jalan Raya,2004).

Tabel 2. 13. Jari-Jari (R) Minimum yang Diijinkan Tanpa Superelevasi

| V_R (km/jam) | Jari-Jari (R) (m) |
|---|------------------------------------|
| 60 | 700 |
| 80 | 1250 |
| 100 | 2000 |
| 120 | 5000 |

Sumber: Tata cara Perencanaan Geometrik Jalan Antar Kota
(TPGJAK) No.038/T/BM/1997

2.5.2.5 Jari – Jari Tikungan

Jari – jari tikungan minimum (R_{min}) ditetapkan sebagai berikut:

$$R = \frac{V_R^2}{1 - (e + f)} \quad \text{Pers. 2. 27}$$

Dimana :

R_{min} = Jari-jari Tikungan Minimum (m)

V_R = Kecepatan Rencana (km/jam)

e_{max} = Superelevasi Maksimum (%)

f_{max} = Koefisien Gesek Maksimum,

Berdasarkan nilai superelevasi maksimum, ditentukan menggunakan tabel dibawah ini:

Tabel 2. 14. Superelevasi Makasimum Bedasarkan Tata Cara Guna Lahan dan Iklim

| Superelevasi Maksimum | Kondisi yang Digunakan |
|-----------------------|---|
| 10% | Maksimum untuk jalan tol antar kota |
| 8% | Maksimum untuk jalan tol antar kota dengan curah hujan tinggi |
| 6% | Maksimum untuk jalan tol perkerasan |
| 4% | Maksmimum untuk jalan tol perkotaan dengan kapadatan tinggi |

Sumber:Buku Geometrik Jalan Bebas Hambatan untuk Jalan Tol, Departemen Pekerjaan Umum Direktorat Jenderal Bina Marga (No.007/BM/2009)

Besaran nilai koefisien gesek maksimum, ditentukan menggunakan tabel di bawah ini :

Tabel 2. 15. Koefisien Gesek Maksimum Berdasarkan V_R

| V_R (km/jam) | Koefisien Gesek Maksmimum (f_{max}) |
|--------------------------------------|---|
| 120 | 0,092 |
| 100 | 0,116 |
| 80 | 0,140 |
| 60 | 0,152 |

Sumber:Buku Geometrik Jalan Bebas Hambatan untuk Jalan Tol, Departemen Pekerjaan Umum Direktorat Jenderal Bina Marga (No.007/BM/2009)

Hasil perhitungan R_{min} , ditampilkan pada tabel di bawah ini:

Tabel 2. 16. Panjang Jari-Jari Minimum

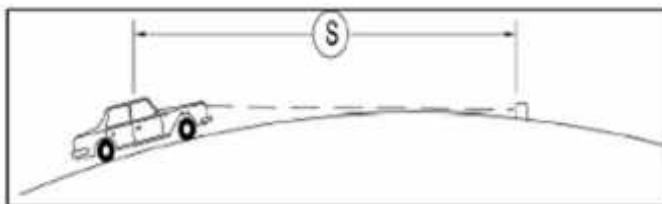
| e_{max} (%) | V_R (km/jam) | f_{max} | $(e/100+f)$ | R_{min} (m) | |
|------------------|-------------------|-----------|-------------|---------------|------------|
| | | | | Perhitungan | Pembulatan |
| 10,0 | 120 | 0,092 | 0,192 | 590,6 | 590 |
| 10,0 | 100 | 0,116 | 0,216 | 364,5 | 365 |
| 10,0 | 80 | 0,140 | 0,240 | 210,0 | 210 |
| 10,0 | 60 | 0,152 | 0,252 | 112,5 | 110 |
| 8,0 | 120 | 0,092 | 0,172 | 659,2 | 660 |
| 8,0 | 100 | 0,116 | 0,196 | 401,7 | 400 |
| 8,0 | 80 | 0,140 | 0,220 | 229,1 | 230 |
| 8,0 | 60 | 0,152 | 0,232 | 122,2 | 120 |
| 6,0 | 120 | 0,092 | 0,152 | 746,0 | 745 |
| 6,0 | 100 | 0,116 | 0,176 | 447,4 | 445 |
| 6,0 | 80 | 0,140 | 0,200 | 252,0 | 250 |
| 6,0 | 60 | 0,152 | 0,212 | 133,7 | 135 |

| | | | | | |
|-----|-----|-------|-------|-------|-----|
| 4,0 | 120 | 0,092 | 0,132 | 859,0 | 860 |
| 4,0 | 100 | 0,116 | 0,156 | 504,7 | 505 |
| 4,0 | 80 | 0,140 | 0,180 | 280,0 | 280 |
| 4,0 | 60 | 0,152 | 0,192 | 147,6 | 150 |

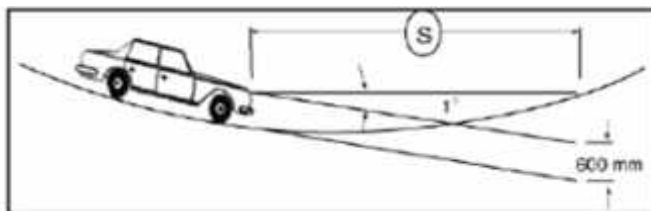
Sumber:Buku Geometrik Jalan Bebas Hambatan untuk Jalan Tol,
Departemen Pekerjaan Umum Direktorat Jenderal Bina
Marga (No.007/BM/2009)

2.5.2.6 Jarak Pandang

Jarak pandang diperlukan untuk kemungkinan melihat ke depan ketika keadaan menyiap ataupun keadaan henti agar tercipta keadaan yang aman dan efisien. Jarak pandang henti adalah jarak terpendek yang diperlukan bagi kendaraan yang sedang bergerak dengan kecepatan rencana, untuk berhenti dengan aman sebelum mencapai obyek yang tidak bergerak dalam lintasan. Jarak pandang (S) diukur berdasarkan asumsi asumsi bahwa tinggi mata pengemudi adalah 108 cm dan tinggi halangan 60 cm diukur dari permukaan jalan. Setiap bagian jalan harus memenuhi jarak pandang.



Gambar 2. 11. Jarak Pandang Henti Pada Lengkung Vertikal Cembung



Gambar 2. 12. 13 Jarak pandang henti pada lengkung vertikal cekung

Sumber:Buku Geometrik Jalan Bebas Hambatan untuk Jalan Tol, Departemen Pekerjaan Umum Direktorat Jenderal Bina Marga (No.007/BM/2009)

Jarak pandang henti (S_S) terdiri dari 2 elemen jarak, yaitu :

- a. Jarak awal reaksi (S_r) adalah jarak pergerakan kendaraan sejak pengemudi melihat suatu halangan yang menyebabkan ia harus berhenti sampai saat pengemudi menginjak rem.
- b. Jarak awal pengereman (S_b) adalah jarak pergerakan kendaraan sejak pengemudi menginjak rem sampai kendaraan berhenti.

Jarak pandang henti dapat terjadi pada dua kondisi tertentu dirumuskan sebagai berikut:

) Pada Jalan Datar

$$S_S = 0,2 \times V_R \times T + 0,0 \frac{V_R^2}{a} \quad \text{Pers. 2. 28}$$

Tabel di bawah ini berisi S_S minimum yang dihitung berdasarkan rumus di atas dengan pembulatan pembulatan untuk berbagai V_R .

Tabel 2. 17. Jarak Pandang Henti (Ss) Minimum

| V_R (km/jam) | Jarak Awal Reaksi (m) | Jarak Awal Pengereman (m) | Jarak Pandang Henti (m) | |
|-------------------|-----------------------------|---------------------------------|-------------------------|------------|
| | | | Perhitungan | Pembulatan |
| 120 | 83,3 | 163,4 | 246,7 | 250 |
| 100 | 69,4 | 113,5 | 182,9 | 185 |
| 80 | 55,6 | 72,6 | 128,2 | 130 |
| 60 | 41,7 | 40,8 | 82,5 | 85 |

Sumber:Buku Geometrik Jalan Bebas Hambatan untuk Jalan Tol,
Departemen Pekerjaan Umum Direktorat Jenderal Bina
Marga (No.007/BM/2009)

$$S_s = 0,2 \times V_R \times T + \frac{V_R^2}{2 \left[\left(\frac{a}{g_B} \right) \pm G \right]} \quad \text{Pers. 2.}$$

Dimana :

- V_R = Kecepatan rencana (km/jam)
- T = Waktu reaksi, ditetepkan 2,5 detik
- a = Tingkat perlambatan ($m/detik^2$),
ditetapkan $3,4 m/detik^2$
- G = Kelandaian jalan (%)

Tabel di bawah ini berisi Ss minimum dengan kelandaian yang dihitung berdasarkan rumus di atas untuk berbagai V_R .

Tabel 2. 18. Jarak Pandang Henti (Ss) Minimum dengan Kelandaian

| V_R km/jam | Jarak Pandang Henti (m) | | | | | | | | | | | |
|-----------------|-------------------------|-----|-----|-----|-----|-----|----------|-----|-----|-----|-----|-----|
| | Turunan | | | | | | Tanjakan | | | | | |
| | 1% | 2% | 3% | 4% | 5% | 6% | 1% | 2% | 3% | 4% | 5% | 6% |
| 120 | 252 | 257 | 263 | 269 | 275 | 281 | 243 | 238 | 234 | 230 | 227 | 223 |
| 100 | 187 | 190 | 194 | 198 | 203 | 207 | 180 | 177 | 174 | 172 | 169 | 167 |
| 80 | 131 | 133 | 136 | 138 | 141 | 144 | 127 | 125 | 123 | 121 | 120 | 118 |
| 60 | 84 | 86 | 87 | 88 | 90 | 90 | 82 | 81 | 80 | 79 | 78 | 77 |

Sumber:Buku Geometrik Jalan Bebas Hambatan untuk Jalan Tol,
Departemen Pekerjaan Umum Direktorat Jenderal Bina
Marga (No.007/BM/2009)

2.5.2.7 Lengkung Peralihan

Lengkung peralihan (Ls) berfungsi untuk memberikan kesempatan kepada pengemudi untuk mengantisipasi perubahan alinyemen jalan dari bentuk lurus (R tak terhingga) sampai bagian lengkung jalan dengan jari-jari R tetap, dengan demikian, gaya sentrifugal yang bekerja pada kendaraan saat melintasi tikungan berubah secara berangsur-angsur, baik ketika kendaraan mendekati tikungan maupun meninggalkan tikungan. Ketentuan lengkung peralihan adalah sebagai berikut:

- Bentuk lengkung peralihan yang digunakan adalah bentuk spiral (*clothoide*)
- Panjang lengkung peralihan ditetapkan atas pertimbangan pertimbangan sebagai berikut:
 - Waktu perjalanan melintasi lengkung peralihan.
 - Tingkat perubahan kelandaian melintang jalan.
 - Gaya sentrifugal yang bekerja pada kendaraan.
 - Tingkat perubahan kelandaian relative.
- Ls ditentukan yang memenuhi ke empat kriteria tersebut di atas, sehingga dipilih nilai Ls yang terpanjang.

a. Waktu Perjalanan Melintasi Lengkung Peralihan

Waktu perjalanan melintasi lengkung peralihan harus dibatasi untuk menghindarkan kesan perubahan alinyemen yang mendadak. Kriteria ini dihitung dengan rumus :

$$L = \frac{V_R}{3.6} T \quad \text{Pers. 2. 30}$$

Dimana:

- V_R = Kecepatan rencana (km/jam)
 T = Waktu tempuh pada lengkung
 peralihan (detik), ditetapkan 2 detik.
 atau digunakan tabel dibawah ini

Tabel 2. 19. Ls Min Berdasarkan Waktu Perjalanan

| V_R (km/jam) | Ls min (m) |
|----------------|------------|
| 120 | 67 |
| 100 | 56 |
| 80 | 45 |
| 60 | 34 |

Sumber:Buku Geometrik Jalan Bebas Hambatan untuk Jalan Tol, Departemen Pekerjaan Umum Direktorat Jenderal Bina Marga (No.007/BM/2009)

b. Tingkat Perubahan kelandaian Melintang Jalan

Tingkat perubahan kelandaian melintang jalan (re) dari bentuk kelandaian normal ke kelandaian superelevasi penuh tidak boleh melampaui re-max yang ditetapkan sebagai berikut:

- a. untuk $VR = 70$ km/jam, $re_{max} = 0,035$ m/m/detik,
- b. untuk $VR = 80$ km/jam, $re_{max} = 0,025$ m/m/detik.

Kriteria ini dihitung dengan rumus sebagai berikut:

$$L = \frac{(e - e_n) V_R}{3,6 r} \quad \text{Pers. 2. 31}$$

Dimana:

- e_m = Superelevasi maksimum (%)
 e_n = Superelevasi normal (%)
 V_R = Kecepatan rencana (km/jam)
 r = Tingkat perubahan kelandaian melintang jalan (m/m/det)
 Atau digunakan tabel dibawah ini.

Tabel 2. 20. Ls Min berdasarkan tingkat perubahan kelandaian melintang jalan

| e_m (%) | L_{min} min (m) | | | |
|--------------|--------------------|--------------------|-------------------|-------------------|
| | $V_R = 120$ km/jam | $V_R = 100$ km/jam | $V_R = 80$ km/jam | $V_R = 60$ km/jam |
| 10,0 | 107 | 89 | 71 | 38 |
| 9,5 | 100 | 83 | 67 | 36 |
| 9,0 | 93 | 78 | 62 | 33 |
| 8,5 | 87 | 72 | 58 | 31 |
| 8,0 | 80 | 67 | 53 | 29 |
| 7,5 | 73 | 61 | 49 | 26 |
| 7,0 | 67 | 56 | 44 | 24 |
| 6,5 | 60 | 50 | 40 | 21 |
| 6,0 | 53 | 44 | 36 | 19 |
| 5,5 | 47 | 39 | 31 | 17 |
| 5,0 | 40 | 33 | 27 | 14 |
| 4,5 | 33 | 28 | 22 | 12 |
| 4,0 | 27 | 22 | 18 | 10 |
| 3,5 | 20 | 17 | 13 | 7 |
| 3,0 | 13 | 11 | 9 | 5 |
| 2,5 | 7 | 6 | 4 | 2 |
| 2,0 | 0 | 0 | 0 | 0 |

Sumber:Buku Geometrik Jalan Bebas Hambatan untuk Jalan Tol, Departemen Pekerjaan Umum Direktorat Jenderal Bina Marga (No.007/BM/2009)

c. Gaya Sentrifugal yang Bekerja Pada Kendaraan

Gaya sentrifugal yang bekerja pada kendaraan dapat diantisipasi berangsur-angsur pada lengkung peralihan dengan aman. Gaya sentrifugal yang terjadi pada kendaraan dapat dihitung dengan rumus sebagai berikut :

$$F = \frac{G \times V^2}{G \times R} \quad \text{Pers. 2. 32}$$

Dimana :

G = Berat kendaraan

V = Kecepatan kendaraan

R = Jari-jari lengkung lintasan

Sedangkan untuk panjang lengkung peralihan yang dibutuhkan dapat dihitung dengan rumus sebagai berikut :

$$L = \frac{0,076}{R} V^2 \quad \text{Pers. 2. 33}$$

Dimana :

V_R = Kecepatan rencana (km/jam)

R = Radius tikungan (m)

C = Perubahan maksimum percepatan arah radial (m/det3), digunakan 1,2 m/det3

Atau digunakan tabel di bawah ini :

Tabel 2. 21 Ls Min Berdasarkan Antisipasi Gaya Sentrifugal

| R (m) | L _s min (m) | | | |
|----------|------------------------|--------------------|-------------------|-------------------|
| | $V_R = 120$ km/jam | $V_R = 100$ km/jam | $V_R = 80$ km/jam | $V_R = 60$ km/jam |
| 2500 | 12 | 7 | | |
| 2000 | 15 | 9 | 5 | |
| 1500 | 21 | 12 | 6 | 3 |
| 1400 | 22 | 13 | 7 | 3 |
| 1300 | 24 | 14 | 7 | 3 |
| 1200 | 26 | 15 | 8 | 3 |
| 1000 | 31 | 18 | 9 | 4 |
| 900 | 34 | 20 | 10 | 4 |
| 800 | 39 | 22 | 11 | 5 |
| 700 | 44 | 26 | 13 | 6 |
| 600 | 51 | 30 | 15 | 6 |
| 500 | | 36 | 18 | 8 |
| 400 | | 45 | 23 | 10 |
| 300 | | | 30 | 13 |
| 250 | | | 37 | 15 |
| 200 | | | | 19 |
| 175 | | | | 22 |
| 150 | | | | 26 |
| 140 | | | | 28 |
| 130 | | | | 30 |
| 120 | | | | 32 |
| 110 | | | | 35 |

Sumber:Buku Geometrik Jalan Bebas Hambatan untuk Jalan Tol, Departemen Pekerjaan Umum Direktorat Jenderal Bina Marga (No.007/BM/2009)

Panjang pencapaian perubahan kelandaian dari kemiringan normal sampai ke kemiringan superelevasi penuh (L_s) dihitung dengan menggunakan rumus:

$$L_s = \frac{(W - 1)e_d}{b_w} \quad \text{Pers. 2. 34}$$

Dimana :

w = Lebar satu lajur lalu lintas (m)

e_d = Superelevasi rencana (%)

n_1 = Jumlah lajur yang diputar

= Tingkat perubahan kelandaian
relative (m/m)

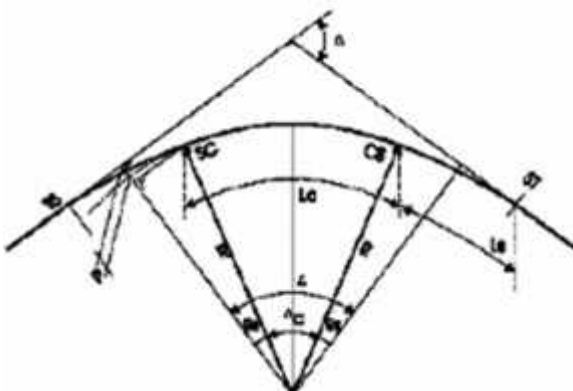
b_w = Faktor penyesuaian untuk jumlah
lajur yang diputar

| n_1 | 1 | 1,5 | 2 |
|-------|------|------|------|
| b_w | 1,00 | 0,83 | 0,75 |

Tikungan yang memiliki R dengan nilai $e = LN$ tidak memerlukan **lengkung peralihan** dan tikungan yang memiliki R dengan nilai $e = RC$ tidak memerlukan **superelevasi**

d. Persyaratan L_s min dan L_s max

Jika lengkung peralihan digunakan, maka posisi lintasan tikungan bergeser dari bagian jalan yang lurus ke arah sebelah dalam sejauh p .



Gambar 2. 13 Pergeseran Lintasan Pada Tikungan menggunakan Lengkung Peralihan

Sumber:Buku Geometrik Jalan Bebas Hambatan untuk Jalan Tol, Departemen Pekerjaan Umum Direktorat Jenderal Bina Marga (No.007/BM/2009)

$$P = \frac{L^2}{2} \quad \text{Pers. 2. 35}$$

Apabila nilai p kurang dari 0,20 m, maka lengkung peralihan tidak diperlukan. Sehingga tipe tikungan menjadi *full circle*.

$$L \text{ m} = \sqrt{2} (p_m) R \quad \text{Pers. 2. 36}$$

Lengkung peralihan juga dibatasi oleh besarnya nilai p yang dibolehkan jika menggunakan lengkung peralihan yaitu 1,0 m. Sehingga persamaan untuk panjang lengkung peralihan maksimumnya dibolehkan adalah sebagai berikut:

$$L \text{ m} = \sqrt{2} (p_m) R \quad \text{Pers. 2. 37}$$

Tabel 2. 23 Ls min dan Ls max berdasarkan Pergeseran lintasan (p)

| R (m) | Ls min (m) | Ls max (m) | R (m) | Ls min (m) | Ls max (m) | R (m) | Ls min (m) | Ls max (m) |
|----------|---------------|---------------|----------|---------------|---------------|----------|---------------|---------------|
| 5000 | 155 | 346 | 1000 | 69 | 155 | 250 | 35 | 77 |
| 3000 | 120 | 268 | 900 | 66 | 147 | 200 | 31 | 69 |
| 2500 | 110 | 245 | 800 | 62 | 139 | 175 | 29 | 65 |
| 2000 | 98 | 219 | 700 | 58 | 130 | 150 | 27 | 60 |
| 1500 | 85 | 190 | 600 | 54 | 120 | 140 | 26 | 58 |
| 1400 | 82 | 183 | 500 | 49 | 110 | 130 | 25 | 56 |
| 1300 | 79 | 177 | 400 | 44 | 98 | 120 | 24 | 54 |
| 1200 | 76 | 170 | 300 | 38 | 85 | 110 | 23 | 51 |

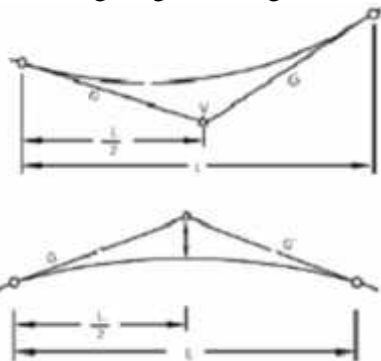
Sumber:Buku Geometrik Jalan Bebas Hambatan untuk Jalan Tol,
Departemen Pekerjaan Umum Direktorat Jenderal Bina
Marga (No.007/BM/2009)

2.5.3 Alinyemen Vertikal

a Umum

Alinyemen vertikal terdiri atas bagian lurus dan bagian lengkung.

- a. Bagian lurus dapat berupa landai positif (tanjakan), atau landai negatif (turunan), atau landai nol (datar).
- b. Bagian lengkung vertikal dapat berupa lengkung cekung atau lengkung cembung.



Gambar 2. 14 Lengkung Vertikal Cekung dan Lengkung vertikal Cembung

Sumber:Buku Geometrik Jalan Bebas Hambatan untuk Jalan Tol,
Departemen Pekerjaan Umum Direktorat Jenderal Bina
Marga (No.007/BM/2009)

Bila pelaksanaan konstruksi dilakukan secara bertahap selama masa konsesi jalan tol, maka harus dipertimbangkan, misalnya peningkatan perkerasan, penambahan lajur, dan dengan pelaksanaan pembiayaan yang efisien, dan dianjurkan, perubahan alinyemen vertikal di masa yang akan datang seharusnya dihindarkan.

b Kelandaian Alinyemen Vertikal

| Kelandaian Minimum

Kelandaian minimum harus diberikan apabila kondisi jalan tidak memungkinkan melakukan drainase ke sisi jalan. Besarnya kelandaian minimum ditetapkan 0,50% memanjang Jalan untuk kepentingan pematusan aliran air.

| Kelandaian Maksimum

Pembatasan kelandaian maksimum dimaksudkan untuk memungkinkan kendaraan bergerak terus tanpa kehilangan kecepatan yang berarti. Kelandaian maksimum jalan untuk alinyemen vertikal harus memenuhi tabel 2di bawah ini :

Tabel 2. 24 Kelandaian Maksimum

| V_R (km/jam) | Kelandaian Maksimum (%) | | |
|-------------------|-------------------------|------------|------------|
| | Datar | Perbukitan | Pegunungan |
| 120 | 3 | 4 | 5 |
| 100 | 3 | 4 | 6 |
| 80 | 4 | 5 | 6 |
| 60 | 5 | 6 | 6 |

Sumber:Buku Geometrik Jalan Bebas Hambatan untuk Jalan Tol, Departemen Pekerjaan Umum Direktorat Jenderal Bina Marga (No.007/BM/2009)

| Panjang landai kritis

Panjang landai kritis yaitu panjang landai maksimum dimana kendaraan dapat mempertahankan kecepatannya sedemikian rupa, yang ditetapkan atas dasar besarnya landai (tanjakan) dan penurunan kecepatan kendaraan

berat sebesar 15 km/jam. Panjang kritis ditetapkan dari tabel dibawah ini.

Tabel 2. 25 Panjang Landai Kritis

| V_R (km/jam) | Landai (%) | Panjang Landai Kritis (m) |
|-------------------|---------------|------------------------------|
| 120 | 3 | 800 |
| | 4 | 500 |
| | 5 | 400 |
| 100 | 4 | 700 |
| | 5 | 500 |
| | 6 | 400 |
| 80 | 5 | 600 |
| | 6 | 500 |
| | 6 | 500 |

Sumber:Buku Geometrik Jalan Bebas Hambatan untuk Jalan Tol, Departemen Pekerjaan Umum Direktorat Jenderal Bina Marga (No.007/BM/2009)

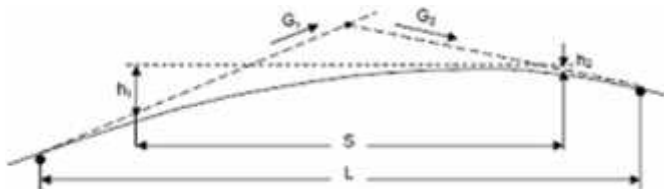
c Lengkung Vertikal Alinyemen Vertikal

) Lengkung Vertikal cembung

Panjang lengkung vertikal cembung, berdasarkan jarak pandangan henti ditentukan dengan rumus sebagai berikut:

- a. Jika jarak pandang henti lebih kecil dari panjang lengkung vertikal cembung ($S < L$), seperti pada gambar 2.14

$$L = \frac{A^2}{6} \quad \text{Pers. 2. 38}$$



Gambar 2. 15 Jarak Pandang Henti lebih Kecil dari panjang Lengkung Vertikal Cembung

Sumber:Buku Geometrik Jalan Bebas Hambatan untuk Jalan Tol, Departemen Pekerjaan Umum Direktorat Jenderal Bina Marga (No.007/BM/2009)

- b. Jika jarak pandang henti lebih besar dari panjang lengkung vertikal cembung ($S > L$), seperti pada Gambar dibawah ini

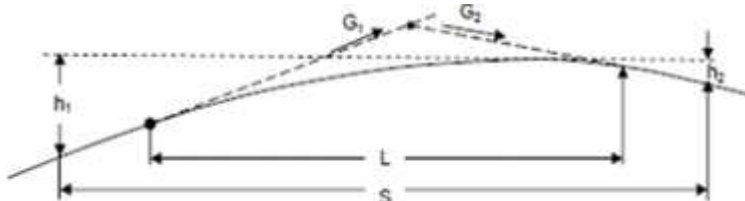
$$L = Z - \frac{6}{A} \quad \text{Pers. 2. 39}$$

Dimana :

L = Panjang lengkung vertikal (m)

A = Perbedaan aljabar landai (%)

S = Jarak pandang henti (m)



Gambar 2. 16 Jarak Pandang Lebih Besar dari Panjang lengkung Vertikal Cembung

Sumber:Buku Geometrik Jalan Bebas Hambatan untuk Jalan Tol, Departemen Pekerjaan Umum Direktorat Jenderal Bina Marga (No.007/BM/2009)

Nilai minimum untuk panjang lengkung vertikal pada kondisi jarak pandang lebih besar dari panjang lengkung vertikal, yaitu $L_{\min} = 0,6 V_R$, dimana V_R dalam km/jam dan L_{\min} dalam meter. Panjang minimum lengkung vertikal cembung berdasarkan jarak pandangan henti, untuk setiap kecepatan rencana (V_R) jalan tol dapat menggunakan tabel di bawah ini :

Tabel 2. 26 Panjang Lengkung Vertikal Cembung Berdasarkan Jarak Pandang Henti

| Perbedaan Aljabar Landai (%) | Panjang Lengkung Vertikal Cembung (m) | | | |
|------------------------------|---------------------------------------|----------------------------|---------------------------|---------------------------|
| | $V_R = 120 \text{ km/jam}$ | $V_R = 100 \text{ km/jam}$ | $V_R = 80 \text{ km/jam}$ | $V_R = 60 \text{ km/jam}$ |
| 12,0 | | 625 | 309 | 132 |
| 11,0 | | 573 | 283 | 121 |
| 10,0 | | 521 | 257 | 110 |
| 9,0 | | 469 | 232 | 99 |
| 8,0 | 760 | 417 | 206 | 88 |
| 7,0 | 665 | 365 | 180 | 76 |
| 6,0 | 570 | 313 | 155 | 61 |
| 5,0 | 475 | 261 | 129 | 39 |
| 4,0 | 380 | 209 | 96 | 36 |
| 3,0 | 285 | 151 | 48 | 36 |
| 2,0 | 171 | 60 | 48 | 36 |
| 1,0 | 72 | 60 | 48 | 36 |

Sumber:Buku Geometrik Jalan Bebas Hambatan untuk Jalan Tol, Departemen Pekerjaan Umum Direktorat Jenderal Bina Marga (No.007/BM/2009)

J Lengkung Vertikal Cekung

Panjang lengkung vertikal cekung, berdasarkan jarak pandangan henti ditentukan dengan rumus sebagai berikut:

- a. Jika jarak pandang henti lebih kecil dari panjang lengkung vertikal cekung ($S < L$)

$$L = \frac{A}{1 + 3,55} \quad \text{Pers. 2. 40}$$

- b. Jika jarak pandang henti lebih besar dari panjang lengkung vertikal cekung ($S > L$),

$$L = 2 - \frac{1 + 3,55}{A} \quad \text{Pers. 2. 41}$$

Dimana :

L = Panjang lengkung vertikal (m)

A = Perbedaan aljabar landai (%)

S = Jarak pandang henti (m)

Nilai minimum untuk panjang lengkung vertikal pada kondisi jarak pandang lebih besar panjang lengkung vertikal, yaitu L_{\min} adalah 0,6

V_R , dimana V_R dalam km/jam dan L_{min} dalam meter. Panjang minimum lengkung vertikal cekung berdasarkan jarak pandangan henti, untuk setiap kecepatan rencana (V_R) menggunakan tabel dibawah ini.

Tabel 2. 27 Panjang Lengkung Vertikal Cekung Berdasarkan Jarak Pandang Henti

| Perbedaan Aljabar Landai (%) | Panjang Lengkung Vertikal Cekung (m) | | | |
|------------------------------|--------------------------------------|--------------------|-------------------|-------------------|
| | $V_R = 120$ km/jam | $V_R = 100$ km/jam | $V_R = 80$ km/jam | $V_R = 60$ km/jam |
| 12,0 | | 536 | 353 | 208 |
| 11,0 | | 491 | 324 | 191 |
| 10,0 | | 446 | 294 | 174 |
| 9,0 | | 402 | 265 | 156 |
| 8,0 | 503 | 357 | 238 | 139 |
| 7,0 | 440 | 313 | 206 | 122 |
| 6,0 | 377 | 268 | 177 | 104 |
| 5,0 | 315 | 223 | 147 | 87 |
| 4,0 | 252 | 179 | 117 | 66 |
| 3,0 | 169 | 115 | 69 | 36 |
| 2,0 | 72 | 60 | 48 | 36 |
| 1,0 | 72 | 60 | 48 | 36 |

Sumber:Buku Geometrik Jalan Bebas Hambatan untuk Jalan Tol, Departemen Pekerjaan Umum Direktorat Jenderal Bina Marga (No.007/BM/2009)

cekung, maka panjang lengkung vertikal cekung harus lebih besar dari persamaan berikut:

$$L = \frac{A^2}{3} \quad \text{Pers. 2. 42}$$

Dimana :

L = Panjang lengkung vertikal (m)

A = Perbedaan aljabar landai (%)

V = Kecepatan rencana (km/jam)

Panjang minimum lengkung vertikal cekung berdasarkan faktor kenyamanan, untuk setiap kecepatan rencana (V_R) jalan tol dapat menggunakan tabel 2.29.

Tabel 2. 28 Panjang Lenkung Vertikal Cekung berdasarkan Faktor Kenyamanan

| Perbedaan Aljabar Landai (%) | Panjang Lengkung Vertikal Cekung (m) | | | |
|------------------------------|--------------------------------------|----------------------------|---------------------------|---------------------------|
| | $V_R = 120 \text{ km/jam}$ | $V_R = 100 \text{ km/jam}$ | $V_R = 80 \text{ km/jam}$ | $V_R = 60 \text{ km/jam}$ |
| 12,0 | | 304 | 194 | 109 |
| 11,0 | | 278 | 178 | 100 |
| 10,0 | | 253 | 162 | 91 |
| 9,0 | | 228 | 146 | 82 |
| 8,0 | 292 | 203 | 130 | 73 |
| 7,0 | 255 | 177 | 113 | 64 |
| 6,0 | 219 | 152 | 97 | 55 |
| 5,0 | 182 | 127 | 81 | 46 |
| 4,0 | 146 | 101 | 65 | 36 |
| 3,0 | 109 | 76 | 49 | 27 |
| 2,0 | 73 | 51 | 32 | 18 |
| 1,0 | 36 | 25 | 16 | 9 |

Sumber:Buku Geometrik Jalan Bebas Hambatan untuk Jalan Tol, Departemen Pekerjaan Umum Direktorat Jenderal Bina Marga (No.007/BM/2009)

2.5.4 Koordinasi Alinyemen Horizontal dan Alinyemen Vertikal

- a. Beberapa hal yang perlu diperhatikan dalam perencanaan alinyemen, adalah sebagai berikut : Alinyemen vertikal dan alinyemen horizontal terletak dalam 1 fase, sehingga tikungan tampak alami dan penegemudi dapat memperhatikan bentuk alinyemen berikutnya.
- b. Bila tikungan horizontal dan vertikal tidak terletak pada 1 fase maka pengemudi akan sukar untuk memperkirakan bentuk jalan selanjutnya dan bentuk jalan terkesan patah di suatu tempat.
- c. Tikungan yang tajam sebaiknya dihindari dibagian atas lengkung vertikal cembung atau dibagian bawah lengkung vertikal cekung. Alinyemen vertikal akan menghalangi pengemudi pada saat mulai memasuki awal tikungan. Kombinasi ini akan memberikan kesan terputusnya jalan yang sangat membahayakan penemudi.
- d. Pada jalan yang lurus dan panjang sebaiknya tidak dibuatkan lengkung vertikal cekung atau kombinasi lengkung vertikal cekung.
- e. Kelandaian yang landai dan pendek sebaiknya tidak ditelakkan diantara dua kelandaian yang curam sehingga mengurangi jarak pandang pengemudi.
- f. Jangan menempatkan bagian lurus pendek pada lengkung cembung akan memberikan efek loncatan pada pengemudi.
- g. Hindarkan menempatkan awal dari tikungan, mendekat puncak dari lengkungan cembung.

2.6 Perhitungan Perencanaan Tebal Perkerasan Kaku

2.6.1 Metode Perencanaan Jalan Beton Semen PD-T-14-2003

2.6.1.1 Nilai CBR Tanah Dasar

Daya Dukung tanah dasar ditentukan menggunakan pengujian CBR sesuai dengan SNI 03-17311989 atau CBR laboratorium sesuai dengan SNI 03-1744-1989. Apabila tanah dasar mempunyai nilai CBR < 2% , maka harus digunakan pondasi bawah yang terbuat dari *Lean-Mix Concrete* setebal 15 cm yang dianggap mempunyai CBR 5%.

2.6.1.2 Lapis pondasi Bawah

Lapis pondasi bawah pada perkerasan beton semen bukan merupakan bagian utama yang memikul bedan, tapi perlu digunakan terutama jika memiliki kondisi tanah dasar yang buruk. Selain itu Pondasi bawah (sub-base) juga memiliki keuntungan sebagai berikut :

- a. Menambah daya dukung lapisan tanah dasar.
 - b. Menyediakan Lantai kerja yang stabil untuk peralatan konstruksi
 - c. Untuk mendapatkan permukaan daya dukung yang seragam
 - d. Untuk mengurangi lendutan pada sambungan sehingga menjamin penyaluran beban melalui sambungan muai dalam jangka waktu lama.
 - e. Untuk menjaga perubahan volume lapisan tanah dasar yang besar akibat pemuaian dan penyusutan.
 - f. Untuk mencegah *pumping* , pada sambungan pelat..
- Lapis pondasi bawah perlu diperlebar sampai 60 cm diluar tepi perkerasan beton, untuk mendukung kinerja plat beton diatasnya .

Jenis jenis lapisan pondasi bawah :

]) **Pondasi Bawah material berbutir**

Material berbutir tanpa pengikat harus memenuhi persyaratan sesua dengan SNI-03-6388-2000. Persyaratan gradasi pondasi bawah dengan kelas B. Sebelum pekerjaan dimulai, bahan pondasi bawah harus diuji gradasinya dan harus memenuhi spesifikasi bahan untuk pondasi bawah, dengan penyimpangan ijin 3% - 5%. Ketebalan minimum lapis pondasi bawah untuk tanah dasar dengan CBR minumim 5% adalah 15 cm.

]) **Pondasi bawah dengan bahan pengikat (bound Sub-Base)**

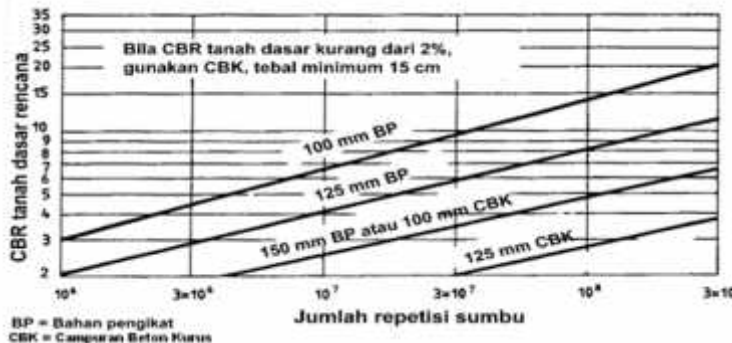
Pondasi bawah dengan bahan pengikat (BP) dapat digunakan salah satu dari :

- (i) Stabilisasi material berbutir dengan kadar bahan pengikat yang sesuai dengan hasil perencanaan, untuk menjamin kekuatan campuran dan ketahan terhadap erosi . Jenis bahan pengikat dapat meliputi semen, kapur, serta abu terbang atau slag yang dihaluskan.
- (ii) Campuran beraspal bergradasi rapat (dense-graded asphalt)
- (iii) Campuran beton kurus giling padat yang harus mempunyai kuat tekan karakteristik pada umum 28 hari minimum 5,5 Mpa (55 kg/cm^2)

]) **Pondasi bawah dengan Campuran Beton Kurus (Lean-Mix-Concrete)**

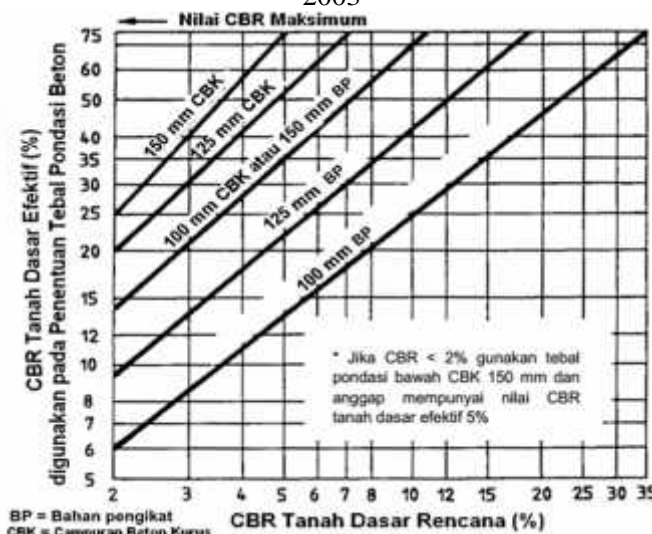
Campuran Beton Kurus (CBK) harus mempunyai kuat tekan beton karakteristik pada umumm 28 hari minimum 5 Mpa (50 Kg/cm²) tanpa menggunakan abu terbang , atau 7 Mpa (70 Kg/cm²) bila menggunakan abu terbang, dengan tebal minimum 10 cm .

Tebal lapis pondasi bawah minimum yang disarankan dapat dilihat pada gambar



Gambar 2. 17 Tebal perkeerasan Minimum untuk Perkerasan Beton

Sumber : Perencanaan Perkerasan Jalan Beton Semen PD-T-14-2003



Gambar 2. 18 CBR Tanah Dasar Efektif dan Tebal Pondasi

Sumber : Perencanaan Perkerasan Jalan Beton Semen Pd-T-14-2003

CBR tanah dasar rencanang diperoleh dari gambar 2.4 kemudian digunakan pada gambar 2.5 untuk mendapatkan CBR tanah dasar efektif , yang digunakan untuk menentukan tebal pelat beton. Perencanaan ini didasarkan bahwa antara pelat dengan pondasi bawah tidak ada ikatan. Jenis pemecah ikatan dan koefisien geseknya dapat dilihat pada tabel 2.30

Tabel 2. 29 Nilai Koefisien Geseukan (μ)

| No. | Lapis pemecah ikatan | Koefisien gesekan (μ) |
|-----|--|-----------------------------|
| 1 | Lapis resap ikat aspal di atas permukaan pondasi bawah | 1,0 |
| 2 | Laburan parafin tipis pemecah ikat | 1,5 |
| 3 | Karet kompon (<i>A chlorinated rubber curing compound</i>) | 2,0 |

Sumber: Perencanaan Perkerasan Jalan Beton Semen Pd-T-14-2003

2.6.1.3 Beban Lalu-Lintas Rencana

Lalu Lintas harus dianalisi berdasarkan hasil perhitungan volume lalu- lintas dan konfigurasi sumbu, menggunakan data terakhiratau data 2 tahun terakhir, sedangkan kendaraaan yang ditinjau untuk perencanaan perkerasan beton adalah kendaraaan niaga yang mempunyai berat total 5 ton. Konfigurasi sumbu untuk perencanaan terdiri atas 4 jenis kelompok sumbu sebagai berikut :

-]) Sumbu Tunggal Roda Tunggal (STRT)
-]) Sumbu Tunggal Ganda (STRG)
-]) Sumbu Tandem Roda Ganda (STdRG)
-]) Sumbu Tridem Roda Ganda (STrRG)

2.6.1.4 Koefisien Distribusi

Koefisien distribusi (C) kendaraan niaga dapat ditentukan dari lebar perkerkerasan seperti pada Tabel 2.2 berikut

Tabel 2. 30 Koefisien Distribusi Kendaraan Niaga pada Lajur Rencana

| Lebar perkerasan (L_p) | Jumlah lajur (n_l) | Koefisien distribusi | |
|--|------------------------|----------------------|--------|
| | | 1 Arah | 2 Arah |
| $L_p < 5,50 \text{ m}$ | 1 lajur | 1 | 1 |
| $5,50 \text{ m} \leq L_p < 8,25 \text{ m}$ | 2 lajur | 0,70 | 0,50 |
| $8,25 \text{ m} \leq L_p < 11,25 \text{ m}$ | 3 lajur | 0,50 | 0,475 |
| $11,25 \text{ m} \leq L_p < 15,00 \text{ m}$ | 4 lajur | - | 0,45 |
| $15,00 \text{ m} \leq L_p < 18,75 \text{ m}$ | 5 lajur | - | 0,425 |
| $18,75 \text{ m} \leq L_p < 22,00 \text{ m}$ | 6 lajur | - | 0,40 |

Sumber : Perencanaan Perkerasan Jalan Beton Semen PD-T-14-2003

2.6.1.5 Pertumbuhan Lalu-Lintas

Faktor pertumbuhan lalu lintas yang dapat ditentukan berdasarkan rumus sebagai berikut :

$$R = \frac{(1+i)^{UR} - 1}{i} \quad \text{Pers. 2. 43}$$

Dimana :

R = Faktor pertumbuhan lalu lintas

I = Laju pertumbuhan lalu lintas per tahun (%)

UR = Umur rencana (tahun)

Selain menggunakan rumus diatas, Fator pertumbuhan lalu-lintas (R) dapat juga ditentukan berdasarkan Tabel dibawah ini

Tabel 2. 31 Faktor Pertumbuhan lalu Lintas (R)

| Umur Rencana (Tahun) | Laju Pertumbuhan (i) per tahun (%) | | | | | |
|-------------------------|------------------------------------|------|------|-------|-------|-------|
| | 0 | 2 | 4 | 6 | 8 | 10 |
| 5 | 5 | 5,2 | 5,4 | 5,6 | 5,9 | 6,1 |
| 10 | 10 | 10,9 | 12 | 13,2 | 14,5 | 15,9 |
| 15 | 15 | 17,3 | 20 | 23,3 | 27,2 | 31,8 |
| 20 | 20 | 24,3 | 29,8 | 36,8 | 45,8 | 57,3 |
| 25 | 25 | 32 | 41,6 | 54,9 | 73,1 | 98,3 |
| 30 | 30 | 40,6 | 56,1 | 79,1 | 113,3 | 164,5 |
| 35 | 35 | 50 | 73,7 | 111,4 | 172,3 | 271 |
| 40 | 40 | 60,4 | 95 | 154,8 | 259,1 | 442,6 |

Sumber : Perencanaan Perkerasan Jalan Beton Semen PD-T-14-2003

2.6.1.6 Lalu-Lintas Rencana

Lalu lintas rencana adalah jumlah kumulatif seumbu kendaraan niaga pada lajur rencana selama umur rencana, meliputi proporsi sumbu serta distribusi beban pada setiap jenis sumbu kendaraan.

Jumlah sumbu kendaraan niaga selama umur rencana dihitung dengan rumus sebagai berikut :

$$\text{JSKN} = \text{JSKNH} \times 365 \times R \times C \quad \text{Pers. 2. 44}$$

Dimana :

JSKN = Jumlah total sumbu kendaraan niaga selama umur rencana

JSKNH = Jumlah total sumbu kendaraan niaga per hari

R = Faktor pertumbuhan lalu lintas dari persamaan
(2.21)

C = Koefisien distribusi kendaraan

2.6.1.7 Faktor Keamanan Beban

Pada penentuan beban rencana, beban sumbu dikalikan dengan faktor keamanan beban (F_{KB}), seperti terlihat pada tabel 2.33

Tabel 2. 32 Faktor Keamanan Beban (F_{KB})

| No. | Penggunaan | Nilai F_{KB} |
|-----|--|----------------|
| 1 | Jalan bebas hambatan utama (<i>major freeway</i>) dan jalan berjajur banyak, yang aliran lalu lintasnya tidak terhambat serta volume kendaraan niaga yang tinggi. Bila menggunakan data lalu-lintas dari hasil survei beban (<i>weight-in-motion</i>) dan adanya kemungkinan route alternatif, maka nilai faktor keamanan beban dapat dikurangi menjadi 1,15. | 1,2 |
| 2 | Jalan bebas hambatan (<i>freeway</i>) dan jalan arteri dengan volume kendaraan niaga menengah. | 1,1 |
| 3 | Jalan dengan volume kendaraan niaga rendah. | 1,0 |

Sumber : Perencanaan Perkerasan Jalan Beton Semen PD-T-14-2003

2.6.1.8 Bahu

Bahu dapat terbuat dari bahan lapisan pondasi bawah dengan atau tanpa lapisan penutup beraspal atau lapisan beton semen. Perbedaan kekuatan antara bahu dengan

jalur lalu lintas akan memberikan pengaruh pada kinerja perkerasan. Hal tersebut dapat diatasi dengan bahan beton semen, sehingga akan meningkatkan kinerja perkerasan dan mengurangi tebal pelat.

2.6.1.9 Perencanaan Jenis Sambungan

Adapun Sambungan pada perkerasan beton semen digunakan untuk :

-]/ Membatasi tegangan dan pengendalian retak yang disebabkan oleh penyusutan, pengaruh lenting, serta beban lalu-lintas
-]/ Memudahkan pelaksanaan.
-]/ Mengakomodasi gerak pelat.

Semua sambungan harus ditutup dengan bahan penutup (*joint sealer*), kecuali pada sambungan isolasi; harus diberi bahan pengisi (*joint filler*). Penutup sambungan dimaksudkan untuk mencegah masuknya air dan benda lain ke dalam sambungan perkerasan.

Jenis sambungan yang tedapat pada perkerasan kaku anatara lain :

1. Sambungan memanjang dengan batang pengikat (tie bars)

Sambungan memanjang berfungsi untuk mengendalikan terjadinya retak memanjang. Jarak antar sambungan memanjang $\pm 3 - 4$ m. Sambungan memanjang harus dilengkapi dengan batang ulir sebagai batang pengikat dengan minimum BJTU-24 dengan diameter 16.

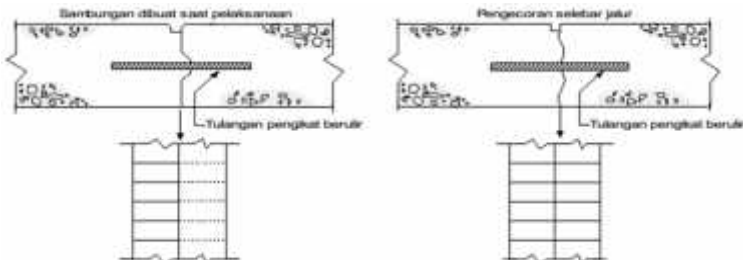
Sedangkan ukuran batang pengikat dihitung dengan persamaan sebagai berikut :

$$At = 204 \times b \times h \quad \text{Pers. 2. 45}$$

$$1 = (38,3 \times) + 75 \quad \text{Pers. 2. 46}$$

Dimana :

- At = Luas penampang tulangan per o0. panjang sambungan (mm²)
- b = Jarak terkecil antar sambungan atau jarak sambungan dengan tepi perkerasan(m)
- h = Tebal pelat beton (m)
- l = Panjang batang pengikat (mm)
- = Diameter batang pengikat yang dipilih (mm)



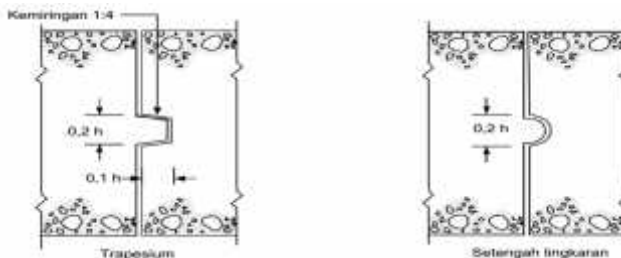
Gambar 2. 19. Tipikal Sambungan Memanjang

Sumber : Perencanaan Perkerasan Jalan Beton Semen PD-T-14-2003

2. Sambungan Susut Memanjang

Sambungan susut memanjang dapat dilakukan dengan salah satu dari dua cara yaitu menggergaji atau membentuk pada saat beton masih plastis dengan kedalaman sepertiga dari tebal pelat.

Sambungan Pelaksanaan Memanjang umumnya dilakukan dengan cara penguncian. Bentuk dan ukuran penguncian dapat berbentuk trapesium atau setengah lingkaran sebagaimana diperlihatkan pada gambar



Gambar 2. 20 Ukuran Standar Penguncian Sambungan Memanjang
Sumber : Perencanaan Perkerasan Jalan Beton Semen PD-T-14-2003

3. Sambungan Susut Melintang

Kedalaman sambungan kurang lebih seperempat dari tebal pelat untuk lapis pondasi berbutir, dan sepertiga dari tebal pelat untuk lapis pindasi stabilisasi semen sebagai mana diperlihatkan pada Gambar 2.

Jarak sambungan susut melintang untuk perekerasan beton bersambung tanpa tulanganan $\pm 4 - 5$ m, sedangkan untuk perekerasan beton bersambung dengan tulangan $\pm 8 - 15$ m dan untuk sambungan perkerasan beton menerus dengan tulangan sesuai dengan kemampuan pelaksanaan.

Sambungan ini harus dilengkapi dengan tulangan ruji polos panjang 45 cm, jarak antar ruji 30 cm, lurus dan bebas dari tonjolan tajam yang akan mempengaruhi gerakan bebas pada saat pelat beton menyusut.

Setengah panjang ruji polos harus dilumuri cat tau bahan anti lengket untuk menjamin tidak ada ikatan dengan beton. Diameter ruji tergantung dari tebal pelat beton sebagaimana terlihat pada Tabel

Tabel 2. 33 Diameter Sambungan Berdasarkan Tebal Pelat Beton

| No | Tebal Pelat Beton, h (mm) | Diameter ruji (mm) |
|----|------------------------------|-----------------------|
| 1 | $125 < h \leq 140$ | 20 |
| 2 | $140 < h \leq 160$ | 24 |
| 3 | $160 < h \leq 190$ | 28 |
| 4 | $190 < h \leq 220$ | 33 |
| 5 | $220 < h \leq 250$ | 36 |

Sumber : Perencanaan Perkerasan Jalan Beton Semen PD-T-14-2003



Gambar 2. 21 Sambungan Susut Melintang Tanpa Ruji

Sumber : Perencanaan Perkerasan Jalan Beton Semen PD-T-14-2003



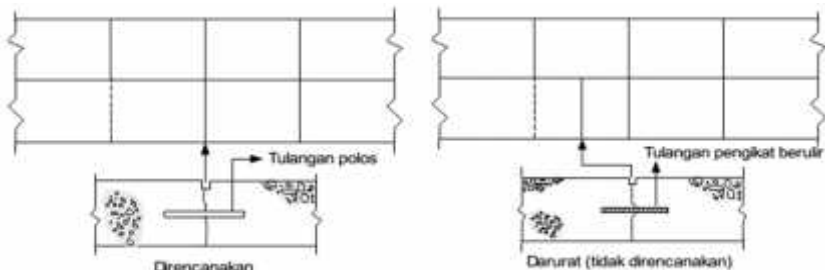
Gambar 2. 22 Sambungan Susut Melintang Dengan Ruji

Sumber : Perencanaan Perkerasan Jalan Beton Semen PD-T-14-2003

4. Sambungan Pelaksanaan Melintang

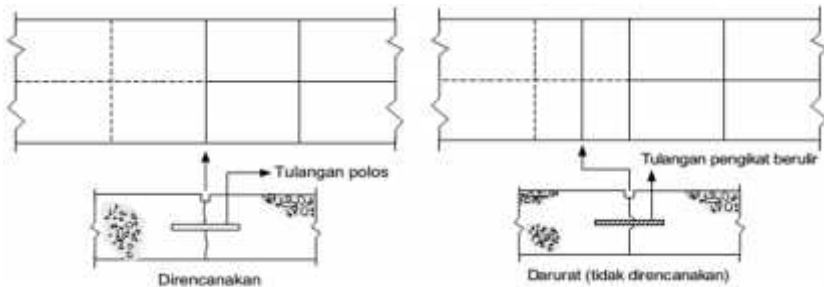
Sambungan pelaksanaan melintang yang tidak direncanakan (darurat) harus menggunakan batang pengikat berulir, sedangkan pada sambungan yang direncanakan harus menggunakan batang tulangan polos yang diletakkan ditengah tebal pelat. Tipikal sambungan pelaksanaan melintang diperlihatkan pada Gambar dan gambar

Sambungan pelaksanaan tersebut diatas harus dilengkapi dengan atang pengikat berdiameter 16 mm, panjang 69 cm dan jarak 60 cm, untuk ketebalan pelat samapai 17 cm. Untuk ketebalan pelat lebih dari 17 cm, ukuran batang pengikat 20 mm, panjang 84 cm dan jarak 60 cm.



Gambar 2. 23 Sambungan Pelaksanaan yang Direncanakan dan Tidak Direncanakan Per Lajur

Sumber : Perencanaan Perkerasan Jalan Beton Semen PD-T-14-2003



Gambar 2. 24 Sambungan Pelaksanaan yang Direncanakan dan Tidak Direncakan Per Lajur

Sumber : Perencanaan Perkerasan Jalan Beton Semen PD-T-14-2003

2.6.1.10 Perencanaan Tebal perkerasan

Tebal pelat taksiran dipilih dan total fatik serta kerusakan erosi dihitung berdasarkan komposisi lalu-lintas selama umur rencana. Jika kerusakan fatik atau erosi lebih dari 100%, tebal taksiran dinaikan dan proses perencanaan diulangi. Tebal rencana adalah tebal taksiran yang paling kecil yang mempunyai total fatik dan atau total kerusakan erosi lebih kecil atau sama dengan 100%.

2.6.2 Metode American Associate of State Highway and Transportation Official 1993 (AASHTO 1993)

2.6.2.1 Analisis Lalu-Lintas

Parameter - parameter perencanaan untuk traffic Design adalah sebagai berikut :

- ⟩ Umur Rencana
- ⟩ Volume lalu-lintas harian rata – rata (LHR)
- ⟩ Angka Ekivalen (E)
- ⟩ Pertumbuhan lalu-lintas tahunan (G)
- ⟩ Faktor distribusi arah (D_D)
- ⟩ Faktor disrtribusi jalur (D_L)

1. Analysis Periode/Umur Rencana

Tabel 2. 34. Besaran Umur Rencana Berdasarkan Volume Kendaraan

| Highway Condition | Analysis Period (Year) |
|------------------------------|------------------------|
| High-Volume Urban | 30-50 |
| High-Volume Rural | 20-50 |
| Low-Volume Paved | 15-25 |
| Low-Volume Aggregate Surface | 10-20 |

Sumber : AASHTO 1993

Umur rencana rigid Pavement untuk Tol Mojokerto- Kertosono Seksi II diambil 30 tahun.

2. Load Equivalency Factor/Angka Ekivalensi (E)

Angka Ekivalen (E) untuk masing – masing golongan beban gandar sumbu setiap kendaraan ditentukan menggunakan tabel pada lampiran. Untuk presentase beban setiap jenis kendaraan menggunakan peraturan Bina Marga. Penentuan angka ekivalen ini (E) dibedakan berdasarkan beban sembu gandar kendaraan (Sumbu tunggal atau Sumbu tandem) dan nilai Pt (Pt = 2 atau Pt = 2,5).

3. Directional Distribution Factor/Faktor Distribusi Arah (D_D)

Faktor distribusi arah $D_D = 0,3 - 0,7$
Umumnya diambil 0,5

4. Lane Distribusi Factor/Faktor distribusi Lajur (D_L)

Tabel 2. 35 Faktor Distribusi (D_L)

| Number of Lane in Each Direction | $D_L (%)$ |
|----------------------------------|-----------|
| 1 | 100 |
| 2 | 80-100 |
| 3 | 60-80 |
| 4 | 50-75 |

Sumber : AASHTO 1993

2.6.2.2 Desain ESAL

Beban gandar standar kumulatif untuk 2 arah /*cumulative two-directional predicated for spesific section*

$$W_{18} = LHR \times E \times 365 \quad \text{Pers. 2. 47}$$

Dimana :

W_{18} = Beban Gandar Standart Kumulatif
untuk 2 Arah

LHR = Jumlah lalu lintas harian untuk rata-rata
2 arah untuk jenis kendaraan j.

E = Angka ekivalen

Lalu Lintas pada Lajur Rencana Selama Setahun

$$W_{18} = D_D \times D_L \times W_{18} \quad \text{Pers. 2. 48}$$

Dimana :

W_{18} = Lalu lintas pada lajur rencana selama
setahun

D_D = Faktor diostribusi arah

D_L = Faktor distribusi lajur

Jumlah beban gandar tunggal standar kumulatif

Untuk menentukan lalu lintas kumulatif pada umur rencana yaitu dengan mengalikan lalu lintas pada lajur rencana yaitu dengan mengalikan lalu lintas pada lajur rencana selama setahun dengan tingkat pertumbuhan lalu lintas.

$$W_t = W_{18} \frac{(1+g)^{n-1}}{g} \quad \text{Pers. 2. 49}$$

Dimana :

W_t = Jumlah beban gandar tunggal standart kumulatif

W_{18} = Lalu lintas pada lajur rencana selama setahun

n = Umur pelajaran, umur rencana (tahun)

g = Pertumbuhan lalu lintas (%)

2.6.2.3 Reliability

Dalam proses perencanaan perkerasan terdapat beberapa ketidak mungkinan. Reliability adalah probabilitas yang bisa menjamin bahwa perkerasan yang direncanakan akan bertahan selama selang waktu yang direncanakan (umur rencana). menutut AASHTO 1993 penetapan angka Reliability adalah dari 50 % sampai 99,99 % , penetuan tingkatan reliability ini tergantung pada volume jalan, klasifikasi jalan yang direncanakan dan ekspansi pengguna jalan. Semakin tinggi tingkat reliability yang dipilih semakin tebal lapisan perkerasan yang dibutuhkan. . Parameter reliability adalah sebagai berikut :

- a. Penetapan tingkat Reliability (R)
- b. Penetapan Standart Normal Deviation (Z_R)
- c. Penetapan Standart Deviasi (S_o)

Tabel 2. 36 Tingkat Reliability (R) Untuk Bermacam –macam Klasifikasi Jalan

| Functional Classification | Recommended Level Of Reliability | |
|-------------------------------|----------------------------------|---------|
| | Urban | Rural |
| Interstate and Other Freeways | 85-99.9 | 85-99.9 |
| Principal Arterials | 80-99 | 75-95 |
| Collectors | 80-95 | 75-95 |
| Local | 50-80 | 50-80 |

Sumber : AASHTO 1993

Tabel 2. 37 Nilai Standart normal deviation (Z_R) Untuk Tingkat Reliability Tertentu

| R(%) | Z_R | R(%) | Z_R |
|------|--------|-------|--------|
| 50 | -0,000 | 93 | -1,476 |
| 60 | -0,253 | 94 | -1,555 |
| 70 | -0,524 | 95 | -1,645 |
| 75 | -0,674 | 96 | -1,751 |
| 80 | -0,841 | 97 | -1,881 |
| 85 | -1,037 | 98 | -2,054 |
| 90 | -1,282 | 99 | -2,327 |
| 91 | -1,340 | 99,9 | -3,090 |
| 92 | -1,405 | 99,99 | -3,750 |

Sumber : AASHTO 1993

Menurut AASHTO 1993 Standartdeviation untuk rigid pavement (So) adalah 0,30 – 0,40

2.6.2.4 Serviceability

Serviability merupakan tingkat pelayanan yang diberikan oleh sistem perkerasan kepada pengguna jalan. Tingkat pelayanan dibagi menjadi 2 yaitu :

- ✓ tingkat pelayanan awal /Initial Serviceability (Po)
- ✓ tingkat pelayanan akhir /Terminal Serviceability (Pt).

Tingkat pelayanan awal berdasarkan AASHTO 1993 diharuskan sama atau lebih dari 4,0. Nilai Tingkat

pelayanan awal (P_o) untuk perkerasan kaku yang direkomendasikan oleh AASHTO road Teast adalah 4,5. Kriteria untuk menentukan tingkat pelayanan pada akhir umur rencana (P_t) dapat didasarkan dari volume lalu lintas. Nilai P_t berdasarkan volume lalu lintas ditunjukkan pada tabel 2.1

Tabel 2. 38 Terminal Serviceability Index(P_t)

| Percent of People Stating Unacceptable | P_t |
|---|-------|
| 12 | 3,0 |
| 55 | 2,5 |
| 85 | 2,0 |

Sumber : AASHTO 1993

Terminal Serviceability Index untuk Jalan utama (Major Highways) : $P_t = 2,5$ atau lebih

Terminal Serviceability Untuk jalan lalu lintas rendah : $P_t = 2,0$

Selanjutnya total loss of serviability PSI dapat dihitung dengan menggunakan persamaan sebagai berikut :

$$\text{PSI} = P_o - P_t \quad \text{Pers. 2. 50}$$

Dimana :

P_o = Indeks pelayanan pada awal umur rencana.

P_t = Indeks pelayanan pada akhir umur rencana.

2.6.2.5 Modulus reaksi Tanah Dasar

Modulus reaksi tanah dasar (k) dihitung menggunakan gabungan formula dan grafik. Penentuan modulus reaksi tanah dasar berdasarkan nilai CBR tanah dasar.

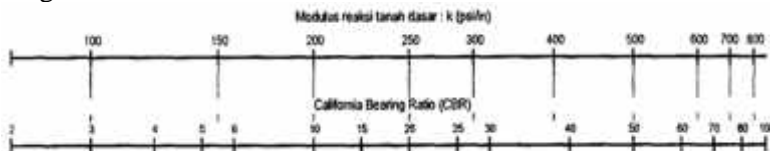
$$M_R = 1.500 \times \text{CBR Tanah Dasar} \quad \text{Pers. 2. 51}$$

$$k = \frac{M_R}{1.4}$$

Dimana :

M_R = Resilient modulus (psi)

Dapat juga menggunakan grafik hubungan antara nilai CBR dengan k



Sumber : Highway Engineering (Teknik Jalan Raya)

2.6.2.6 Modulus Elastisitas Beton

$$E_c = 57.000 \sqrt{f'_c} \quad \text{Pers. 2. 52}$$

Dimana :

E_c = Modulus elastisitas beton (psi)

f'_c = Kuat tekan beton, silinder (psi)

Kuat tekan beton f'_c diteapkan sesuai dengan spesifikasi pekerjaan . Di Indonesia umumnya digunakan $f'_c = 350 \text{ kg/cm}^2$.

2.6.2.7 Flexural Strength

Flexual Strength (modulus of rupture) ditetapkan sesuai dengan spesifikasi pekerjaan. Flexual strength di Indonesia umumnya digunakan $S_c' = 45 \text{ kg/cm}^2 = 640 \text{ psi}$ (untuk pelat beton

2.6.2.8 Load Transfer Coefficient

Tabel 2. 39 Load Transfer Coefficient (J)

| Shoulder | Asphalt | | Tied PCC | |
|---------------------------------------|-----------|-----------|-----------|-----------|
| Load transfer devices | Yes | No | Yes | No |
| Pavement type | | | | |
| 1. Plain jointed & jointed reinforced | 3.2 | 3.8 – 4.4 | 2.5 – 3.1 | 3.6 – 4.2 |
| 2. CRCP | 2.9 – 3.2 | N/A | 2.3 – 4.4 | 3.6 – 4.2 |

Sumber : AASHTO 1993

Pendekatan penetapan parameter load transfer :

- a. Joint dengan dowel : $J = 2,5 - 3,1$
- b. Untuk overlay : $J = 2,2 - 2,6$

2.6.2.9 Drainage Coefficient

AASHTO memberikan 2 variabel untuk menentukan nilai koefisien drainase (C_d) :

1) Variabile pertama

Mutu drainase ditentukan oleh berapa lama air dapat dibebaskan dari pondasi perkerasan. Penetapan variable pertama mengacu pada tabel 2.2

Tabel 2. 40 Quality of drainage

| Quality of drainage | Water removed within |
|---------------------|-----------------------|
| Excellent | 2 jam |
| Good | 1 hari |
| Fair | 1 minggu |
| Poor | 1 bulan |
| Very Poor | Air tidak terbebaskan |

Sumber : AASHTO 1993

Lama dan frekuensi hujan rata – rata terjadi selama 3 jam per hari dan jarang sekali terjadi hujan

terus menerus selama 1 minggu. Maka di perkiraan air dapat diserap oleh pondasi selama 1 hari sehingga pemilihan mutu drainase adalah berkisar *Good*.

J Variabel kedua

Penetapan faktor varibel kedua yaitu Prosen struktur dalam 1 tahun terkena air sampai tingkat *saturated*, relatif sulit, belum ada data rekaman pembanding dari jalan lain , namun dengan pendekatan –pendekatan, pengamatan dan perkiraan berikut ini, nilai dari faktor variable kedua tersebut dapat didekati.

Prosen struktur perkerasan dalam 1 tahun terkena air dapat dilakukan pendekatan dengan asumsi sebagai berikut :

$$P_{\text{heff}} = \frac{T_{\text{ja}}}{2} \times \frac{T_{\text{h}}}{3} \times W_L \times 1 \quad \text{Pers. 2. 53}$$

Dimana :

P_{heff} = prosen hari efektif hujan dalam setahun yang akan berpengaruh terkenanya perkerasan (%)

T_{jam} = Rata – rata hujan per hari (jam)

T_{hari} = Rata – rata jumlah hari per tahun (hari)

W_L = Faktor air hujan yang akanmasuk ke pondasi jalan (%)

Selanjutnya drainage coefficient (C_d) mengacu pada tabel 2.55

Tabel 2. 41 Drainage coefficient (C_d)

| Quality of drainage | Percent of time pavement structure is exposed to moisture levels approaching saturation | | | |
|----------------------------|--|----------------|-----------------|------------------|
| | < 1 % | 1 – 5 % | 5 – 25 % | > 25 % |
| Excellent | 1.25 – 1.20 | 1.20 – 1.15 | 1.15 – 1.10 | 1.10 |
| Good | 1.20 – 1.15 | 1.15 – 1.10 | 1.10 – 1.00 | 1.00 |
| Fair | 1.15 – 1.10 | 1.10 – 1.00 | 1.00 – 0.90 | 0.90 |
| Poor | 1.10 – 1.00 | 1.00 – 0.90 | 0.90 – 0.80 | 0.80 |
| Very poor | 1.00 – 0.90 | 0.90 – 0.80 | 0.80 – 0.70 | 0.70 |

Sumber : AASHTO 1993

2.6.2.10 Persamaan Penentu Tebal Pelat (D)

$$\log W_{18} = Z_r \times S_o + 7,35 \times \log(D+1) - 0,06 + \frac{\log(\frac{D \cdot \text{PSI}}{4,5 - 1,5})}{1 + \frac{1,624 \times 10^7}{(D+1)^{0,49}}} + (4,22 - 0,32 \times \text{IP}) \times \log \left(\frac{S_c' \times C_d (D^{0,75} - 1,123)}{215,63 \times \left[\left(\frac{E_c}{k} \right)^{0,75} - \frac{18,42}{k} \right]} \right)$$

Pers. 2. 54

Dimana :

W_{18} = Beban sumbu standar total (ESA) selama umur rencana

Z_r = Standar Normal Deviasi

S_o = Standar deviasi

D = Tebal pelat beton (inc)

PSI = Serviability

Po = Initial serviceability index

S_c' = Modulus of rupture sesuai spesifikasi pekerjaan (psi)

C_d = Drainage Coefficient

J = Load transfer coefficient

E_c = Modulus elastisitas (psi)

k = Modulus reaksi tanah dasar (pci)

2.7 Prencanaan Drainase

Perencanaan saluran tepi bertujuan untuk mengendalikan alu air sehingga tidak ada endapan pada permukaan jalan yan nantinya jika dibiarkan akan merusak perkerasan jalan tersebut.

2.7.1 Menghitung Intensitas Curah Hujan

Rumus menghitung intensitas curah hujan (I) menggunakan analisa distribusi frekuensi sebagai berikut :

$$Sx = \sqrt{\frac{(X_f - X)^2}{n}} \quad \text{Pers. 2. 55}$$

$$X_T = X + \frac{s}{s} (YT - YN) \quad \text{Pers. 2. 56}$$

$$I = \frac{9 \% X}{4} \quad \text{Pers. 2. 57}$$

Keterangan :

- XT = Besarnya curah hujan untuk periode ulang T tahun (mm)/24jam
- X = Nilai rata-rata aritmatik hujan kumulatif
- Sx = Standar deviasi
- YT = Variasi yang merupakan fungsi periode ulang (tabel 2.35)
- YN = Nilai yang tergantung pada N (tabel 2.36)
- SN = Standart deviasi merupakan fungsi dari N (tabel 2.37)
- I = Intensitas curah hujan (mm/jam)

Tabel 2. 42 Nilai Yt

| Periode Ulang (Tahun) | Variasi yang berkurang |
|--------------------------|---------------------------|
| 2 | 0.3665 |
| 5 | 1.4999 |
| 10 | 2.2502 |
| 25 | 3.1985 |
| 50 | 3.9019 |
| 100 | 4.6001 |

Sumber : Tata Cara Perencanaan Drainase Jalan T-03-3424-1994

Tabel 2. 43 Tabel Yn

| n | 0 | 1 | 2 | 3 | 4 | 5 | 6 | 7 | 8 | 9 |
|----|--------|--------|--------|--------|--------|--------|--------|--------|--------|--------|
| 10 | 0,4952 | 0,4996 | 0,5035 | 0,5070 | 0,5100 | 0,5126 | 0,5157 | 0,5181 | 0,5202 | 0,5220 |
| 20 | 0,5225 | 0,5252 | 0,5288 | 0,5283 | 0,5255 | 0,5309 | 0,5320 | 0,5332 | 0,5343 | 0,5353 |
| 30 | 0,5352 | 0,5371 | 0,5380 | 0,5368 | 0,5402 | 0,5402 | 0,5410 | 0,5418 | 0,5424 | 0,5432 |
| 40 | 0,5435 | 0,5422 | 0,5448 | 0,5453 | 0,5458 | 0,5453 | 0,5468 | 0,5473 | 0,5477 | 0,5481 |
| 50 | 0,5485 | 0,5485 | 0,5493 | 0,5497 | 0,5501 | 0,5504 | 0,5508 | 0,5511 | 0,5519 | 0,5518 |
| 60 | 0,5521 | 0,5534 | 0,5527 | 0,5530 | 0,5533 | 0,5535 | 0,5538 | 0,5540 | 0,5543 | 0,5545 |
| 70 | 0,5548 | 0,5552 | 0,5555 | 0,5555 | 0,5557 | 0,5559 | 0,5561 | 0,5563 | 0,5565 | 0,5567 |
| 80 | 0,5569 | 0,5570 | 0,5572 | 0,5574 | 0,5576 | 0,5578 | 0,5580 | 0,5581 | 0,5583 | 0,5585 |
| 90 | 0,5586 | 0,5587 | 0,5989 | 0,5591 | 0,5592 | 0,5593 | 0,5595 | 0,5596 | 0,5598 | 0,5599 |

Sumber : Tata Cara Perencanaan Drainase Jalan T-03-3424-1994

Tabel 2. 44 Tabel Sn

| n | 0 | 1 | 2 | 3 | 4 | 5 | 6 | 7 | 8 | 9 |
|----|--------|--------|--------|--------|--------|--------|--------|--------|--------|--------|
| 10 | 0,9496 | 0,9676 | 0,9833 | 0,9971 | 1,0095 | 1,0206 | 1,0316 | 1,0411 | 1,0493 | 1,0565 |
| 20 | 0,0628 | 1,0695 | 1,0695 | 1,0811 | 1,0854 | 1,0915 | 1,0961 | 1,1004 | 1,1047 | 1,1066 |
| 30 | 0,1124 | 1,1199 | 1,1199 | 1,1226 | 1,1255 | 1,1285 | 1,1313 | 1,1339 | 1,1363 | 1,1338 |
| 40 | 0,1413 | 1,1435 | 1,1435 | 1,1480 | 1,1499 | 1,1519 | 1,1538 | 1,1557 | 1,1574 | 1,1590 |
| 50 | 0,1607 | 1,1523 | 1,1523 | 1,1558 | 1,1557 | 1,1581 | 1,1596 | 1,1708 | 1,1721 | 1,1734 |
| 60 | 0,1747 | 1,1759 | 1,1759 | 1,1782 | 1,1782 | 1,1803 | 1,1814 | 1,1824 | 1,1834 | 1,1844 |
| 70 | 0,1899 | 1,1653 | 1,1653 | 1,1681 | 1,1690 | 1,1698 | 1,1906 | 1,1915 | 1,1923 | 1,1930 |
| 80 | 0,1938 | 1,1945 | 1,1945 | 1,1959 | 1,1967 | 1,1973 | 1,1980 | 1,1967 | 1,1994 | 1,2001 |
| 90 | 0,2007 | 1,2013 | 1,2020 | 1,2025 | 1,2032 | 1,2038 | 1,2044 | 1,2049 | 1,2055 | 1,2050 |

Sumber : Tata Cara Perencanaan Drainase Jalan T-03-3424-1994

Menghitung waktu konsentrasi (Tc)

Waktu konsentrasi (Tc), dihitung dengan rumus :

$$Tc = t1 + t2 \quad \text{Pers. 2. 58}$$

$$t1 = \left(\frac{\frac{L}{3} \times 3.2 - x n}{S} \right)^{0.1} \quad \text{Pers. 2. 59}$$

$$t2 = \frac{L}{6 v} \quad \text{Pers. 2. 60}$$

Keterangan :

- Tc = Waktu konsentrasi (menit)
- t1 = Waktu inlet (menit).
- T2 = Waktu aliran (menit).
- Lo = jarak titik terjauh ke fasilitas drainase.
- L = panjang saluran.
- Nd = koefisien hambatan (tabel 2.24)
- S = Kemiringan daerah pengaliran.
- V = Kecepatan air rata-rata di selokan
(m/dt) (tabel 2.25)

Tabel 2. 45 Hubungan Kondisi Permukaan Dengan Koefisien Hambatan

| Kondisi Lapis Permukaan | Nd |
|---|-------|
| 1. Lapisan semen dan aspal beton | 0,013 |
| 2. Permukaan licin dan kedap air | 0,020 |
| 3. Permukaan licin dan kokoh | 0,100 |
| 4. Tanah dengan rumput tipis dan gundul dengan permukaan sedikit kasar | 0,200 |
| 5. Padang rumput dan rerumputan | 0,400 |
| 6. Hutan gundul | 0,600 |
| 7. Hutan rimbun dan hutan gundul rapat dengan hamparan rumput jarang sampai rapat | 0,800 |

Sumber : Tata Cara Perencanaan Drainase Jalan T-03-3424-1994

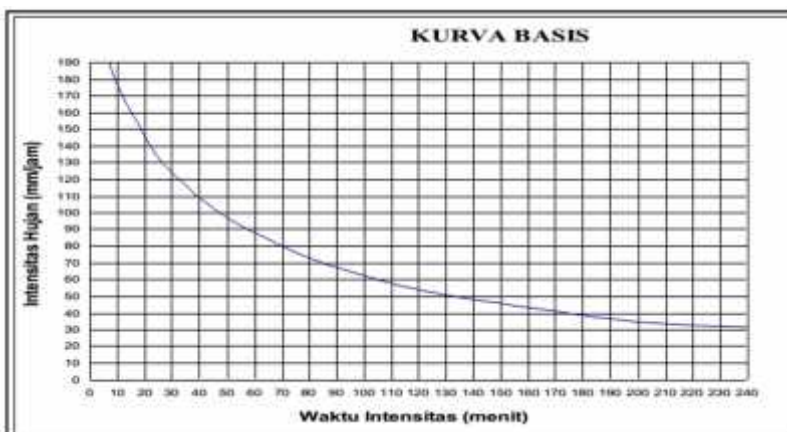
Tabel 2. 46 Kecepatan Aliran Yang Diizinkan Berdasarkan Jenis Material

| Jenis Bahan | Kecepatan aliran yang diizinkan (m/s) |
|-------------------|---------------------------------------|
| Pasir halus | 0,45 |
| Lempung kepasiran | 0,5 |
| Lauau alluvial | 0,6 |
| Kerikil halus | 0,75 |
| Lempung kokoh | 0,75 |
| Lempung padat | 1,1 |
| Kerikil kasar | 1,2 |
| Batu-batu besar | 1,5 |
| Pasangan batu | 0,60 – 1,80 |
| Beton | 0,60 – 3,00 |
| Beton bertulang | 0,60 – 3,00 |

Sumber : Tata Cara Perencanaan Drainase Jalan T-03-3424-1994

2.7.2 Kurva Basis

Dalam menentukan kurva lamanya intensitas hujan rencana, yang dapat diturunkan dari kurva basis (lengkung intensitas standart) seperti diuraikan pada grafik dibawah ini.



Gambar 2. 25 Kurva Basis

Sumber : Tata Cara Perencanaan Drainase Jalan T-03-3424-1994

2.7.3 Menghitung Koefisien Aliran Rata – Rata

Bila daerah pengaliran terdiri dari beberapa tipe kondisi permukaan yang mempunyai nilai C yang berbeda, harga C ratarata ditentukan dengan persamaan :

$$C = \frac{C_1.A_1 + C_2.A_2 + C_3.A_3 + \dots}{A_1 + A_2 + A_3 + \dots} \quad \text{Pers. 2. 61}$$

Keterangan :

C_1, C_2, C_3 = Koefisien pengaliran yang sesuai dengan tipe kondisi permukaan.

A_1, A_2, A_3 = Luas daerah pengaliran yang diperhitungkan sesuai dengan kondisi permukaan.

Tabel 2. 47 Hubungan Kondisi Permukaan Tanah Dan Koefisien Pengaliran

| No. | Kondisi Permukaan Tanah | Koefisien Pengaliran I |
|-----|--------------------------------|------------------------|
| 1 | Jalan beton dan jalan beraspal | 0,70 – 0,95 |
| 2 | Jalan kerikil dan jalan tanah | 0,40 – 0,70 |
| 3 | Bahu jalan : | |
| | - Tanah berbutir halus | 0,40 – 0,65 |
| | - Tanah berbutir kasar | 0,10 – 0,20 |
| | - Batuan 50actor keras | 0,70 – 0,85 |
| | - Batuan 50actor lunak | 0,60 – 0,75 |
| 4 | Daerah Perkotaan | 0,70 – 0,95 |
| 5 | Daerah pinggir kota | 0,60 – 0,70 |
| 6 | Daerah Industri | 0,60 – 0,90 |
| 7 | Pemukiman Padat | 0,40 – 0,60 |
| 8 | Pemukiman tidak padat | 0,40 – 0,60 |
| 9 | Taman dan kebun | 0,20 – 0,40 |
| 10 | Persawahan | 0,45 – 0,60 |
| 11 | Perbukitan | 0,70 – 0,80 |
| 12 | Pegunungan | 0,75 – 0,90 |

Sumber : Tata Cara Perencanaan Drainase Jalan T-03-3424-1994

2.7.4 Menghitung Luas Daerah Pengaliran

Luas daerah pengaliran batas-batasnya tergantung dari pembebasan dan daerah sekelilingnya. Perencanaan drainase pada tugas akhir ini juga memperhatikan daerah pengaliran di luar jalan dengan menggunakan elevasi kontur pada peta topografi lokasi proyek STA 8+000 sampai STA11+000.

2.7.5 Menghitung Debit Air (Q)

Perhitungan debit air yang meggenangi di jalan adalah dengan cara sebagai berikut :

$$Q = \frac{1}{3,6} C.I.A \quad \text{Pers. 2. 62}$$

Dimana:

Q = Debit air (m^3)

C = Koefisien pengaliran.

I = Intensitas hujan (mm/jam).

A = Luas daerah pengaliran (km^2).

2.7.6 Menghitung Kemiringan Saluran

- a Menghitung kemiringan saluran di lapangan :

$$I = \frac{t_1 - t_2}{L} \times 100\% \quad \text{Pers. 2. 63}$$

Dimana :

t_1 = Tinggi tanah di bagian tertinggi (m).

t_2 = Tinggi tanah di bagian terendah (m).

- b Menghitung kemiringan saluran :

$$I = \frac{V \cdot N}{R^{2/3}} \quad \text{Pers. 2. 64}$$

$$R = \frac{F}{P} \quad \text{Pers. 2. 65}$$

Dimana :

V = kecepatan aliran (m/detik).

N = koefisien.

R = jari-jari hidrolik.

F = Luas penampang basah (m).

P = keliling basah (m).

I = kemiringan saluran yang diizinkan.

Tabel 2. 48 Harga n Untuk Rumus Manning

| No | Tipe Saluran Saluran buatan, beton atau batu kali | Baik | Sekali | Baik | Sedang | Jelek |
|----|---|-------|--------|-------|--------|-------|
| | | 0.025 | 0.03 | 0.033 | 0.035 | 0.03 |
| 1 | Saluran pasangan batu, tanpa penyelesaian | 0.017 | 0.02 | 0.025 | 0.025 | 0.021 |
| 2 | Seperti no.1, dengan penyelesaian | 0.014 | 0.016 | 0.019 | 0.021 | 0.013 |
| 3 | Saluran beton | 0.01 | 0.011 | 0.012 | 0.013 | 0.015 |
| 4 | Saluran beton halus dan rata | 0.013 | 0.014 | 0.014 | 0.015 | 0.018 |
| 5 | Saluran beton pracetak dengan acuan baja | 0.015 | 0.016 | 0.016 | 0.018 | |
| | Saluran beton pracetak dengan acuan kayu | | | | | |

Sumber : Tata Cara Perencanaan Drainase Jalan T-03-3424-1994

- c Dari hasil kedua perhitungan diatas akan dibandingkan.
 - Apabila $(i \text{ lapangan}) < (i \text{ perhitungan})$, maka kemiringan selokan direncanakan sesuai dengan i perhitungan
 - Apabila $(i \text{ lapangan}) > (i \text{ perhitungan})$, maka harus dibuat pematah arus

- d Pematah Arus
- Pematah arus untuk mengurangi kecepatan aliran diperlukan bagi selokan samping jalan yang panjang dan mempunyai kemiringan cukup besar, Pemasangan jarak pematah arus (L) harus sesuai dengan tabel 2.41 di bawah ini.

Tabel 2. 49 Hubungan Kemiringan Saluran Samping Jalan dan Jarak Pematah Arus

| $i \text{ (%)}$ | 6 % | 7 % | 8 % | 9 % | 10 % |
|-----------------|-----|-----|-----|-----|------|
| $L \text{ (m)}$ | 16m | 10m | 8m | 7m | 6m |

Sumber : Tata Cara Perencanaan Drainase Jalan T-03-3424-1994

2.8 Rencana Anggaran Biaya

Dalam menghitung rancangan anggaran biaya menggunakan HSPK Kota Mojokerto tahun 2016

“Halaman ini sengaja di kosongkan”

BAB III

METODOLOGI PELAKSANAAN

3.1 Umum

Metodologi pelaksanaan adalah cara dan urutan kerja untuk mendapatkan hasil atau kesimpulan dari sebuah perhitungan perencanaan, yaitu berupa tebal perkerasan, penulangan pada perkerasan kaku (rigid pavement) serta perhitungan anggaran biaya yang diperlukan pada proses pekerjaan.

Melalui pembuatan Metodologi berupa penyusunan prosedur kerja dan perhitungan yang teratur dan sistematis, serta pembuatan bagan pekerjaan diharapkan dapat mempermudah proses penggerjaan tugas akhir. Berikut ini adalah Metodologi yang kami gunakan pada penyusunan tugas akhir :

3.2 Data yang Diperoleh

Disamping melakukan tinjauan pustaka, hal lain yang juga dapat dilakukan adalah melakukan pengumpulan data, data yang dikumpulkan adalah data primer dan data sekunder.

3.2.1 Data Primer

Data Primer adalah data yang diperoleh melalui pengamatan langsung. Data Primer yang dikumpulkan berupa foto – foto kondisi eksisting ruas jalan Tol Mojokerto – Kertosono Sesi II pada Sta 8+000 sampai dengan Sta 11+000.

3.2.2 Data Sekunder

Data sekunder adalah data yang diperoleh melalui pihak kedua. Dalam tugas akhir ini data teknis yang digunakan dalam proses perhitungan dan sebagai acuan perencanaan didapatkan dari data sekunder. Berikut ini adalah data sekunder yang diperlukan beserta sumbernya :

- a. Trase Jalan PT. Hutama Karya Infrastruktur.
 - b. Data Long Section dan Cross Section PT. Hutama Karya Infrastruktur.
 - c. Data Lalu lintas PT. Hutama Karya Infrastruktur.

- | | |
|---------------------|--------------------------------------|
| d. Data Curah Hujan | Dinas Pekerjaan Umum Kota Mojokerto. |
| e. Data CBR Tanah | PT. Hutama Karya Infrastruktur. |
| f. HSPK | Dinas Pekerjaan Umum Kota Mojokerto. |

3.3 Analisa Data Metode Pd-T-14-2003

Langkah-Langkah Perhitungan Tebal perkerasan Dengan Menggunakan Metode Perencanaan Perkerasan Jalan Beton Semen Pd-T-14-2003 :

1. Tentukan nilai CBR tanah dasar dengan menggunakan pengujian CBR test.
2. Hitung perkiraan distribusi jumlah sumbu kendaraan niaga (JSKN) dan jenis/beban sumbu yang diperoleh dari data volume lalu lintas
3. Pilih jenis sambungan yang akan digunakan
4. Pilih jenis dan tebal lapisan pondasi bawah
5. Tentukan CBR tanah dasar efektif dengan menggunakan gambar 2.19.
6. Tentukan bahan jalan menggunakan bahan beton atau tidak.
7. Tentukan kuat tarik beton pada umur 28 hari
8. Tentukan faktor keamanan beban (F_{KB}) dengan menggunakan tabel 2.32 .
9. Nilai tebal plat beton diperoleh dari data JSKN rencana, CBR tanah dasar efektif, F_{KB} , dan jenis lalu lintas dengan menggunakan grafik atau dengan tabel tafsiran.
10. Tentukan faktor erosi (FE) dan tegangan ekivalen (TE) untuk setiap jenis sumbu dengan menggunakan tabel tafsiran
11. Tentukan faktor ratio tegangan (FRT) dengan membagi TE dengan nilai kuat tarik lentur beton (F_{cf}).
12. Untuk setiap sumbu tersebut, tentukan beban per roda dan kalikan dengan faktor keamanan beban (F_{KB}) untuk menentukan beban rencana per roda.

13. Tentukan analisa fatik untuk setiap beban sumbu dengan menggunakan grafik.
14. Tentukan analisa erosi untuk setiap beban sumbu dengan menggunakan grafik.
15. Tentukan persen kerusakan erosi untuk setiap beban sumbu, kemudian dijumlahkan persen kerusakan akibat erosi tersebut.
16. Tentukan persen kerusakan fatik untuk setiap beban sumbu, kemudian dijumlahkan persen kerusakan akibat fatik tersebut.
17. Apabila persentase salah satu atau kedua analisa kerusakan tersebut > 100% maka perlu diulang dari langkah 9 – langkah 16, dengan cara memperbesar tebal plat beton yang digunakan.
18. Apabila persentase salah satu atau kedua dari tipe kerusakan tersebut < 100% dengan menggunakan tebal plat baru, maka tebal tersebut dapat digunakan sebagai tebal perkerasan beton yang direncanakan.

3.4 Analisa Data Metode AASHTO 1993

Langkah langkah perencanaan dengan metode AASHTO'93 adalah sebagai berikut :

1. Menghitung Angka Ekivalen (E) untuk masing – masing golongan beban gandar sumbu setiap kendaraan, untuk mendapatkan nilai ekivalen terlebih dahulu dihitung presentase beban setiap jenis kendaraan menggunakan peraturan Bina Marga. Penentuan angka ekivalen ini (E) dibedakan berdasarkan beban sumbu gandar kendaraan (Sumbu tunggal atau Sumbu tandem) dan nilai Pt (Pt =2,5 atau Pt=2) tabel penentuan nilai ekivalen dapat dilihat pada lampiran.
2. Menghitung beban rencana
Dalam perencanaan beban yang melintas dipengaruhi oleh komposisi lalu lintas, volume lalu lintas yang lewat, faktor bangkitan lalu lintas serta jumlah lajur yang direncanakan. Untuk mendapatkan jumlah beban rencana selang umur rencana terlebih dahulu kita menghitung :

- J) Beban gandar standart kumulatif untuk 2 arah ($W_{18} = LHR \times E \times 365$), dengan besaran nilai E sesuai dengan no 1. kemudian hasil dari perhitungan digunakan untuk menghitung ,
 - J) Beban lalu lintas pada lajur rencana selama setahun ($W_{18} = D_D \times D_L \times 18$). Dengan nilai D_D diambil 0,5 dan D_L nilai DL 70% (tabel 2.47)
 - J) Jumlah beban gandar tunggal standar kumulatif ($W_t = W_1 \times \frac{(1+y)^n - 1}{y}$). Sehingga didapatkan benda lalu lintas selama umur rencana.
3. Hitung CBR dari tanah dasar yang mewakili untuk ruas jalan ini. CBR representatif dari suatu ruas jalan yang direncanakan ini tergantung dari klasifikasi jalan yang direncanakan. Pengambilan dari data CBR untuk perencanaan jalan biasanya diambil pada jarak 50 meter. Untuk satu ruas jalan yang panjang biasanya dibagi atas segmen-segmen yang mempunyai nilai CBR yang relatif sama. Dari nilai CBR representatif ini kemudian diprediksi modulus elastisitas tanah (k) .
 4. Tentukan *reliability* dan *standard normal deviate*. Kedua besaran ini ditentukan berdasarkan beberapa asumsi antara lain tipe perkerasan dan juga klasifikasi jalan.
 5. Kemudian tentukan parameter perencanaan dari sistem perkerasan jalan yang ada seperti :
 - J) *Initial Present Serviceability Index* (Po),
 - J) *Terminal Serviceability Index* (Pt),
 - J) *Total Loss of Serviceability* (PSI),
 - J) Modulus Elastisitas Beton (Ec),
 - J) Flexural Strength (S'c).
 6. Setelah mengetahui semua nilai parameter – parameter perencanaan diatas, setanjutnya dapat memperkirakan tebal perkerasan melalui rumus (check Equation).
 7. Apabila sesuai maka tebal tersebut dapat digunakan sebagai tebal perkerasan beton yang direncakan.

3.5 Perencanaan Drainase

Perencanaan drainase jalan menggunakan metode dari “*Tata Cara Perencanaan Drainase Jalan*” T-03-3424-1994. Data yang diperlukan adalah data curah hujan.

3.6 Gambar Rencana

Gambar rencana adalah gambar yang diperoleh dari hasil perhitungan perkerasan jalan dan perhitungan perencanaan drainase. Gambar yang dibuat meliputi :

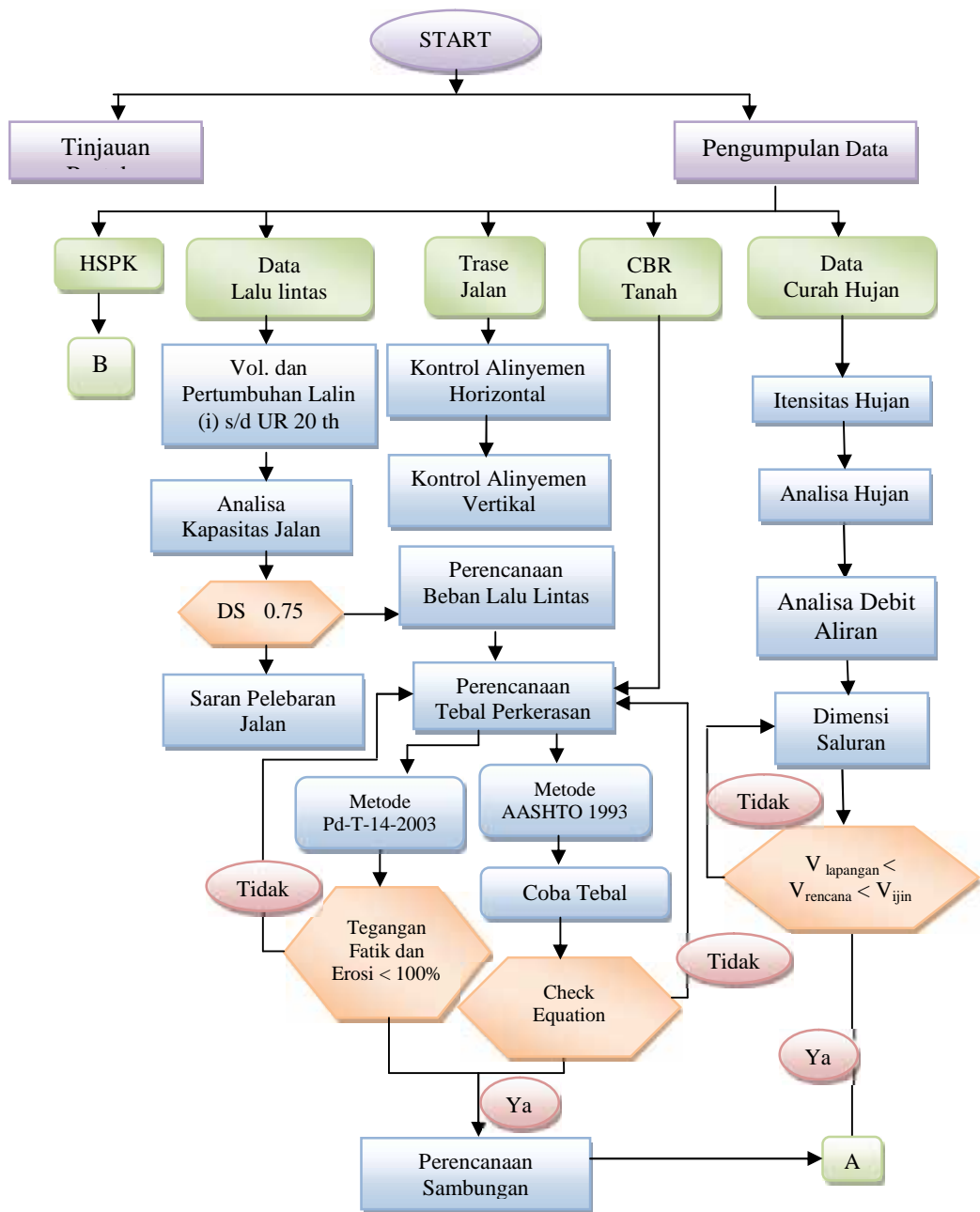
- a. Gambar perencanaan tebal perkerasan jalan (Detail Potongan Melintang)
- b. Gambar detail Penulangan
- c. Gambar perencanaan drainase.

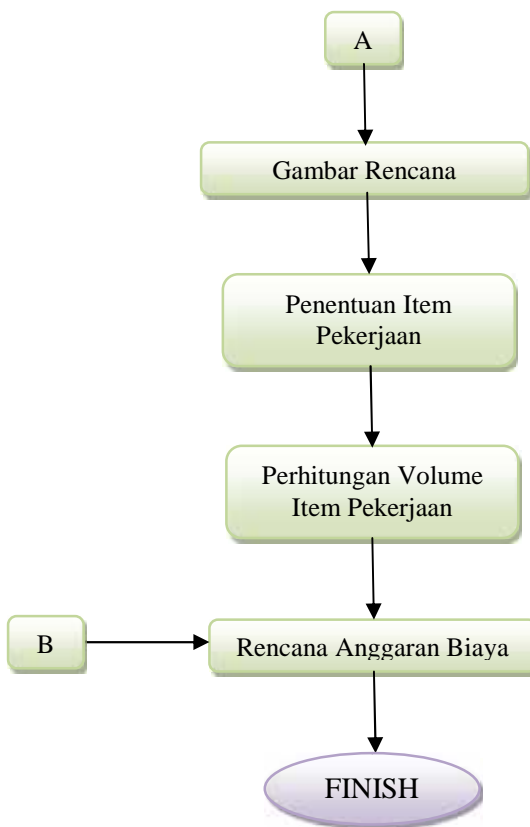
3.7 Perhitungan Rencana Anggaran Biaya

Pada tahap ini berupa perhitungan biaya total yang diperlukan untuk melaksanakan pekerjaan jalan pada sta yang telah direncanakan.

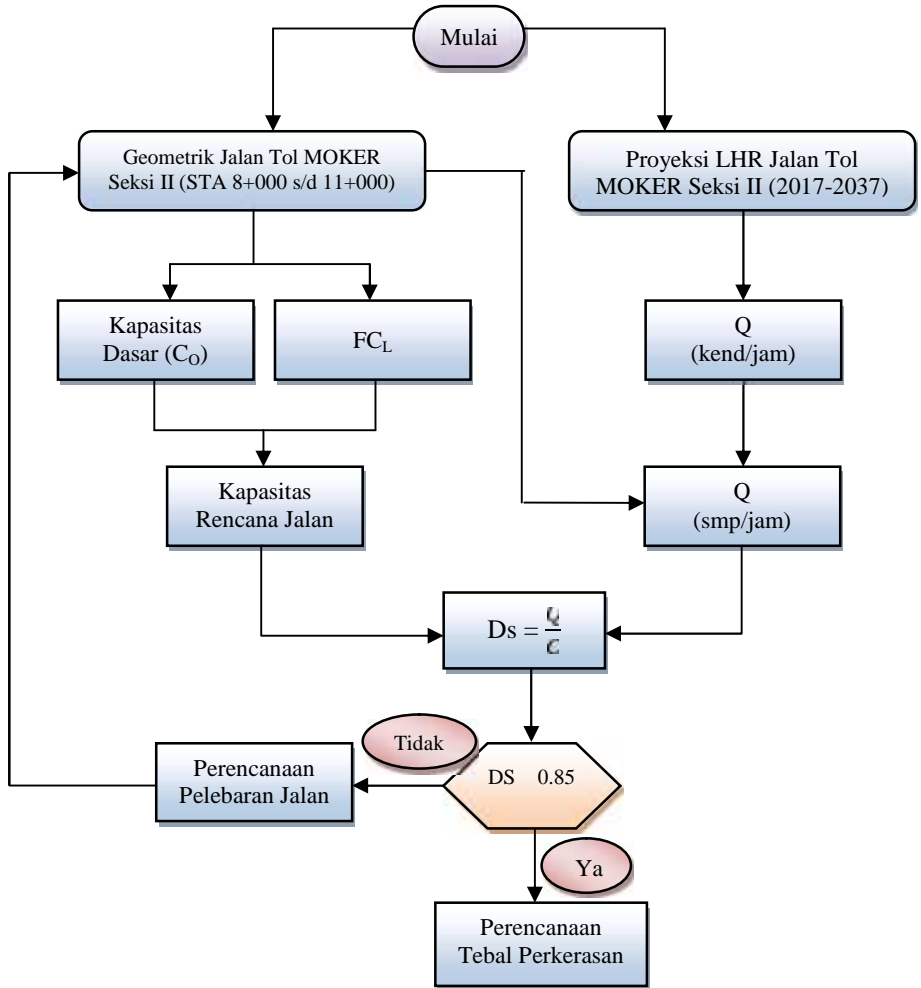
3.8 Kesimpulan

Pada bagian kesimpulan berisi tentang hasil dari perhitungan perencanaan jalan , perencanaan saluran drainase serta anggaran biaya yang dibutuhkan selama pelaksanaan proyek.

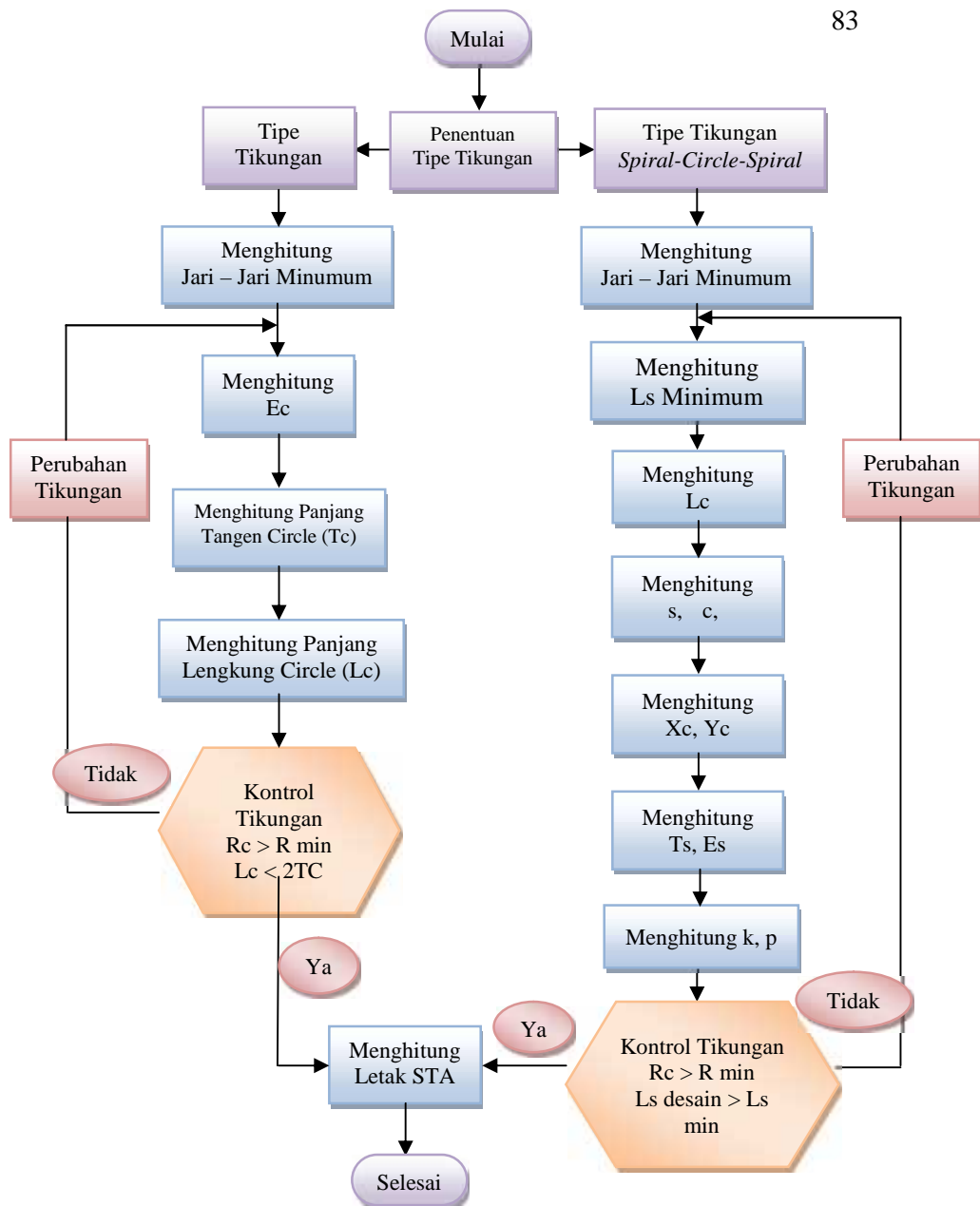




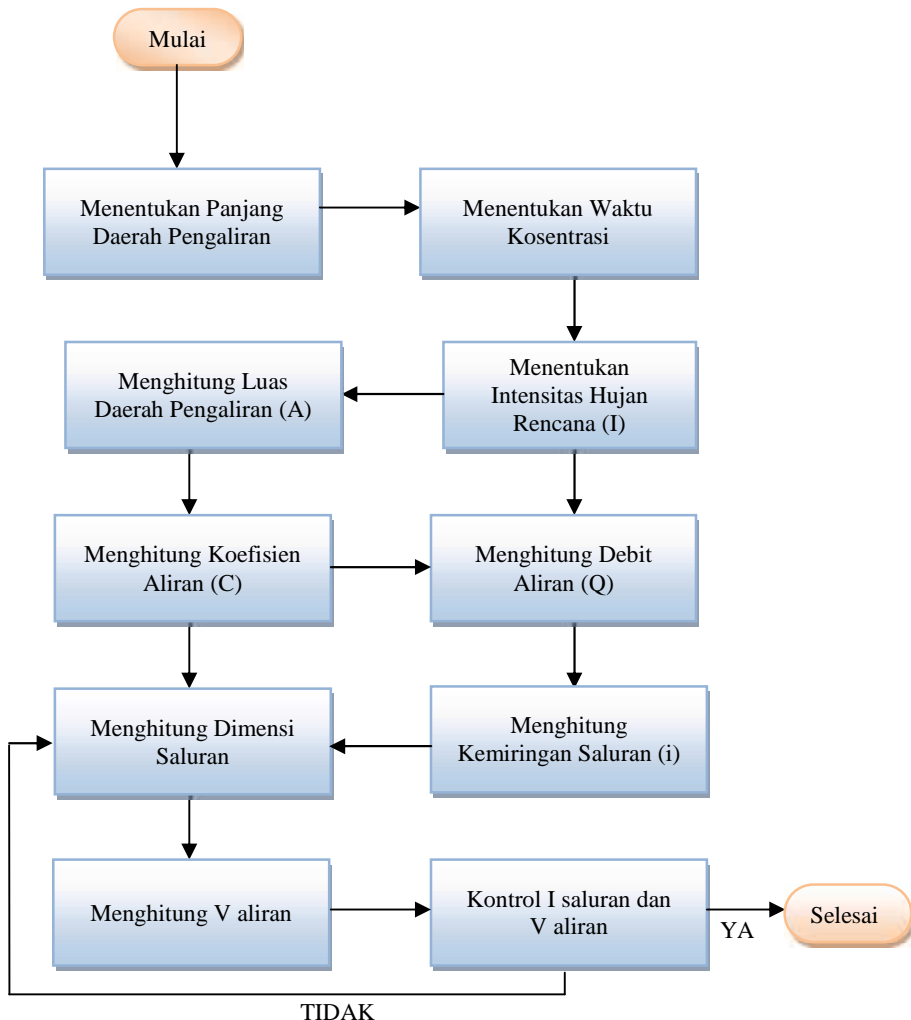
Gambar 3. 1. Diagram Alir Perencanaan Tugas Akhir



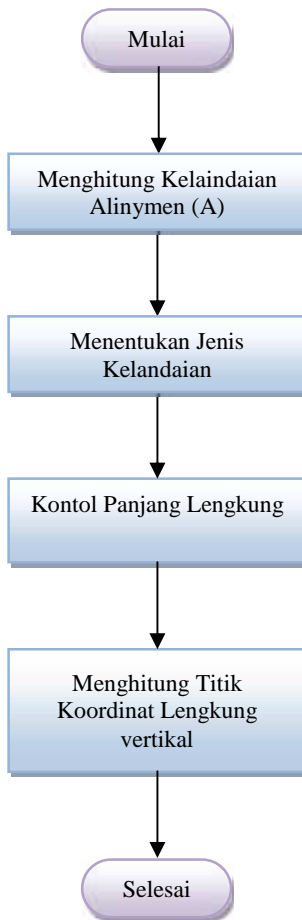
Gambar 3. 2. Diagram Alir Analisa Kapasitas Jalan



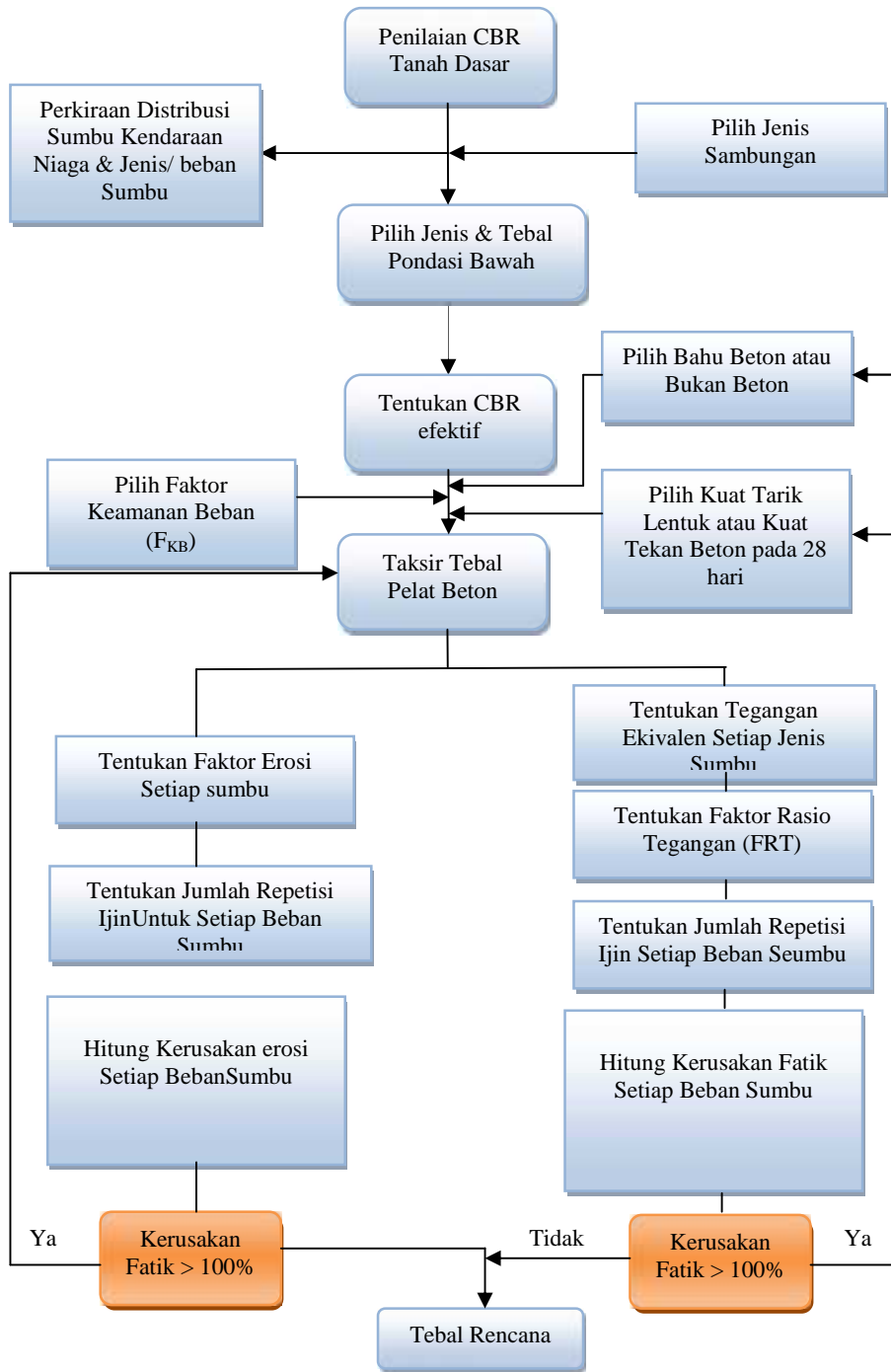
Gambar 3. 3. Diagram Alir Kintrol Alinyemen Horizontal

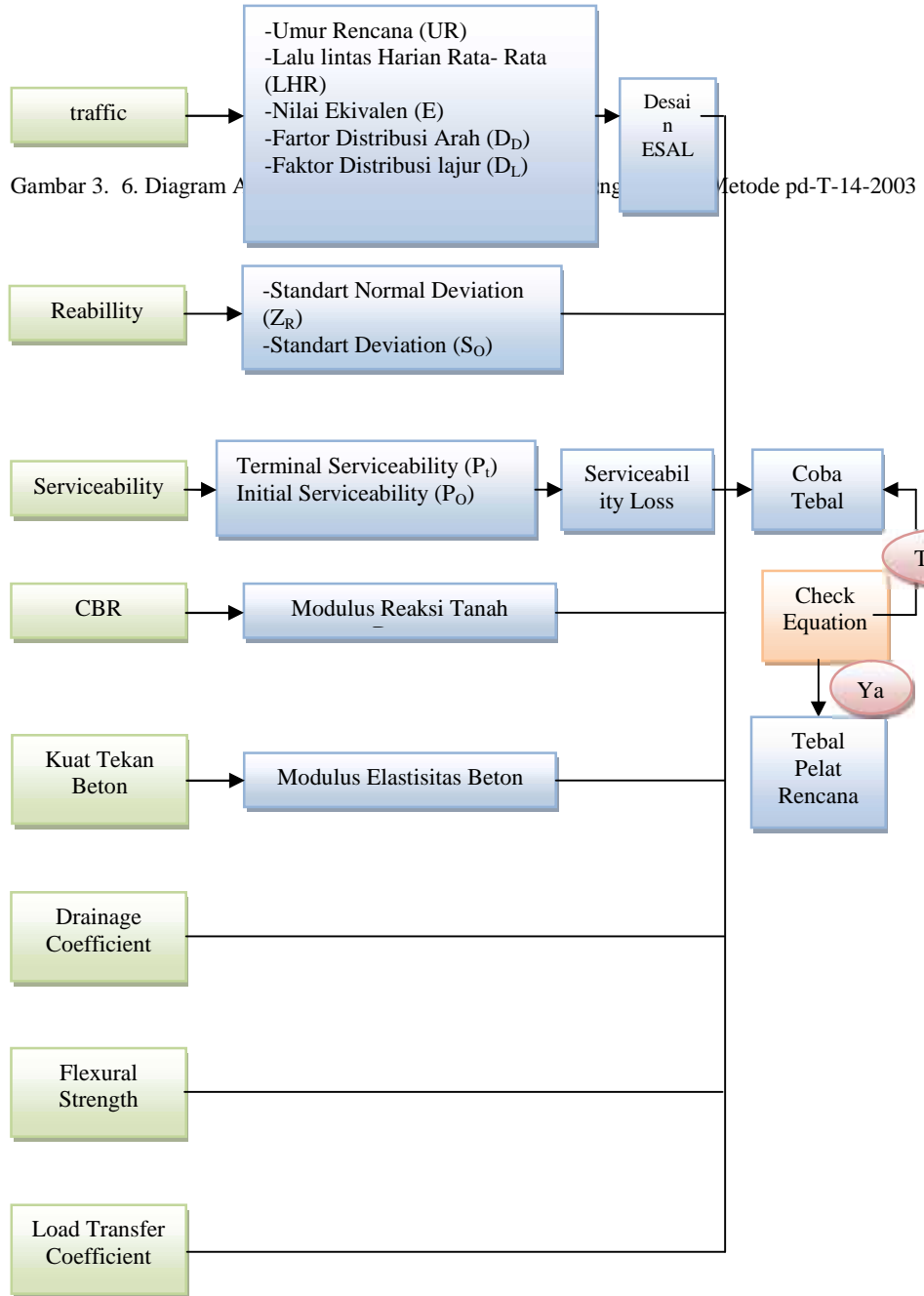


Gambar 3. 4. Diagram Alir Perencanaan Saluran Tepi



Gambar 3. 5. Diagram Alir Kontrol Alinyemen Vertikal





Gambar 3. 7. Diagram Alir Perencanaan Tebal Perkerasan
Menggunakan ASSHTO 1993

“Halaman ini sengaja di kosongkan”

BAB IV

ANALISA DATA

4.1 Umum

Perencanaan Jalan Tol Mojokerto – Kertosono Seksi II pada STA 8+000 s/d STA 11+000 ini merupakan bagian dari program Trans Jawa yang menghubungkan kota Mojokerto dan Kertosono sepanjang 40,5 km. Konstruksi dalam perencanaan ini menggunakan perkerasa kaku (Rigid Pavement). Dalam perencanaan jalan ini terdapat data – data yang dibutuhkan yaitu sebagai berikut :

-) Trase Jalan
-) Data Long Secton dan Cross Section
-) Data Lalu Lintas
-) Data Curah Hujan
-) Data CBR Tanah
-) HSPK

4.2 Pengumpulan Data

4.2.1 Peta Lokasi Proyek

Jalan Tol Mojokerto – Kertosono ini termasuk dalam klasifikasi jalan bebas hambatan. Yang dimaksud dalam jalan bebas hambatan adalah jalan umum untuk lalu-lintas menerus dengan pengendalian jalan masuk secara penuh dan tanpa adanya persimpangan sebidang serta dilengkapi dengan pagar ruang milik jalan. Lokasi proyek pada perencanaan jalan tol ini berada di Desa Pesantren kec. Tembelang Kab. Jombang s/d desa Pagerluyung Kec. Gedeg kab. Mojokerto (section II).

4.2.2 Pengumpulan data CBR Tanah

Parameter paling utama digunakan untuk menyatakan daya dukung tanah dasar pada perkerasan kaku adalah modulus reaksi tanah dasar (k). modulus reaksi tanah dasar ditetapkan di lapangan dengan pangujian sondir, boring,

DPT dan CBR. Nilai CBR di laboratorium hanya sebagai standar untuk kelayakan CBR di lapangan.

Pada perencanaan ulang Jalan Tol Mojokerto-Kertosono dari STA 8+000 – 11+000 ini didapatkan data CBR tanah dalam tabel 4.1 Dibawah ini :

Tabel 4. 1. Data Tes CBR tanah

| No | CBR | Jumlah Yang Sama/ Lebih Besar | Presentase Yang Sama dan Yang lebih Besar (%) | |
|----|-------|-------------------------------|---|-----|
| 1 | 45.06 | 26 | $26/26 \times 100$ | 100 |
| 2 | 45.06 | 25 | $25/26 \times 100$ | 96 |
| 3 | 46.56 | 24 | $24/26 \times 100$ | 92 |
| 4 | 46.56 | 23 | $23/26 \times 100$ | 88 |
| 5 | 48.06 | 22 | $22/26 \times 100$ | 85 |
| 6 | 48.06 | 21 | $21/26 \times 100$ | 81 |
| 7 | 48.06 | 20 | $20/26 \times 100$ | 77 |
| 8 | 48.06 | 19 | $19/26 \times 100$ | 73 |
| 9 | 49.57 | 18 | $18/26 \times 100$ | 69 |
| 10 | 49.57 | 17 | $17/26 \times 100$ | 65 |
| 11 | 51.07 | 16 | $16/26 \times 100$ | 62 |
| 12 | 51.07 | 15 | $15/26 \times 100$ | 58 |
| 13 | 51.07 | 14 | $14/26 \times 100$ | 54 |
| 14 | 52.57 | 13 | $13/26 \times 100$ | 50 |
| 15 | 52.57 | 12 | $12/26 \times 100$ | 46 |
| 16 | 52.57 | 11 | $11/26 \times 100$ | 42 |
| 17 | 54.07 | 10 | $10/26 \times 100$ | 38 |
| 18 | 54.07 | 9 | $9/26 \times 100$ | 35 |
| 19 | 55.57 | 8 | $8/26 \times 100$ | 31 |
| 20 | 55.57 | 7 | $7/26 \times 100$ | 27 |

| No | CBR | Jumlah Yang Sama/ Lebih Besar | Presentase Yang Sama dan Yang lebih Besar (%) | |
|----|-------|-------------------------------|---|----|
| 21 | 55.57 | 6 | $6/26 \times 100$ | 23 |
| 22 | 57.08 | 5 | $5/26 \times 100$ | 19 |
| 23 | 58.58 | 4 | $4/26 \times 100$ | 15 |
| 24 | 58.58 | 3 | $3/26 \times 100$ | 12 |
| 25 | 60.08 | 2 | $2/26 \times 100$ | 8 |
| 26 | 60.08 | 1 | $1/26 \times 100$ | 4 |

Sumber : Laporan Hasil Tes CBR tanah Dasar Tol Mojokerto – Kertosono

Setalah di dapat prosentase (%) yang sama/ lebih besar dari CBR rat-rata di lapangan, maka dapat ditentukan nilai CBR untuk perencanaan ulang Jalan Tol Mojokerto-Kertosono pada STA 8+000 – STA 11+000.

4.2.3 Pengumpulan data LHR

Data lalu lintas harian rata-rata (LHR) digunakan untuk perencanaan struktur konstruksi perkeraaan jalan dan analisa kapasitaas jalan dengan memperkerikan tingkat kenaikan intensitas lalu lintas harian rata – rata per tahun sampai dengan umur rencana.

Data lalu lintas diperoleh dari laporan analisa lalu – lintas Jalan Tol Mojokerto – Kertosono tahun 2009. Data LHR Tol Mojokerto – Kertosono Seksii II tercantum pada tabel 4.2

Tabel 4. 2. Data Lalu- lintas Tahun 2009

| No | Tipe Kendaraan | Gol. | LHR | |
|----|------------------------|------|-----|----------------|
| 1 | Sedan; jeep; st. wagon | 1.1 | 2 | 5998 kend/hari |
| 2 | Bus Kecil | 1.2 | 5a | 1552 kend/hari |
| 3 | BusBesar | 1.2 | 5b | 1464 kend/hari |
| 4 | Truck 2 as | 1.2H | 6 | 2246 kend/hari |

| No | Tipe Kendaraan | | Gol. | LHR | |
|----------------------------|-------------------|-----------|------|-------|-----------|
| 5 | Truck 3 as | 1.2.2 | 7a | 931 | kend/hari |
| 6 | Truck gandengan | 1.2+2.2 | 7b | 403 | kend/hari |
| 7 | Truk semi Triller | 1.2.2+2.2 | 7c | 191 | kend/hari |
| Total LHR (Awal,UR) | | | | 12785 | kend/hari |

Sumber : Laporan Analisa Lalu-lintas Jalan Tol Mojokerto-Kertosono 2009

4.2.4 Data Perekonomian

Sejumlah studi telah menunjukkan hubungan antara pertumbuhan ekonomi dan lalu – lintas. Secara khusus lalu-lintas pada ruas – ruas jalan arteri utama baik jalan tol maupun non tol akan dipengaruhi beberapa faktor salah satunya adalah Parameter sosio-ekonomi seperti PDRB, dan PDRB/kapita diasumsikan mempunyai korelasi yang kuat terhadap kepemilikan kendaraan dan pertumbuhan lalu – lintas.

Data pertumbuhan Produk Domestik regional Bruto (PDRB) digunakan untuk meramalkan pertumbuhan kendaraan berat seperti truk dan angkutan barang. Dan PDRB/kapasitas digunakan untuk meramalkan pertumbuhan kendaraan pribadi. Data diperoleh dari Badan Pusat Statistik (BPS) Jawa Timur. Yang dapat dilihat pada tabel 4.3 dan tabel 4.4

Tabel 4. 3. Laju Pertumbuhan PDRB Kab.Mojokerto Atas Dasar Harga Konstan (ADHK)

| Tahun | Laju Pertumbuan PDRB |
|-------|----------------------|
| 2011 | 6,61% |
| 2012 | 7.26% |
| 2013 | 6.56% |
| 2014 | 6.45% |

| | |
|---|-------|
| 2015 | 5.65% |
| Sumber : Badan Pusat Statistik (BPS) Jawa Timur | |

Tabel 4. 4. PDRB/kapita Kabupaten Mojokerto Atas dasar harga Konstan (ADHK)

| Tahun | PDRB Per-Kapita (Rupiah) | I | i(%) |
|-------|--------------------------|--------|------|
| 2011 | 35029.2 | | |
| 2012 | 37192 | 0.0617 | 6.17 |
| 2013 | 39334.6 | 0.0576 | 5.76 |
| 2014 | 41375.7 | 0.0519 | 5.19 |
| 2015 | 43310.6 | 0.0468 | 4.68 |

Sumber : Badan Pusat Statistik (BPS) Jawa Timur

4.2.5 Data Curah Hujan

Data Curah hujan adalah tinggi hujan dalam satu tahun waktu. Data curah hujan ini digunakan untuk merencanakan drainase jalan baik saluran tepi maupun saluran tengah. Pembuatan saluaran tepi dan saluran tengah ini sangat diperlukan karena perkerasan kaku rawan adanya rembesan air yang masuk pada lapisan beton tersebut. Sehingga perlu adanya perencanaan saluran tepi dan tengah untuk mengalirkan air yang menggenang pada badan jalan.

Data curah hujan didapat dari Dinas Pekerjaan Umum kota Mojokerto. Data curah hujan yang digunakan adalah curah hujan rata-rata terbesar per tahun selama 10 tahun dari tahun 2003 hingga tahun 2012 dengan mengambil data dari stasiun Gedeng, Mojokerto.

Tabel 4. 5. Data Curah Hujan

| No | Tahun | X_i (mm/jam) |
|----|-------|----------------|
| 1 | 2003 | 76 |
| 2 | 2004 | 119 |

| No | Tahun | X_i (mm/jam) |
|----|-------|----------------|
| 3 | 2005 | 81 |
| 4 | 2006 | 94 |
| 5 | 2007 | 92 |
| 6 | 2008 | 91 |
| 7 | 2009 | 74 |
| 8 | 2010 | 102 |
| 9 | 2011 | 75 |
| 10 | 2012 | 81 |

Sumber : Dinas Pekerjaan Umum Kota Mojokerto
 (Stasiun Gedeg)

4.3 Pengolahan Data

4.3.1 Data Curah Hujan

Berdasarkan data PDRB dan PDRB per kapita kabupaten Mojokerto pada tahun 2011 -2016 dapat dihitung prosentase pertumbuhan PDRB dan PDRB per kapita tiap tahunnya untuk mendapatkan prosentase rata-rata pertumbuhan PDRB dan PDRB per kapita. Prosentase rata-rata pertumbuhan digunakan sebagai angka pertumbuhan (i) kendaraan berat (truk dan angkutan barang) dapat dilihat pada tabel 4.6

Tabel 4. 6. Prosentase Pertumbuhan PDRB Kab. Mojokerto atas Dasar Harga Konstan 2011-2015

| Tahun | Laju Pertumbuhan PDRB |
|-----------|-----------------------|
| 2011 | 6,61% |
| 2012 | 7.26% |
| 2013 | 6.56% |
| 2014 | 6.45% |
| 2015 | 5.65% |
| Rata-rata | 6.48% |

Sumber : Badan Pusat Statistik (BPS) Jawa Timur

Sedangkan prosentase rata-rata pertumbuhan PDRB per kapita digunakan sebagai angka pertumbuhan kendaraan pribadi dapat dilihat pada tabel 4.7

Tabel 4. 7. Prosentase Pertumbuhan PDRB per kapita Kab.Mojokerto Atas Dasar Harga Konstan 2011-2015

| Tahun | PDRB Per-Kapita (Rupiah) | I | i(%) |
|-------|--------------------------|--------|------|
| 2011 | 35029.2 | | |
| 2012 | 37192 | 0.0617 | 6.17 |
| 2013 | 39334.6 | 0.0576 | 5.76 |
| 2014 | 41375.7 | 0.0519 | 5.19 |
| 2015 | 43310.6 | 0.0468 | 4.68 |
| | Rata-Rata | 0.0545 | 5.45 |

Sumber : Badan Pusat Statistik (BPS) Jawa Timur
Rekapitulasi hasil perhitungan angka pertumbuhan kendaraan dapat dilihat pada tebel 4.8

Tabel 4. 8. Angka Pertumbuhan Kendaraan

| No | Tipe Kendaraan | | Gol. | Angka Pertumbuhan |
|----|------------------------|-----------|------|-------------------|
| 1 | Sedan; jeep; st. wagon | 1.1 | 2 | 5.45 % |
| 2 | Bus Kecil | 1.2 | 5a | 6.48% |
| 3 | BusBesar | 1.2 | 5b | 6.48% |
| 4 | Truck 2 as | 1.2H | 6 | 6.48% |
| 5 | Truck 3 as | 1.2.2 | 7a | 6.48% |
| 6 | Truck gandengan | 1.2+2.2 | 7b | 6.48% |
| 7 | Truk semi Triller | 1.2.2+2.2 | 7c | 6.48% |

Sumber : Hasil Perhitungan

Berdasarkan hasil studi dan pertimbangan dari konsultan perencana PT. Cipta Starada angka pertumbuhan lalu-lintas 6% tidak berbeda jauh dari hasil perhitungan rata- rata PDRB dan PDRB per kapita 6.48%

dan 5.45 % maka digunakan hasil dari konsultan yaitu 6%.

4.3.2 Pengolahan Data Lalin

Jalan tol direncanakan dibuka pada tahun 2018 dengan umur rencana 30 tahun, sehingga akhir umur rencana adalah pada tahun 2048. Dari data LHR pada tahun 2009 dihitung perkiraan kenaikan intensitas lalu-lintas sampai dengan awal umur rencana dengan angka pertumbuhan 6%.

Rekapitulasi hasil perhitungan LHR hingga awal umur rencana dapat dilihat pada tabel 4.9

Berikut ini adalah contoh perhitungan volume mobil penumpang (Gol. 2) pada tahun 2010 ;

$$\begin{aligned} \text{LHR} &= \text{Volume kendaraan} \times (1+i)^{n-1} \\ &= 5998 \times (1+6\%)^{2-1} \\ &= 6358 \end{aligned}$$

Tabel 4. 9. LHR Jalan Hingga Awal Umur Rencana

| No | Tahun | n | Gol 2 | Gol 5a | Gol 5b | Gol 6 | Gol 7a | Gol 7b | Gol 7c | (i) |
|----|-------|----|-------|--------|--------|-------|--------|--------|--------|-----|
| 1 | 2009 | 1 | 5998 | 1552 | 1464 | 2246 | 931 | 403 | 191 | 6% |
| 2 | 2010 | 2 | 6358 | 1645 | 1552 | 2381 | 987 | 427 | 202 | 6% |
| 3 | 2011 | 3 | 6739 | 1744 | 1645 | 2524 | 1046 | 453 | 215 | 6% |
| 4 | 2012 | 4 | 7144 | 1848 | 1744 | 2675 | 1109 | 480 | 227 | 6% |
| 5 | 2013 | 5 | 7572 | 1959 | 1848 | 2836 | 1175 | 509 | 241 | 6% |
| 6 | 2014 | 6 | 8027 | 2077 | 1959 | 3006 | 1246 | 539 | 256 | 6% |
| 7 | 2015 | 7 | 8508 | 2202 | 2077 | 3186 | 1321 | 572 | 271 | 6% |
| 8 | 2016 | 8 | 9019 | 2334 | 2201 | 3377 | 1400 | 606 | 287 | 6% |
| 9 | 2017 | 9 | 9560 | 2474 | 2333 | 3580 | 1484 | 642 | 304 | 6% |
| 10 | 2018 | 10 | 10133 | 2622 | 2473 | 3795 | 1573 | 681 | 323 | 6% |

Sumber : Hasil Perhitungan

Setelah menghitung perkiraan kenaikan intensitas lalu-lintas sampai dengan awal umur rencana. Maka selanjutnya adalah menghitung volume lalu-lintas kendaraan yang

melalui jalan tol pada tahun 2018-2048. Data LHR terlebih dahulu dikalikan dengan prosentase pengalihan perjalanan (dirversion rate). Metode yang digunakan adalah metode JICA. Model ini dikalibrasi dengan menggunakan variabel selisih waktu tempuh jika menggunakan jalan tol dan jalan arteri.

$$\begin{aligned} P &= a \quad T^b \\ T &= A - (T + \frac{T}{T}) \end{aligned}$$

Dimana :

P = Persentase pengalihan perjalanan

A = waktu tempuh jalan arteri (100 menit)

Berdasarkan hasil survei lapangan saat jam sibuk

T = waktu tempuh jalan tol (30 menit)

Berdasarkan asumsi kecepatan 80 km/jam

TR = tarif tol = Rp 525 x 40 km = Rp 21.000

TV = Nilai waktu tempuh = Rp 12.287

Maka :

$$T = A - (T + \frac{T}{T})$$

$$T = 100 - (30 + \frac{2}{1})$$

$$T = 68\% \text{ (Beralih ke jalan tol)}$$

Nilai dirvetion rate (P) ini hanya digunakan untuk tahun awal pengoperasian saja, sedangkan untuk tahun berikutnya menggunakan growth factor (i)

Hasil perhitungan volume kendaraan pada awal pengoreasian jalan tol 2018 hingga akhir umur rencana 2048 dapat dilihat pada tabel 4.10

Tabel 4. 10. Volume Kendaraan Jalan Tol Mojokerto - Kertosono

| No | Tahun | n | Gol. 2 | Gol. 5a | Gol. 5b | Gol. 6 | Gol. 7a | Gol. 7b | Gol. 7c | (i) |
|----|-------|----|--------|---------|---------|--------|---------|---------|---------|-----|
| 10 | 2018 | 10 | 6891 | 1783 | 1682 | 2580 | 1070 | 463 | 219 | 6% |
| 11 | 2019 | 2 | 7304 | 1890 | 1783 | 2735 | 1134 | 491 | 233 | 6% |
| 12 | 2020 | 3 | 7742 | 2003 | 1890 | 2899 | 1202 | 520 | 247 | 6% |
| 13 | 2021 | 4 | 8207 | 2124 | 2003 | 3073 | 1274 | 551 | 261 | 6% |

| No | Tahun | n | Gol. 2 | Gol. 5a | Gol. 5b | Gol. 6 | Gol. 7a | Gol. 7b | Gol. 7c | (i) |
|----|-------|----|-----------|------------|------------|-----------|------------|------------|------------|-----|
| 14 | 2022 | 5 | 8699 | 2251 | 2123 | 3258 | 1350 | 585 | 277 | 6% |
| 15 | 2023 | 6 | 9221 | 2386 | 2251 | 3453 | 1431 | 620 | 294 | 6% |
| 16 | 2024 | 7 | 9775 | 2529 | 2386 | 3660 | 1517 | 657 | 311 | 6% |
| 17 | 2025 | 8 | 10361 | 2681 | 2529 | 3880 | 1608 | 696 | 330 | 6% |
| 18 | 2026 | 9 | 10983 | 2842 | 2681 | 4113 | 1705 | 738 | 350 | 6% |
| 19 | 2027 | 10 | 11642 | 3012 | 2842 | 4359 | 1807 | 782 | 371 | 6% |
| 20 | 2028 | 11 | 12340 | 3193 | 3012 | 4621 | 1915 | 829 | 393 | 6% |
| 21 | 2029 | 12 | 13081 | 3385 | 3193 | 4898 | 2030 | 879 | 417 | 6% |
| 22 | 2030 | 13 | 13866 | 3588 | 3384 | 5192 | 2152 | 932 | 442 | 6% |
| 23 | 2031 | 14 | 14698 | 3803 | 3587 | 5504 | 2281 | 988 | 468 | 6% |
| 24 | 2032 | 15 | 15579 | 4031 | 3803 | 5834 | 2418 | 1047 | 496 | 6% |
| 25 | 2033 | 16 | 16514 | 4273 | 4031 | 6184 | 2563 | 1110 | 526 | 6% |
| 26 | 2034 | 17 | 17505 | 4529 | 4273 | 6555 | 2717 | 1176 | 557 | 6% |
| 27 | 2035 | 18 | 18555 | 4801 | 4529 | 6948 | 2880 | 1247 | 591 | 6% |
| 28 | 2036 | 19 | 19669 | 5089 | 4801 | 7365 | 3053 | 1322 | 626 | 6% |
| 29 | 2037 | 20 | 20849 | 5395 | 5089 | 7807 | 3236 | 1401 | 664 | 6% |
| 30 | 2038 | 21 | 22100 | 5718 | 5394 | 8275 | 3430 | 1485 | 704 | 6% |
| 31 | 2039 | 22 | 23426 | 6061 | 5718 | 8772 | 3636 | 1574 | 746 | 6% |
| 32 | 2040 | 23 | 24831 | 6425 | 6061 | 9298 | 3854 | 1668 | 791 | 6% |
| 33 | 2041 | 24 | 26321 | 6811 | 6424 | 9856 | 4086 | 1768 | 838 | 6% |
| 34 | 2042 | 25 | 27900 | 7219 | 6810 | 10447 | 4331 | 1875 | 888 | 6% |
| 35 | 2043 | 26 | 29574 | 7652 | 7219 | 11074 | 4590 | 1987 | 942 | 6% |
| 36 | 2044 | 27 | 31349 | 8112 | 7652 | 11739 | 4866 | 2106 | 998 | 6% |
| 37 | 2045 | 28 | 33230 | 8598 | 8111 | 12443 | 5158 | 2233 | 1058 | 6% |
| 38 | 2046 | 29 | 35223 | 9114 | 8597 | 13190 | 5467 | 2367 | 1122 | 6% |
| 39 | 2047 | 30 | 37337 | 9661 | 9113 | 13981 | 5795 | 2509 | 1189 | 6% |
| 40 | 2048 | 31 | 39577 | 10241 | 9660 | 14820 | 6143 | 2659 | 1260 | 6% |

Sumber : Hasil Perhitungan

4.3.3 Pengolahan Data Curah Hujan

Pengolahan data curah hujan ini membahas tentang pengolahan data curah hujan yang telah didapat, penentuan periode curah hujan maksimum pada wilayah tersebut dan penentuan periode curah hujan yang nantinya akan berfungsi untuk merencanakan drainase baik saluran tepi maupun saluran tengah.

Data curah hujan ini diperoleh dari stasiun Gedeg, Mojokerto diambil data 10 tahun, mulai dari 2003 s/d 2012 seperti pada tabel 4.5. selanjutnya dilakukan perhitungan data curah hujan SNI Perencanaan drainase permukaan jalan sebagai berikut :

$$\bar{X} = \frac{\Sigma X}{n}$$

Dimana :

R = Rata – rata data curah hujan harian maks

X_i = Curah hujan haraian makasimum per tahun

$$S_x = \sqrt{\frac{(X - \bar{X})^2}{n}}$$

Dimana :

S_x = standart Deviasi

n = Jumlah tahun

Tabel 4. 11. Perhitungan Curah Hujan Per Tahun

| No | Tahun | X_i (mm/jam) | $X_i - \bar{X}$ | $(X_i - \bar{X})^2$ |
|----|-------|----------------|-----------------|---------------------|
| 1 | 2003 | 76 | -12.5 | 156.25 |
| 2 | 2004 | 119 | 30.5 | 930.25 |
| 3 | 2005 | 81 | -7.5 | 56.25 |
| 4 | 2006 | 94 | 5.5 | 30.25 |
| 5 | 2007 | 92 | 3.5 | 12.25 |
| 6 | 2008 | 91 | 2.5 | 6.25 |
| 7 | 2009 | 74 | -14.5 | 210.25 |

| No | Tahun | X_i (mm/jam) | $X_i - X$ | $(X_i - X)^2$ |
|-----------|-------|----------------|-----------|---------------|
| 8 | 2010 | 102 | 13.5 | 182.25 |
| 9 | 2011 | 75 | -13.5 | 182.25 |
| 10 | 2012 | 81 | -7.5 | 56.25 |
| \bar{X} | | 88.5 | mm/tahun | |

Sumber : Hasil Perhitungan

Dilihat dari tabel 4.11 diatas diketahui total curah hujan maksimum 10 tahun (2003-2012) adalah 885 mm/tahun. Maka :

$$\begin{aligned}\bar{X} &= \frac{\Sigma}{n} \\ \bar{X} &= \frac{885}{10} \\ &= 88,5 \text{ mm/tahun}\end{aligned}$$

BAB V

PERENCANAAN STRUKTUR JALAN

5.1 Analisa Kapasitas Rencana Jalan

5.1.1 Menentukan Kapasitas Dasar (C_o)

Kapasitas dasar adalah kapasitas suatu segmen jalan untuk suatu set koordinasi yang ditentukan berdasarkan kondisi geometrik jalan dan tipe jalan yang direncanakan.

Penentuan medan pada jalan tol Mojokerto-Kertosono STA 8+000 – 11+000 adalah sebagai berikut :

Dari gambar long section didapatkan elevasi potongan memanjang jalan, Rekapitulasi elevasi potongan memanjang dapat dilihat pada tabel 5.1 dari hasil rekapitulasi dapat ditentukan medan pada jalan tol Mojokerto-Kertosono tersebut.

Tabel 5. 1. Rekapitulasi Elevasi Potongan Memanjang

| NO | STA | Elevasi | Beda Tinggi |
|----|-------------|---------|-------------|
| 1 | STA 8 + 0 | 19.640 | |
| 2 | STA 8 + 50 | 19.890 | 0.250 |
| 3 | STA 8 + 100 | 19.775 | -0.115 |
| 4 | STA 8 + 150 | 19.740 | -0.035 |
| 5 | STA 8 + 200 | 19.668 | -0.072 |
| 6 | STA 8 + 250 | 19.478 | -0.190 |
| 7 | STA 8 + 300 | 19.721 | 0.243 |
| 8 | STA 8 + 350 | 20.061 | 0.340 |
| 9 | STA 8 + 400 | 20.261 | 0.200 |
| 10 | STA 8 + 450 | 20.088 | -0.173 |
| 11 | STA 8 + 500 | 19.997 | -0.091 |
| 12 | STA 8 + 550 | 19.961 | -0.036 |
| 13 | STA 8 + 600 | 20.136 | 0.175 |
| 14 | STA 8 + 650 | 20.109 | -0.027 |
| 15 | STA 8 + 700 | 20.925 | 0.816 |

| NO | STA | | Elevasi | Beda Tinggi |
|----|----------|-----|---------|-------------|
| 16 | STA 8 + | 750 | 20.365 | -0.560 |
| 17 | STA 8 + | 800 | 14.800 | -5.565 |
| 18 | STA 8 + | 850 | 19.680 | 4.880 |
| 19 | STA 8 + | 900 | 19.604 | -0.076 |
| 20 | STA 8 + | 950 | 19.518 | -0.086 |
| 21 | STA 9 + | 0 | 19.856 | 0.338 |
| 22 | STA 9 + | 50 | 19.716 | -0.140 |
| 23 | STA 9 + | 100 | 19.776 | 0.060 |
| 24 | STA 9 + | 150 | 19.890 | 0.114 |
| 25 | STA 9 + | 200 | 19.938 | 0.048 |
| 26 | STA 9 + | 250 | 19.898 | -0.040 |
| 27 | STA 9 + | 300 | 19.958 | 0.060 |
| 28 | STA 9 + | 350 | 19.888 | -0.070 |
| 29 | STA 9 + | 400 | 19.938 | 0.050 |
| 30 | STA 9 + | 450 | 20.048 | 0.110 |
| 31 | STA 9 + | 500 | 20.026 | -0.022 |
| 32 | STA 9 + | 550 | 20.177 | 0.151 |
| 33 | STA 9 + | 600 | 20.052 | -0.125 |
| 34 | STA 9 + | 650 | 20.095 | 0.043 |
| 35 | STA 9 + | 700 | 20.129 | 0.034 |
| 36 | STA 9 + | 750 | 20.189 | 0.060 |
| 37 | STA 9 + | 800 | 20.367 | 0.178 |
| 38 | STA 9 + | 850 | 20.449 | 0.082 |
| 39 | STA 9 + | 900 | 20.351 | -0.098 |
| 40 | STA 9 + | 950 | 20.586 | 0.235 |
| 41 | STA 10 + | 0 | 20.581 | -0.005 |
| 42 | STA 10 + | 50 | 20.776 | 0.195 |

| NO | STA | Elevasi | Beda Tinggi |
|---------------|--------------|---------|-------------|
| 43 | STA 10 + 100 | 20.616 | -0.160 |
| 44 | STA 10 + 150 | 20.686 | 0.070 |
| 45 | STA 10 + 200 | 20.770 | 0.084 |
| 46 | STA 10 + 250 | 20.903 | 0.133 |
| 47 | STA 10 + 300 | 20.877 | -0.026 |
| 48 | STA 10 + 350 | 20.042 | -0.835 |
| 49 | STA 10 + 400 | 20.958 | 0.916 |
| 50 | STA 10 + 450 | 21.016 | 0.058 |
| 51 | STA 10 + 500 | 20.980 | -0.036 |
| 52 | STA 10 + 550 | 21.014 | 0.034 |
| 53 | STA 10 + 600 | 21.142 | 0.128 |
| 54 | STA 10 + 650 | 21.234 | 0.092 |
| 55 | STA 10 + 700 | 21.332 | 0.098 |
| 56 | STA 10 + 750 | 21.817 | 0.485 |
| 57 | STA 10 + 800 | 23.412 | 1.595 |
| 58 | STA 10 + 850 | 21.178 | -2.234 |
| 59 | STA 10 + 900 | 21.377 | 0.199 |
| 60 | STA 10 + 950 | 21.355 | -0.022 |
| 61 | STA 11+ 0 | 20.967 | -0.388 |
| Jumlah | | | 1.327 |

$$\begin{aligned}
 \text{Naik + Turun} &= \frac{H}{P} = \frac{1.327}{3} \\
 &= 0,442 \text{ m/km}
 \end{aligned}$$

Berdasarkan table 5.1 maka dapat disimpulkan hasil perhitungan diatas menunjukkan tipe medannya adalah **datar**. Berdasarkan tabel 2.3 pada jalan bebas hambatan 6 lajur 2 arah terbagi (6/2 D) untuk tipe alinyemen datar maka didapat nilai C_0 adalah **2300 smp/jam/jalur**.

5.1.2 Menentukan Faktor Penyesuaian Kapasitas Akibat Lebar Lalu Lintas (FC_L)

Untuk tipe jalan 6/2 D dengan lebar lajur 3,6 m, berdasarkan tabel 2.5 didapatkan nilai $FC_L = 1,018$ melalui interpolasi.

5.1.3 Menentukan Faktor Penyesuaian Kapasitas Akibat Pemisah Arah (FC_{PA})

Diketahui pemisah arah sebesar 50% - 50% karena pada jalan tol Mojokerto – Kertosono mempunyai disini median sebagai pemisah arah pada dua rah tersebut, maka berdasarkan tabel 2.6 didapatkan nilai $FC_{PA} = 1,0$.

5.1.4 Menghitung Nilai Kapasitas (C)

Dengan menggunakan persamaan 2.2 dapat dihitung nilai C sebagai berikut :

$$\begin{aligned} C &= C_0 \times FC_L \times FC_{SP} \times \text{Jumlah Lajur} \\ &= 2300 \times 1,018 \times 1 \times 6 \\ &= \mathbf{14048,4 \ smp/jam} \end{aligned}$$

5.1.5 Menghitung Nilai Arus Total Lalu Lintas (Q)

Menentukan nilai Q dapat diketahui melalui persamaan 2.1 contoh perhitungan Q awal umur rencana :

Gol 2 (Mobil Penumpang)

$$\begin{aligned} Q &= LHRT \times k \times emp \\ &= 6891 \times 0.11 \times 1 \\ &= \mathbf{758 \ smp/jam} \end{aligned}$$

5.1.6 Menghitung Derajat Kejemuhan (DS)

Besarnya Ds dapat dihitung menggunakan persamaan 2.3. contoh perhitungan DS awal umur dan akhir umur rencana dapat dilihat pada tabel dibawah ini :

Tabel 5. 2. Perhitungan DS Tahun 2018

| Tahun | Gol. Kend | LHR | k | Q | emp | Q | C | DS |
|-------|--------------|-------|------|------------|------|-----------|-------|------|
| | | | | (kend/jam) | | (smp/jam) | | |
| 1 | 2 | 3 | 4 | 5 | 6 | 7 | 8 | 9 |
| 2018 | 2 | 6891 | 0.11 | 758 | 1.00 | 758 | 14048 | 0.15 |
| | 5a | 1783 | 0.11 | 196 | 1.30 | 255 | | |
| | 5b | 1682 | 0.11 | 185 | 1.50 | 278 | | |
| | 6 | 2580 | 0.11 | 284 | 1.30 | 369 | | |
| | 7a | 1070 | 0.11 | 118 | 2.00 | 235 | | |
| | 7b | 463 | 0.11 | 51 | 2.00 | 102 | | |
| | 7c | 219 | 0.11 | 24 | 2.00 | 48 | | |
| Total | | 14688 | | 1616 | | 2044 | | |

Sumber : Hasil Perhitungan

Tabel 5. 3. Rekapitulasi DS

| Tahun | DS |
|-------|------|
| 2018 | 0.15 |
| 2019 | 0.15 |
| 2020 | 0.16 |
| 2021 | 0.17 |
| 2022 | 0.18 |
| 2023 | 0.17 |
| 2024 | 0.21 |
| 2025 | 0.22 |
| 2026 | 0.23 |
| 2027 | 0.25 |

| Tahun | DS |
|-------------|-------------|
| 2028 | 0.26 |
| 2029 | 0.28 |
| 2030 | 0.29 |
| 2031 | 0.31 |
| 2032 | 0.33 |
| 2033 | 0.35 |
| 2034 | 0.37 |
| 2035 | 0.39 |
| 2036 | 0.42 |
| 2037 | 0.44 |
| 2038 | 0.47 |
| 2039 | 0.49 |
| 2040 | 0.52 |
| 2041 | 0.56 |
| 2042 | 0.59 |
| 2043 | 0.62 |
| 2044 | 0.66 |
| 2045 | 0.70 |
| 2046 | 0.74 |
| 2047 | 0.79 |
| 2048 | 0.84 |

Sumber : Hasil Perhitungan

Dari hasil perhitungan pada tabel 5.3 . mulai dari awal tahun rencana 2018 sampai dengan akhir umur rencana 2048 jalan tol Mojokerto-Kertosono memiliki nilai **DS 8.5**, sehingga dengan 6/2 D dengan lebar lajur 3,6 m jalan tidak membutuhkan pelebaran.

5.1.7 Menghitung Kapasitas Rencana dengan 4 Lajur 2 Arah

Tabel 5. 4. Perhitungan DS Tahun 2018 (4/2D)

| Tahun | Gol. Kend | LHR | k | Q | emp | Q | C | DS |
|-------|--------------|-------|------|------------|-----|-----------|-----|------|
| | | | | (kend/jam) | | (smp/jam) | | |
| 2018 | 1 | 2 | 3 | 4 | 5 | 6 | 7 | 8 |
| | | 2 | 6891 | 0.11 | 758 | 1.00 | 758 | 9366 |
| | | 5a | 1783 | 0.11 | 196 | 1.30 | 255 | |
| | | 5b | 1682 | 0.11 | 185 | 1.50 | 278 | |
| | | 6 | 2580 | 0.11 | 284 | 1.30 | 369 | |
| | | 7a | 1070 | 0.11 | 118 | 2.00 | 235 | |
| | | 7b | 463 | 0.11 | 51 | 2.00 | 102 | |
| | | 7c | 219 | 0.11 | 24 | 2.00 | 48 | |
| Total | | 14688 | | 1616 | | 2044 | | |

Sumber : Hasil Perhitungan

Tabel 5. 5. Rekapitulasi DS (4D/2)

| Tahun | DS |
|-------|------|
| 2018 | 0.21 |
| 2019 | 0.23 |
| 2020 | 0.25 |
| 2021 | 0.26 |
| 2022 | 0.28 |
| 2023 | 0.29 |
| 2024 | 0.31 |
| 2025 | 0.33 |
| 2026 | 0.35 |
| 2027 | 0.37 |
| 2028 | 0.39 |
| 2029 | 0.42 |
| 2030 | 0.44 |

| Tahun | DS |
|-------------|-------------|
| 2031 | 0.47 |
| 2032 | 0.49 |
| 2033 | 0.52 |
| 2034 | 0.55 |
| 2035 | 0.59 |
| 2036 | 0.62 |
| 2037 | 0.66 |
| 2038 | 0.70 |
| 2039 | 0.74 |
| 2040 | 0.79 |
| 2041 | 0,83 |
| 2042 | 0,88 |
| 2043 | 0,94 |
| 2044 | 99 |
| 2045 | 1,05 |
| 2046 | 1,116 |
| 2047 | 1,18 |
| 2048 | 1,25 |

Sumber : Hasil Perhitungan

Dari hasil perhitungan pada tabel 5.5 untuk 4 lajur dan 2 arah pada tahun 2042 nilai **DS 0,88 > DS ijin 0,85**. Maka untuk tahun 2042-2048 membutuhkan pelebaran jalan.

5.2 Kontrol Geometrik Jalan

5.2.1 Penentuan Karakteristik Perencanaan Jalan

- Klasifikasi jalan pada jalan Tol Mojokerto – Kertosono bertipe enam-jalur, dua-arah terbagi (6/2D) serta memiliki kriteria perencanaan sebagai berikut :
 - Kecepatan rencana 120 km/jam

- Lebar jalur rencana 3,6 m
 - Lebar jalur lalu lintas 3 x 3,6 m
 - Lebar bahu jalan efektif 4,5 m (lebar bahu 1,5 m, lebar bahu dalam 4,5 m)
- b. Penentuan kemiringan normal, maksimum dan bahu jalan bagian dalam jalan Tol Mojokerto – Kertosono ditetapkan sebesar 2% dan kemiringan melintang maksimum ditetapkan sebesar 10%. Untuk bahu jalan bagian luar, kemiringan melintangnya direncanakan 4% karena terdapat perkerasan pada bahu jalan tersebut.

5.2.2 Alinyemen Horizontal

Alinyemen horizontal terdiri dari bagian lurus dan bagian lenkungan (tikungan) yang berfungsi untuk mengimbangi gaya sentrifugal yang diterima kendaraan saat melajut

a. Perhitungan Jari-Jari Minimum

Dari persamaan 2.27 dapat diketahui R_{min} sebagai berikut :

$$R_{\min} = \frac{V^2}{1 - (e_m + f_m)}$$

$$R_{\min} = \frac{(1 - \frac{k}{f_c})^2}{1 - (1\% + 0,1)}$$

R_{min} = 365 m (*Diperoleh dari tabel 2.16*)

Dengan :

e_{max} = 10% (*Diperoleh dari tabel 2.14*)

f_{max} = 0,116 (*Diperoleh dari tabel 2.15*)

b. Kontrol Alinyemen Horizontal pada Tikungan PI Diketahui :

$$\begin{cases} \text{STA PI I terletak STA } 9+340 \\ R_c = 365 \text{ m } (\text{Diambil } R_{\min}) \\ = 30^\circ \\ T_c = R_c \times \operatorname{Tg} \frac{1}{2} \\ = 6000 \text{ m} \times \operatorname{Tg} (\frac{1}{2} \times 30^\circ) \\ = 1608 \text{ m} \end{cases}$$

$$\begin{aligned}
 J \quad Ec &= Tc \times Tg^{1/4} \\
 &= 1608 \text{ m} \times Tg^{(1/4 \times 30^\circ)} \\
 &= 212 \text{ m} \\
 J \quad Lc &= /360 \times 2 \times R_c \times \pi \\
 &= 30/360 \times 2 \times 6000 \times 3,14 \\
 &= 3170 \text{ m}
 \end{aligned}$$

Syarat,

- Lc < 2 Tc**
- 3170 m < 3216 m (**OK**)
- J Letak STA
- SC = STA 8+061
- J CS = STA 8+971
- J Diagram Superelevasi
Berdasarkan Tata Perencanaan Geometrik
Jalan antar kota (TPGJAK) 1997, bila
jari-jari tikungan melebihi 2000m pada
kecepatan rencana 100 km/jam maka
tidak diperlukan superelevasi.

5.2.3 Alinyemen Vertikal

Alinyemen vertikal merupakan perpotongan pada bidang vertikal dengan bidang permukaan jalan melalui sumbu jalan alinyemen vertikal. Kelandaian diasumsikan bernilai positif (+) jika pendakian dan diasumsikan bernilai (-) jika penurunan yang ditinjau dari kiri. Jenis lengkungan pada jalan ini terdapat dua jenis yaitu :

- Lengkung Cembung
- Lengkung Cekung

Alinyemen vertikal atau biasa juga disebut penampang melintang jalan didefinisikan sebagai perpotongan antara potongan bidang vertikal dengan badan jalan arah memanjang. Karena jalan tol Kertosono yang direncanakan hanya memiliki kelandaian maksimal 3% (datar) maka untuk kelandaian <5% diasumsikan tidak terjadi lengkung cembung maupun lengkung cekung.

5.3 Perencanaan Tebal Perkerasaan Jalan

5.3.1 Perhitungan Tebal Pondasi Bawah Minimum

Pondasi bawah yang digunakan pada proyek akhir ini adalah berupa pondasi bawah dengan stabilisasi campuran beton kurus (CBK) dengan ketebalan 10 cm.

5.3.2 Kekuatian Beton Semen

Kekuatian beton yang digunakan pada tugas akhir ini adalah $f_c' = 33,2 \text{ MPa}$. Adapun kuat tekan lenturnya sebagai berikut

$$\begin{aligned} \text{Kuat Tekan Bentur beton} \\ F_{cf} &= 0,75 \times (33,2 \text{ MPa})^{0,5} \\ &= 4,3 \text{ MPa} \end{aligned}$$

5.3.3 Perencanaan Tebal Perkerasan Jalan Beton Metode SNI Pd-T-14-2003

a. Perhitungan Maksimum Beban Kendaraan

Penentuan beban lalu-lintas rencana untuk perkerasan beton semen, dinyatakan dalam jumlah sumbu kendaraan niaga, sesuai dengan konfigurasi sumbu pada lajur rencana selama umur rencana. Jenis kendaraan yang diperhitungkan adalah jenis kendaraan yang mempunyai berat minimal 5 ton. Pengelompokan kendaraan niaga untuk mengetahui berat dari masing-masing jenis kendaraan tercantum pada tabel berikut ini

Tabel 5. 6. Beban Maksimum Kendaraan

| No. | Jenis Kendaraan | Pengelompokan dalam Perhitungan | Berat Max. (Kg) |
|-----|--------------------------------|---------------------------------|-----------------|
| 1 | Kendaraan Ringan | Mobil Penumpang | 2000 |
| 2 | Bus Besar | Bus | 9000 |
| 3 | Truk 2 As Kecil atau Bus Kecil | Truk 2 As Kecil | 8300 |
| 4 | Truk 2 As | Truk 2 As | 18200 |

| No. | Jenis Kendaraan | Pengelompokan dalam Perhitungan | Berat Max. (Kg) |
|-----|----------------------|---------------------------------|-----------------|
| 5 | Truk 3 As | Truk 3 As | 25000 |
| 6 | Truk 4 As | Truk 4 As | 42000 |
| 7 | Truk Gandeng | Truk Gandeng | 31400 |
| 8 | Truk 5 As atau lebih | Truk 5 As | 50000 |

Sumber : Dinas Pekerjaan Umum Bina Marga Provinsi Jawa Timur

Berikut ini adalah perhitungan distribusi beban sumbu :

- a. Mobil Penumpang

Muatan Maksimal = 2000 Kg = 2 Ton

Total 2 Ton dengan distribusi beban sumbu sebagai berikut :

$$\begin{array}{ll}
 \downarrow & \downarrow \\
 50\% & 50\% \\
 \text{Beban sumbu depan (STRT)} & = 50\% \times 2 \text{ Ton} \\
 & = 1 \text{ Ton} \\
 \text{Beban Sumbu Belakang (STRG)} & = 50\% \times 2 \text{ Ton} \\
 & = 1 \text{ Ton}
 \end{array}$$

- b. Truk 2 As Kecil atau Bus Kecil

Muatan Maksimal = 8300 = 8,3 Ton

Total 8,3 Ton dengan distribusi beban sumbu sebagai berikut :

$$\begin{array}{ll}
 \downarrow & \downarrow \\
 34\% & 66\% \\
 \text{Beban sumbu depan (STRT)} & = 34\% \times 8,3 \text{ Ton} \\
 & = 2,82 \text{ Ton} \\
 \text{Beban Sumbu Belakang (STRG)} & = 66\% \times 8,3 \text{ Ton} \\
 & = 5,48 \text{ Ton}
 \end{array}$$

c. Bus Besar

Muatan Maksmimal = 9000 = 9 Ton

Total 9 Ton dengan distribusi beban sumbu sebagai berikut :

| | |
|-----------------------------|---|
| 34% | 66% |
| Beban sumbu depan (STRT) | $= 34\% \times 9 \text{ Ton}$ $= 3,06 \text{ Ton}$ |
| Beban Sumbu Belakang (STRG) | $= 66\% \times 9 \text{ Ton}$ $= 5,94 \text{ Ton}$ |

d. Truk 2 As

Muatan Maksmimal = 18200 = 18,2 Ton

Total 18,2 Ton dengan distribusi beban sumbu sebagai berikut :

| | |
|-----------------------------|---|
| 34% | 66% |
| Beban sumbu depan (STRT) | $= 34\% \times 18,2 \text{ Ton}$ $= 6,19 \text{ Ton}$ |
| Beban Sumbu Belakang (STRG) | $= 66\% \times 18,2 \text{ Ton}$ $= 12,01 \text{ Ton}$ |

e. Truk 3 As

Muatan Maksmimal = 25000 = 25 Ton

Total 25 Ton dengan distribusi beban sumbu sebagai berikut :

| | |
|-----------------------------|---|
| 25% | 75% |
| Beban sumbu depan (STRT) | $= 25\% \times 25 \text{ Ton}$ $= 6,25 \text{ Ton}$ |
| Beban Sumbu Belakang (STRG) | $= 75\% \times 25 \text{ Ton}$ $= 18,75 \text{ Ton}$ |

f. Truk Gandeng

Muatan Maksmimal = 31400 = 31,4 Ton

Total 31,4 Ton dengan distribusi beban sumbu sebagai berikut :

| | | | |
|-----------------------------|------------------|-----|-----|
| 16% | 36% | 24% | 24% |
| Beban sumbu depan (STRT) | | | |
| | = 16% x 31,4 Ton | | |
| | = 5,02 Ton | | |
| Beban Sumbu Belakang (STRG) | | | |
| | = 36% x 31,4 Ton | | |
| | = 11,3 Ton | | |
| Beban Sumbu Belakang (STRG) | | | |
| | = 24% x 31,4 Ton | | |
| | = 7,54 Ton | | |
| Beban Sumbu Belakang (STRG) | | | |
| | = 24% x 31,4 Ton | | |
| | = 7,54 Ton | | |

g. Truk Semi Triller

Muatan Maksimal = 50000 = 50 Ton

Total 50 Ton dengan distribusi beban sumbu sebagai berikut :

| | | |
|------------------------------|------------------|-------|
| 13% | 43,5% | 43,5% |
| Beban sumbu depan (STRT) | | |
| | = 13% x 50 Ton | |
| | = 6,5 Ton | |
| Beban Sumbu Belakang (STdRG) | | |
| | = 43,5% x 50 Ton | |
| | = 21,75 Ton | |
| Beban Sumbu Belakang (STdRG) | | |
| | = 43,5% x 50 Ton | |
| | = 21,75 Ton | |

Data pembagian beban sumbu kendaraan maksimum dapat dilihat pada tabel dibawah ini

Tabel 5. 7. Pembagian Beban Sumbu / As

| Jenis Kendaraan | Beban As (Ton) | Jenis As |
|--------------------------|-------------------|----------|
| Mobil Penumpang 2 Ton | 1 | STRT |
| | 1 | STRT |
| Truk 2 As ¾ 8,3 Ton | 2,82 | STRT |
| | 5,48 | STRG |

| Jenis Kendaraan | Beban As (Ton) | Jenis As |
|----------------------------|-------------------|------------|
| Bus 9 Ton | 3,06 | STRT |
| | 5,94 | STRG |
| Truk 2 As 18,2 Ton | 6,19 | STRT |
| | 12,01 | STRG |
| Truk 3 As 25 Ton | 6,25 | STRT |
| | 18,75 | STdRG |
| Truk 4 As 42 Ton | 7,56 | STRT |
| | 11,76 | STRG |
| | 22,68 | STRd RG |
| Truk Gandeng 31,4 Ton | 5,02 | STRT |
| | 11,30 | STdRG |
| | 7,54 | STRT |
| | 7,54 | STRG |
| Truk 5 As/ Lebih 50 Ton | 6,5 | STRT |
| | 21,75 | STdRG |
| | 21,75 | STdRG |

Sumber : Dinas Pekerjaan Umum Bina Marga

b. Penghitungan Lalu Lintas Rencana

Lalu-lintas rencana adalah jumlah kumulatif sumbu kendaraan niaga pada lajur rencana selama umur rencana, meliputi proporsi sumbu serta distribusi beban pada setiap jenis sumbu kendaraan. Perhitungan jumlah sumbu kendaraan berdasarkan jenisnya dapat dilihat pada tabel 5.14. Selanjutnya dapat dihitung jumlah sumbu kendaraan niaga selama umur rencana dengan menggunakan persamaan 2.46 dengan terlebih dahulu menghitung nilai Faktor pertumbuhan lalu-lintas (R) menggunakan persamaan 2.45 dan nilai koefisien distribusi (C) menggunakan Tabel 2.30.

) Penghitungan Nilai Faktor Pertumbuhan Lalu Lintas (R)

$$R = \frac{(1 + 0,06)^{3 - 1}}{0,06}$$

$$R = 79,1\%$$

-) Penghitungan Nilai Koefisien Distribusi (C)
Jalan direncanakan 6 lajur 2 arah terbagi 6/2D sehingga didapat nilai C adalah 0,4
-) Penghitungan Jumlah Sumbu Kendaraan Niaga Harian (JSKNH)

Tabel 5. 8. Perhitungan Jumlah Sumbu Kendaraan Niaga Harian (JSKNH)

| No | Golongan | Jumlah Kendaraan | Distribusi Beban As (ton) | JSKNH |
|---------------|------------------------|------------------|--|-------------|
| 1 | Sedan; Jeep; st. Wagon | 6891 | 1+1 (Tidak dihitung) | - |
| 2 | Bus Kecil | 1783 | 2,82+5,48 | 3566 |
| 3 | Bus Besar | 1682 | 3,06+5,94 | 3364 |
| 4 | Truck 2 As | 2580 | 6,19+12,01 | 5161 |
| 5 | Truck 3 As | 1070 | 6,25 + 9,38 + 9,38 | 3209 |
| 6 | Truck Gandengan | 463 | 5,02 + 11,30+7,54 +7,54 | 1852 |
| 7 | Truck Semi Triller | 219 | 6,5 + (10.875+10.875) +(10.875+10.875) | 658 |
| JUMLAH | | 17809,4 | | Buah |

$$JKSN = JSKNH \times 365 \times R$$

$$JKSN = 17809,4 \times 365 \times 79,1\%$$

$$= 513912455,3$$

$$\begin{aligned} JKSN \text{ Rencana} &= JKSN \times C \\ &= 513912455,3 \times 0,4 \end{aligned}$$

$$JKSN \text{ Rencana} = 205564982,1$$

-) Penghitungan Sumbu Berdasarkan Jenis dan Bebannya

Tabel 5. 9. Perhitungan Sumbu Berdasarkan Jenis dan Bebannya

| Jenis Kendaraan | Konfigurasi Beban Sumbu (ton) | | | | Jml. Kend (bh) | Jml. Sumbu Per Kend (bh) | Jml. Sumbu (bh) | STRT | | STRG | | STdRG | |
|-----------------------|-------------------------------|----|-----|-----|----------------|--------------------------|-----------------|----------|-------------|----------|-------------|----------|-------------|
| | RD | RB | RGD | RGB | | | | BS (ton) | JS (bh) | BS (ton) | JS (bh) | BS (ton) | JS (bh) |
| (1). | (2). | | | | (3). | (4). | (5). | (6). | (7). | (8). | (9). | (10). | (11). |
| Sedan; Jeep St. Wagon | 1 | 1 | - | - | 6891 | - | - | - | | | | | |
| Bus Kecil | 3 | 5 | - | - | 1783 | 2 | 3566 | 3 | 1783 | 5 | 1783 | | |
| Bus Besar | 3 | 6 | - | - | 1682 | 2 | 3364 | 3 | 1682 | 6 | 1682 | | |
| Truck 2As | 6 | 12 | - | - | 2580 | 2 | 5161 | 6 | 2580 | 12 | 2580 | | |
| | | | | | | | | | | | | | |
| Truk 3As | 6 | 19 | - | - | 1070 | 3 | 3209 | 6 | 1070 | | | 19 | 1070 |
| Truk Gandeng | 5 | 11 | 8 | 8 | 463 | 4 | 1852 | 5 | 463 | 11 | 463 | | |
| | | | | | | | | | | 8 | 463 | | |
| | | | | | | | | | | 8 | 463 | | |
| Truck Semi Trailer | 7 | | 22 | 22 | 219 | 3 | 658 | 7 | 219 | | | 22 | 219 |
| | | | | | | | | | | | | 22 | 219 |
| Total | | | | | | | 17809 | | 7797 | | 7434 | | 1508 |

Catatan : RD : Roda Depan; RB : Roda Belakang; RGD : Roda Gandeng Depan; RGB: Roda Gandeng Belakang; BS: Beban Sumbu; JS: Jumlah Sumbu; STRT: Sumbu Tunggal Roda Tunggal; STRG: Sumbu Tunggal Roda Ganda; STdRG: Sumbu Tandem Roda Ganda

c. Penghitungan Jumlah Repetisi Sumbu

Tabel 5. 10. Perhitungan Jumlah Repetisi Sumbu

| Jenis Sumbu | Beban Sumbu (ton) | Jumlah Sumbu | Proporsi Beban | Proporsi Sumbu | Lalu Lintas Rencana | Repetisi Yang Terjadi |
|-------------------------|-------------------|--------------|----------------|----------------|---------------------|--------------------------|
| (1). | (2). | (3). | (4). | (5). | (6). | (7) = (4) x (5) x (6) |
| STRT | 0 | 0 | 0,000 | 0,44 | 205564982 | 0 |
| | 7 | 219 | 0,028 | 0,44 | 205564982 | 2532764,262 |
| | 6 | 3650 | 0,468 | 0,44 | 205564982 | 42128754,24 |
| | 5 | 463 | 0,059 | 0,44 | 205564982 | 5343999,987 |
| | 3 | 3465 | 0,444 | 0,44 | 205564982 | 39993806,35 |
| Total | | 7797,22 | 1,000 | | | |
| STRG | 12 | 2580 | 0,347 | 0,42 | 205564982 | 29783186,03 |
| | 11 | 463 | 0,062 | 0,42 | 205564982 | 5343999,987 |
| | 8 | 926 | 0,125 | 0,42 | 205564982 | 10687999,97 |
| | 6 | 1682 | 0,226 | 0,42 | 205564982 | 19413439,16 |
| | 5 | 1783 | 0,240 | 0,42 | 205564982 | 20580367,19 |
| Total | | 7434,18 | 1,000 | | | |
| STdRG | 21,75 | 439 | 0,291 | 0,08 | 205564982 | 5065528,523 |
| | 18,75 | 1069,58 | 0,709 | 0,08 | 205564982 | 12345568,21 |
| Total | | 1508,43 | 1,000 | | | |
| <u>Komulatif</u> | | | | | | 193219414 |

d. Data Teknis

1. Tafsiran Beton 250 mm

- J Jenis Perkerasan : Beton Bersambung Tanpa Tulangan (BBTT) dengan ruji
- J Jenis Bahan : Beton
- J Umur Rencana : 30 Tahun

-) JSKN Rencana : 205564982,1
-) F. Keamanan Beban : 1,2 (*Lihat Tabel 2.33*)
-) Kuat Tekan Beton : 33,2 MPa
-) Kuat Tarik Beton : 4,3 MPa
-) Jenis Pondasi : campuran beton kurus (CBK)
-) Tebal Pondasi : 10 cm
-) CBR Tanah Dasar : 46%
-) CBR Efektif : 75 %
-) Tebal Taksiran Beton : 250 mm

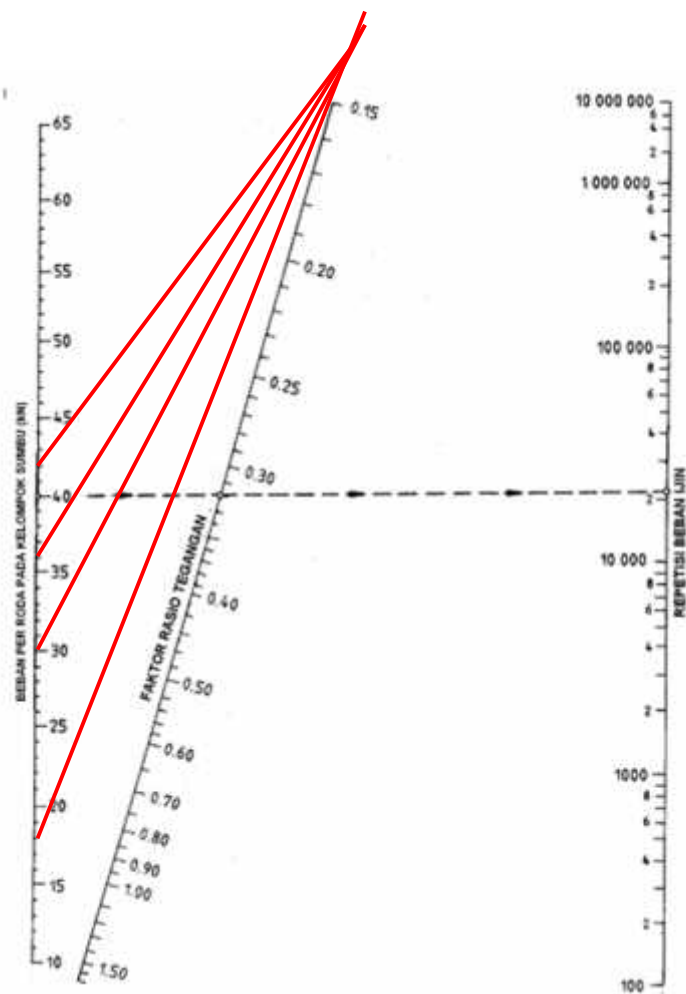
e. Analisa Fatik dan Erosi (Tebal Taksiran beton = 250mm)

Tabel 5. 11. Analisa Fatik dan Erosi

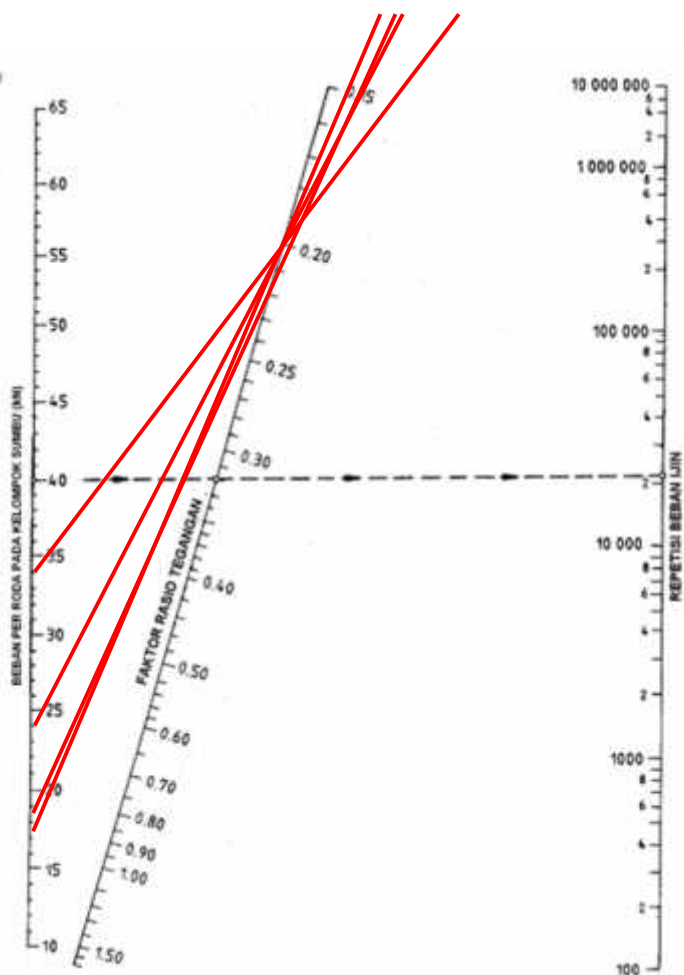
| Jenis Sumbu | Beban Sumbu Ton (kN) | Beban Rencana Per Roda (kN) | Repetisi yang terjadi | Faktor Tegangan dan erosi | Analisa Fatik | | Analisa Erosi | |
|-------------|----------------------|-----------------------------|-----------------------|--------------------------------------|-----------------|-------------------|-----------------|------------------|
| | | | | | Repetisi i ijin | Persen Rusak (%) | Repetisi i ijin | Persen Rusak (%) |
| (1) | (2) | (3) | (4) | (5) | (6) | (7) = (4)*100/(6) | (8) | (9)=(4)*100/(8) |
| STRT | 70 | 42,00 | 2849360 | Te = 0,58 Fe = 1,66 FRT = 0,13 | TT | 0 | TT | 0 |
| | 60 | 36,00 | 47394849 | | TT | 0 | TT | 0 |
| | 50 | 30,00 | 6012000 | | TT | 0 | TT | 0 |
| | 30 | 18,00 | 44993032 | | TT | 0 | TT | 0 |
| STRG | 113 | 33,90 | 6012000 | Te = 0,86 Fe = 2,27 FRT = 0,20 | TT | 0 | 6.000.000 | 89,1 |
| | 80 | 24,00 | 12024000 | | TT | 0 | TT | 0 |
| | 59,4 | 17,82 | 21840119 | | TT | 0 | TT | 0 |
| | 54,8 | 16,44 | 23152913 | | TT | 0 | TT | 0 |
| STDRG | 217,5 | 32,63 | 5698720 | Te = 0,72 Fe = 2,3 FRT = 0,17 | TT | 0 | 5.000.000 | 101,3 |
| | 187,5 | 28,13 | 13888764 | | TT | 0 | TT | 0 |
| Total | | | | | | 0% | | 190,4% |
| Kontrol | | | | | | 0% < 100% | | 190,4% > 100% |
| | | | | | | OK! | | NOT OK! |

Tabel 5. 12. Tegangan Ekivalen dan Faktor Erosi untuk Perkerasan dengan Bahan Beton (Tebal Taksiran Beton =250mm)

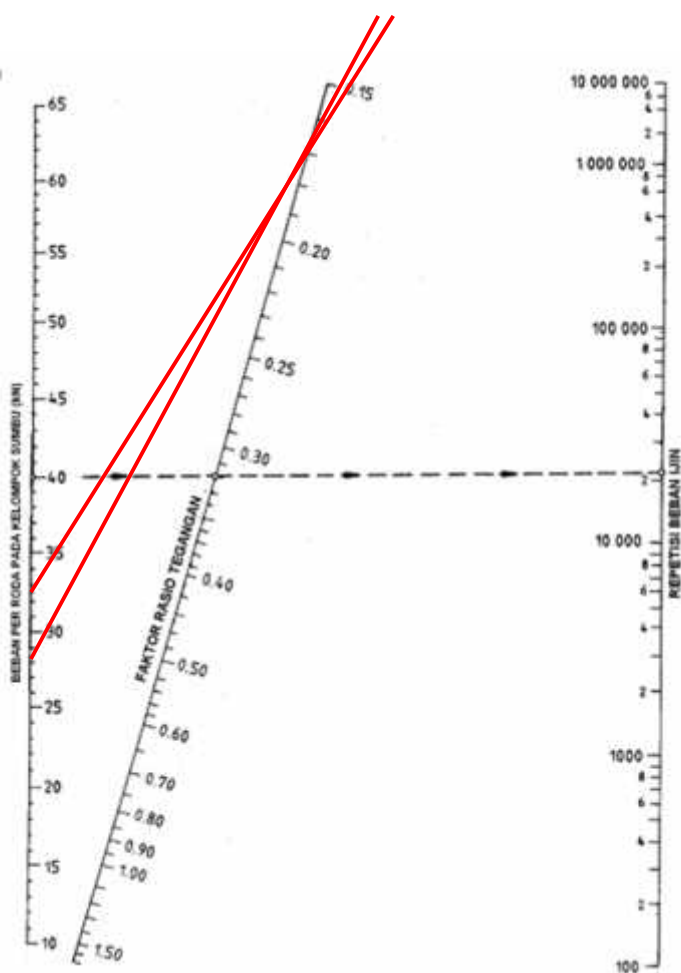
| Tebal Slab (mm) | CBR Eff Tanah Dasar (%) | Tegangan Setara | | | | | | Faktor Erosi | | | | | |
|--------------------|-------------------------------|-----------------|------|------|------|----------------------------|------|--------------|------|-------|------|------|------|
| | | Tanpa Rui | | | | Dengan Rui/Beton Bertulang | | | | Beton | | | |
| | | STRT | STRG | StRG | STRG | STRT | STRG | StRG | STRG | STRT | STRG | StRG | STRG |
| 250 | 5 | 0.60 | 1.04 | 0.98 | 0.73 | 1.77 | 2.37 | 2.56 | 2.63 | 1.64 | 2.14 | 2.32 | 2.45 |
| 250 | 10 | 0.61 | 1.03 | 0.9 | 0.69 | 1.74 | 2.35 | 2.5 | 2.55 | 1.52 | 2.12 | 2.26 | 2.37 |
| 250 | 15 | 0.62 | 1 | 0.87 | 0.67 | 1.73 | 2.34 | 2.47 | 2.62 | 1.51 | 2.11 | 2.23 | 2.33 |
| 250 | 20 | 0.61 | 0.99 | 0.85 | 0.66 | 1.72 | 2.33 | 2.46 | 2.48 | 1.49 | 2.1 | 2.22 | 2.3 |
| 250 | 25 | 0.61 | 0.97 | 0.83 | 0.64 | 1.72 | 2.32 | 2.43 | 2.47 | 1.48 | 2.09 | 2.2 | 2.21 |
| 250 | 30 | 0.61 | 0.95 | 0.81 | 0.61 | 1.71 | 2.3 | 2.39 | 2.42 | 1.47 | 2.07 | 2.18 | 2.22 |
| 250 | 35 | 0.6 | 0.93 | 0.79 | 0.61 | 1.71 | 2.3 | 2.39 | 2.42 | 1.46 | 2.06 | 2.16 | 2.21 |
| 250 | 40 | 0.59 | 0.91 | 0.76 | 0.61 | 1.7 | 2.29 | 2.37 | 2.4 | 1.45 | 2.05 | 2.14 | 2.19 |
| 250 | 75 | 0.59 | 0.88 | 0.73 | 0.57 | 1.69 | 2.27 | 2.31 | 2.31 | 1.43 | 2.03 | 2.08 | 2.1 |



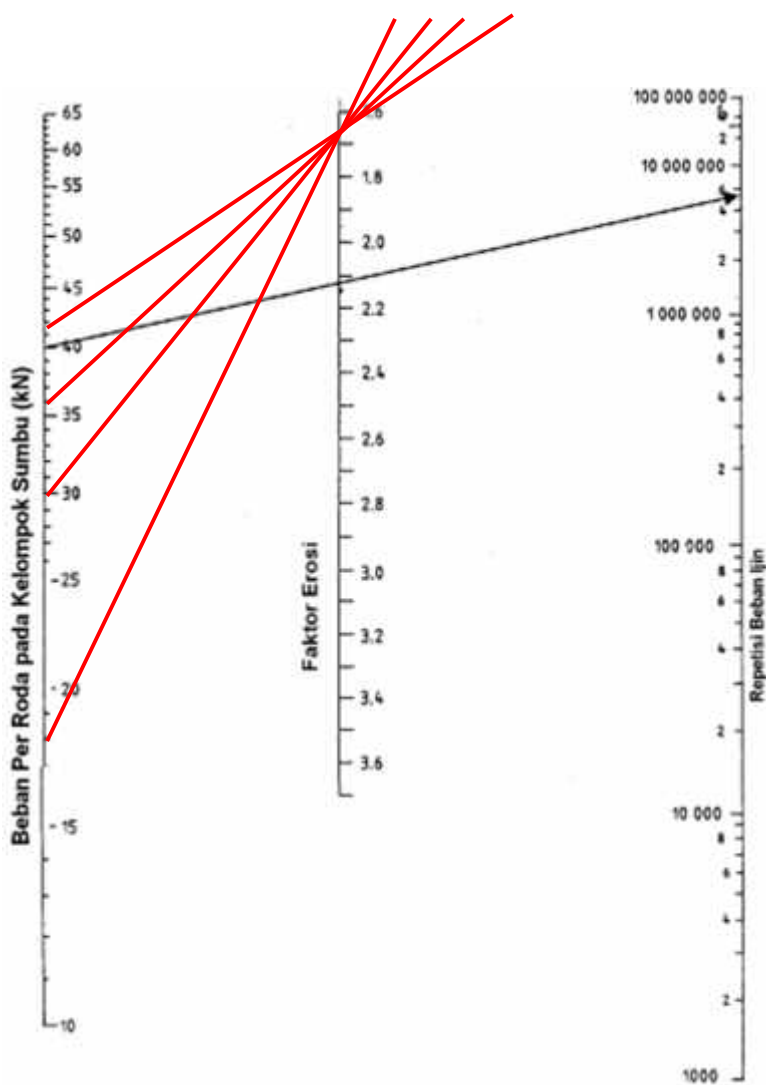
Gambar 5. 1. Analisa Fatik dan Beban Repetisi Ijin STRT Berdasarkan Rasio Tegangan, dengan/ tanpa bahu beton (Tafsiran Beton 250 mm)



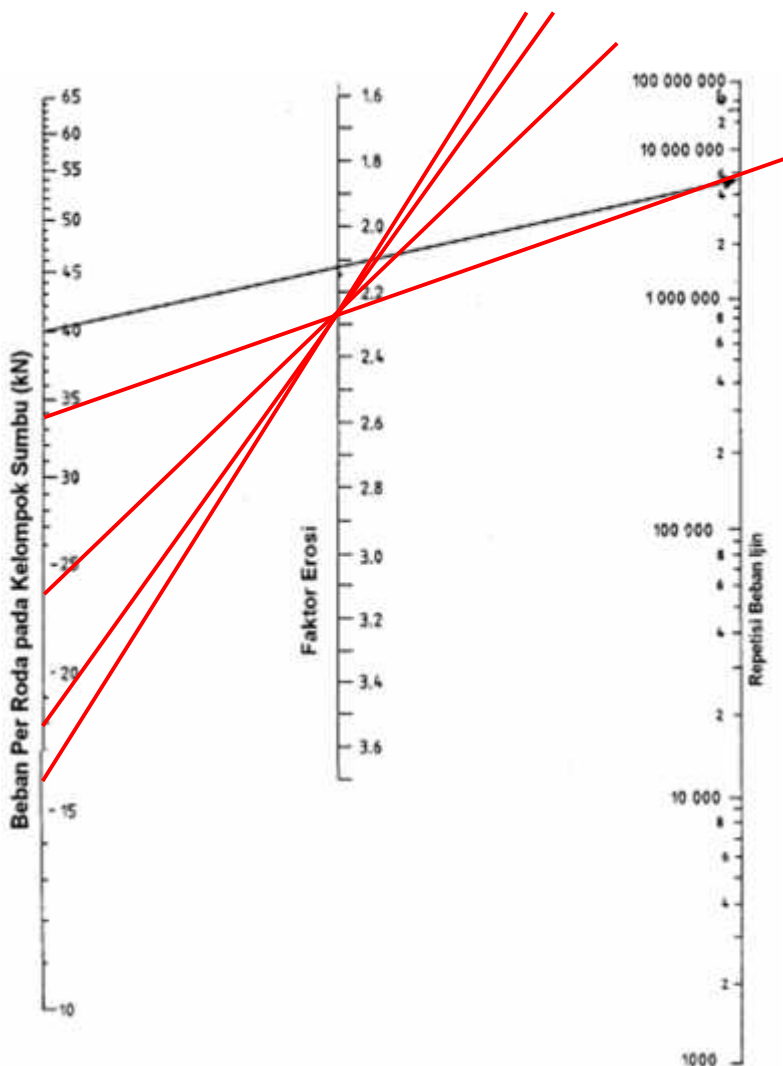
Gambar 5. 2. Analisa Fatik dan Beban Repetisi Ijin STRG Berdasarkan Rasio Tegangan, dengan/ tanpa bahu beton (Tafsiran Beton 250 mm)



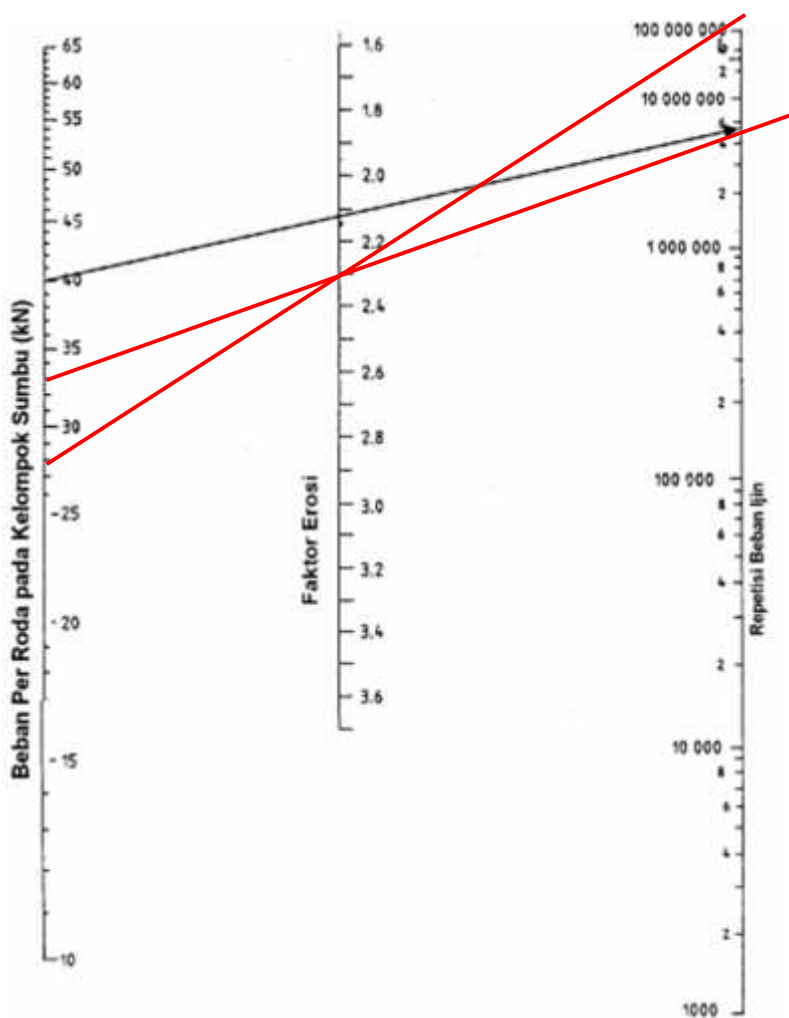
Gambar 5. 3. Analisa Fatik dan Beban Repetisi Ijin STdRG Berdasarkan Rasio Tegangan, dengan/ tanpa bahan beton
(Tafsiran Beton 250 mm)



Gambar 5. 4. Analisa Erosi dan Jumlah Repetisi Ijin STRT Berdasarkan Faktor Erosi, dengan Bahu Beton (Tafsiran Beton 250 mm)



Gambar 5. 5. Analisa Erosi dan Jumlah Repetisi Ijin STRG Berdasarkan Faktor Erosi, dengan Bahan Beton (Tafsiran Beton 250 mm)



Gambar 5. 6. Analisa Erosi dan Jumlah Repetisi Ijin STdRG Berdasarkan Faktor Erosi, dengan Bahu Beton (Tafsiran Beton 250 mm)

2. Tafsiran Beton 255 mm

-) Jenis Perkerasan : Beton Bersambung Tanpa Tulangan (BBTT) dengan ruji
-) Jenis Bahu : Beton
-) Umur Rencana : 30 Tahun
-) JSKN Rencana : 205564982,1
-) F. Keamanan Beban : 1,2 (*Lihat Tabel 2.33*)
-) Kuat Tekan Beton : 33,2 MPa
-) Kuat Tarik Beton : 4,3 MPa
-) Jenis Pondasi : campuran beton kurus (CBK)
-) Tebal Pondasi : 10 cm
-) CBR Tanah Dasar : 46%
-) CBR Efektif : 75 %
-) Tebal Taksiran Beton : 255 mm

f. Analisa Fatik dan Erosi (Tebal Taksiran Beton =255mm)

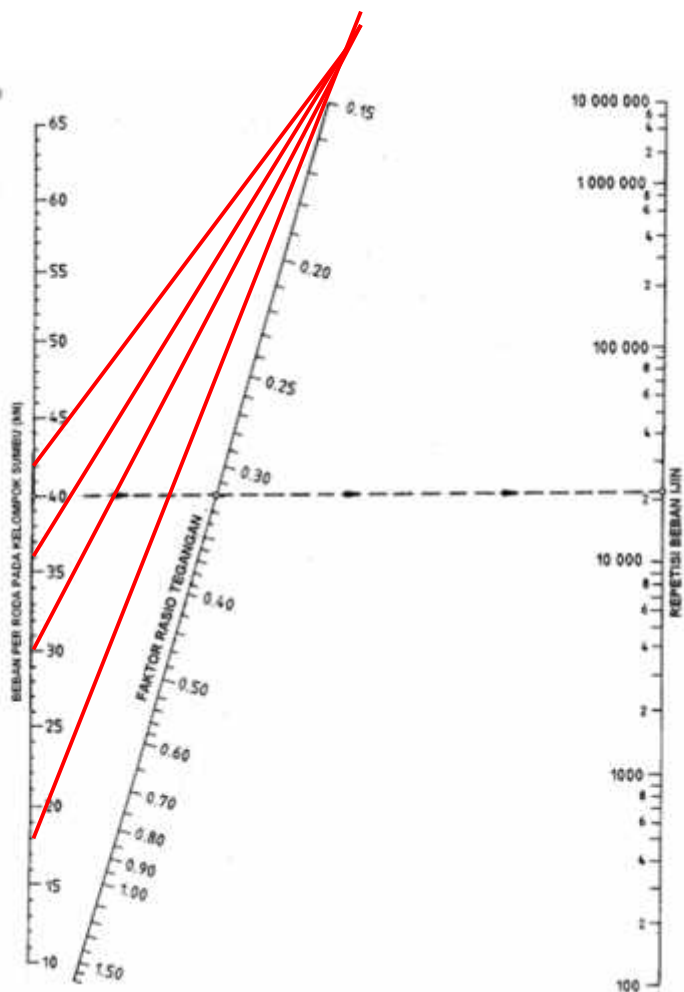
Tabel 5. 13. Analisa Fatik dan Erosi

| Jenis Sumbu | Beban Sumbu Ton (kN) | Beban Rencana Per Roda (kN) | Repetisi yang terjadi | Faktor Tegangan dan erosi | Analisa Fatik | | Analisa Erosi | |
|-------------|----------------------|-----------------------------|-----------------------|--|-----------------|----------------------|-----------------|--------------------------|
| | | | | | Repetisi i ijin | Persen Rusak (%) | Repetisi i ijin | Persen Rusak (%) |
| (1) | (2) | (3) | (4) | (5) | (6) | (7) = (4)*100/(6) | (8) | (9)=(4)*100/ (8) |
| STRT | 70 | 42,00 | 2849360 | Te = 0,565 Fe = 1,64 FRT = 0,13 | TT | 0 | TT | 0 |
| | 60 | 36,00 | 47394849 | | TT | 0 | TT | 0 |
| | 50 | 30,00 | 6012000 | | TT | 0 | TT | 0 |
| | 30 | 18,00 | 44993032 | | TT | 0 | TT | 0 |
| STRG | 113 | 33,90 | 6012000 | Te = 0,835 Fe = 2,245 FRT = 0,16 | TT | 0 | 9.000,0 000 | 59,4 |
| | 80 | 24,00 | 12024000 | | TT | 0 | TT | 0 |
| | 59,4 | 17,82 | 21840119 | | TT | 0 | TT | 0 |
| | 54,8 | 16,44 | 23152913 | | TT | 0 | TT | 0 |
| STdRG | 217,5 | 32,63 | 5698720 | Te = 0,700 Fe = 2,285 FRT = 0,16 | TT | 0 | 8.000,0 000 | 63,3 |
| | 187,5 | 28,13 | 13888764 | | TT | 0 | TT | 0 |
| Total | | | | | | 0% | | 122,7% |
| Kontrol | | | | | | 0% < 100% | | 122,7% > 100 % |
| | | | | | | OK! | | NOT OK! |

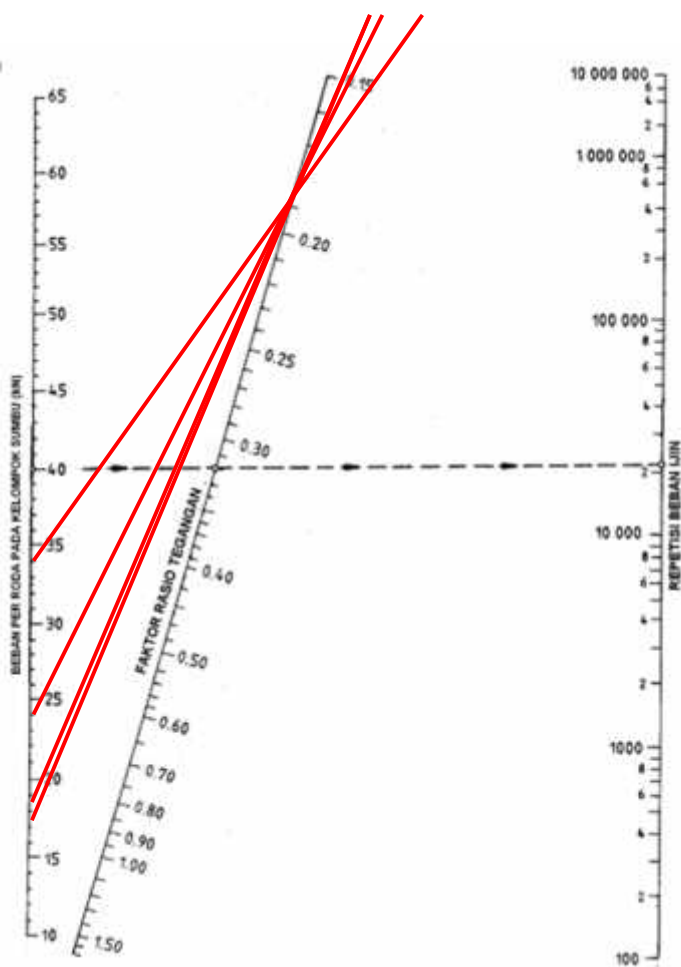
Tabel 5. 14. Tegangan Ekivalen dan Faktor Erosi untuk Perkerasan dengan Bahan Beton (Tebal Taksiran Beton =255mm)

| Tebal Slab (mm) | CBR Eff Tanah Dasar (%) | Tegangan Setara | | | | | | Faktor Erosi | | | | | |
|-----------------------|-------------------------------|-----------------|-------|------|----------------------------|-------|------|--------------|-------|------|----------------------------|-------|------|
| | | Tanpa Rui | | | Dengan Rui/Beton Bertulang | | | Tanpa Rui | | | Dengan Rui/Beton Bertulang | | |
| | | STRG | STdRG | StRG | STRG | STdRG | StRG | STRG | STdRG | StRG | STRG | STdRG | StRG |
| 250 | 5 | 0.65 | 1.09 | 0.96 | 0.73 | 1.77 | 2.37 | 2.56 | 2.63 | 1.54 | 2.14 | 2.32 | 2.45 |
| 250 | 10 | 0.63 | 1.03 | 0.9 | 0.69 | 1.74 | 2.36 | 2.5 | 2.55 | 1.52 | 2.12 | 2.26 | 2.37 |
| 250 | 15 | 0.62 | 1 | 0.87 | 0.67 | 1.73 | 2.34 | 2.47 | 2.52 | 1.5 | 2.11 | 2.23 | 2.33 |
| 250 | 20 | 0.61 | 0.99 | 0.85 | 0.65 | 1.72 | 2.33 | 2.45 | 2.49 | 1.49 | 2 | 2.22 | 2.3 |
| 250 | 25 | 0.61 | 0.97 | 0.83 | 0.64 | 1.72 | 2.32 | 2.43 | 2.47 | 1.48 | 2.09 | 2.2 | 2.28 |
| 250 | 30 | 0.61 | 0.93 | 0.79 | 0.61 | 1.71 | 2.3 | 2.38 | 2.42 | 1.4 | 2.07 | 2.16 | 2.22 |
| 250 | 40 | 0.58 | 0.89 | 0.75 | 0.59 | 1.68 | 2.28 | 2.36 | 2.38 | 1.44 | 2.05 | 2.11 | 2.16 |
| 250 | 75 | 0.58 | 0.86 | 0.72 | 0.57 | 1.66 | 2.27 | 2.3 | 2.31 | 1.43 | 2.03 | 2.06 | 2.1 |
| 260 | 5 | 0.61 | 1.04 | 0.93 | 0.71 | 1.72 | 2.33 | 2.53 | 2.61 | 1.49 | 2.08 | 2.29 | 2.42 |
| 260 | 10 | 0.61 | 0.98 | 0.86 | 0.66 | 1.7 | 2.3 | 2.47 | 2.53 | 1.47 | 2.07 | 2.23 | 2.34 |
| 260 | 15 | 0.59 | 0.95 | 0.83 | 0.63 | 1.69 | 2.28 | 2.44 | 2.49 | 1.46 | 2.06 | 2.2 | 2.3 |
| 260 | 20 | 0.58 | 0.94 | 0.81 | 0.62 | 1.68 | 2.26 | 2.42 | 2.46 | 1.45 | 2.05 | 2.18 | 2.28 |
| 260 | 25 | 0.57 | 0.92 | 0.79 | 0.61 | 1.67 | 2.27 | 2.4 | 2.44 | 1.44 | 2.04 | 2.16 | 2.25 |
| 260 | 30 | 0.56 | 0.89 | 0.79 | 0.59 | 1.66 | 2.26 | 2.38 | 2.39 | 1.42 | 2.02 | 2.12 | 2.19 |
| 260 | 40 | 0.56 | 0.89 | 0.71 | 0.54 | 1.64 | 2.24 | 2.32 | 2.34 | 1.4 | 2 | 2.04 | 2.13 |
| 260 | 75 | 0.55 | 0.81 | 0.86 | 0.54 | 1.62 | 2.22 | 2.27 | 2.28 | 1.36 | 1.98 | 2.03 | 2.08 |

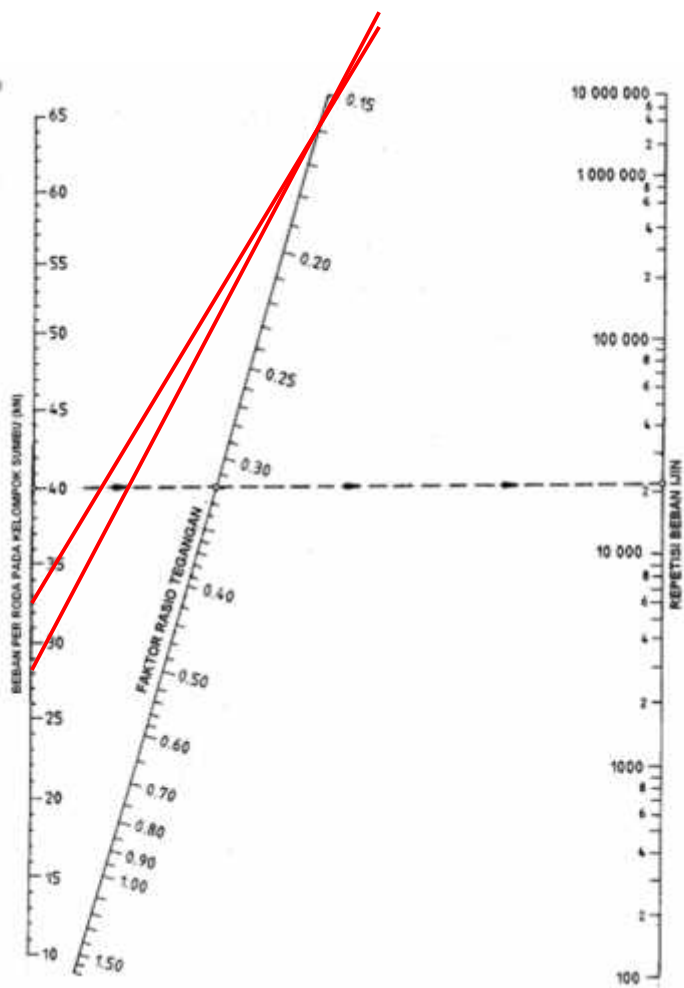
Catatan : untuk tafsiran beton = 25,5 maka menggunakan interpolasi untuk menentukan tegangan setara maupun tegangan erosi



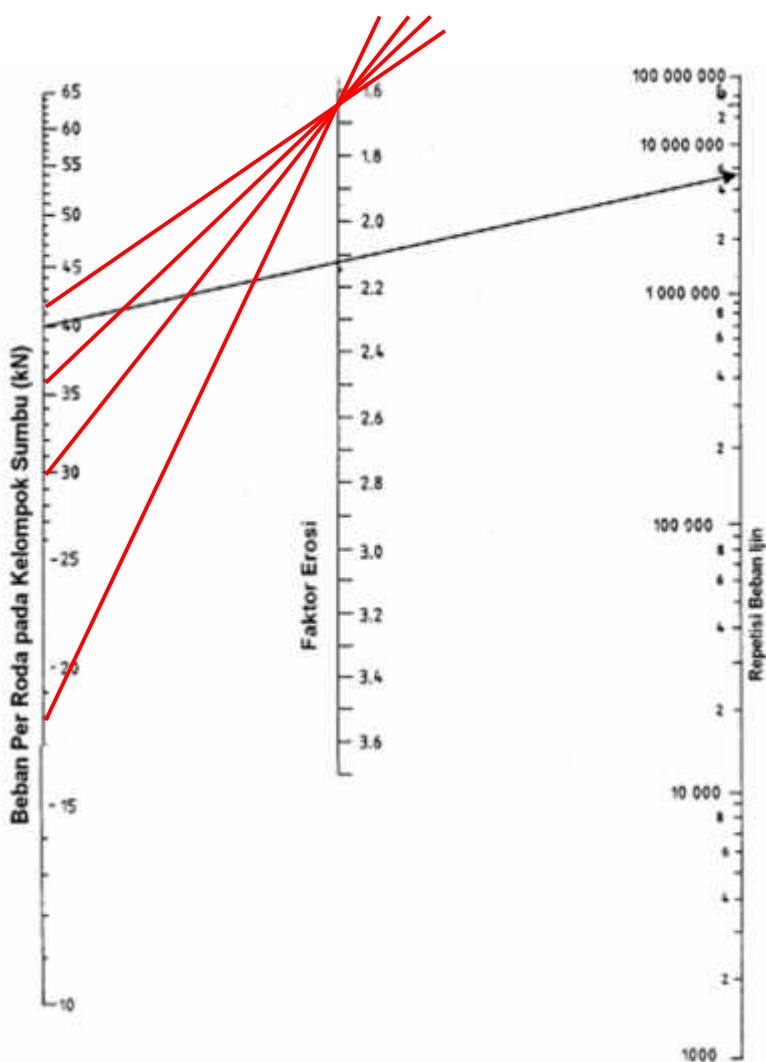
Gambar 5. 7. Analisa Fatik dan Beban Repetisi Ijin STRT Berdasarkan Rasio Tegangan, dengan/ tanpa bahu beton (Tafsiran Beton 255 mm)



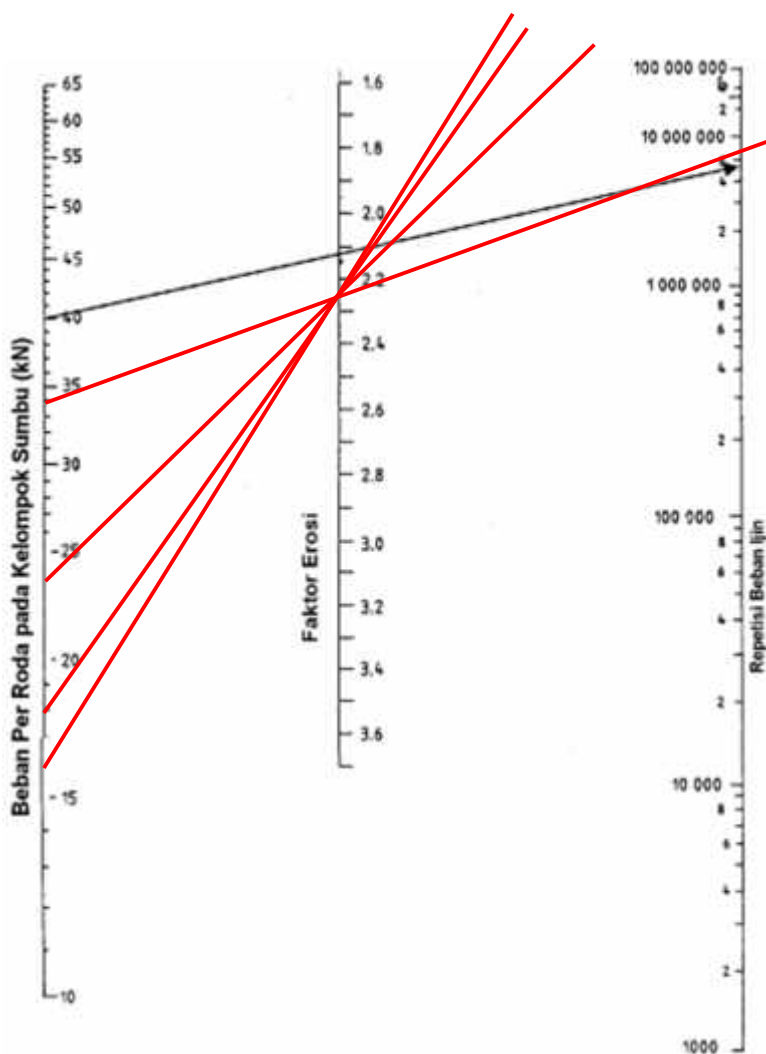
Gambar 5. 8. Analisa Fatik dan Beban Repetisi Ijin STRG Berdasarkan Rasio Tegangan, dengan/ tanpa bahan beton (Tafsiran Beton 255 mm)



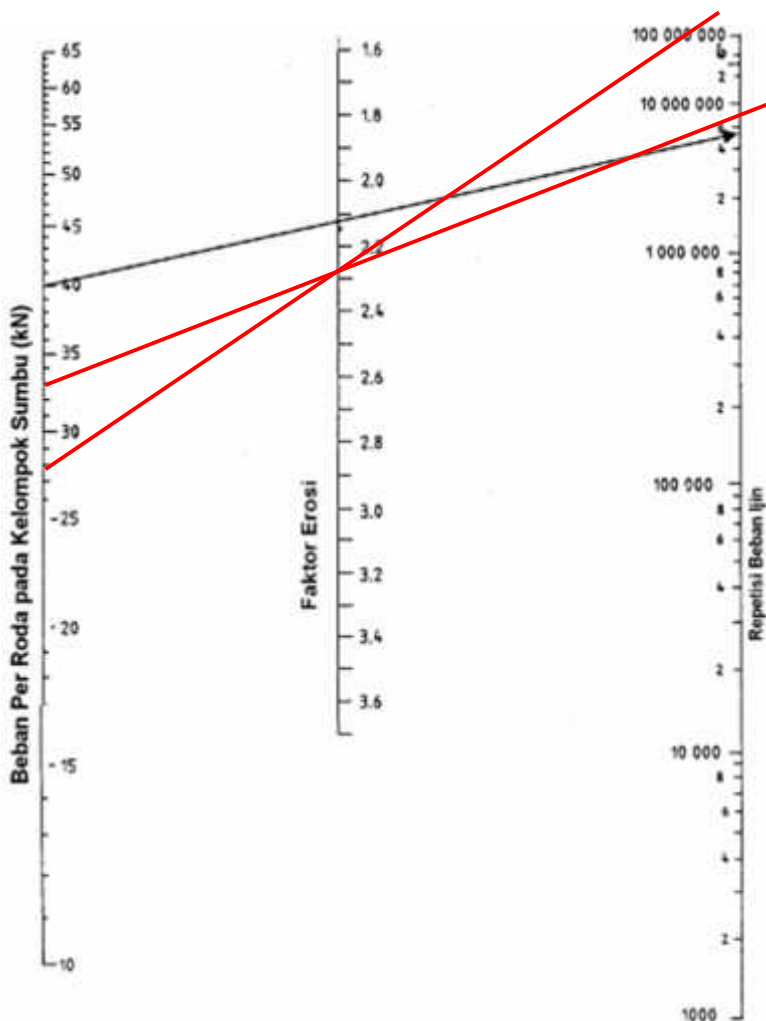
Gambar 5. 9. Analisa Fatik dan Beban Repetisi Ijin STdRG
Berdasarkan Rasio Tegangan, dengan/ tanpa bahan beton
(Tafsiran Beton 255 mm)



Gambar 5. 10. Analisa Erosi dan Jumlah Repetisi Ijin STRT Berdasarkan Faktor Erosi, dengan Bahan Beton (Tafsiran Beton 255 mm)



Gambar 5. 11. Analisa Erosi dan Jumlah Repetisi Ijin STRG Berdasarkan Faktor Erosi, dengan Bahu Beton (Tafsiran Beton 255 mm)



Gambar 5. 12. Analisa Erosi dan Jumlah Repetisi Ijin STdRG Berdasarkan Faktor Erosi, dengan Bahu Beton (Tafsiran Beton 255 mm)

3. Tafsiran Beton 260 mm

-) Jenis Perkerasan : Beton Bersambung Tanpa Tulangan (BBTT) dengan ruji
-) Jenis Bahu : Beton
-) Umur Rencana : 30 Tahun
-) JSKN Rencana : 205564982,1
-) F. Keamanan Beban : 1,2 (*Lihat Tabel 2.33*)
-) Kuat Tekan Beton : 33,2 MPa
-) Kuat Tarik Beton : 4,3 MPa
-) Jenis Pondasi : campuran beton kurus (CBK)
-) Tebal Pondasi : 10 cm
-) CBR Tanah Dasar : 46%
-) CBR Efektif : 75 %
-) Tebal Taksiran Beton : 260 mm

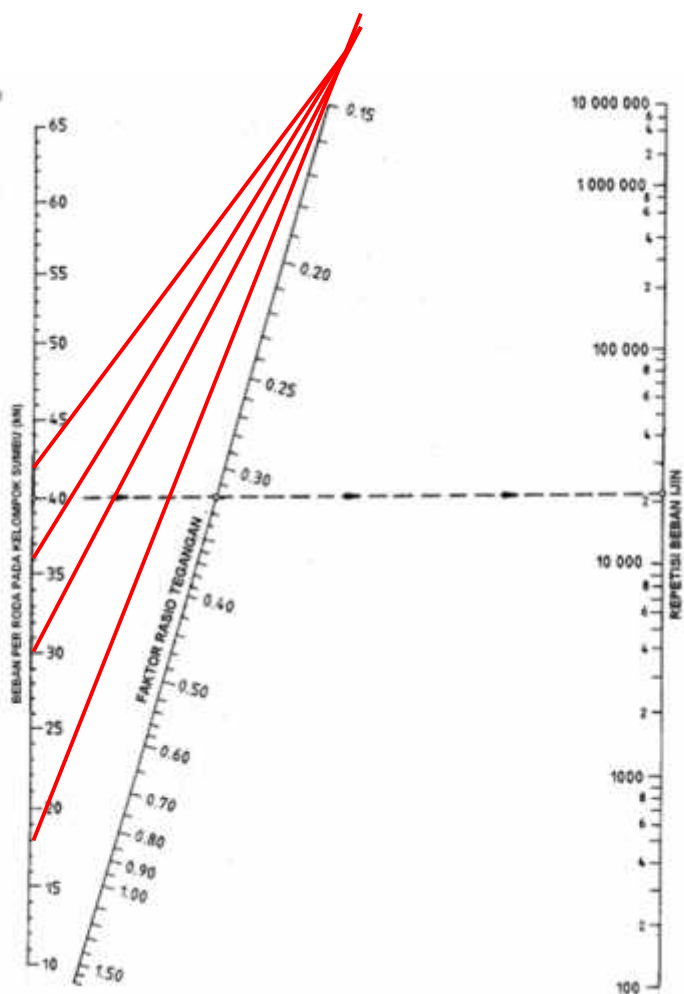
g. Analisa Fatik dan Erosi (Tebal Taksiran Beton =260mm)

Tabel 5. 15. Analisa Fatik dan Erosi (Tebal Taksiran Beton =260mm)

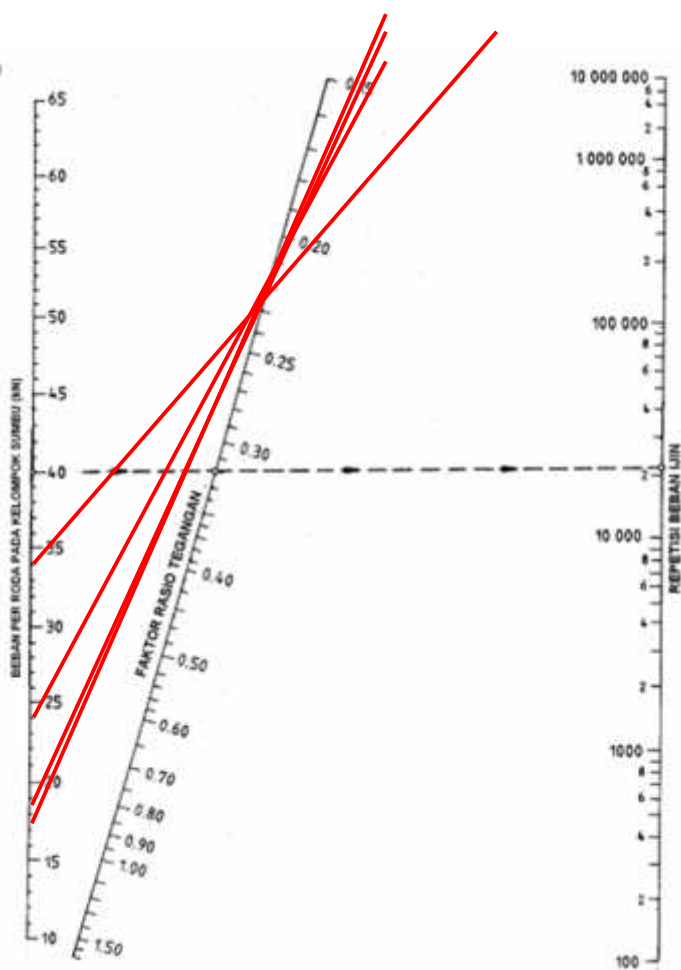
| Jenis Sumbu | Beban Sumbu Ton (kN) | Beban Rencana Per Roda (kN) | Repetisi yang terjadi | Faktor Tegangan dan erosi | Analisa Fatik | | Analisa Erosi | |
|-------------|----------------------|-----------------------------|-----------------------|--------------------------------------|-----------------|-------------------|-----------------|------------------|
| | | | | | Repetisi i ijin | Persen Rusak (%) | Repetisi i ijin | Persen Rusak (%) |
| (1) | (2) | (3) | (4) | (5) | (6) | (7) = (4)*100/(6) | (8) | (9)=(4)*100/(8) |
| STRT | 70 | 42,00 | 2849360 | Te = 0,55 Fe = 1,62 FRT = 0,13 | TT | 0 | TT | 0 |
| | 60 | 36,00 | 47394849 | | TT | 0 | TT | 0 |
| | 50 | 30,00 | 6012000 | | TT | 0 | TT | 0 |
| | 30 | 18,00 | 44993032 | | TT | 0 | TT | 0 |
| STRG | 113 | 33,90 | 6012000 | Te = 0,81 Fe = 2,22 FRT = 0,19 | TT | 0 | 11.000.000 | 48,6 |
| | 80 | 24,00 | 12024000 | | TT | 0 | TT | 0 |
| | 59,4 | 17,82 | 21840119 | | TT | 0 | TT | 0 |
| | 54,8 | 16,44 | 23152913 | | TT | 0 | TT | 0 |
| STDRG | 217,5 | 32,63 | 5698720 | Te = 0,68 Fe = 2,27 FRT = 0,16 | TT | 0 | 10.000.000 | 50,7 |
| | 187,5 | 28,13 | 13888764 | | TT | 0 | TT | 0 |
| Total | | | | | | 0% | | 99,3% |
| Kontrol | | | | | | 0% < 100% | | 99,3% < 100 % |
| | | | | | | OK! | | OK! |

Tabel 5. 16. Tegangan Ekivalen dan Faktor Erosi untuk Perkerasan dengan Bahan Beton (Tebal Taksiran Beton =260mm)

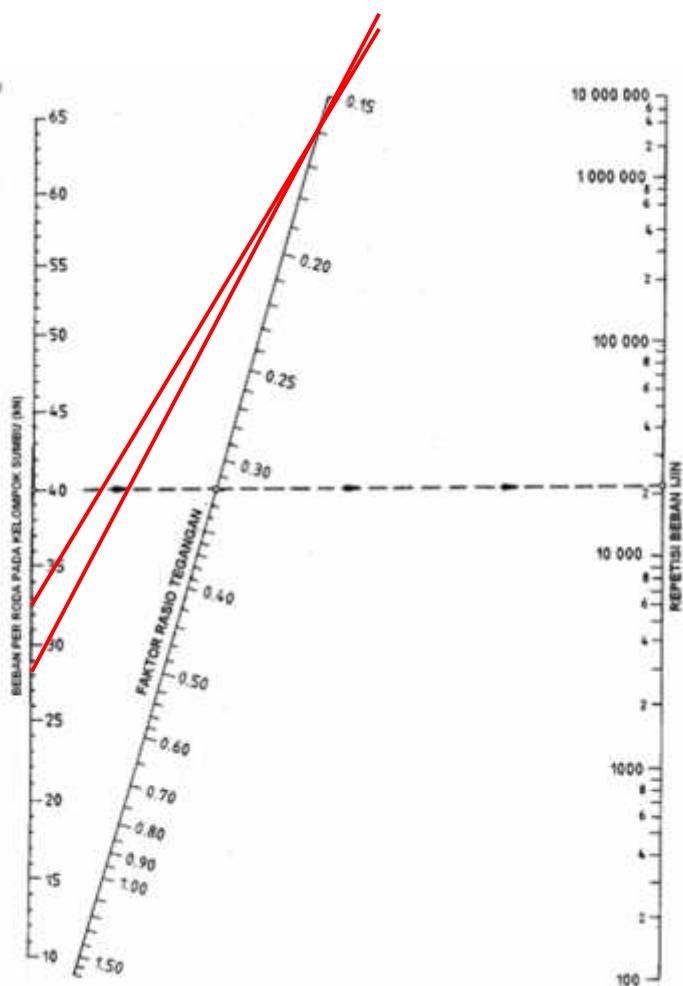
| Tebal Slab (mm) | CBR Eff Tanah Dauer (%) | Tegangan Setara | | | | Faktor Erosi | | | | | | | |
|-----------------|-------------------------|-----------------|------|------|------|--------------|------|------|------|----------------------------|------|------|-------|
| | | | | | | Tanpa Rui | | | | Dengan Rui/Beton Bertulang | | | |
| STRT | STRG | STDRG | STRG | STRT | STRG | STDRG | STRG | STRT | STRG | STDRG | STRG | STRG | STDRG |
| 260 | 51 | 0,61 | 1,04 | 0,83 | 0,71 | 1,72 | 2,33 | 2,53 | 2,61 | 1,49 | 2,09 | 2,29 | 2,42 |
| 260 | 101 | 0,6 | 0,98 | 0,86 | 0,66 | 1,7 | 2,3 | 2,47 | 2,53 | 1,47 | 2,07 | 2,23 | 2,34 |
| 260 | 151 | 0,59 | 0,95 | 0,83 | 0,63 | 1,89 | 2,28 | 2,44 | 2,49 | 1,46 | 2,06 | 2,2 | 2,3 |
| 260 | 201 | 0,58 | 0,94 | 0,81 | 0,62 | 1,88 | 2,28 | 2,42 | 2,46 | 1,45 | 2,05 | 2,18 | 2,25 |
| 260 | 251 | 0,57 | 0,92 | 0,79 | 0,61 | 1,87 | 2,21 | 2,41 | 2,44 | 1,44 | 2,04 | 2,16 | 2,25 |
| 260 | 351 | 0,56 | 0,89 | 0,75 | 0,59 | 1,86 | 2,26 | 2,36 | 2,39 | 1,42 | 2,02 | 2,12 | 2,19 |
| 260 | 501 | 0,56 | 0,85 | 0,71 | 0,56 | 1,64 | 2,24 | 2,32 | 2,35 | 1,41 | 2 | 2,08 | 2,13 |
| 260 | 751 | 0,55 | 0,81 | 0,68 | 0,54 | 1,63 | 2,23 | 2,27 | 2,28 | 1,38 | 1,98 | 2,01 | 2,06 |



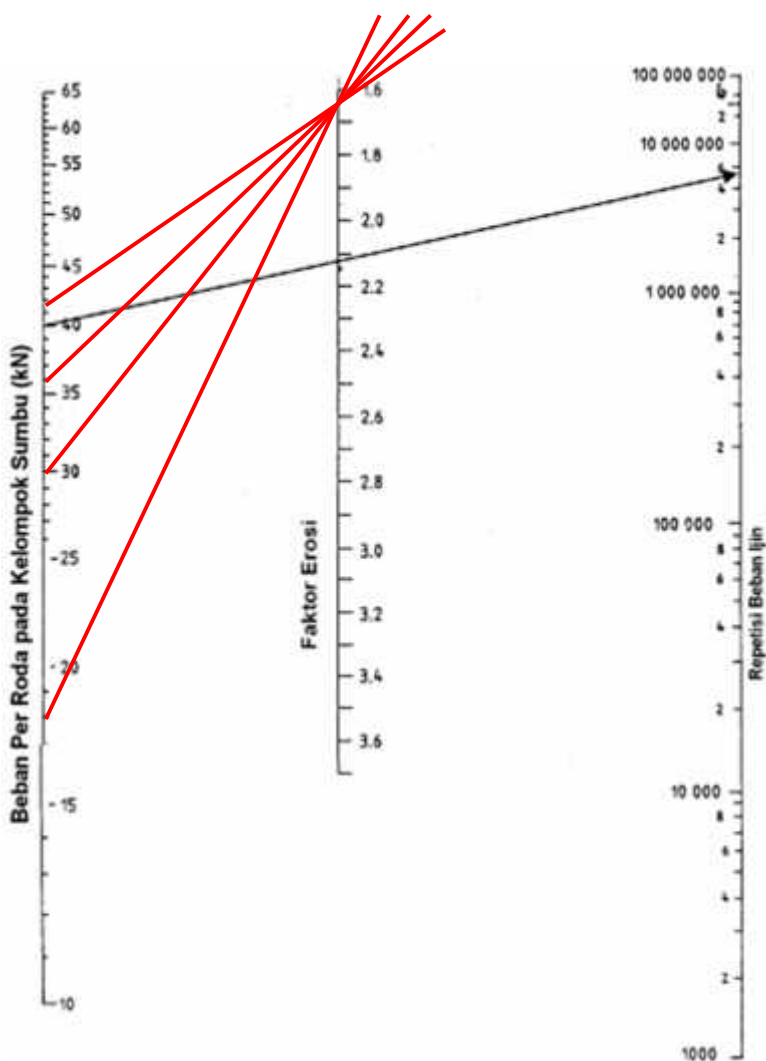
Gambar 5. 13. Analisa Fatik dan Beban Repetisi Ijin STRT Berdasarkan Rasio Tegangan, dengan/ tanpa bahu beton (Tafsiran Beton 260 mm)



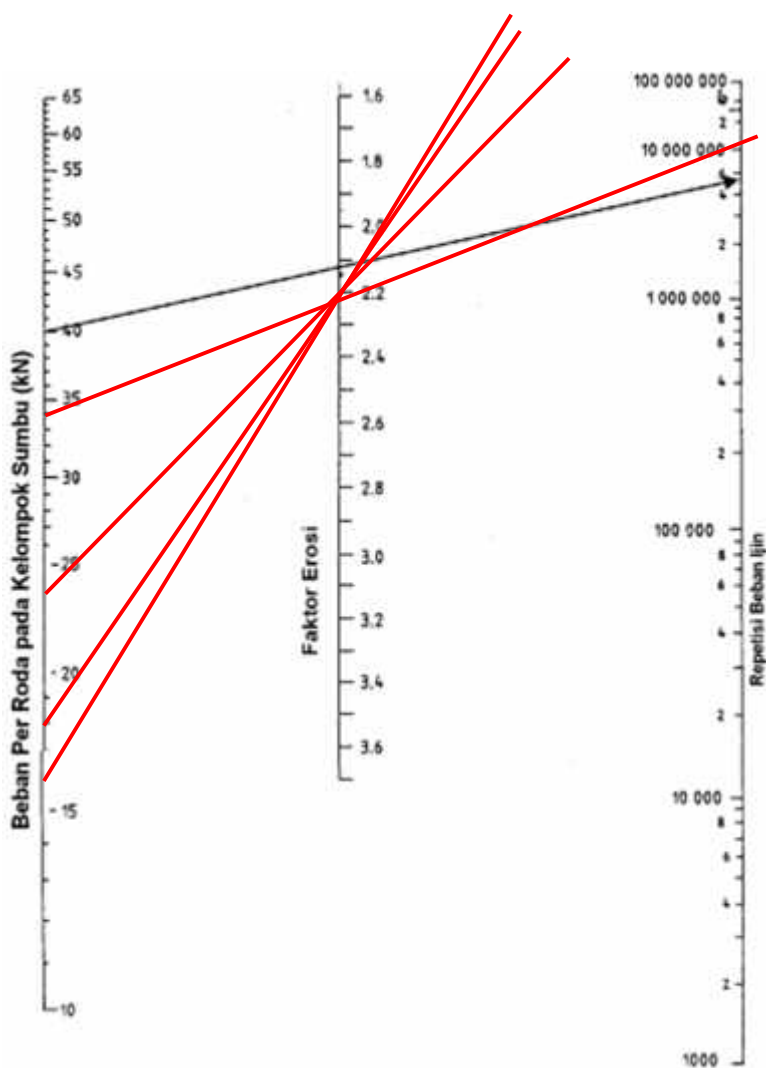
Gambar 5. 14. Analisa Fatik dan Beban Repetisi Ijin STRG Berdasarkan Rasio Tegangan, dengan/ tanpa bahu beton (Tafsiran Beton 260 mm)



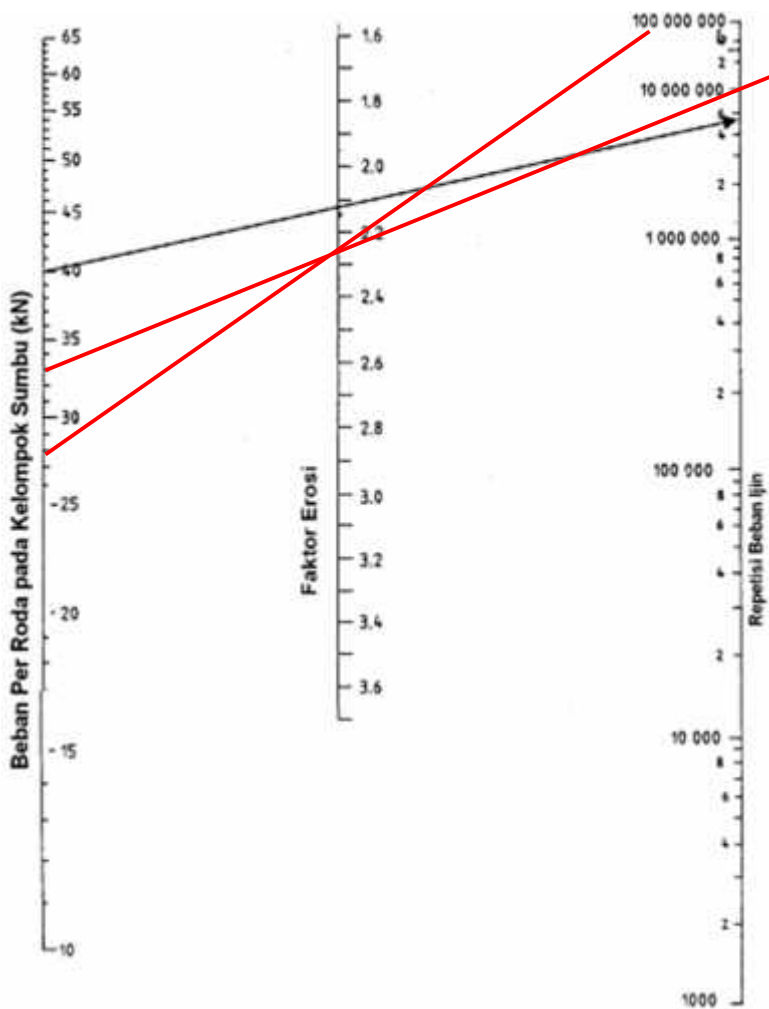
Gambar 5. 15. Analisa Fatik dan Beban Repetisi Ijin STdRG Berdasarkan Rasio Tegangan, dengan/ tanpa bahan beton
(Tafsiran Beton 260 mm)



Gambar 5. 16. Analisa Erosi dan Jumlah Repetisi Ijin STRT Berdasarkan Faktor Erosi, dengan Bahan Beton (Tafsiran Beton 260 mm)



Gambar 5. 17. Analisa Erosi dan Jumlah Repetisi Ijin STRG Berdasarkan Faktor Erosi, dengan Bahu Beton (Tafsiran Beton 260 mm)



Gambar 5. 18. Analisa Erosi dan Jumlah Repetisi Ijin STdRG Berdasarkan Faktor Erosi, dengan Bahu Beton (Tafsiran Beton 260 mm)

e. Kesimpulan Perhitungan

Berdasarkan perhitungan dengan metode Pd-T-14-2003 maka dapat disimpulkan tebal perkerasan yang memenuhi analisa fatik dan erosi ialah **260 mm**. Nilai analisa fatik sebesar **0% < 100 % (OK)** dan analisa erosi **99,3% < 100 %**. Berdasarkan analisa tersebut plat mampu menerima beban hingga akhir umur rencana.

Adapun penjelasan analisa fatik dan erosi sebagai berikut :

- a. **Analisa fatik** (kelelahan) adalah kekuatan perkerasan baton menerima beban berulang dengan terus menerus dan faktor kuat lentur beton sangat berpengaruh pada analisa fatik atau kelelahan beton menerima beban berulang.
- b. **Analisa Erosi** adalah daya dukung tanah dasar untuk menerima lendutan yang ditimbulkan oleh perkerasan beton (plat). CBR tanah menjadi faktor utama untuk mengetahui ketahanan pondasi untuk menerima beban berulang.

5.3.4 Perencanaan Tebal Perkerasan Jalan Beton Metode ASSHTO 1993

Tabel 5. 17. Tabel Perhitungan ASHTO 1993

| Jenis Kendaraan | Gol. Kend | LHR Awal | Beban | | Nilai E | Faktor Distribusi | Faktor Distribusi | 18 |
|---------------------------------------|-----------|----------|-------|-------|---------|-------------------|-------------------|-----------------------------|
| | | Tahun | (Ton) | (Kip) | | Arah | Lajur | |
| A | | b | c | d | e | f | g | $h = b \times e \times 365$ |
| Mobil Penumpang (Gol 2) (1.2) | I | 6891 | 2,0 | 4,4 | 0,0 | 0,5 | 0,7 | 1006,1 |
| Bus Kecil (Gol.5a) (1.2) | | 1783 | 8,3 | 18,3 | 0,2 | 0,5 | 0,7 | 119746,9 |
| Bus Besar (Gol.5b) (1.2) | II | 1682 | 9,0 | 19,8 | 0,3 | 0,5 | 0,7 | 212408,4 |
| Truck 2 As (Gol.6) (1.2H) | | 2580 | 15,5 | 34,1 | 2,6 | 0,5 | 0,7 | 2433642,8 |
| Truck 3As (Gol.7a) (1.2.2) | III | 1070 | 25,0 | 55,1 | 5,2 | 0,5 | 0,7 | 2048012,2 |
| Truck Gand. (Gol.7b) (1.2+2.2) | IV | 463 | 31,4 | 69,2 | 3,8 | 0,5 | 0,7 | 636076,3 |
| Truck S. triller (Gol.7c) (1.2.2+2.2) | V | 219 | 40,1 | 88,4 | 6,2 | 0,5 | 0,7 | 495848,2 |

| Jenis Kendaraan | Faktor Distribusi | Faktor Distribusi | 18 | LHR Akhir | | Wt 18 |
|---------------------------------------|-------------------|-------------------|---|--------------|---------------|---------------------------------------|
| | | | | Umur Rencana | W18 | |
| A | f | g | $h = b \times e \times \frac{365}{365}$ | e | i = f x g x h | $j = i \times ((1+0.06)^{UR-1})/0.06$ |
| Mobil Penumpang (Gol 2) (1.2) | 0,5 | 0,7 | 1006,1 | 39577,1 | 352,1 | 27837,9 |
| Bus Kecil (Gol.5a) (1.2) | 0,5 | 0,7 | 119746,9 | 10240,7 | 41911,4 | 3313439,1 |
| Bus Besar (Gol.5b) (1.2) | 0,5 | 0,7 | 212408,4 | 9660,0 | 74342,9 | 5877418,7 |
| Truck 2 As (Gol.6) (1.2H) | 0,5 | 0,7 | 2433642,8 | 14820,0 | 851775,0 | 67339783,6 |
| Truck 3As (Gol.7a) (1.2.2) | 0,5 | 0,7 | 2048012,2 | 6143,1 | 716804,3 | 56669244,5 |
| Truck Gand. (Gol.7b) (1.2+2.2) | 0,5 | 0,7 | 636076,3 | 2659,1 | 222626,7 | 17600464,0 |
| Truck S. triller (Gol.7c) (1.2.2+2.2) | 0,5 | 0,7 | 495848,2 | 1260,3 | 173546,9 | 13720300,6 |
| | | | Total Lalin ESAL : | | | 164548488,3 |

Kolom a : Jenis Kendaraan

Yaitu penggolongan kendaraan berdasarkan sumbu as

Kolom b : LHR awal tahun Rencana

Yaitu proyeksi kendaraan sampai awal tahun rencana yaitu pada tahun 2018

Kolom c : Beban Kendaraan

Besarnya beban kendaraan tergantung dari jenis kendaraan tersebut. (1 ton = 0,454 kip)

Kolom d : Nilai ekivalen (E)

Besarnya angka ekivalen (E) untuk masing-masing golongan beban gandar sumbu kendaraan ditentukan berdasarkan lampiran I. sedangkan hasil perhitungan angka ekivalen untuk masing masing presentase beban setiap jenis kendaraan dapat dilihat di tabel 5.8

Kolom e : faktor Distribusi Lajur (D_L)

Diketahui bahwa jalan tol Mojokerto – Kertosono direncanakan memiliki 3 jumlah lajur disetiap arahnya maka berdasarkan tabel 2.47 didapat nilai D_L sebesar 70%

Kolom f : Faktor Distribusi Arah (D_D)

$$D_D = 0,3 - 0,7$$

Umumnya diambil 0,5

Kolom g :**Beban Gandar standar kumpulatif untuk 2 arah (18)**

Setelah mendapatkan angka ekivalen masing masing kendaraan, maka langkah selanjutnya adalah mencari Beban Gandar standar kumpulatif untuk dapat menghitung lalu lintas lajur rencana per tahun.

$$^{18} = LHR \times E \times 365$$

Contoh perhitungan Mobil penumpang (1.2)

$$^{18} = LHR \times E \times 365$$

$$= 6891 \times 0,0008 \times 365$$

$$= 2012.172$$

Kolom h :**Lalu lintas pada lajur rencana selama setahun (W_{18})**

$$W_{18} = D_D \times D_L \times 18$$

Contoh perhitungan Mobil penumpang (1.2)

$$\begin{aligned} W_{18} &= D_D \times D_L \times \\ &= 0,5 \times 0,70 \times 2012.172 \\ &= 704.260 \end{aligned}$$

Kolom i :

Jumlah Beban Gandar Tunggal Standar Kumulatif (Wt)

$$W_t = W_1 \times \frac{(1+g)^n - 1}{g}$$

Contoh perhitungan Mobil penumpang (1.2)

$$\begin{aligned} W_t &= W_1 \times \frac{(1+g)^n - 1}{g} \\ &= 704.260 \times \frac{(1+0,0)^3 - 1}{0,0} \\ &= 55677.534 \end{aligned}$$

a. Parameter Desain

1. Analysis Period/ Umur Rencana

Umur rencana rigid Pavement untuk Proyek Jalan Tol Mojokerto- Kertosono Seksi II direncanakan 30 tahun.

2. Reability

a. Tingkat Reability (R)

Proyek Jalan Tol Mojokerto-Kertosono termasuk klasifikasi jalan tol antar kota (Free ways Rural) sehingga nilai reabilitas berkisar 85%-99.9% diambil nilai R sebesar 90%. (**tabel 2.48**)

b. Standar Normal Deviation (Z_R)

Dengan nilai R sebesar 90% maka nilai Standar Normal Deviation (Z_R) adalah -1.282 (**Tabel 2.49**)

c. Satandar Deviation (S_O)

Parameter nilai standar deviation untuk rigid pavement sebesar 0,3-0,4 diambil S_O sebesar 0,35.

3. Angka Ekivalen

Menghitung Nilai Ekivalen (E)

Untuk mencari ketebalan menggunakan cara AASHTO maka perlu mencari angka ekivalen (E) untuk masing masing beban kendaraan.

Tabel 5. 18. Jenis-Jenis Kendaraan

| No | Jenis Kendaraan | Golongan Kendaraan | Beban | |
|----|----------------------------|--------------------|-------|-------|
| | | | Ton | Kip |
| 1 | Mobil Penumpang (1.2) | I | 2 | 4,41 |
| 2 | Bus Kecil (1.2) | | 8,3 | 18,28 |
| 3 | Bus Besar (1.2) | II | 9 | 19,82 |
| 4 | Truck 2 As (1.2H) | | 15,5 | 34,14 |
| 5 | Truck 3 As (1.2.2) | III | 25 | 55,07 |
| 6 | Truck Gandeng (1.2+2.2) | IV | 31,4 | 69,16 |
| 7 | Truck S. Triller (1.2+2.2) | V | 40,13 | 88,39 |

Sumber : Laporan Analisa Lalu-lintas Jalan Tol Mojokerto-Kertosono

Angka ekivalen (E) masing – masing golongan beban gandar sumbu setiap kendaraaan ditentukan menggunakan tabel pada lampiran I. Untuk presentase beban setiap jenis kendaraan menggunakan peraturan Bina Marga, presentase beban setiap jenis kendaraan.

Dengan memperhitungkan nilai $P_t = 2,5$ dan diasumsikan tebal plat 30 cm maka didapatkan harga angka ekivalen (E) dengan cara interpolasi.

Tabel 5. 19. Angka Ekivalen Sumbu Tunggal Untuk Perkerasan

| Beban | | Nilai E | |
|-------|--------|-------------------|---|
| Ton | Kip | Hasil Interpolasi | |
| 1,00 | 2,203 | 0,0004 | Dari Tabel pt = 2,5 dan $D = 11,82$ inci (30 cm) |
| 2,822 | 6,216 | 0,0124 | |
| 3,06 | 6,740 | 0,0181 | |
| 5,151 | 11,346 | 0,1433 | |
| 5,478 | 12,066 | 0,1784 | |
| 5,652 | 12,499 | 0,2096 | |
| 5,899 | 12,994 | 0,2540 | |
| 5,94 | 13,084 | 0,2613 | |
| 6,25 | 13,767 | 0,3170 | |
| 8,478 | 18,674 | 1,1989 | |
| 8,792 | 19,366 | 1,4029 | |
| 9,999 | 22,024 | 2,4237 | |

Sumber : Hasil Perhitungan

Tabel 5. 20. Angka Ekivalen Sumbu Tandem Untuk Perkerasan Kaku

| Beban | | Nilai E | |
|--------|--------|-------------------|--|
| Ton | Kip | Hasil Interpolasi | |
| 6,822 | 15,027 | 0,0639 | Pt = 2,5 dan D = 11,82 inci (30 cm) |
| 7,223 | 15,911 | 0,0785 | |
| 18,75 | 41,3 | 4.6173 | |
| 19,985 | 44,019 | 6.0824 | |

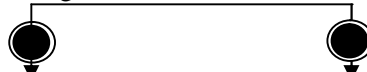
Sumber : Hasil Perhitungan

Dari tabel – tabel hasil interpolasi diatas maka didapatkan angka ekivalen kendaraan yang dihitung seperti di bawah ini:

a. Mobil Penumpang (1.2)

Muatan Maksimal = 2000 Kg = 2 ton

Total 2 Ton dengan distribusi beban sumbu sebagai berikut :



1ton

2 ton (1+1)

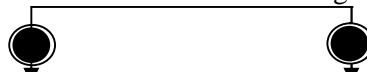
1 ton

$$= 0,0004 + 0,0004$$

$$= 0,0008$$

b. Bus Kecil (1.2)

Muatan Maksimal = 8300 kg = 8,3 Ton



2,822 ton

8,3 ton (2,822+5,478)

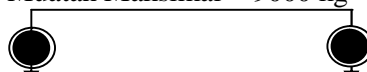
5,478 ton

$$= 0,0124 + 0,1784$$

$$= 0,1908$$

c. Bus Besar (1.2)

Muatan Maksimal = 9000 kg = 9 ton



3,06 ton

9 ton (3,06+5,94)

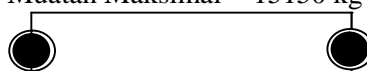
5,94 ton

$$= 0,0181 + 0,2613$$

$$= 0,2795$$

d. Truck 2 As (1.2H)

Muatan Maksimal = 15150 kg = 15,15 ton



5,151 ton

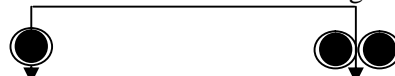
15,15 ton (5,151+9,999) = 0,1433 + 2,4237

9,999 ton

$$= 2,5669$$

e. Truck 3As (1.2.2)

$$\text{Muatan Maksimal} = 25000 \text{ kg} = 25 \text{ ton}$$



$$6,25 \text{ ton}$$

$$25 \text{ ton } (6,25+18,75)$$

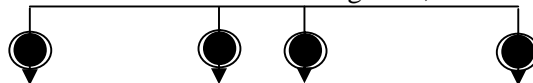
$$18,75 \text{ ton}$$

$$= 0,3170 + 4.6173$$

$$= 4.9343$$

f. Truck Gandeng (1.2+2.2)

$$\text{Muatan Maksimal} = 31400 \text{ kg} = 31,4 \text{ ton}$$



$$5,652 \text{ ton}$$

$$8,792 \text{ ton}$$

$$8,478 \text{ ton}$$

$$8,478 \text{ ton}$$

$$31,4 (5,652+8,792+8,478+8,478) = 0,2096 + 1,4029 + \\ 1,1989 + 1,1989 + 0,0785$$

$$= 4.0101$$

g. Truck Semi Triller (1.2.2+2.2)

$$\text{Muatan Maksimal} = 40130 \text{ kg} = 40,13 \text{ ton}$$



$$5,899 \text{ ton}$$

$$19,985 \text{ ton}$$

$$6,822 \text{ ton}$$

$$7,223 \text{ ton}$$

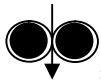
$$40,13 \text{ ton } (5,899+19,985+6,822+7,223) = 0,2540 + \\ 6.0824 + 0,0639 + 0.0785$$

$$= 6.4793$$

Keterangan :



= Sumbu Tunggal



= Sumbu Tandem

Tabel 5. 21. Rekapitulasi Nilai Angka Ekivalen (E)

| No | Jenis Kendaraan | Nilai E |
|----|-----------------------|---------|
| 1 | Mobil Penumpang (1.2) | 0.0008 |
| 2 | Bus Kecil (1.2) | 0.1908 |

| No | Jenis Kendaraan | Nilai E |
|----|-----------------------------|---------|
| 3 | Bus Besar (1.2) | 0.2795 |
| 4 | Truck 2 As (1.2H) | 2.5669 |
| 5 | Truck 3 As (1.2.2) | 4.9343 |
| 6 | Truck Gandeng (1.2+2.2) | 4.0101 |
| 7 | Truck S.Triller (1.2.2+2.2) | 6.4793 |

Sumber : Hasil Perhitungan

4. Serviceability

- a. Tingkat pelayanan awal /Initial Serviceability (P_o)
Nilai Tingkat pelayanan awal (P_o) untuk perkerasan kaku yang direkomendasikan oleh AASHTO road Test adalah 4,5.
- b. Tingkat pelayanan akhir /Terminal Serviceability (P_t).
Terminal Serviceability Index untuk Jalan utama untuk jalan tol (Major Highways) sebesar 2,5

- c. Total loss of serviceability (PSI)
Total loss of serviceability PSI dapat dihitung dengan menggunakan persamaan sebagai berikut:

$$\begin{aligned} \text{PSI} &= P_o - P_t \\ &= 4,5 - 2,5 \\ &= 2 \end{aligned}$$

5. Modulus Reaksi Tanah Dasar (MR)

Dengan nilai CBR sebesar 46% maka nilai k dapat ditentukan sebesar 463 psi/in menggunakan grafik hubungan antara k dengan CBR.

6. Modulus Elastisitas Beton

Dengan kuat tekan beton (f'_c) sebesar 33,2 Mpa = 4815 psi

(1 Mpa = 0,006895 psi) maka dapat dihitung nilai E_c menggunakan persamaan :

$$\begin{aligned} E_c &= 57.000 \frac{f'_c}{4815} \\ &= 57.000 \frac{33,2}{4815} \end{aligned}$$

$$= 3955345 \text{ psi}$$

7. Flexural Strength (Sc')

Flexual strength di Indonesia umumnya digunakan $Sc' = 45 \text{ kg/cm}^2 = 640 \text{ psi}$ (untuk pelat beton).

8. Load Transfer Coefficient (J)

Nilai parameter load transfer coeficient (J) untuk perkerasan kaku dengan dowel sebesar 2,5-3,1. Mak diambil nilai J sebesar 2,55

9. Drainage Coefficient (C_d)

Besarnya drainage coefficient disini dinilai dari kualitas drainase tersebut serta faktor kemiringan dari kondisi drainasse. Pada Proyek Perencanaan jalan tol Mojokerto – Kertosono ini diasumsikan kondisi sistem drainase baik dan direncanakan kemiringan dari kondisi drainase sebesar 1%-5%.

Maka diambil nilai drainage coefficient sebesar 1,15 (Tabel 2.56)

Tabel 5. 22. Rekapitulasi Parameter desain

| No | Parameter | Parameter Desain |
|----|---|------------------|
| 1 | Umur rencana | 30 Tahun |
| 2 | Gandar Tunggal Standar Kumulatif ($W_{t_{18}}$) | 164548488,3 buah |
| 3 | Tingkat Reability (R) | 90% |
| 4 | Standar Normal Deviation (Z_R) | -1,282 |
| 3 | Satandar Deviation (S_O) | 0,35 |
| 4 | Initial Serviceability (P_o) | 4,5 |
| 5 | Terminal Serviceability (P_t) | 2,5 |
| 6 | Total Loss of serviability | 2 |

| No | Parameter | Parameter Desain |
|----|-------------------------------------|------------------|
| | ($\text{PSI} = P_o - P_t$) | |
| 7 | CBR | 46% |
| 8 | Modulus Reaksi Tanah Dasar (k) | 463 psi |
| 9 | Kuat Tekan Beton (f_c') | 4815 psi |
| 10 | Modulus elastisitas beton (E_C) | 3955345 psi |
| 11 | Fleural Strength (S_c') | 640 psi |
| 13 | Load Transfer Coefficient (J) | 2,55 |
| 14 | Drainage Coefficient (C_d) | 1,15 |

Sumber : Hasil Perhitungan

10. Perhitungan tebal Plat Beton

Setelah semua parameter diketahui maka akan dapat menghitung tebal perkerasan. Rumus yang digunakan adalah sebagai berikut :

$$\log \frac{\text{PSI}}{W_{02}} = Z_0 \times S_a + 7,35 \times \log(D+1) - 0,05 + \frac{\log(\frac{A_p S_k}{4,5 - 1,5})}{1 + \frac{1,624 \times 10^3}{(D+1)^{0,96}}} + (4,22 - 0,32 \times P_t) \times \log \left(\frac{S_c' \times C_d (D^{0,72} - 1,132)}{215,68 \times \left[\frac{0,475}{\frac{E_C}{K}} \right]^{0,2}} \right)$$

$$4216 = 0,05 \times 0,68 + 7,35 \times \log(1,08) - 0,05 + \frac{\log(\frac{1}{4,5 - 1,5})}{1 + \frac{1,624 \times 10^3}{(1,08+1)^{0,96}}} + (4,22 - 0,32 \times 0,1) \times \log \left(\frac{640 \times 1,15 (1,08^{0,72} - 1,132)}{215,68 \times \left[\frac{0,475}{\frac{3955345}{463}} \right]^{0,2}} \right)$$

Tabel 5. 23. Rekapitulasi Perencanaan Plat beton dengan Metode AASHTO 1993

| Tebal Plat Beton (cm) | Tebal Plat Beton (inci) | Beban Gandar Kumulatif | Tebal plat | Cek Keamanan |
|-----------------------|-------------------------|------------------------|------------|--------------|
| 28 | 11,03 | 8,208 | 8,110 | Tidak Aman |
| 30 | 11,82 | 8,208 | 8,291 | Aman |
| 32 | 12,61 | 8,208 | 8,462 | Aman |

Sumber : Hasil Perhitungan

- ✓ Maka dapat disimpulkan dari hasil diatas bahwa
 $8,216 < 2,291 = \text{Aman}$
- ✓ Maka dapat direncanakan dengan **tebal plat 30 cm.**

5.4 Perbandingna Perencanaan Perkerasan Jalan Beton antara Metode SNI Pd-T-14-2003 dan ASSHTO 1993

Perencanaan jalan beton memiliki beberapa cara penghitungan untuk menentukan plat beton yang akan digunakan. Pada tugas ini, analisa perencanaan perkerasan jalan beton dengan metode ASSHTO 1993 dan SNI Pd-T-14-2003. Berdasarkan penghitungan yang telah dilakukan, berikut analisa perbedaan dari kedua metode tersebut :

Tabel 5. 24. Perbandingan Perencanaan Perkerasan Jalan Beton Antar Metode ASSHTO 1993 dan SNI Pd-T-14-2003

| Metode ASSHTO 1993 | Metode Pd-T-14-2003 |
|--|---------------------|
| Berdasarkan Data-Data yang Dibutuhkan | |

| Metode ASSHTO 1993 | Metode Pd-T-14-2003 |
|--|---|
| <ol style="list-style-type: none"> 1. Membutuhkan CBR Tanah Dasar. 2. Membutuhkan Modulus Elastisitas Beton | <ol style="list-style-type: none"> 1. Membutuhkan CBR Tanah Dasar Effektif. 2. Membutuhkan Kuat Tarik Lentur Beton. |
| Berdasarkan Hitungan Lalu Lintas Rencana Jika Dilakukan Penjabaran Sebagai Berikut | |
| <ol style="list-style-type: none"> 1. $D_d \times D_L \times LHR \times e \times 365 \times \frac{(1+g)^n - 1}{g}$ 2. Berdasarkan rumus empiris diatas, metode ini faktor lajur, arah dan ekivalensi sumbu memiliki nilai yang berbeda pada setiap kategorinya. | <ol style="list-style-type: none"> 1. $LHR \times \text{Jumlah Sumbu} \times 365 \times \frac{(1+t)^n - 1}{t} \times C$ 2. Berdasarkan rumus empiris di atas, metode ini faktor lajur, arah dan jumlah sumbu mempunyai satu nilai. |
| Berdarkan Spesifikasi Jenis Kendaraan | |
| Medode ini tidak memperhatikan jenis kendaraan saat penghitungan tebal perkerasan akan tetapi memiliki satu nilai sebagai nilai kumulatif dari jenis jenis kendaraan tersebut, nilai tersebut ialah ESAL | Medode ini memiliki spesifikasi jenis kendaraan saat penghitungan tebal perkerasan yaitu STRT, STRG, STdRG . Dan dilakukan analisa setiap jenis kendaraan tersebut. |
| Berdasarkan Parameter Desain Tebal Perkerasan | |
| Metode ini mempunya | Metode ini parameter desain |

| Metode ASSHTO 1993 | Metode Pd-T-14-2003 |
|---|---|
| beberapa parameter desain untuk menghitung tebal perkerasan yaitu : Reability dan Serviceability | dalam penghitungan tebal perkerasan jalan yaitu CBR Tanah Effektif. |
| Berdasarkan Tingkat Kepercayaan Perencanaan | |
| Menggunakan Tingkat Reabilitas (%) | Menggunakan F_{KB} (Faktor Keamanan Beban) |
| Berdasarkan Analisa Penerimaan Desain | |
| Dalam analisa penerimaan desain pada metode ini yaitu Log W₁₈ Hasil pehitungan | Dalam analisa penerimaan desain pada metode ini memiliki 2 analisa yaitu : <ol style="list-style-type: none"> Analisa Fatik Analisa fatik adalah analisa kekuatan/kelenturan plat beton dalam menerima beban repetisi dari kendaraan dari awal tahun rencana hingga akhir umur rencana Analisa Erosi Analisa erosi adalah proses analisa ausan/durability dari plat beton dalam menerima beban repetisi dari awal tahun rencana hingga akhir umur rencana |
| Berdasarkan Fator Kondisi Drainase | |
| Diperhitungkan, disimbolkan pada C_d (Coefficient Drainage) | Tidak diperhitungkan |

| Metode ASSHTO 1993 | Metode Pd-T-14-2003 |
|---|--|
| Berdasarkan Penggunaan Cbr Tanah Untuk Penghitungan Tebal Perkerasan | |
| Nilai CBR Tanah digunakan sebagai indikator menentukan nilai K (modulus reaksi tanah dasar) | CBR Tanah sebagai indikator menentukan nilai tegangan ekivalensi dan faktor erosi. |
| <p><u>KESIMPULAN :</u></p> <p>Berdasarkan analisa diatas, metode AASTHO1993 dalam penghitungannya menggunakan nilai kumulatif sehingga memperoleh tebal perkerasan. Sedangkan SNI Pd-T-14-2003 dalam penghitungannya menganalisa setiap jenis kendaraan dan dikumulatifkan sebagai syarat penerimaan desain.</p> | |

5.5 Perencanaan Sambungan Perkerasan

Setelah mendapatkan dimensi plat beton, selanjutnya dapat dihitung sambungan dan tulangan perkerasan beton bersambung dengan tulangan dengan dimensi plat beton :

- J Jenis Perkerasan : Beton bersambung Tanpa Tulangan (BBTT)
- J Tebal Plat : 29 cm
- J Lebar Plat : $(3 \times 3.6 \text{ m}) + 3 \text{ m}$
- J Panjang Plat : 4.5 m

5.5.1 Sambungan Susut Melintang (*Construction Joint*)

Sambungan melintang beton bersambung tanpa tulang (BBTT) dipasang setiap 4,5 m menggunakan ruji. Diameter ruji didapat dari tabel 2.33 Untuk tebal plat 29 cm didapat ukuran dan jarak ruji sebagai berikut :

- J Diamater Dowel (Rugi) : 36 mm (Polos)
- J Panjang Dowel (Rugi) : 450 mm
- J Jarak Dowel (Rugi) : 300 mm

5.5.2 Sambungan Memanjang Menggunakan Batang Pengikat *Tie Bar (Construction Joint)*

Pemasangan sambungan memanjang ditunjukkan untuk mengendalikan terjadinya retak memanjang. Perhitungan sambungan memanjang adalah sebagai berikut :

$$At = 204 \times h \times b$$

Dimana

- A_t = Luas penampang tulangan per meter panjang sambungan (mm^2/m)
- h = Tebal plat (m)
- b = Jarak terkecil antar sambungan atau jarak sambungan dengan tepi perkerasan (m)

Maka

$$\begin{aligned} A_t &= 204 \times b \times h \\ &= 204 \times 3,6 \text{ m} \times 0,29 \text{ m} \\ &= 212,98 \text{ mm}^2/\text{m} \end{aligned}$$

Dicoba diameter Tiebar dengan :

$$\begin{aligned} \text{Diameter Tiebar} &: 16 \text{ mm} \\ \text{Jarak Tiebar} &: 750 \text{ mm} \end{aligned}$$

$$\begin{aligned} A &= \frac{\frac{1}{4} \times \pi \times \frac{1}{4} \times 1}{750} \\ &= \frac{\frac{1}{4} \times \pi \times 1 \times 1}{750} \end{aligned}$$

$$\begin{aligned} &= 268,083 \text{ mm}^2/\text{m} \\ A > At &= 268,083 \text{ mm}^2/\text{m} > 212,98 \text{ mm}^2/\text{m} \end{aligned}$$

Maka

Digunakan diameter tiebar D-16 mm dengan jarak 75 cm

$$1 = (38,3 \times) + 75$$

Dimana :

$$1 = \text{Panjang batang pengikat /tiebar (mm)}$$

Maka

$$\begin{aligned} 1 &= (38,3 \times) + 75 \\ 1 &= (38,3 \times 16) + 75 \\ &= 687,8 \text{ mm} \end{aligned}$$

= 68,78 cm diambil panjang 70 cm

Kesimpulan dari sambungan pelaksanaan memanjang. Dipasang tulangan baja ulir D-16 mm BJTU-24 dengan panjang 70 cm dan jarak 75 cm.

5.6 Perencanaan Saluran Tepi dan Tengah (*Drainase*)

Perencanaan saluran tepi dan tengah di jalan tol ruas Mojokerto- Kertosono didasarkan pada data curah hujan 10 tahun mulai dari tahun 2003-2012 pada stadion Gedeg Mojokerto.

Dari tabel 4.5 maka akan didapat S_x (Standar Deviasi) sesuai persamaan 2.59 Besar curah hujan untuk periode ulang T sesuai persamaan dengan hasil dibawah ini.

$$\begin{aligned} S_x &= \sqrt{\frac{(x - \bar{x})^2}{n}} \\ &= \sqrt{\frac{1,5}{10}} \\ &= 13,5 \end{aligned}$$

Periode ulang T tahun untuk saluran tepi direncanakan 5 tahun dengan jumlah data curah hujan sebanyak 10 tahun (10 data) maka dapat :

$$\begin{aligned} Y_T &= 1,4999 \text{ (didapat dari tabel 2.57)} \\ Y_n &= 0,5126 \text{ (didapat dari tabel 2.58)} \\ S_n &= 1,0206 \text{ (didapat dari tabel 2.59)} \\ X_T &= X + \frac{S_x}{S} (Y_T - Y_n) \\ &= 88,5 + \frac{1,5}{1,0} (1,4999 - 0,5126) \\ &= 101,560 \text{ mm/jam} \\ I &= \frac{9\%}{4} \frac{x}{(1,5)} \\ &= \frac{9\%}{4} (1,5) \\ &= 22,851 \text{ mm/jam} \end{aligned}$$

5.6.1 Perencanaan Saluran Tepi

Penentuan arah aliran ditentukan sesuai dengan kelandaian jalan yang ada serta titik pembuangan air. Data-data perencanaan sebagai berikut :

Tabel 5. 25. Data Perencanaan Saluran Tepi

| No | Bagian | Kode | Keterangan | nd | s | C | V ijin (m/s) | Koef. Mannin g(n) |
|----|-------------|------|----------------------|-----------|----------|----------|-----------------|-------------------------|
| 1 | Bahu dalam | 1 | Beton | 0,0 13 | 0,0 2 | 0,7 | 1,5 | 0,020 |
| 2 | Badan jalan | 2 | Beton | 0,0 13 | 0,0 2 | 0,7 | 1,5 | 0,020 |
| 3 | Bahu luar | 3 | Aspal | 0,0 13 | 0,0 4 | 0,7 | 1,5 | 0,020 |
| 4 | Timbunan | 4 | Tanah kasar berumput | 0,2 | 0,5 | 0,2 | 1,5 | 0,020 |
| 5 | Area luar | 5 | Ladang/persawahan | 0,4 | 0,0 6 | 0,4 5 | 1,5 | 0,020 |

Sumber : Perhitungan

Dibawah ini adalah langkah – langkah yang harus dilakukan ketika melakukan perencanaan dimensi saluran tepi :

Catatan :

-]) Kode (a) = saluran tepi (drainase) sebelah kiri
-]) Kode (b) = Saluran tepi (drainase) sebelah kanan

Perhitungan Saluran Tepi Pada STA 8+000 - 8+396 (Sebelah Kanan)

a. Menentukan Waktu Kosentrasi (t_C)

Waktu kosentrasi merupakan waktu paling jauh yang dibutuhkan air untuk mencapai saluran drainase (inlettime) dari titik terjauh yang terletak didaerah pengaliran.

-]) Daerah Pengaliran
- Daerah pengaliran merupakan daerah yang dialiri oleh air sebelum masuk ke saluran drainase
- $L_1 = 1,5 \text{ m}$ (bahu dalam jalan)

$$\begin{aligned} L_2 &= 10,8 \text{ m} && (\text{perkerasan jalan}) \\ L_3 &= 3 \text{ m} && (\text{bau luar jalan}) \\ L_4 &= 6,56 \text{ m} && (\text{daerah timbunan}) \end{aligned}$$

) Hubungan kondisi permukaan dengan kondisi hambatan (nd)

Berdasarkan tabel 2.60, maka dapat ditentukan nilai nd sebagai berikut :

$$\begin{aligned} \text{nd bau dalam} &= 0,013 \text{ (jalan beton)} \\ \text{nd badan jalan} &= 0,013 \text{ (jalan beton)} \\ \text{nd bau luar} &= 0,013 \text{ (jalan aspal)} \\ \text{nd timbunan} &= 0,20 \text{ (tanah kasar berumput)} \\ \text{nd area luar} &= 0,40 \text{ (ladang dan perumahan)} \end{aligned}$$

) kemiringan daerah pengaliran (s)

$$\begin{aligned} \text{Bau dalam} &= 2\% \\ \text{Badan jalan} &= 2\% \\ \text{Bau luar} &= 4\% \\ \text{Timbunan} &= 50\% \\ \text{Area luar} &= 6\% \end{aligned}$$

) kecepatan aliran yang diijinkan

berdasarkan jenis materialnya yaitu pasangan batu kali, maka dapat dilihat pada tabel 2.61 kecepatan yang diijinkan adalah **0,6 m/detik – 1,8 m/detik**.

) Tahapan perhitungan tc adalah sebagai berikut
Penentuan inlet time (t1)

$$\begin{aligned} t_{\text{bau dalam}} &= \left(\frac{\frac{L}{3} \times 3,28 \times L_U \times \frac{n}{s}}{U_1} \right)^{U_1} \\ &= \left(\frac{\frac{2}{3} \times 3,28 \times 1,5 \times \frac{0,0}{0,0}}{0,1} \right)^{0,1} \\ &= 0,82 \text{ menit} \end{aligned}$$

$$\begin{aligned} t_{\text{badan jalan}} &= \left(\frac{\frac{L}{3} \times 3,28 \times 10,8 \times \frac{n}{s}}{U_1} \right)^{U_1} \\ &= \left(\frac{\frac{2}{3} \times 3,28 \times L_U \times \frac{0,0}{0,0}}{0,1} \right)^{0,1} \\ &= 1,14 \text{ menit} \end{aligned}$$

$$\begin{aligned}
 T \text{ bahu luar} &= \left(\frac{\frac{2}{3}}{3} \times 3,28 \times L_U \times \frac{n}{s} \right)^{U,1} \\
 &= \left(\frac{\frac{2}{3}}{3} \times 3,28 \times 3 \times \frac{1,0}{1,0} \right)^{U,1} \\
 &= 0,87 \text{ menit} \\
 T \text{ timbunan} &= \left(\frac{\frac{2}{3}}{3} \times 3,28 \times L_U \times \frac{n}{s} \right)^{U,1} \\
 &= \left(\frac{\frac{2}{3}}{3} \times 3,28 \times L_U \times \frac{1,2}{1,5} \right)^{U,1} \\
 &= 1,26 \text{ menit} \\
 T \text{ area luar} &= \left(\frac{\frac{2}{3}}{3} \times 3,28 \times L_U \times \frac{n}{s} \right)^{U,1} \\
 &= \left(\frac{\frac{2}{3}}{3} \times 3,28 \times 10 \times \frac{1,4}{0,0} \right)^{U,1} \\
 &= 1,82 \text{ menit}
 \end{aligned}$$

$$\begin{aligned}
 \text{Jumlah tt} &= 0,82 + 1,1 + 0,87 + 1,26 + 1,82 \\
 &= \mathbf{5,90 \text{ menit}}
 \end{aligned}$$

) Penentuan flow time (t2)

$$\begin{aligned}
 t2 &= \frac{1}{\frac{6}{5}} \times V \\
 &= \frac{3}{5} \times 1,5 \\
 &= \mathbf{4,40 \text{ menit}}
 \end{aligned}$$

) Waktu kosentrasi

$$\begin{aligned}
 t_c &= t_1 + t_2 \\
 &= 5,90 + 4,40 \\
 &= \mathbf{10,30 \text{ menit}}
 \end{aligned}$$

b. Menetukan intensitas hujan (I)

Dari hasil t_c dalam satuan menit yang diplotkan pada kurva basis maka didapatkan nilai I rencana sebesar 160 mm/jam

c. Menentukan luas daerah pengaliran (A)

$$\begin{aligned}
 A_1 \text{ (bahu dalam)} &= 1,5 \text{ m} \times 396 \text{ m} \\
 &= 594 \text{ m}^2
 \end{aligned}$$

$$\begin{aligned}
 A_2 \text{ (perkerasan)} &= 10,8 \text{ m} \times 396 \text{ m} \\
 &= 4276,8 \text{ m}^2
 \end{aligned}$$

$$A_3 \text{ (bahu luar)} = 3 \text{ m} \times 396 \text{ m}$$

$$\begin{array}{ll}
 & = 1188 \text{ m}^2 \\
 A_4 \text{ (timbunan)} & = 6,56 \text{ m} \times 396\text{m} \\
 & = 2506,08 \text{ m}^2 \\
 A_5 \text{ (area luar)} & = 100 \text{ m} \times 396 \text{ m} \\
 & = 3960 \text{ m}^2 \\
 \text{Total A} & = \mathbf{48165,5 \text{ m}^2}
 \end{array}$$

d. Menentukan Koefisien Pengaliran (C)

Berdasarkan tabel 2.62 hubungan antara kondisi permukaan tanah dan koefisien pengaliran, maka didapat :

$$\begin{array}{ll}
 C_1 \text{ (bahu dalam)} & = 0,7 \\
 C_2 \text{(perkerasan)} & = 0,7 \\
 C_3 \text{ (bahu luar)} & = 0,7 \\
 C_4 \text{ (timbunan)} & = 0,2 \\
 C_5 \text{ (area luar)} & = 0,4
 \end{array}$$

Perhitungan C_{gabungan} :

$$C = \frac{(0,7 \times 5) + (0,7 \times 4) + (0,7 \times 1) + (0,2 \times 2) + (0,4 \times 3)}{5 + 4 + 1 + 2 + 3} = \mathbf{0,427}$$

e. Menentukan debit air (Q)

$$A = 12524,88 \text{ m}^2 = 0,0125 \text{ km}^2$$

$$I = 160 \text{ mm/jam}$$

$$C = 0,505$$

$$\begin{aligned}
 Q &= \frac{1}{3,6} \times C \times I \times A \\
 &= \frac{1}{3,6} \times 0,427 \times 160 \times 0,0482 \\
 &= \mathbf{0,915 \text{ m}^3/\text{detik}}
 \end{aligned}$$

f. Menetukan Kemiringan saluran (i)

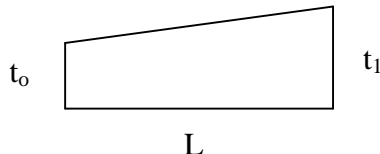
Untuk mengetahui arah aliran air pada saluran maka harus ditentukan kemiringan saluran. Kemiringan saluran ditentukan oleh persentase dari perbandingan antara tinggi elevasi dengan panjang saluran.

J) Kemiringan Lapangan menggunakan perbedaan elevasi lapangan

$$t_0 = 22,683$$

$$t_1 = 22,582$$

$$\begin{aligned}
 i &= \frac{L_0 - L_1}{L} \times 100\% \\
 i &= \frac{2,2 - 1,6}{3} \times 100\% \\
 i &= 0,157 \%
 \end{aligned}$$



-]) Kemiringan Lapangan rencana
Kemiringan selokan direncanakan **0.250%**

g. Menentukan Dimensi Saluran

Saluran Bentuk Segi Empat

Perencanaan dimensi saluran tepi dimulai dengan penentuan bahan yang digunakan sebagai saluran. Saluran direncanakan menggunakan pasangan batu kali dengan ketentuan sebagai berikut :

-]) Kecepatan aliran yang diijinkan = 1.5 m/detik
-]) Betuk penampang = kotak(segi empat)
-]) Angka manning = 0.02

Istilah yang digunakan pada perencanaan dimensi saluran adalah :

- b = lebar bawah saluran
- d = tinggi air pada saluran
- F = luas penampang basah
- P = keliling penampang asah
- m = kemiringan talud
- n = perbandingan talud (b/d)
- Q = bedit kapasitas
- V = kecepatan air
- H = tinggi penampang
- w = tinggi jagaan
- R = jari-jari hidrolik

$$Q = V x A$$

$$0,915 = \left(\frac{1}{n} x R^{\frac{2}{3}} x i^{-\frac{1}{2}} \right) x d^2$$

$$0,915 = \left(\frac{1}{n} x \frac{1}{3} R^{\frac{1}{3}} x i^{-\frac{1}{2}} \right) x d^2$$

$$0,915 = \frac{1}{n} x d^{\frac{1}{3}} x i^{-\frac{1}{2}}$$

$$d = \left(\frac{Q x n x S^2}{t^2} \right)^{1/2}$$

d = 0.8 m (untuk memudahkan penggerjaan)

$$b = 2b$$

$$b = 0.8 \text{ m} \times 2 \\ = 1.6 \text{ m}$$

$$W = \sqrt{\frac{1}{k} X}$$

$$= \sqrt{\frac{1}{2} x 0.8} \text{ m}$$

= 0,6 m

$$\begin{aligned} h &= d + w \\ &= 0,8 \text{ m} + 0,6 \text{ m} \end{aligned}$$

= 1,4 m

$$\begin{aligned} R &= \frac{d}{2} \\ &= \frac{0,8m}{2} \\ &= 0,4 \text{ m} \end{aligned}$$

h. Kontrol pada saluran tepi

) Kontrol kemiringan

i lapangan = 0,157 %

$$I \text{ perhitungan} = 0,250\%$$

Syarat :

i lapangan

0,1 %

i perhitungan

0,250% (OK)

J Kontrol kecepatan aliran

V

$$= \frac{1}{n} \times R^{2/3} \times t^{1/2}$$

$$= \frac{1}{0,0} \times 0,40^{2/3} \times 0,250^{1/2}$$

$$= 1,36 \text{ m/detik}$$

Syarat:

V aliran V ijin

1,36 m/detik 1,5 m/detik (OK)

Dari kontrol yang dilakukan dapat disimpulkan saluran tidak membutuhkan pematah arus. Untuk perhitungan rekapitulasi drainase disajikan dalam bentuk tabel rekapitulasi.

Tabel 5. 26. Data Perencanaan Saluran Tepi

| Bagian | Kode | Keterangan | nd | S | C | Vijin (m/s) | Koef Manning (n) |
|-------------|------|----------------------|-------|------|----------|----------------|------------------------|
| Bahu dalam | 1 | Beton | 0.013 | 0.02 | 0.7 | | 0.02 |
| Badan jalan | 2 | Beton | 0.013 | 0.02 | 0.7 | | 0.02 |
| Bahu luar | 3 | Aspal | 0.013 | 0.04 | 0.7 | 1.5 | 0.02 |
| Timbunan | 4 | Tanah kasar berumput | 0.2 | 0.5 | 0.2 | | 0.02 |
| Area Luar | 5 | Ladang | 0.4 | 0.06 | 0.4 5 | | 0.02 |

Sumber : Hasil Perhitungan

Tabel 5. 27. Rekapitulasi Perhitungan Waktu Kosentrasi

| No | STA | | L | | nd | s | L | t1 | t2 | tc |
|----|------------------------|---|-----|-------------|-------|----|------|------|------|-------|
| 1 | STA 8+000- 8+396 | a | 396 | bahu dalam | 0,013 | 2% | 1,5 | 0,82 | 4,40 | 10,30 |
| | | | | badan jalan | 0,013 | 2% | 10,8 | 1,14 | | |

| No | STA | | L | | nd | s | L | t1 | t2 | tc |
|----|-------------------------|---|-----|-------------|-------|-----|------|------|------|-------|
| | | | | bahu luar | 0,013 | 4% | 3 | 0,87 | | |
| | | | | timbunan | 0,2 | 50% | 6,56 | 1,26 | | |
| | | | | area luar | 0,4 | 6% | 10 | 1,82 | | |
| 2 | STA 8+000 - 8+396 | b | 396 | bahu dalam | 0,013 | 2% | 1,5 | 0,82 | 4,40 | 10,36 |
| | | | | badan jalan | 0,013 | 2% | 10,8 | 1,14 | | |
| | | | | bahu luar | 0,013 | 4% | 3 | 0,87 | | |
| | | | | timbunan | 0,2 | 50% | 8,67 | 1,32 | | |
| | | | | area luar | 0,4 | 6% | 10 | 1,82 | | |
| 3 | STA 8+396 - 8+576 | a | 180 | bahu dalam | 0,013 | 2% | 1,5 | 0,82 | 2,00 | 7,90 |
| | | | | badan jalan | 0,013 | 2% | 10,8 | 1,14 | | |
| | | | | bahu luar | 0,013 | 4% | 3 | 0,87 | | |
| | | | | timbunan | 0,2 | 50% | 6,53 | 1,26 | | |
| | | | | area luar | 0,4 | 6% | 10 | 1,82 | | |
| 4 | STA 8+396 - 8+576 | b | 180 | bahu dalam | 0,013 | 2% | 1,5 | 0,82 | 2,00 | 7,97 |
| | | | | badan jalan | 0,013 | 2% | 10,8 | 1,14 | | |
| | | | | bahu luar | 0,013 | 4% | 3 | 0,87 | | |
| | | | | timbunan | 0,2 | 50% | 8,78 | 1,33 | | |
| | | | | area luar | 0,4 | 6% | 10 | 1,82 | | |
| 5 | STA 8+576 - 8+800 | a | 224 | bahu dalam | 0,013 | 2% | 1,5 | 0,82 | 2,49 | 8,36 |
| | | | | badan jalan | 0,013 | 2% | 10,8 | 1,14 | | |
| | | | | bahu luar | 0,013 | 4% | 3 | 0,87 | | |
| | | | | timbunan | 0,2 | 50% | 5,68 | 1,23 | | |
| | | | | area luar | 0,4 | 6% | 10 | 1,82 | | |
| 6 | STA 8+576 - | b | 224 | bahu dalam | 0,013 | 2% | 1,5 | 0,82 | 2,49 | 8,42 |

| No | STA | | L | | nd | s | L | t1 | t2 | tc |
|----|-------------------------|---|-----|-------------|-------|-----|------|------|------|-------|
| | 8+800 | | | badan jalan | 0,013 | 2% | 10,8 | 1,14 | | |
| | | | | bahu luar | 0,013 | 4% | 3 | 0,87 | | |
| | | | | timbunan | 0,2 | 50% | 7,58 | 1,29 | | |
| | | | | area luar | 0,4 | 6% | 10 | 1,82 | | |
| 7 | STA 8+800 - 9+282 | a | 482 | bahu dalam | 0,013 | 2% | 1,5 | 0,82 | 5,36 | 11,25 |
| | | | | badan jalan | 0,013 | 2% | 10,8 | 1,14 | | |
| | | | | bahu luar | 0,013 | 4% | 3 | 0,87 | | |
| | | | | timbunan | 0,2 | 50% | 6,34 | 1,26 | | |
| | | | | area luar | 0,4 | 6% | 10 | 1,82 | | |
| 8 | STA 8+800 - 9+282 | b | 482 | bahu dalam | 0,013 | 2% | 1,5 | 0,82 | 5,36 | 11,27 |
| | | | | badan jalan | 0,013 | 2% | 10,8 | 1,14 | | |
| | | | | bahu luar | 0,013 | 4% | 3 | 0,87 | | |
| | | | | timbunan | 0,2 | 50% | 7,01 | 1,28 | | |
| | | | | area luar | 0,4 | 6% | 10 | 1,82 | | |
| 9 | STA 9+282 - 9+456 | a | 174 | bahu dalam | 0,013 | 2% | 1,5 | 0,82 | 1,93 | 7,80 |
| | | | | badan jalan | 0,013 | 2% | 10,8 | 1,14 | | |
| | | | | bahu luar | 0,013 | 4% | 3 | 0,87 | | |
| | | | | timbunan | 0,2 | 50% | 5,58 | 1,23 | | |
| | | | | area luar | 0,4 | 6% | 10 | 1,82 | | |
| 10 | STA 9+282 - 9+456 | b | 174 | bahu dalam | 0,013 | 2% | 1,5 | 0,82 | 1,93 | 7,80 |
| | | | | badan jalan | 0,013 | 2% | 10,8 | 1,14 | | |
| | | | | bahu luar | 0,013 | 4% | 3 | 0,87 | | |
| | | | | timbunan | 0,2 | 50% | 5,59 | 1,23 | | |
| | | | | area luar | 0,4 | 6% | 10 | 1,82 | | |

| No | STA | | L | | nd | s | L | t1 | t2 | tc |
|----|--------------------------|---|-----|-------------|-------|-----|------|------|------|------|
| 11 | STA 9+456 - 9+686 | a | 230 | bahu dalam | 0,013 | 2% | 1,5 | 0,82 | 2,56 | 8,41 |
| | | | | badan jalan | 0,013 | 2% | 10,8 | 1,14 | | |
| | | | | bahu luar | 0,013 | 4% | 3 | 0,87 | | |
| | | | | timbunan | 0,2 | 50% | 5,22 | 1,22 | | |
| | | | | area luar | 0,4 | 6% | 10 | 1,82 | | |
| 12 | STA 9+456 - 9+686 | b | 230 | bahu dalam | 0,013 | 2% | 1,5 | 0,82 | 2,56 | 8,41 |
| | | | | badan jalan | 0,013 | 2% | 10,8 | 1,14 | | |
| | | | | bahu luar | 0,013 | 4% | 3 | 0,87 | | |
| | | | | timbunan | 0,2 | 50% | 5,10 | 1,21 | | |
| | | | | area luar | 0,4 | 6% | 10 | 1,82 | | |
| 13 | STA 9+686 - 9+984 | a | 298 | bahu dalam | 0,013 | 2% | 1,5 | 0,82 | 3,31 | 9,20 |
| | | | | badan jalan | 0,013 | 2% | 10,8 | 1,14 | | |
| | | | | bahu luar | 0,013 | 4% | 3 | 0,87 | | |
| | | | | timbunan | 0,2 | 50% | 6,02 | 1,25 | | |
| | | | | area luar | 0,4 | 6% | 10 | 1,82 | | |
| 14 | STA 9+686 - 9+984 | b | 298 | bahu dalam | 0,013 | 2% | 1,5 | 0,82 | 3,31 | 9,15 |
| | | | | badan jalan | 0,013 | 2% | 10,8 | 1,14 | | |
| | | | | bahu luar | 0,013 | 4% | 3 | 0,87 | | |
| | | | | timbunan | 0,2 | 50% | 4,67 | 1,19 | | |
| | | | | area luar | 0,4 | 6% | 10 | 1,82 | | |
| 15 | STA 9+984 - 10+185 | a | 201 | bahu dalam | 0,013 | 2% | 1,5 | 0,82 | 2,23 | 8,11 |
| | | | | badan jalan | 0,013 | 2% | 10,8 | 1,14 | | |
| | | | | bahu luar | 0,013 | 4% | 3 | 0,87 | | |
| | | | | timbunan | 0,2 | 50% | 5,66 | 1,23 | | |

| No | STA | | L | | nd | s | L | t1 | t2 | tc |
|----|---------------------------|---|-----|-------------|-------|-----|------|------|------|-------|
| | | | | area luar | 0,4 | 6% | 10 | 1,82 | | |
| 16 | STA 9+984 - 10+185 | b | 201 | bahu dalam | 0,013 | 2% | 1,5 | 0,82 | 2,23 | 8,03 |
| | | | | badan jalan | 0,013 | 2% | 10,8 | 1,14 | | |
| | | | | bahu luar | 0,013 | 4% | 3 | 0,87 | | |
| | | | | timbunan | 0,2 | 50% | 3,93 | 1,16 | | |
| | | | | area luar | 0,4 | 6% | 10 | 1,82 | | |
| 17 | STA 10+185 - 10+825 | a | 640 | bahu dalam | 0,013 | 2% | 1,5 | 0,82 | 7,11 | 12,98 |
| | | | | badan jalan | 0,013 | 2% | 10,8 | 1,14 | | |
| | | | | bahu luar | 0,013 | 4% | 3 | 0,87 | | |
| | | | | timbunan | 0,2 | 50% | 5,53 | 1,23 | | |
| | | | | area luar | 0,4 | 6% | 10 | 1,82 | | |
| 18 | STA 10+185 - 10+825 | b | 640 | bahu dalam | 0,013 | 2% | 1,5 | 0,82 | 7,11 | 12,95 |
| | | | | badan jalan | 0,013 | 2% | 10,8 | 1,14 | | |
| | | | | bahu luar | 0,013 | 4% | 3 | 0,87 | | |
| | | | | timbunan | 0,2 | 50% | 4,78 | 1,20 | | |
| | | | | area luar | 0,4 | 6% | 10 | 1,82 | | |
| 19 | STA 10+825 - 11+000 | a | 175 | bahu dalam | 0,013 | 2% | 1,5 | 0,82 | 1,94 | 7,83 |
| | | | | badan jalan | 0,013 | 2% | 10,8 | 1,14 | | |
| | | | | bahu luar | 0,013 | 4% | 3 | 0,87 | | |
| | | | | timbunan | 0,2 | 50% | 5,93 | 1,24 | | |
| | | | | area luar | 0,4 | 6% | 10 | 1,82 | | |
| 20 | STA 10+825 - 11+000 | b | 175 | bahu dalam | 0,013 | 2% | 1,5 | 0,82 | 1,94 | 7,84 |
| | | | | badan jalan | 0,013 | 2% | 10,8 | 1,14 | | |
| | | | | bahu luar | 0,013 | 4% | 3 | 0,87 | | |

| No | STA | | L | | nd | s | L | t1 | t2 | tc |
|----|-----|--|---|-----------|-----|-----|------|------|----|----|
| | | | | timbunan | 0,2 | 50% | 6,31 | 1,26 | | |
| | | | | area luar | 0,4 | 6% | 10 | 1,82 | | |

Sumber : Hasil Perhitungan

Tabel 5. 28. Rekapitulasi Perhitungan Debit Saluran Tepi

| No | STA | | L | Bahu dalam 1 | | perkerasan 2 | | bahu luar 3 | | timbunan 4 | | area luar 5 | | C Total | I rencana | Q |
|----|-------------------------|---|-----|-----------------|-------|--------------|--------|-------------|------|------------|---------|-------------|------|------------|--------------|-------|
| | | | | koef | A | koef | A | koef | A | koef | A | koef | A | | | |
| 1 | STA 8+000- 8+396 | a | 396 | 0,7 | 594,0 | 0,7 | 4276,8 | 0,7 | 1188 | 0,2 | 2506,68 | 0,4 | 3960 | 0,5 | 160 | 0,281 |
| 2 | STA 8+000 - 8+396 | b | 396 | 0,7 | 594,0 | 0,7 | 4276,8 | 0,7 | 1188 | 0,2 | 2506,68 | 0,4 | 3960 | 0,5 | 160 | 0,281 |
| 3 | STA8+396 - 8+576 | a | 180 | 0,7 | 270,0 | 0,7 | 1944 | 0,7 | 540 | 0,2 | 1139,4 | 0,4 | 1800 | 0,5 | 165 | 0,132 |
| 4 | STA8+396 - 8+576 | b | 180 | 0,7 | 270,0 | 0,7 | 1944 | 0,7 | 540 | 0,2 | 1139,4 | 0,4 | 1800 | 0,5 | 165 | 0,132 |
| 5 | STA 8+576 - 8+800 | a | 224 | 0,7 | 336,0 | 0,7 | 2419,2 | 0,7 | 672 | 0,2 | 1417,92 | 0,4 | 2240 | 0,5 | 166 | 0,165 |
| 6 | STA 8+576 - 8+800 | b | 224 | 0,7 | 336,0 | 0,7 | 2419,2 | 0,7 | 672 | 0,2 | 1417,92 | 0,4 | 2240 | 0,5 | 166 | 0,165 |
| 7 | STA 8+800 - 9+282 | a | 482 | 0,7 | 723,0 | 0,7 | 5205,6 | 0,7 | 1446 | 0,2 | 3051,06 | 0,4 | 4820 | 0,5 | 155 | 0,332 |
| 8 | STA | b | 482 | 0,7 | 723,0 | 0,7 | 5205,6 | 0,7 | 1446 | 0,2 | 3051,06 | 0,4 | 4820 | 0,5 | 155 | 0,332 |

| No | STA | | L | Bahu dalam 1 | | perkerasan 2 | | bahu luar 3 | | timbunan 4 | | area luar 5 | | C Total | I rencana | Q |
|----|----------------------|---|-----|--------------|-------|--------------|--------|-------------|-----|------------|---------|-------------|------|---------|-----------|-------|
| | | | | koef | A | koef | A | koef | A | koef | A | koef | A | | | |
| | 8+800 - 9+282 | | | | | | | | | | | | | | | |
| 9 | STA 9+282 - 9+456 | a | 174 | 0,7 | 261,0 | 0,7 | 1879,2 | 0,7 | 522 | 0,2 | 1101,42 | 0,4 | 0 | 0,5 | 165 | 0,096 |
| 10 | STA 9+282 - 9+456 | b | 174 | 0,7 | 261,0 | 0,7 | 1879,2 | 0,7 | 522 | 0,2 | 1101,42 | 0,4 | 1740 | 0,5 | 165 | 0,127 |
| 11 | STA 9+456 - 9+686 | a | 230 | 0,7 | 345,0 | 0,7 | 2484 | 0,7 | 690 | 0,2 | 1455,9 | 0,4 | 2300 | 0,5 | 166 | 0,169 |
| 12 | STA 9+456 - 9+686 | b | 230 | 0,7 | 345,0 | 0,7 | 2484 | 0,7 | 690 | 0,2 | 1455,9 | 0,4 | 0 | 0,5 | 166 | 0,127 |
| 13 | STA 9+686 - 9+984 | a | 298 | 0,7 | 447,0 | 0,7 | 3218,4 | 0,7 | 894 | 0,2 | 1886,34 | 0,4 | 0 | 0,5 | 167 | 0,166 |
| 14 | STA 9+686 - 9+984 | b | 298 | 0,7 | 447,0 | 0,7 | 3218,4 | 0,7 | 894 | 0,2 | 1886,34 | 0,4 | 0 | 0,5 | 167 | 0,166 |
| 15 | STA | a | 201 | 0,7 | 301,5 | 0,7 | 2170,8 | 0,7 | 603 | 0,2 | 1272,33 | 0,4 | 2010 | 0,5 | 160 | 0,143 |

| No | STA | | L | Bahu dalam 1 | | perkerasan 2 | | bahu luar 3 | | timbunan 4 | | area luar 5 | | C Total | I rencana | Q |
|----|---------------------------|---|-----|--------------|-------|--------------|--------|-------------|------|------------|---------|-------------|------|---------|-----------|-------|
| | | | | koef | A | koef | A | koef | A | koef | A | koef | A | | | |
| | 9+984 - 10+185 | | | | | | | | | | | | | | | |
| 16 | STA 9+984 - 10+185 | b | 201 | 0,7 | 301,5 | 0,7 | 2170,8 | 0,7 | 603 | 0,2 | 1272,33 | 0,4 | 2010 | 0,5 | 160 | 0,143 |
| 17 | STA 10+185 - 10+825 | a | 640 | 0,7 | 960,0 | 0,7 | 6912 | 0,7 | 1920 | 0,2 | 4051,2 | 0,4 | 6400 | 0,5 | 148 | 0,420 |
| 18 | STA 10+185 - 10+825 | b | 640 | 0,7 | 960,0 | 0,7 | 6912 | 0,7 | 1920 | 0,2 | 4051,2 | 0,4 | 6400 | 0,5 | 148 | 0,420 |
| 19 | STA 10+825 - 11+000 | a | 175 | 0,7 | 262,5 | 0,7 | 1890 | 0,7 | 525 | 0,2 | 1107,75 | 0,4 | 1750 | 0,5 | 165 | 0,128 |
| 20 | STA 10+825 - 11+000 | b | 175 | 0,7 | 262,5 | 0,7 | 1890 | 0,7 | 525 | 0,2 | 1107,75 | 0,4 | 1750 | 0,5 | 165 | 0,128 |

Sumber : Hasil Perhitungan

Tabel 5. 29. Rekapitulasi Perhitungan Dimensi Saluran Tepi

| No | STA | | b | D | w | H | R |
|----|--------------------|---|-----|------|------|------|------|
| 1 | STA 8+000 - 8+396 | a | 1.6 | 0,80 | 0,60 | 1,40 | 0,40 |
| 2 | STA 8+000 - 8+396 | b | 1.6 | 0,80 | 0,60 | 1,40 | 0,40 |
| 3 | STA 8+396 - 8+576 | a | 1.4 | 0,70 | 0,60 | 1,30 | 0,34 |
| 4 | STA 8+396 - 8+576 | b | 1.4 | 0,70 | 0,60 | 1,30 | 0,34 |
| 5 | STA 8+576 - 8+800 | a | 1.5 | 0,70 | 0,60 | 1,35 | 0,37 |
| 6 | STA 8+576 - 8+800 | b | 1.5 | 0,70 | 0,60 | 1,35 | 0,37 |
| 7 | STA 8+800 - 9+282 | a | 1.6 | 0,80 | 0,60 | 1,40 | 0,40 |
| 8 | STA 8+800 - 9+282 | b | 1.6 | 0,80 | 0,60 | 1,40 | 0,40 |
| 9 | STA 9+282 - 9+456 | a | 0.8 | 0,40 | 0,40 | 0.8 | 0,19 |
| 10 | STA 9+282 - 9+456 | b | 1.3 | 0,70 | 0,60 | 1,30 | 0,34 |
| 11 | STA 9+456 - 9+686 | a | 1.5 | 0,70 | 0,60 | 1,36 | 0,37 |
| 12 | STA 9+456 - 9+686 | b | 0.9 | 0,40 | 0,50 | 1,89 | 0,22 |
| 13 | STA 9+686 - 9+984 | a | 1.6 | 0,80 | 0,60 | 1,40 | 0,40 |
| 14 | STA 9+686 - 9+984 | b | 0.6 | 0,80 | 0,60 | 1,40 | 0,40 |
| 15 | STA 9+984 - 10+185 | a | 1.4 | 0,70 | 0,60 | 1,30 | 0,35 |
| 16 | STA 9+984 - 10+185 | b | 1.4 | 0,70 | 0,60 | 1,30 | 0,35 |

| No | STA | | b | D | w | H | R |
|----|---------------------|---|-----|------|------|------|------|
| 17 | STA 10+185 - 10+825 | a | 1,6 | 0,80 | 0,60 | 1,40 | 0,40 |
| 18 | STA 10+185 - 10+825 | b | 1,6 | 0,80 | 0,60 | 1,40 | 0,40 |
| 19 | STA 10+825 - 11+000 | a | 1,3 | 0,60 | 0,60 | 1,20 | 0,32 |
| 20 | STA 10+825 - 11+000 | b | 1,2 | 0,60 | 0,60 | 1,20 | 0,31 |

Sumber : Hasil Perhitungan

Tabel 5. 30. Kontrol Saluran Tepi

| No | STA | to | t1 | i saluran | i rencana | kontrol i | V | kontrol V |
|----|-------------------------|--------|--------|-----------|-----------|-----------|------|-----------|
| 1 | STA 8+000 - 8+396 | 23,683 | 22,582 | 0,157 | 0,250 | OK | 1,36 | OK |
| 2 | STA 8+000 - 8+396 | 23,683 | 22,582 | 0,157 | 0,250 | OK | 1,36 | OK |
| 3 | STA8+396 - 8+576 | 23,683 | 23,310 | 0,075 | 0,250 | OK | 1,22 | OK |
| 4 | STA8+396 - 8+576 | 23,683 | 23,310 | 0,075 | 0,250 | OK | 1,22 | OK |
| 5 | STA 8+576 - 8+800 | 23,817 | 23,310 | 0,078 | 0,250 | OK | 1,29 | OK |
| 6 | STA 8+576 - 8+800 | 23,817 | 23,310 | 0,078 | 0,250 | OK | 1,29 | OK |
| 7 | STA 8+800 - 9+282 | 23,817 | 22,551 | 0,071 | 0,250 | OK | 1,41 | OK |

| No | STA | to | t1 | i saluran | i rencana | kontrol i | V | kontrol V |
|----|-------------------------|--------|--------|-----------|-----------|-----------|------|-----------|
| 8 | STA 8+800 - 9+282 | 23,817 | 22,551 | 0,071 | 0,250 | OK | 1,41 | OK |
| 9 | STA 9+282 - 9+456 | 22,893 | 22,551 | 0,052 | 0,250 | OK | 0,84 | OK |
| 10 | STA 9+282 - 9+456 | 22,893 | 22,551 | 0,052 | 0,250 | OK | 1.21 | OK |
| 11 | STA 9+456 - 9+686 | 22,893 | 22,382 | 0,035 | 0,250 | OK | 1.30 | OK |
| 12 | STA 9+456 - 9+686 | 22,893 | 22,382 | 0,035 | 0,250 | OK | 0,90 | OK |
| 13 | STA 9+686 - 9+984 | 23,096 | 22,382 | 0,151 | 0,250 | OK | 1,36 | OK |
| 14 | STA 9+686 - | 23,096 | 22,382 | 0,151 | 0,250 | OK | 1,36 | OK |

| No | STA | to | t1 | i saluran | i rencana | kontrol i | V | kontrol V |
|----|---------------------------|--------|--------|-----------|-----------|-----------|------|-----------|
| | 9+984 | | | | | | | |
| 15 | STA 9+984 - 10+185 | 23,096 | 22,673 | 0,095 | 0,250 | OK | 1,24 | OK |
| 16 | STA 9+984 - 10+185 | 23,096 | 22,673 | 0,095 | 0,250 | OK | 1,24 | OK |
| 17 | STA 10+185 - 10+825 | 24,414 | 22,673 | 0,063 | 0,250 | OK | 1,36 | OK |
| 18 | STA 10+185 - 10+825 | 24,414 | 22,673 | 0,063 | 0,250 | OK | 1,36 | OK |
| 19 | STA 10+825 - 11+000 | 24,504 | 23,909 | 0,108 | 0,250 | OK | 1,21 | OK |
| 20 | STA 10+825 - 11+000 | 24,504 | 23,909 | 1.562 | 0,250 | OK | 1,21 | OK |

Sumber : Hasil Perhitungan

5.6.2 Perencanaan Saluran Tengah (*Drainase*)

Saluran tengah adalah saluran drainase yang berada diantara 2 jalur jalan dan terletak di bawah MBC (median Concrete Barrier)

Perhitungan Saluran Tengah Pada STA 8+000 - 8+396

a. Menentukan Waktu Kosentrasi (t_c)

Waktu kosentrasi merupakan waktu paling jauh yang dibutuhkan air untuk mencapai saluran drainase (inlettime) dari titik terjauh yang terletak didaerah pengaliran.

J Daerah Pengaliran

Daerah pengaliran merupakan daerah yang dialiri oleh air sebelum masuk ke saluran drainase

$$L_1 = 1,5 \text{ m} \quad (\text{bahu dalam jalan})$$

$$L_2 = 10,8 \text{ m} \quad (\text{perkerasan jalan})$$

J Hubungan kondisi permukaan dengan kondisi hambatan (nd) nd bahu dalam = 0,013 (jalan beton)
nd badan jalan = 0,013 (jalan beton)

J Kemiringan daerah pengaliran (s)

$$\text{Bahu dalam} = 2\%$$

$$\text{Badan jalan} = 2\%$$

J Kecepatan aliran yang diijinkan

berdasarkan jenis materialnya yaitu pasangan batu kali, maka dapat dilihat pada tabel 2.61 kecepatan yang diijinkan adalah 0,6 m/detik – 1,8 m/detik.

b. Menentukan Intensitas Hujan (I)

Dari hasil t_c dalam satuan menit yang diplotkan pada kurva basis maka didapatkan nilai I rencana sebesar 22, 851 mm/jam

c. Menentukan Luas Daerah Pengaliran (A)

$$A_1 (\text{bahu dalam}) = 1,5 \text{ m} \times 396 \text{ m} = 594 \text{ m}^2$$

$$A_2 (\text{perkerasan}) = 10,8 \text{ m} \times 396 \text{ m} = 4276,8 \text{ m}^2$$

d. Menentukan Koefiseien Pengaliran (C)

$$C_1 (\text{bahu dalam}) = 0,7$$

$$C_2 (\text{perkerasan}) = 0,7$$

Perhitungan C_{gabungan}:

$$C = \frac{(U_1 \times 5) + (U_2 \times 4)}{5 + 4} = 0,70$$

e. Menentukan Debit Air (Q)

$$A = 4870,8 \text{ m}^2 = 0,00487 \text{ km}^2$$

$$I = 175 \text{ mm/jam}$$

$$C = 0,7$$

$$Q = \frac{1}{3,6} \times C \times I \times A$$

$$= \frac{1}{3,6} \times 0,7 \times 175 \times 0,00487$$

$$= 0,17 \text{ m}^3/\text{detik}$$

f. Menentukan Kemiringan Saluran (i)

Untuk mengetahui arah aliran air pada saluran maka harus ditentukan kemiringan saluran. Kemiringan saluran ditentukan oleh prosentase dari perbandingan antara tinggi elevasi dengan panjang saluran.

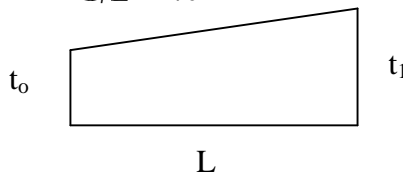
⟩ Kemiringan Lapangan menggunakan perbedaan elevasi lapangan

$$t_o = 22,683$$

$$t_l = 22,582$$

$$i = \frac{t_o - t_l}{L} \times 100\%$$

$$i = \frac{22,683 - 22,582}{3} \times 100\% = 0,2 \text{ \%}$$



⟩ Kemiringan Lapangan rencana

Kemiringan selokan direncanakan sesuai dengan I perhitungan

$$I = \left(\frac{V \times n}{R^{2/3}} \right)^{2/5} \times 100\%$$

$$= \left(\frac{1,5 \times 0,0}{0,2} \right)^2 \times 100\% \\ = 0,534\%$$

g. Menentukan Dimensi Saluran

Saluran Bentuk Segi empat

Perencanaan dimensi saluran tepi dimulai dengan penentuan bahan yang digunakan sebagai saluran. Saluran direncanakan menggunakan pasangan pasangan batu kali dengan ketentuan sebagai berikut :

$$\begin{cases} \text{Kecepatan aliran yang diijinkan} & = 1.5 \text{ m/detik} \\ \text{Betuk penampang} & = \text{kotak(segi empat)} \\ \text{Angka manning} & = 0.02 \end{cases}$$

Istilah yang digunakan pada perencanaan dimensi saluran adalah :

- b = lebar bawah saluran
- d = tinggi air pada saluran
- F = luas penampang basah
- P = keliling penampang asah
- m = kemiringan talud
- n = perbandingan talud (b/d)
- Q = bedit kapasitas
- V = kecepatan air
- H = tinggi penampang
- w = tinggi jagaan
- R = jari-jari hidrografis

$$Q = V \times A$$

$$0,17 = \left(\frac{1}{n} \times R^{\frac{2}{3}} \times i^{\frac{1}{2}} \right) \times d^2$$

$$0,17 = \left(\frac{1}{n} \times \frac{1}{3} d^{\frac{2}{3}} \times i^{\frac{1}{2}} \right) \times d^2$$

$$0,17 = \frac{1}{n} \times \frac{1}{3} d^{\frac{2}{3}} \times d^2 \times i^{\frac{1}{2}}$$

$$d = \left(\frac{Q \times n}{\frac{1}{3} i^{\frac{1}{2}}} \right)^{\frac{3}{5}}$$

$$d = \left(\frac{0.1 \times 0.0 \times 0.5}{0.5\%} \right)^{\frac{1}{2}}$$

$$d = 0.41 \text{ m}$$

d = 0.40 m (untuk memudahkan pengeraan)
tinggi air pada saluran (d) direncanakan sebesar 0.4 m

$$\begin{aligned} b &= 2b \\ d &= \frac{1}{2} b \\ &= \frac{1}{2} \times 0.5 \text{ m} \\ &= \mathbf{0.25 \text{ m}} \end{aligned}$$

$$\begin{aligned} w &= \sqrt{\frac{1}{2} \times d} \\ &= \sqrt{\frac{1}{2} \times 0.25} \text{ m} \\ &= \mathbf{0.35 \text{ m}} \end{aligned}$$

$$\begin{aligned} h &= d + w \\ &= 0.25 \text{ m} + 0.35 \text{ m} \\ &= \mathbf{0.6 \text{ m}} \end{aligned}$$

$$\begin{aligned} R &= \frac{d}{\frac{1}{2}} \\ &= \frac{0.2}{\frac{1}{2}} \text{ m} \\ &= \mathbf{0.125 \text{ m}} \end{aligned}$$

h. Kontrol pada Saluran Tengah

- J Kontrol kemiringan
 - i lapangan = 0,278 %
 - I perhitungan = 0,534%

Syarat :

$$\begin{aligned} i \text{ lapangan} &= i \text{ perhitungan} \\ \mathbf{0,2 \%} &\quad \mathbf{0,534\% (OK)} \end{aligned}$$

- J Kontrol kecepatan aliran
 - $V = \frac{1}{n} \times R^{2/3} \times i^{1/2}$

$$= \frac{1}{0,0} \times 0,263^{2/3} \times 0,534^{1/2}$$

$$= 1,50 \text{ m/detik}$$

Syarat:

0,1 V 3

0,1 1,50 3 (OK)

$$V = \frac{1}{n} \times R^{2/3} \times l^{1/2}$$

$$= \frac{1}{0,0} \times 0,125^{2/3} \times 1.440^{1/2}$$

$$= 0,659 \text{ m/detik}$$

Syarat:

0,1 V 3

0,1 0,659 3 (OK)

Dari kontrol yang dilakukan dapat disimpulkan saluran tidak membutuhkan pematah arus

Untuk perhitungan rekapitulasi drainase disajikan dalam bentuk tabel rekapitulasi.

Tabel 5. 31. Data Perencanaan Saluran Tengah

| Bagian | Kode | Keterangan | nd | s | C | Vijin (m/s) | Koef Manning (n) |
|----------------|------|------------|-------|------|-----|----------------|---------------------|
| Bahu dalam | 1 | Beton | 0.013 | 0.02 | 0.7 | 1.5 | 0.02 |
| Badan jalan | 2 | Beton | 0.013 | 0.02 | 0.7 | | 0.02 |

Sumber : Hasil Perhitungan

Tabel 5. 32. Rekapitulasi Perhitungan Waktu Kosentrasi

| No | STA | L | | nd | s | L | t1 | t2 | tc |
|----|-------------------------|-----|-------------|-------|----|------|------|------|------|
| 1 | STA 8+000 - 8+396 | 396 | bahu jalan | 0,013 | 2% | 1,5 | 0,82 | 4,4 | 6,36 |
| | | | badan jalan | 0,013 | 2% | 10,8 | 1,14 | | |
| 2 | STA 8+396 - 8+576 | 180 | bahu jalan | 0,013 | 2% | 1,5 | 0,82 | 2 | 3,96 |
| | | | badan jalan | 0,013 | 2% | 10,8 | 1,14 | | |
| 3 | STA 8+576 - 8+800 | 224 | bahu jalan | 0,013 | 2% | 1,5 | 0,82 | 2,49 | 4,45 |
| | | | badan jalan | 0,013 | 2% | 10,8 | 1,14 | | |
| 4 | STA 8+800 - 9+282 | 482 | bahu jalan | 0,013 | 2% | 1,5 | 0,82 | 5,36 | 7,31 |
| | | | badan jalan | 0,013 | 2% | 10,8 | 1,14 | | |
| 5 | STA 9+282 - 9+456 | 174 | bahu jalan | 0,013 | 2% | 1,5 | 0,82 | 1,93 | 3,89 |
| | | | badan jalan | 0,013 | 2% | 10,8 | 1,14 | | |
| 6 | STA 9+456 - 9+686 | 230 | bahu jalan | 0,013 | 2% | 1,5 | 0,82 | 2,56 | 4,51 |
| | | | badan jalan | 0,013 | 2% | 10,8 | 1,14 | | |
| 7 | STA 9+686 - | 298 | bahu jalan | 0,013 | 2% | 1,5 | 0,82 | 3,31 | 5,27 |
| | | | badan jalan | 0,013 | 2% | 10,8 | 1,14 | | |

| No | STA | L | | nd | s | L | t1 | t2 | tc |
|----|---------------------------|-----|-------------|-------|----|------|------|------|------|
| | 9+984 | | | | | | | | |
| 8 | STA 9+984 - 10+185 | 201 | bahu jalan | 0,013 | 2% | 1,5 | 0,82 | 2,23 | 4,19 |
| | | | badan jalan | 0,013 | 2% | 10,8 | 1,14 | | |
| 9 | STA 10+185 - 10+825 | 640 | bahu jalan | 0,013 | 2% | 1,5 | 0,82 | 7,11 | 9,07 |
| | | | badan jalan | 0,013 | 2% | 10,8 | 1,14 | | |
| 10 | STA 10+825 - 11+000 | 175 | bahu jalan | 0,013 | 2% | 1,5 | 0,82 | 1,94 | 3,90 |
| | | | badan jalan | 0,013 | 2% | 10,8 | 1,14 | | |

Sumber : Hasil Perhitungan

Tabel 5. 33. Rekapitulasi Perhitungan Debit Saluran Tengah

| No | STA | L | Bahu dalam 1 | | perkerasan 2 | | C Total | I rencana | Q |
|----|---------------------|-----|--------------|-------|--------------|--------|------------|--------------|------|
| | | | koef | A | koef | A | | | |
| 1 | STA 8+000 - 8+396 | 396 | 0,7 | 594 | 0,7 | 4276,8 | 0,70 | 175 | 0,17 |
| 2 | STA 8+396 - 8+576 | 180 | 0,7 | 270 | 0,7 | 1944,0 | 0,70 | 180 | 0,08 |
| 3 | STA 8+576 - 8+800 | 224 | 0,7 | 336 | 0,7 | 2419,2 | 0,70 | 182 | 0,10 |
| 4 | STA 8+800 - 9+282 | 482 | 0,7 | 723 | 0,7 | 5205,6 | 0,70 | 168 | 0,19 |
| 5 | STA 9+282 - 9+456 | 174 | 0,7 | 261 | 0,7 | 1879,2 | 0,70 | 180 | 0,07 |
| 6 | STA 9+456 - 9+686 | 230 | 0,7 | 345 | 0,7 | 2484,0 | 0,70 | 170 | 0,09 |
| 7 | STA 9+686 - 9+984 | 298 | 0,7 | 447 | 0,7 | 3218,4 | 0,70 | 170 | 0,12 |
| 8 | STA 9+984 - 10+185 | 201 | 0,7 | 301,5 | 0,7 | 2170,8 | 0,70 | 180 | 0,09 |
| 9 | STA 10+185 - 10+825 | 640 | 0,7 | 960 | 0,7 | 6912,0 | 0,70 | 167 | 0,26 |
| 10 | STA 10+825 - 11+000 | 175 | 0,7 | 262,5 | 0,7 | 1890,0 | 0,70 | 180 | 0,08 |

Sumber : Hasil Perhitungan

Tabel 5. 34. Rekapitulasi Perhitungan Dimensi Saluran Tengah

| No | STA | b | d | w | H | R | to |
|----|---------------------|-----|------|------|------|-------|--------|
| 1 | STA 8+000 - 8+396 | 0,5 | 0,25 | 0,35 | 0,60 | 0,125 | 23,683 |
| 2 | STA 8+396 - 8+576 | 0,5 | 0,25 | 0,35 | 0,60 | 0,125 | 23,683 |
| 3 | STA 8+576 - 8+800 | 0,5 | 0,25 | 0,35 | 0,60 | 0,125 | 23,817 |
| 4 | STA 8+800 - 9+282 | 0,5 | 0,25 | 0,35 | 0,60 | 0,125 | 23,817 |
| 5 | STA 9+282 - 9+456 | 0,5 | 0,25 | 0,35 | 0,60 | 0,125 | 22,893 |
| 6 | STA 9+456 - 9+686 | 0,5 | 0,25 | 0,35 | 0,60 | 0,125 | 22,893 |
| 7 | STA 9+686 - 9+984 | 0,5 | 0,25 | 0,35 | 0,60 | 0,125 | 23,096 |
| 8 | STA 9+984 - 10+185 | 0,5 | 0,25 | 0,35 | 0,60 | 0,125 | 23,096 |
| 9 | STA 10+185 - 10+825 | 0,5 | 0,25 | 0,35 | 0,60 | 0,125 | 24,414 |
| 10 | STA 10+825 - 11+000 | 0,5 | 0,25 | 0,35 | 0,60 | 0,125 | 24,504 |

Sumber : Hasil Perhitungan

Tabel 5. 35. Kontrol Saluran Tengah

| No | STA | t1 | i saluran | i hitungan | kontrol i | V | kontrol V |
|----|------------------------|--------|-----------|-----------------|-----------|-------|-----------|
| 1 | STA 8+000 - 8+396 | 22,582 | 0,278 | 1,440 | OK | 0,659 | OK |
| 2 | STA 8+396 - 8+576 | 23,31 | 0,207 | 1,440 | OK | 0,569 | OK |
| 3 | STA 8+576 - 8+800 | 23,31 | 0,226 | 1,440 | OK | 0,595 | OK |
| 4 | STA 8+800 - 9+282 | 22,551 | 0,263 | 1,440 | OK | 0,641 | OK |
| 5 | STA 9+282 - 9+456 | 22,551 | 0,197 | 1,440 | OK | 0,554 | OK |
| 6 | STA 9+456 - 9+686 | 22,382 | 0,222 | 1,440 | OK | 0,589 | OK |
| 7 | STA 9+686 - 9+984 | 22,382 | 0,240 | 1,440 | OK | 0,612 | OK |
| 8 | STA 9+984 - 10+185 | 22,673 | 0,210 | 1,440 | OK | 0,573 | OK |
| 9 | STA 10+185 - 10+825 | 22,673 | 0,272 | 1,440 | OK | 0,652 | OK |
| 10 | STA 10+825 - 11+000 | 23,909 | 0,340 | 1,440 | OK | 0,729 | OK |

Sumber : Hasil Perhitungan

5.7 Method's Statement

5.7.1 Pekerjaan Persiapan

1. Pembuatan Direksi Kit

Direksi Kit merupakan bangunan sementara yang memeliki fungsi sebagai tempat kerja bagi kontraktor, pengawas, dan lain-lain. Dengan adanya direksi kit memudahkan pengawasan dan koordinasi untuk kontraktor dan pengawas dalam kegiatan proyek.

Direksi kit diletakkan di dekat STA 8+000 dikarenakan pekerjaan dimulai dari STA tersebut. direncanakan direksi kit sebesar 5×5 m² berlantaikan plesteran agar terkesan rapi dan bersih.

2. Pembuatan Stock Pile

Stock Pile merupakan tempat penyimpanan material sebelum digunakan langsung di lapangan. Luas stock pile adalah 100×100 m² berada di dekat STA 8+000

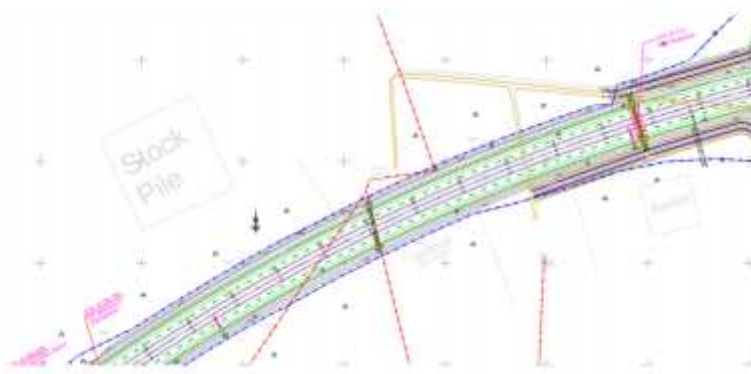
3. Pembuatan Papan Nama proyek.

Pembuatan papan nama proyek yang bertujuan untuk memberitahu masyarakat disekelilingnya bahwa pada daerah tersebut sedang ada pekerjaan jalan, sehingga masayarakat lebih berhati-hati jika melewati daerah tersebut.

Papan Nama Proyek berisi data-data proyek,seperti: nama proyek, nama pemilik, lokasi, tanggal izin,kontaktor, dan konsultan pengawas.

4. Mobilisasi

Mobilisasi adalah kegiatan pendatangan alat berat dan tenaga kerja ke lapangan sebelum pekerjaan dimulai sesuai dengan jumlah yang dibutuhkan.



Gambar 5. 19. Lokasi Stock Pile dan Kantor

5. Pekerjaan Pengukuran

Pekerjaan pengukuran dilakukan untuk menentukan letak-letak batas pengerjaan proyek, elevasi as jalan, elevasi tanah dasar serta pekerjaan-pekerjaan yang berkaitan.

6. Pembersihan Lapangan

Pembersihan lapangan dilakukan sebelum pelaksanaan pekerjaan konstruksi dimulai. Pekerjaan ini bertujuan untuk mempermudah pelaksanaan pekerjaan konstruksi dengan membuang benda-benda yang mengganggu pekerjaan seperti rumput-rumput liar atau semak belukar.

5.7.2 Pekerjaan Drainase

1. Uraian

Pekerjaan drainase pada perencanaan tugas akhir ini adalah pekerjaan draianse saluran tepi dan tengah. Pekerjaan saluran tepi menggunakan pasangan batu kali beleh 15/20 dengan mortar.

2. Peralatan

- J Dump Truck
- J Alat Bantu Manual (Sekop, Keranjang, Sapu)

3. Pelaksanaan Pekerjaan
 - a. Pelaksanaan Pekerjaan Galian Saluran Tepi
 1. Surveyor menentukan batas-batas dimensi saluran
 2. Pekerjaan melakukan penggalian tanah sesuai dengan lebar dan kedalaman galian yang telah ditentukan
 3. Dump Truck mengangkut hasil galian ke luar proyek.
 - b. Pekerjaan pasangan Batu Kali dengan Mortar
 1. Sebelum memulai pemasangan batu kali terlebih dahulu dibuat landasan berupa urukan pasir setebal 5 cm dalam keadaan padat.
 2. Batu kali dibersihkan dan dibasahi seluruh permukaannya sebelum dipasang.
 3. Semen pasir dan air dicampur sampai menjadi mortar dengan perbandingan 1Pc : 2 Ps
 4. Permukaan atas pasangan batu kali belah diberi plesteran (mortar) setebal 1,5 cm untuk mencegah kerusakan dini.

5.7.3 Pekerjaan Lapisan Pondasi Agregat B

1. Uraian

Lapis pondasi agregat B adalah lapis pondasi bawah yang terletak antara lapis pondasi atas dan tanah dasar. Berfungsi sebagai lapisan resapan agar agar tanah dan partikel-partikel halus dari tanah dasar naik ke lapis pondasi atas.

2. Peralatan

-) Wheel Loader
-) Dump Truck
-) Tandem Roller
-) Motor grader
-) Water Tank

3. Pelaksanaan Pekerjaan

- Wheel loader memuat material agregat yang telah dicampur dari stock pile ke dalam dump truck untuk selanjutnya diangkut ke lokasi proyek.
- Material dihamparkan ke lokasi proyek dengan menggunakan motor grader. Selanjutnya dipadatkan menggunakan tandem roller dengan tetap menjaga tebal yang disyaratkan.
- Sesekali tanah dibasi menggunakan water tank untuk mendapatkan kepadatan yang maksimal.

5.7.4 Pekerjaan Lean Concrete

1. Uraian

Pekerjaan Lean Concrete adalah pekerjaan yang dimaksudkan sebagai lapis pondasi atau lantai kerja bagi pekerjaan perkerasan kaku. Bahan yang dunakan adalah beton dengan mutu K-125 pada umur 7 hari dengan nilai slumb 8 ± 2 setebal 10 cm.

2. Peralatan

- Concrete Mixer Truck
- Vibrator
- Alat Bantu Manual

3. Pelaksanaan Pekerjaan

- Pemasangan starting cor berupa bekisting setebal Lean Concrete (10 cm).
- Concrete mixer truck mengangkut beton ready mix kemudian dihamparkan dan dirata kan secara manual oleh pekerja
- Selanjutnya digunakan vibrator untuk mencegah terjadinya penghamparan yang tidak homogen.

5.7.5 Pekerjaan Perkerasan Kaku

1. Uraian

Pekerjaan perkerasan kaku direncanakan menggunakan metode acuan gelincir (Slipform Paving method)

dengan mutu beton K-400 dengan nilai slumb maksimal 3-5 cm dan ketebalan 29 cm.

2. Peralatan
 - a. Slipform Paver SP 5000
 - b. Wheel loader
 - c. Dump Truck
 - d. Alat bantu manual
 - e. Saw Concrete Cutting
3. Pelaksanaan Pekerjaan
 - a. Tandai posisi dowel yaitu setiap jarak 4,5 m
 - b. Strake out sting line sesuai dengan elevasi rencana. Perhatikan posisi sting line agar bebas dari pekerja.
 - c. Posisikan paver pada jalur rencana
 - d. Pengaturan alat slipform SP 500 sesuai dengan lebar 3.6 mm dan tinggi 28 cm.
 - e. Beton ready mix ditungkakan ke lokasi pengecoran dan disebar secara merata dengan wheel loader dari tepi luar lokasi pengecoran
 - f. Slipform paver bergerak perlahan sambil memproses beton ready mix
 - g. Dari sisi kanan dan kiri beton dipasang tie bar secara otomatis dan juga dowel dipasang secara otomatis disetiap pergantian segmen.
 - h. Kemudian dilakukan pembentukan alur atau grooving ±30 menit setelah beton dihampar.
 - i. Semprotkan curing compound sesaat setelah grooving.
 - j. Setelah beton setting, lapisi dengan geotextile.
 - k. Selanjutnya dilakukan pemotongan beton rigid dengan alat saw concrete cutting. Proses pemotongan ini dilakukan maksimal 12 jam setelah beton diproses dengan ketebalan $\frac{1}{4}$ dari tebal beton.
 - l. Setelah minimal 7 hari pengecoran, material joint sealant diisikan pada area yang telah dicutting.

5.7.6 Pengecoran Bahu Dalam

1. Uraian

Bahu direncanakan menggunakan perkerasan kaku juga namun dilaksanakan secara manual tanpa menggunakan alat *slipform paver*.

2. Peralatan

- a. Concrete Mixer Truck
- b. Vibrator
- c. Alat Bantu Manual

3. Pelaksanaan Pekerjaan

Pelaksanaan pekerjaan pengecoran bahu dalam ini hampir sama seperti penggeraan lean Concrete

- a. Pemasangan starting cor berupa bekisting setebal perkerasan badan jalan (26 cm)
- b. Concrete mixer truck mengangkut beton ready mix kemudian dihamparkan dan diratakan secara manual oleh pekerja
- c. Selanjutnya digunakan vibrator untuk mencegah terjadinya penghamparan yang tidak homogen.
- d. Kemudian disemprotkan curing compound sesaat setelah grooving
- e. Lapisi dengan geotextile sesaat setelah setting.

5.7.7 Pekerjaan Perlengkapan Jalan

1. Pekerjaan Median Concrete barrier (MCB)

Sebagai pemisah arah dalam arus lalu-lintas di jalan tol digunakan Median Concrete barrier (MCB). Barrier adalah beton bertulang pra cetak yang mempunyai ketinggian bervariasi.

2. Pekerjaan Marka Jalan

a. Uraian

Pekerjaan ini terdiri dari pembuatan garis lurus (pembatas antara lajur lalu-lintas dengan bahu jalan) dan pembuatan garis putus-putus (pemisah lajur).

b. Peralatan

- J marka Jalan Sprayer
- c. Pelaksanaan Pekerjaan
 1. Masukkan cat thermoplastic ke dalam sprayer hingga meleleh
 2. Semprotkan cat thermoplastic diatas pemukaan jalan sesuai dengan letak, jarak dan dimensi yang telah direncanakan. Agar hasil maksimal maka lalu lintas sebaiknya ditutup sampai suhu marka jalan dingin.

BAB VI

PERENCANAAN ANGGARAN BIAYA

6.1 Analisa Kapasitas Rencana Jalan

6.1.1 Volume Pekerjaan

A. Pekerjaan Persiapan

1. Pekerjaan Kantor Sementara (Direksi Kit)

| | |
|---------|---------------------|
| Panjang | = 5 m |
| Lebar | = 5 m |
| Luas | = 25 m ² |
2. Pekerjaan Papan Nama Proyek

| | |
|--------|----------|
| Jumlah | = 1 unit |
|--------|----------|
3. Pembersihan Lapangan

| | |
|----------------------------------|------------------------|
| Panjang | = 3000 m |
| J lebar jalan | = 3.6 m x 3 x 2 arah |
| | = 21.6 m |
| J lebar bahu luar | = 3 m x 2 arah |
| | = 6 m |
| J lebar bahu dalam | = 1.5 m x 2 arah |
| | = 3 m |
| J lebar saluran | = 1.3 m x 2 arah |
| J lebar barrier + saluran tengah | = 2.8 m |
| Total lebar | = 36 m |
| Luas | = 10800 m ² |
4. Mobilisasi

| | |
|--------|-----------------|
| Jumlah | = 1 Ls (asumsi) |
|--------|-----------------|
5. Pemasangan Seng Gelombang Untuk Stock Pile (100 x 100)

| | |
|---------------|--------------|
| Panjang | = 100 m |
| Jumlah | = 4 (4 sisi) |
| Total panjang | = 400 m |

B. Pekerjaan Lapis Pondasi Bawah

Penghamparan menggunakan dengan slipform paver

1. Pekerjaan Lapis Pondasi Agregat B

| | |
|---------|----------|
| Panjang | = 2975 m |
|---------|----------|

| | |
|---|---|
| Lebar jalan | = $3,6 \text{ m} \times 3 \times 2 \text{ arah}$ |
| | = 21.6 m |
| Lebar bahu dalam | = $1.5 \text{ m} \times 2 \text{ arah}$ |
| | = 3 m |
| Lebar bahu luar | = $3 \text{ m} \times 2 \text{ arah}$ |
| | = 6 m |
| Tebal | = 0.2 m |
| Total lebar | = 30.6 m |
| Volume 1 | = 18207 m^3 |
| Volume 2 bentuk  | = $\frac{1}{2} \times 1.2\text{m} \times 0.6 \text{ m} \times 2\text{arah}$ = $0.72 \text{ m}^2 \times 2975 \text{ m}$ = 2142 m^3 |
| Volume 3 bentuk  | = $\frac{1}{2} \times 1 \text{ m} \times 0.6 \text{ m} \times 2\text{arah}$ = $0.6 \text{ m}^2 \times 2975 \text{ m}$ = 1785 m^3 |
| Volume total | = $18207 \text{ m}^3 + 1666 \text{ m}^3 + 1785 \text{ m}^3$ = 22134 m^3 |

2. Pekerjaan lean Concrete (K-125)

Panjang = 3000m –bentang jembatan sungai Watudakon

$$=3000 \text{ m} - 25\text{m}$$

$$=2975 \text{ m}$$

| | |
|------------------|--|
| Lebar jalan | = $3,6 \text{ m} \times 3 \times 2 \text{ arah}$ |
| | = 21.6 m |
| Lebar bahu dalam | = $1.5 \text{ m} \times 2 \text{ arah}$ |
| | = 3 m |
| Lebar bahu luar | = $3 \text{ m} \times 2 \text{ arah}$ |
| | = 6 m |
| Total lebar | = 30.6 m |
| Tebal | = 0.10 m |
| Volume | = 9103.5 m^3 |

C. Pekerjaan Pekerjaan Kaku

1. Pekerjaan kaku dengan Slipform Paver

 | Beton K-400 (Badan Jalan)

| | |
|--|-----------------------------------|
| Panjang = 3000 m – bentang jembatan sungai Watudakon | |
| | = 3000 m – 25m |
| | = 2975 m |
| Lebar total | = 3,6 m x 3 x 2 arah |
| | = 21,6 m |
| Tebal | = 0,26 m |
| Volume | = 16707,6 m ³ |
| J Beton K-350 (Bahu Luar) | |
| Panjang = 3000 m – bentang jembatan sungai Watudakon | |
| | = 3000 m – 25m |
| | = 2975 m |
| Lebar total | = 3 m x 2 arah |
| | = 6 m |
| Tebal | = 0,26 m |
| Volume | = 4641 m ³ |
| 2. Pekerjaan perkerasan secara manual (Bahu dalam) | |
| Panjang | = 2975 m |
| Lebar | = 1,5 m x 2 arah |
| | = 3 m |
| Tebal | = 0,26 m |
| Volume | = 2320,5 m ³ |
| 3. Pekerjaan Joint Sealant | |
| Panjang | = 15,3 m |
| Lebar | = 0,006 m |
| Tinggi | = 0,065 m |
| Volume 1 lubang | = 0,00597 m ³ |
| Jumlah cutting | = Panjang jalan : jarak sambungan |
| | = 2975 m : 4,5 m |
| | = 661 buah |
| Volume total = 611 x 0,00597 m ³ x 2 arah | |
| | = 7,9 m ³ |
| | = 7900 liter |

D. PEKERJAAN PEMBESIAN

1. Perkerjaan Pembesian Dowel /Ruji (Polos)

| | |
|--------------------------------|------------------------------|
| Diameter | = 36 mm |
| Panjang | = 450 mm |
| Volume 1 dowel | = 458044.209 mm ³ |
| Jarak sambungan | = 4.5 m |
| Jarak antar dowel | = 300 mm |
| Jumlah dowel dalam 1 cutting = | |

$$\frac{l}{j} = \frac{450}{300} = \frac{2.6+6}{4.5} = 92 \text{ buah}$$

| | |
|----------------|---------------------|
| Jumlah cutting | = $\frac{P}{J}$ |
| | = $\frac{4.5}{0.3}$ |
| | = $\frac{2}{4.5} m$ |
| | = 661 buah |

| | |
|-----------------------|-----------------|
| Total kebutuhan dowel | = 611 x 92 buah |
| | = 60822 buah |

| | |
|--------------|--|
| Volume total | = 458044.209 mm ³ x 60822 buah |
| | = 27859266120 mm ³ |
| | = 27.859 m ³ |

| | |
|------------------|--------------------------|
| Berat Jenis Baja | = 7850 kg/m ³ |
|------------------|--------------------------|

| | |
|-------------|-----------------|
| Berat Total | = 218695.239 kg |
|-------------|-----------------|

2. Pekerjaan Pembesian Tiebar

| | |
|--------------------|-----------------------------|
| Diameter | = 16 mm |
| Panjang | = 700 mm |
| Volume 1 tiebar | = 140743.35 mm ³ |
| Jarak antar tiebar | = 750 mm |

tiebar dalam 1 baris memanjang

$$\frac{P}{j} = \frac{700}{750} = \frac{2}{0.7} m = 3966.7 \text{ buah}$$

| | |
|----------------------------|--|
| Jumlah baris dalam 2 jalur | = 10 |
| Total kebutuhan tiebar | = 10×3966.7 buah |
| | = 39667 buah |
| Volume total | = $140743.35 \text{ mm}^3 \times 39667$ |
| | = 5582821533 mm^3 |
| | = 5.582 m^3 |
| Berat jenis baja | = 7850 kg/m^3 |
| Berat | = $7850 \text{ kg/m}^3 \times 5.582 \text{ m}^3$ |
| | = 43825.149 kg |

3. Pekerjaan Pemasangan Wiremesh

| | |
|--------------------------|---|
| Panjang | = 2975 m |
| Lebar total | = $3.6 \text{ m} \times 3$ |
| | = 10.8 m |
| Luas | = 32130 m^2 |
| Digunakan wiremesh M6 | |
| Luar per lembar | = $5.4 \times 2.1 \text{ m}^2$ |
| Berat per lembar | = 24.14 kg |
| Berat per m^2 | = $\frac{24.14 \text{ kg}}{5.4 \times 2.1 \text{ m}^2}$ |
| Total kebutuhan wiremesh | = $32130 \text{ m}^2 \times 2.128 \text{ kg/m}^2$ |
| | = 68396.67 kg |

A. Pekerjaan drainase

1. Pekerjaan Galian Tanah

Tabel 6. 1. Volume Pekerjaan Galian

| No | STA | | p (m) | b | h | A | V |
|-----------------------|---------------------|---|-------|-----|------|------|--------|
| Saluran Tepi | | | | | | | |
| 1 | STA 8+000 - 8+396 | a | 396 | 1,3 | 1,15 | 1,48 | 586,6 |
| 2 | STA 8+000 - 8+396 | b | 396 | 1,3 | 1,15 | 1,48 | 586,6 |
| 3 | STA8+396 - 8+576 | a | 180 | 1,0 | 0,96 | 1,0 | 180,4 |
| 4 | STA8+396 - 8+576 | b | 180 | 1,0 | 0,96 | 1,0 | 180,4 |
| 5 | STA 8+576 - 8+800 | a | 224 | 1,1 | 1,01 | 1,12 | 251,4 |
| 6 | STA 8+576 - 8+800 | b | 224 | 1,1 | 1,01 | 1,12 | 251,4 |
| 7 | STA 8+800 - 9+282 | a | 482 | 1,5 | 1,29 | 1,93 | 929,6 |
| 8 | STA 8+800 - 9+282 | b | 482 | 1,5 | 1,29 | 1,93 | 929,6 |
| 9 | STA 9+282 - 9+456 | a | 174 | 1,0 | 0,95 | 0,99 | 171,4 |
| 10 | STA 9+282 - 9+456 | b | 174 | 1,0 | 0,95 | 0,99 | 171,4 |
| 11 | STA 9+456 - 9+686 | a | 230 | 1,1 | 1,01 | 1,14 | 261,6 |
| 12 | STA 9+456 - 9+686 | b | 230 | 1,1 | 1,01 | 1,14 | 261,6 |
| 13 | STA 9+686 - 9+984 | a | 298 | 1,2 | 1,08 | 1,30 | 388,7 |
| 14 | STA 9+686 - 9+984 | b | 298 | 1,2 | 1,08 | 1,30 | 388,7 |
| 15 | STA 9+984 - 10+185 | a | 201 | 1,1 | 0,97 | 1,04 | 206,6 |
| 16 | STA 9+984 - 10+185 | b | 201 | 1,1 | 0,97 | 1,04 | 209,6 |
| 17 | STA 10+185 - 10+825 | a | 640 | 1,6 | 1,37 | 2,20 | 1408,5 |
| 18 | STA 10+185 - 10+825 | b | 640 | 1,6 | 1,37 | 2,20 | 1408,5 |
| 19 | STA 10+825 - 11+000 | a | 175 | 1,0 | 0,95 | 0,99 | 172,9 |
| 20 | STA 10+825 - 11+000 | b | 175 | 1,0 | 0,95 | 0,99 | 172,9 |
| Saluran Tengah | | | | | | | |
| 1 | STA 8+000 - 8+396 | - | 396 | 1,1 | 0,75 | 0,60 | 334,2 |
| 2 | STA8+396 - 8+576 | - | 180 | 0,9 | 0,75 | 0,60 | 124,3 |
| 3 | STA 8+576 - 8+800 | - | 224 | 1,0 | 0,75 | 0,60 | 164,03 |

| No | STA | | p (m) | b | h | A | V |
|----|---------------------|---|-------|-----|------|--------|---------|
| 4 | STA 8+800 - 9+282 | - | 482 | 0,8 | 0,75 | 0,60 | 289,2 |
| 5 | STA 9+282 - 9+456 | - | 174 | 0,8 | 0,75 | 0,60 | 104,4 |
| 6 | STA 9+456 - 9+686 | - | 230 | 0,8 | 0,75 | 0,60 | 138 |
| 7 | STA 9+686 - 9+984 | - | 298 | 0,8 | 0,75 | 0,60 | 178,8 |
| 8 | STA 9+984 - 10+185 | - | 201 | 0,8 | 0,75 | 0,60 | 120,6 |
| 9 | STA 10+185 - 10+825 | - | 640 | 0,8 | 0,75 | 0,60 | 384 |
| 10 | STA 10+825 - 11+000 | - | 175 | 0,8 | 0,75 | 0,60 | 105 |
| | | | | | | Volume | 11063,8 |

Sumber : Hasil Perhitungan

2. Pekerjaan pasangan batu kali 15/20

Tabel 6. 2. Volume Pekerjaan Pasangan Batu Kali 15/20

| No | STA | | p(m) | B | h | t | L1 | L2 | L3 | L total | |
|----|--------------------|---|------|-----|------|------|-------|------|------|---------|--------|
| 1 | STA 8+000 - 8+396 | A | 396 | 1,3 | 1,15 | 0,15 | 0,194 | 0,15 | 0,15 | 0,49 | 195,06 |
| 2 | STA 8+000 - 8+396 | B | 396 | 1,3 | 1,15 | 0,15 | 0,194 | 0,15 | 0,15 | 0,49 | 195,06 |
| 3 | STA 8+396 - 8+576 | A | 180 | 1,0 | 0,96 | 0,15 | 0,157 | 0,12 | 0,12 | 0,40 | 71,83 |
| 4 | STA 8+396 - 8+576 | B | 180 | 1,0 | 0,96 | 0,15 | 0,157 | 0,12 | 0,12 | 0,40 | 71,83 |
| 5 | STA 8+576 - 8+800 | A | 224 | 1,1 | 1,01 | 0,15 | 0,167 | 0,13 | 0,13 | 0,42 | 95,06 |
| 6 | STA 8+576 - 8+800 | B | 224 | 1,1 | 1,01 | 0,15 | 0,167 | 0,13 | 0,13 | 0,42 | 95,06 |
| 7 | STA 8+800 - 9+282 | A | 482 | 1,5 | 1,29 | 0,15 | 0,224 | 0,17 | 0,17 | 0,57 | 273,07 |
| 8 | STA 8+800 - 9+282 | B | 482 | 1,5 | 1,29 | 0,15 | 0,224 | 0,17 | 0,17 | 0,57 | 273,07 |
| 9 | STA 9+282 - 9+456 | A | 174 | 1,0 | 0,95 | 0,15 | 0,156 | 0,12 | 0,12 | 0,40 | 98,32 |
| 10 | STA 9+282 - 9+456 | B | 174 | 1,0 | 0,95 | 0,15 | 0,156 | 0,12 | 0,12 | 0,40 | 98,32 |
| 11 | STA 9+456 - 9+686 | A | 230 | 1,1 | 1,01 | 0,15 | 0,168 | 0,13 | 0,13 | 0,43 | 137,13 |
| 12 | STA 9+456 - 9+686 | B | 230 | 1,1 | 1,01 | 0,15 | 0,168 | 0,13 | 0,13 | 0,43 | 137,13 |
| 13 | STA 9+686 - 9+984 | A | 298 | 1,2 | 1,08 | 0,15 | 0,181 | 0,14 | 0,14 | 0,46 | 137,13 |
| 14 | STA 9+686 - 9+984 | B | 298 | 1,2 | 1,08 | 0,15 | 0,181 | 0,14 | 0,14 | 0,46 | 137,13 |
| 15 | STA 9+984 - 10+185 | A | 201 | 1,1 | 0,97 | 0,15 | 0,161 | 0,12 | 0,12 | 0,41 | 81,97 |
| 16 | STA 9+984 - 10+185 | B | 201 | 1,1 | 0,97 | 0,15 | 0,161 | 0,12 | 0,12 | 0,41 | 81,97 |

| No | STA | | p(m) | B | h | t | L1 | L2 | L3 | L total | |
|----|---------------------|---|------|-----|------|------|-------|------|------|---------|----------------|
| 17 | STA 10+185 - 10+825 | A | 640 | 1,6 | 1,37 | 0,15 | 0,241 | 0,18 | 0,18 | 0,61 | 388,66 |
| 18 | STA 10+185 - 10+825 | B | 640 | 1,6 | 1,37 | 0,15 | 0,241 | 0,18 | 0,18 | 0,61 | 388,66 |
| 19 | STA 10+825 - 11+000 | A | 175 | 1,0 | 0.95 | 0,15 | 0,156 | 0,12 | 0,12 | 0,40 | 69,30 |
| 20 | STA 10+825 - 11+000 | B | 175 | 1,0 | 0.95 | 0,15 | 0,156 | 0,12 | 0,12 | 0,40 | 69,30 |
| | | | | | | | | | | | Volume 2958,41 |

Sumber : Hasil Perhitungan

3. Pekerjaan plesteran

Tabel 6. 3. Volume Pekerjaan Plesteran

| No | STA | | p(m) | b | H | $t_{plesteran}$ | t | L1 | L2 | L3 | L4 | L5 | Luas total | Volume total |
|---------------------|-------------------------|---|------|------|---|-----------------|-------|---------|---------|-------|-------|-------|------------|--------------|
| Saluran Tepi | | | | | | | | | | | | | | |
| 1 | STA 8+000 - 8+396 | a | 396 | 0,99 | 1 | 0,15 | 0,015 | 0,00225 | 0,00225 | 0,015 | 0,015 | 0,015 | 0,05 | 19,60 |
| 2 | STA 8+000 - 8+396 | b | 396 | 0,99 | 1 | 0,15 | 0,015 | 0,00225 | 0,00225 | 0,015 | 0,015 | 0,015 | 0,05 | 19,60 |
| 3 | STA8+396 - 8+576 | a | 180 | 0,75 | 1 | 0,15 | 0,015 | 0,00225 | 0,00225 | 0,015 | 0,012 | 0,015 | 0,05 | 8,91 |
| 4 | STA8+396 - 8+576 | b | 180 | 0,75 | 1 | 0,15 | 0,015 | 0,00225 | 0,00225 | 0,015 | 0,012 | 0,015 | 0,05 | 8,91 |
| 5 | STA 8+576 - 8+800 | a | 224 | 0,81 | 1 | 0,15 | 0,015 | 0,00225 | 0,00225 | 0,015 | 0,013 | 0,015 | 0,05 | 11,09 |
| 6 | STA 8+576 - 8+800 | b | 224 | 0,81 | 1 | 0,15 | 0,015 | 0,00225 | 0,00225 | 0,015 | 0,013 | 0,015 | 0,05 | 11,09 |
| 7 | STA 8+800 - 9+282 | a | 482 | 1,19 | 1 | 0,15 | 0,015 | 0,00225 | 0,00225 | 0,015 | 0,017 | 0,015 | 0,05 | 23,86 |

| No | STA | | p(m) | b | H | $t_{plesteran}$ | t | L1 | L2 | L3 | L4 | L5 | Luas total | Volume total |
|----|-------------------------|---|------|------|---|-----------------|-------|---------|---------|-------|-------|-------|------------|--------------|
| 8 | STA 8+800 - 9+282 | b | 482 | 1,19 | 1 | 0,15 | 0,015 | 0,00225 | 0,00225 | 0,015 | 0,017 | 0,015 | 0,05 | 23,86 |
| 9 | STA 9+282 - 9+456 | a | 174 | 0,74 | 1 | 0,15 | 0,015 | 0,00225 | 0,00225 | 0,015 | 0,012 | 0,015 | 0,05 | 8,61 |
| 10 | STA 9+282 - 9+456 | b | 174 | 0,74 | 1 | 0,15 | 0,015 | 0,00225 | 0,00225 | 0,015 | 0,012 | 0,015 | 0,05 | 8,61 |
| 11 | STA 9+456 - 9+686 | a | 230 | 0,82 | 1 | 0,15 | 0,015 | 0,00225 | 0,00225 | 0,015 | 0,013 | 0,015 | 0,05 | 11,39 |
| 12 | STA 9+456 - 9+686 | b | 230 | 0,82 | 1 | 0,15 | 0,015 | 0,00225 | 0,00225 | 0,015 | 0,013 | 0,015 | 0,05 | 11,39 |
| 13 | STA 9+686 - 9+984 | a | 298 | 0,91 | 1 | 0,15 | 0,015 | 0,00225 | 0,00225 | 0,015 | 0,014 | 0,015 | 0,05 | 14,75 |
| 14 | STA 9+686 - 9+984 | b | 298 | 0,91 | 1 | 0,15 | 0,015 | 0,00225 | 0,00225 | 0,015 | 0,014 | 0,015 | 0,05 | 14,75 |
| 15 | STA | a | 201 | 0,77 | 1 | 0,15 | 0,015 | 0,00225 | 0,00225 | 0,015 | 0,012 | 0,015 | 0,05 | 9,95 |

| No | STA | | p(m) | b | H | $t_{plesteran}$ | t | L1 | L2 | L3 | L4 | L5 | Luas total | Volume total |
|-----------------------|---------------------------|---|------|------|------|-----------------|-------|---------|---------|---------|---------|--------|------------|--------------|
| | 9+984 - 10+185 | | | | | | | | | | | | | |
| 16 | STA 9+984 - 10+185 | b | 201 | 0,77 | 1 | 0,15 | 0,015 | 0,00225 | 0,00225 | 0,015 | 0,012 | 0,015 | 0,05 | 9,95 |
| 17 | STA 10+185 - 10+825 | a | 640 | 1,30 | 1 | 0,15 | 0,015 | 0,00225 | 0,00225 | 0,015 | 0,013 | 0,015 | 0,05 | 31,68 |
| 18 | STA 10+185 - 10+825 | b | 640 | 1,30 | 1 | 0,15 | 0,015 | 0,00225 | 0,00225 | 0,015 | 0,013 | 0,015 | 0,05 | 31,68 |
| 19 | STA 10+825 - 11+000 | a | 175 | 0,74 | 1 | 0,15 | 0,015 | 0,00225 | 0,00225 | 0,015 | 0,014 | 0,015 | 0,05 | 8,66 |
| 20 | STA 10+825 - 11+000 | b | 175 | 0,74 | 1 | 0,15 | 0,015 | 0,00225 | 0,00225 | 0,015 | 0,014 | 0,015 | 0,05 | 8,66 |
| Saluran Tengah | | | | | | | | | | | | | | |
| 1 | STA 8+000 - 8+396 | - | 396 | 0,83 | 0,87 | 0,15 | 0,015 | 0,01238 | 0,00225 | 0,00905 | 0,00905 | 0,0075 | 0,04 | 14,00 |
| 2 | STA8+396 | - | 180 | 0,62 | 0,70 | 0,15 | 0,015 | 0,00931 | 0,00225 | 0,00905 | 0,00905 | 0,0075 | 0,04 | 6,36 |

| No | STA | | p(m) | b | H | $t_{plesteran}$ | t | L1 | L2 | L3 | L4 | L5 | Luas total | Volume total |
|----|---------------------------|---|------|------|------|-----------------|-------|---------|---------|---------|---------|--------|------------|--------------|
| | - 8+576 | | | | | | | | | | | | | |
| 3 | STA 8+576 - 8+800 | - | 224 | 0,68 | 0,75 | 0,15 | 0,015 | 0,01015 | 0,00225 | 0,00905 | 0,00905 | 0,0075 | 0,04 | 7,92 |
| 4 | STA 8+800 - 9+282 | - | 482 | 0,87 | 0,91 | 0,15 | 0,015 | 0,01312 | 0,00225 | 0,00905 | 0,00905 | 0,0075 | 0,04 | 17,04 |
| 5 | STA 9+282 - 9+456 | - | 174 | 0,61 | 0,70 | 0,15 | 0,015 | 0,00919 | 0,00225 | 0,00905 | 0,00905 | 0,0075 | 0,04 | 6,15 |
| 6 | STA 9+456 - 9+686 | - | 230 | 0,67 | 0,74 | 0,15 | 0,015 | 0,00999 | 0,00225 | 0,00905 | 0,00905 | 0,0075 | 0,04 | 8,13 |
| 7 | STA 9+686 - 9+984 | - | 298 | 0,73 | 0,80 | 0,15 | 0,015 | 0,01101 | 0,00225 | 0,00905 | 0,00905 | 0,0075 | 0,04 | 10,54 |
| 8 | STA 9+984 - 10+185 | - | 201 | 0,65 | 0,73 | 0,15 | 0,015 | 0,0097 | 0,00225 | 0,00905 | 0,00905 | 0,0075 | 0,04 | 7,11 |
| 9 | STA 10+185 - 10+825 | - | 640 | 0,97 | 0,98 | 0,15 | 0,015 | 0,01456 | 0,00225 | 0,00905 | 0,00905 | 0,0075 | 0,04 | 22,63 |

| No | STA | | p(m) | b | H | $t_{plesteran}$ | t | L1 | L2 | L3 | L4 | L5 | Luas total | Volume total |
|----|---------------------------|---|------|------|------|-----------------|-------|---------|---------|---------|---------|--------|------------|---------------|
| 10 | STA 10+825 - 11+000 | - | 175 | 0,61 | 0,70 | 0,15 | 0,015 | 0,00921 | 0,00225 | 0,00905 | 0,00905 | 0,0075 | 0,04 | 6,19 |
| | | | | | | | | | | | | | Volume | 403,07 |

Sumber : Hasil Perhitungan

E. Pekerjaan perlengkapan jalan

1. Pekerjaan Pembuatan Marka Jalan

a. Garis Lurus

| | |
|----------------------|--------------|
| Panjang | = 3000 m |
| Lebar | = 0.12 m |
| Tebal | = 0.002 m |
| Jumlah dalam 2 lajur | = 4 buah |
| Total panjang | = 4 x 3000 m |
| | = 1200 m |

b. Garis Putus – Putus

| | |
|----------------------------|--|
| Panjang | = 5 m |
| Lebar | = 0.12 m |
| Tebal | = 0.002 m |
| Jarak antar marka | = 8 m |
| Jumlah garis dalam 2 jalur | = $(3000 \text{ m} : (8\text{m}+5\text{m})) \times 2 \text{ arah}$ |
| Total panjang | = $462 \times 5 \text{ m}$ |
| | = 2308 m |

Jumlah total panjang marka jalan

$$\begin{aligned}
 &= \text{Garis lurus} + \text{Garis putus - putus} \\
 &= 1200 \text{ m} + 2308 \text{ m} \\
 &= 14308 \text{ m}
 \end{aligned}$$

2. Median Concrete Barrier

| | |
|-------------------|----------|
| Panjang jalan | = 3000 m |
| Panjang 1 barrier | = 1m |
| Kebutuhan barrier | = 3000 m |

B. Pekerjaan Finishing

1. Demobilisasi = 1 Ls (asumsi)

Rencana Anggaran Biaya Pembangunan

Tabel 6. 4. Rekapitulasi Rencana Anggaran Biaya

| No | Item Pekerjaan | Satuan | Kuantitas | Harga dasar | Jumlah harga |
|------------|---|--------|-----------|---------------|-------------------|
| I | Pekerjaan Persiapan | | | | |
| 1 | Pembuatan Direksi Kit | m2 | 25 | 1.623.728,50 | 40.593.212,50 |
| 2 | Pembuatan Papan Nama Proyek | unit | 1 | 1.044.212,75 | 1.044.212,75 |
| 3 | Pembersihan Lapangan | m2 | 108000 | 15.000,00 | 1.620.000.000,00 |
| 4 | Mobilisasi (asumsi) | Ls | 1 | 10.000.000,00 | 10.000.000,00 |
| 5 | Pemasangan Seng Gelombang 2 m untuk stockpile | m | 400 | 653.475,60 | 261.390.240,00 |
| II | Pekerjaan Pondasi Bawah | | | | |
| 1 | Pekerjaan Lapis Agregat B | m3 | 22134 | 747.393,18 | 16.542.800.646,12 |
| 2 | Pekerjaan Lean Concrete | m3 | 9103,5 | 1.072.392,54 | 9.762.525.487,89 |
| III | Pekerjaan Perkerasan Kaku | | | | |
| 1 | Pekerjaan perkerasan Kaku dengan Mesin Paver | m3 | 18635,4 | 1.822.086,55 | 33.955.311.693,87 |

| No | Item Pekerjaan | Satuan | Kuantitas | Harga dasar | Jumlah harga |
|------------|--|--------|------------|--------------|------------------|
| 2 | pekerjaan perkerasan kaku dengan manual (bahu dalam) | m3 | 2588,25 | 1.782.432,32 | 4.613.380.452,24 |
| 3 | Pekerjaan beton k-350 (bahu luar) | m3 | 4641 | 1.314.613,94 | 6.101.123.295,54 |
| 4 | Pekerjaan Joint Sealant | | 8800,05 | 32.114,78 | 282.611.669,74 |
| V | Pekerjaan Pembesian | | | | |
| 1 | Pekerjaan Dowel (Besi Polos) | | 218695,239 | 15.385,85 | 3.364.812.143,61 |
| 2 | Pekerjaan Tie Bar (Besi Ulir) | | 68396,67 | 15.910,85 | 1.088.249.103,83 |
| 3 | Pekerjaan Pemasangan Wiremesh | | 32130 | 18.589,50 | 597.280.635,00 |
| VI | Pekerjaan Drainase | | | | |
| 1 | Pekerjaan Galian Tanah | m3 | 10778,5 | 19.396,93 | 209.070.355,78 |
| 2 | Pekerjaan Pasangan Batu | m3 | 3873,2 | 937.167,25 | 3.629.834.366,66 |
| 3 | Pekerjaan Plesteran | m3 | 403,07 | 68.378,00 | 27.561.107,14 |
| VII | Pekerjaan Perlengkapan Jalan | | | | |
| 1 | Pekerjaan Marka Jalan | m2 | 14307,692 | 27.504,50 | 393.525.923,08 |
| 2 | Pekerjaan Median Concrete Barrier | unit | 3000 | 1.500.000,00 | 4.500.000.000,00 |

| No | Item Pekerjaan | Satuan | Kuantitas | Harga dasar | Jumlah harga |
|-------------|----------------------------|--------|-----------|---------------|--------------------------|
| VIII | Pekerjaan Finishing | | | | |
| 1 | Demobilisasi | LS | 1 | 10.000.000,00 | 10.000.000,00 |
| | JUMLAH | | | | 87.011.114.545,76 |

6.1.2 HSPK Mojokerto 2017

Jenis Pekerjaan : Persiapan (**Pembuatan Direksi KIT**)

Satuan m²

Tabel 6. 5. HSPK Mojokerto 2016 Pekerjaan Direksi KIT

| No | Komponen | Sat | Koef. | Harga Satuan (Rp) | Jumlah Harga (Rp) |
|----|--------------------------------------|-------|----------------|-------------------|-------------------|
| A | UPAH | | | | |
| | Mandor | 0,05 | O.H | 130.000 | 6.500 |
| | Kepala Tukang | 0,30 | O.H | 110.000 | 33.000 |
| | Tukang Kayu | 2,00 | O.H | 100.000 | 200.000 |
| | Tukang Batu | 1,00 | O.H | 100.000 | 100.000 |
| | Pekerja | 2,00 | O.H | 85.000 | 170.000 |
| | | | | Jumlah | 509.500 |
| B | BAHAN | | | | |
| | Dolken Kayu Gelam 8- 10/400 cm | 1.250 | Batang | 23.900 | 29.875 |
| | Kayu Meranti 5/7 | 0,180 | m ³ | 5.740.300 | 1.033.254 |
| | Paku Biasa 2"- 5" | 0,080 | Kg | 21.000 | 1.680 |
| | Besi Plat Strip | 1,100 | Kg | 13.500 | 14.850 |
| | Semen Portland | 35,00 | Kg | 1.937,50 | 67.812 |

| No | Komponen | Sat | Koef. | Harga Satuan (Rp) | Jumlah Harga (Rp) |
|----|--------------------------|-------|----------------|-------------------|---------------------|
| | Pasir Pasang | 0,150 | m ³ | 223.450 | 33.517,50 |
| | Pasir Beton | 0,100 | m ³ | 236.400 | 23.640 |
| | Koral Beton | 0,150 | m ³ | 245.400 | 36.810 |
| | Bata Merah | 30,00 | Buah | 950 | 28.500 |
| | Seng Plat | 0,250 | Lembar | 50.750 | 12.687,50 |
| | Jendela Nako | 0,200 | Daun | 25.850 | 5.170 |
| | Kaca Polos Tebal 3 mm | 0,080 | m ² | 112.150 | 8.972 |
| | Kunci Tanam Biasa | 0,150 | Buah | 74.400 | 11.160 |
| | Plywood 4 mm | 0,060 | Lembar | 126.350 | 7.581 |
| | | | | Jumlah : | 1.315.509,50 |
| | | | | Nilai HSPK | 1.825.009,50 |

Jenis Pekerjaan : Persiapan (**Papan Nama Proyek**)

Satuan m²

Tabel 6. HSPK Mojokerto 2016 Pekerjaan Papa Nama Proyek

| No | Komponen | Sat | Koef. | Harga Satuan (Rp) | Jumlah Harga (Rp) |
|----|----------------|--------|----------------|-------------------|-------------------|
| A | UPAH | | | | |
| | Pekerja | 0,630 | O.H | 85.000 | 53.550 |
| | Tukang Kayu | 1,000 | O.H | 100.000 | 100.000 |
| | Tukang Cat | 0,500 | O.H | 100.000 | 50.000 |
| | Kepala Tukang | 0,100 | O.H | 110.000 | 11.000 |
| | Mandor | 0,100 | O.H | 130.000 | 13.000 |
| | | | | Jumlah | 227.550 |
| B | BAHAN | | | | |
| | Kayu Papan | 0,0250 | m ³ | 6.415.650 | 160.391,25 |
| | Kayu Balok | 0,090 | m ³ | 5.132.500 | 461.925 |
| | Paku 4-7 cm | 0,600 | Kg | 21.000 | 12.600 |
| | Cat memi | 0,750 | Kg | 54.250 | 40.687,50 |
| | Plamir kayu | 0,300 | Kg | 36.600 | 10.980 |
| | Amplas Kayu | 2,000 | Lbr | 4.800 | 9,600 |
| | Kuas cat | 0,200 | Bh | 11.650 | 2.330 |
| | Cat kayu | 0,400 | Kg | 77.500 | 31.000 |
| | Semen portland | 25.00 | Kg | 1.937,50 | 48.437,50 |
| | Pasir betom | 0,060 | m ³ | 236.400 | 14.184 |

| No | Komponen | Sat | Koef. | Harga Satuan (Rp) | Jumlah (Rp) |
|----|----------------------------|-------|-------------------|----------------------|---------------------|
| | Batu split pecah mesin 3/5 | 0,100 | m ³ | 245.400 | 24,540 |
| | | | | Jumlah : | 816.675,25 |
| | | | Nilai HSPK | | 1.044.225,25 |

Jenis Pekerjaan : Persiapan (**Pembersihan Lapangan**)
Satuan m²

Tabel 6. 7. HSPK Mojokerto 2016 Pekerjaan Lapangan

| No | Komponen | Sat | Koef. | Harga Satuan (Rp) | Jumlah Harga (Rp) |
|----|----------|-------|-------|----------------------|-------------------------|
| A | UPAH | | | | |
| | Pekerja | 0,050 | O.H | 130.000 | 6.500 |
| | Mandor | 0,100 | O.H | 85..000 | 8.500 |
| | | | | Jumlah | 15.000 |
| | | | | Nilai HSPK | 15.000.000 |

Jenis Pekerjaan : Persiapan (**Mobilisasi**)
Satuan m²

Tabel 6. 8. HSPK Mojokerto 2016 Pekerjaan Mobilisasi

| No | Komponen | Sat | Koef. | Harga Satuan (Rp) | Jumlah Harga (Rp) |
|----|------------|-----|-------|----------------------|-------------------------|
| | Mobilisasi | - | - | - | 10.000.000 |
| | | | | Jumlah : | 10.000.000 |
| | | | | Nilai HSPK | 10.000.000 |

Jenis Pekerjaan : Persiapan (**Pemasangan Seng Gelombang
2 m untuk Stock Pile**)

Satuan m^2

Tabel 6. 9. HSPK Mojokerto 2016 Pekerjaan Pemasangan Seng Gelombang 2 m untuk Strock Pile)

| No | Komponen | Sat | Koef. | Harga Satuan (Rp) | Jumlah Harga (Rp) |
|----|--------------------------------------|-------|--------|-------------------|-------------------|
| A | UPAH | | | | |
| | Pekerja | 0,630 | O.H | 85.000 | 17.000 |
| | Tukang Kayu | 0,400 | O.H | 100.000 | 40.000 |
| | Kepala Tukang | 0,020 | O.H | 110.000 | 2.200 |
| | Mandor | 0,020 | O.H | 130.000 | 2.600 |
| | | | | Jumlah | 61.800 |
| B | BAHAN | | | | |
| | Dolken Kayu Gelam 8- 10/400 cm | 1,250 | Batang | 23.900 | 29.875.000 |
| | Semen Portland | 2.500 | Kg | 1.937,50 | 4.843,75 |
| | Seng Gelombag | 1.200 | Lembar | 78.950 | 94.740.000 |
| | Pasir Beton | 0,005 | m^3 | 236.400 | 1.182 |
| | Kerikil Beton | 0,009 | m^3 | 245.400 | 2.208,60 |
| | Kayu meranti 5/7 | 0,072 | m^3 | 5.740.300 | 413.301,60 |
| | Paku biasa 2"- | 0,060 | Kg | 21.000 | 1.260 |

| No | Komponen | Sat | Koef. | Harga Satuan (Rp) | Jumlah Harga (Rp) |
|-------------------|-----------|-------|-------|-------------------|-------------------|
| | 5" | | | | |
| | Memi besi | 0,450 | Kg | 54.250 | 24.412,50 |
| | | | | Jumlah : | 571.823,45 |
| Nilai HSPK | | | | 633.623,45 | |

Jenis Pekerjaan : Pondasi Bawah (**Lapis Agregat B**)
Satuan m^2

Tabel 6. 10. HSPK Mojokerto 2016 Pekerjaan Lapisan Agregat B

| No | Komponen | Sat | Koef. | Harga Satuan (Rp) | Jumlah Harga (Rp) |
|----|--------------|--------|-------|-------------------|-------------------|
| A | UPAH | | | | |
| | Pekerja | 0,0085 | O.H | 85.000 | 722,09 |
| | Mandor | 0,0012 | O.H | 130.000 | 157,77 |
| | | | | Jumlah | 879,86 |
| B | BAHAN | | | | |
| | Agregat B | 1.2586 | m^3 | 279.891,84 | 352.274,47 |
| C | ALAT | | | | |
| | Wheel Loader | 0,0085 | Jam | 579.263,86 | 4.920,97 |
| | Dump Truck | 1.1117 | Jam | 336.248,16 | 373.792,74 |

| No | Komponen | Sat | Koef. | Harga Satuan (Rp) | Jumlah (Rp) |
|----|---------------|--------|-------|----------------------|-------------------|
| | Motor Grader | 0,0094 | Jam | 716.346,34 | 6.712,75 |
| | Tandem Roller | 0,0107 | Jam | 372.124,41 | 3.985,27 |
| | Water Tanker | 0,0141 | Jam | 343.415,25 | 4.827,12 |
| | | | | Jumlah : | 394.238,85 |
| | | | | Nilai HSPK | 747.393,18 |

Jenis Pekerjaan : Pondasi Bawah (*Lean Concrete*)

Satuan m^2

Tabel 6. 11. HSPK Mojokerto 2016 Pekerjaan *Lean Concrete*

| No | Komponen | Sat | Koef. | Harga Satuan (Rp) | Jumlah (Rp) |
|----|----------------|-------|-------|----------------------|----------------|
| A | UPAH | | | | |
| | Pekerja | 1,650 | O.H | 85.000 | 140.250 |
| | Mandor | 0,083 | O.H | 130.000 | 10.790 |
| | Kepala Tukang | 0,028 | O.H | 110.000 | 3.080 |
| | Tukang Batu | 0,275 | O.H | 100.000 | 27.500 |
| | | | | Jumlah | 181.620 |
| B | BAHAN | | | | |
| | Semen Portland | 276 | Kg | 1.937,50 | 534.750 |

| No | Komponen | Sat | Koef. | Harga Satuan (Rp) | Jumlah Harga (Rp) |
|----|-------------|--------|-------|-------------------|---------------------|
| | Pasir Beton | 0,5914 | m^3 | 236.400 | 139.813,58 |
| | Kerikil | 0,750 | m^3 | 245.400 | 183.958,96 |
| | Air Tawar | 215 | Liter | 150 | 32.250 |
| | | | | Jumlah : | 898.772,54 |
| | | | | Nilai HSPK | 1.072.382,54 |

Jenis Pekerjaan : Perkerasan Kaku dengan Paver
(Beton K-400 , Badan Jalan)

Satuan m^2

Tabel 6. 12. HSPK Mojokerto 2016 Pekerjaan Beton K-400 untuk Badan Jalan

| No | Komponen | Sat | Koef. | Harga Satuan (Rp) | Jumlah Harga (Rp) |
|----|---------------------|-------|-------|-------------------|-------------------|
| A | UPAH | | | | |
| | Mandor | 0,084 | O.H | 130.000 | 10.920 |
| | Kepala Tukang | 0,035 | O.H | 110.000 | 3.850 |
| | Tukang | 0,035 | O.H | 100.000 | 3.500 |
| | Pekerja | 2,100 | O.H | 85.000 | 178.500 |
| | Operator Alat Berat | 0,035 | O.H | 110.000 | 3.850 |

| No | Komponen | Sat | Koef. | Harga Satuan (Rp) | Jumlah Harga (Rp) |
|----------|-------------------|--------|----------------|-------------------|---------------------|
| | Pembantu Operator | 0,010 | O.H | 85.000 | 850 |
| | | | | Jumlah | 201.470 |
| B | BAHAN | | | | |
| | Semen Portland | 595,34 | Kg | 1.937,50 | 1.153.173,58 |
| | Pasir Beton | 0,5024 | m ³ | 236.400 | 118.767,36 |
| | Kerikil | 0,744 | m ³ | 245.400 | 182.577,60 |
| | Air Tawar | 215 | Liter | 150 | 32.250 |
| | | | | Jumlah : | 1.486.768,54 |
| C | ALAT | | | | |
| | Wheel Loader | Jam | 0,0578 | 579.263,86 | 33.481,45 |
| | Mesin Paver | Jam | 0,114 | 637.808,89 | 72.710,21 |
| | Dump Truck | Jam | 0,082 | 336.248,16 | 27.572,35 |
| | Alat Bantu Manual | Jam | 0,0168 | 5.000 | 84. |
| | | | | Jumlah : | 133.848,01 |
| | | | | Nilai HSPK | 1.072.382,54 |

Jenis Pekerjaan : Perkerasan Kaku dengan Manual
(Beton K-400 , Bahu Dalam)

Satuan m²

Tabel 6. 13. HSPK Mojokerto 2016 Pekerjaan Beton K-400 untuk
 Bahu Dalam

| No | Komponen | Sat | Koef. | Harga Satuan (Rp) | Jumlah Harga (Rp) |
|----|-------------------|--------|----------------|-------------------|---------------------|
| A | UPAH | | | | |
| | Pekerja | 2,100 | O.H | 85.000 | 178.500 |
| | Mandor | 0,084 | O.H | 130.000 | 10.920 |
| | Kepala Tukang | 0,035 | O.H | 110.000 | 3.850 |
| | Tukang | 0,035 | O.H | 100.000 | 3.500 |
| | | | | Jumlah | 196.770 |
| B | BAHAN | | | | |
| | Semen Portland | 595,34 | Kg | 1.937,50 | 1.153.173,58 |
| | Pasir Beton | 0,5024 | m ³ | 236.400 | 118.767,36 |
| | Kerikil | 0,744 | m ³ | 245.400 | 182.577,60 |
| | Air Tawar | 215 | Liter | 150 | 32.250 |
| | | | | Jumlah : | 1.486.768,54 |
| C | ALAT | | | | |
| | Concrete Vibrator | 0,0578 | Jam | 51.650 | 2.985,38 |
| | Truck Mixer | 0,1162 | Jam | 824.650,57 | 95.824,40 |

| No | Komponen | Sat | Koef. | Harga Satuan (Rp) | Jumlah Harga (Rp) |
|----|-------------------|--------|-------------------|-------------------|---------------------|
| | Alat Bantu Manual | 0,0168 | Jam | 5.000 | 84 |
| | | | | Jumlah : | 98.893,78 |
| | | | Nilai HSPK | | 1.782.432,32 |

Jenis Pekerjaan : Perkerasan *Joint Sealant*
Satuan m²

Tabel 6. 14. HSPK Mojokerto 2016 Pekerjaan *Joint Sealant*

| No | Komponen | Sat | Koef. | Harga Satuan (Rp) | Jumlah Harga (Rp) |
|----|------------------------|--------|-------|-------------------|-------------------|
| A | UPAH | | | | |
| | Pekerja | 0,0763 | O.H | 85.000 | 6.477 |
| | Mandor | 0,0152 | O.H | 130.000 | 1.976 |
| | | | | Jumlah | 8.453 |
| B | BAHAN | | | | |
| | Aspal | 1,061 | Kg | 12.000 | 12.730,80 |
| C | ALAT | | | | |
| | Compresor | 0,0476 | Jam | 244.642,53 | 10.692,98 |
| | Sewa alat bsntu (3ser) | 0,0476 | Jam | 5.000 | 238 |

| No | Komponen | Sat | Koef. | Harga Satuan (Rp) | Jumlah Harga (Rp) |
|----|----------|-----|-------------------|----------------------|----------------------|
| | | | | Jumlah : | 10.930,98 |
| | | | Nilai HSPK | | 32.114,78 |

Jenis Pekerjaan : Pembesian (**Dowel, Polos**)
Satuan m²

Tabel 6. 15. HSPK Mojokerto 2016 Pekerjaan *Dowel* Menggunakan Tulangan Polos

| No | Komponen | Sat | Koef. | Harga Satuan (Rp) | Jumlah Harga (Rp) |
|----|------------------|--------|-------------------|----------------------|----------------------|
| A | UPAH | | | | |
| | Pekerja | 0,0070 | O.H | 85.000 | 595.000 |
| | Mandor | 0,0004 | O.H | 130.000 | 52 |
| | Kepala Tukang | 0,0007 | O.H | 110.000 | 77 |
| | Tukang Besi | 0,0070 | O.H | 100.000 | 700 |
| | | | | Jumlah | 1.424 |
| B | BAHAN | | | | |
| | Besi Beton Polos | 1,05 | Kg | 13.050 | 13.702 |
| | Kawat Beton | 0,015 | Kg | 17.290 | 259,35 |
| | | | | Jumlah : | 13.961,85 |
| | | | Nilai HSPK | | 15.385,85 |

Jenis Pekerjaan : Pembesian (**Tiebar, Ulir**)
 Satuan m^2

Tabel 6. 16. HSPK Mojokerto 2016 Pekerjaan *Tiebar* menggunakan Tulangan Ulir

| No | Komponen | Sat | Koef. | Harga Satuan (Rp) | Jumlah (Rp) |
|----|-----------------|--------|-------|----------------------|------------------|
| A | UPAH | | | | |
| | Pekerja | 0,0070 | O.H | 85.000 | 595.000 |
| | Mandor | 0,0004 | O.H | 130.000 | 52 |
| | Kepala Tukang | 0,0007 | O.H | 110.000 | 77 |
| | Tukang Besi | 0,0070 | O.H | 100.000 | 700 |
| | | | | Jumlah | 1.424 |
| B | BAHAN | | | | |
| | Besi Beton Ulir | 1,05 | Kg | 13.550 | 14.227,50 |
| | Kawat Beton | 0,015 | Kg | 17.290 | 259,35 |
| | | | | Jumlah : | 14,486,85 |
| | | | | Nilai HSPK | 15.910,85 |

Jenis Pekerjaan : Pembesian (**Wiremesh**)

Satuan m²

Tabel 6. 17. HSPK Mojokerto 2016 Pekerjaan *Wiremesh*

| No | Komponen | Sat | Koef. | Harga Satuan (Rp) | Jumlah Harga (Rp) |
|----|---------------------|--------|-------|-------------------|-------------------|
| A | UPAH | | | | |
| | Pekerja | 0,0250 | O.H | 85.000 | 2.125 |
| | Mandor | 0,001 | O.H | 130.000 | 130 |
| | Kepala Tukang | 0,002 | O.H | 110.000 | 220 |
| | Tukang Besi | 0,0250 | O.H | 100.000 | 2.500 |
| | | | | Jumlah | 4.975 |
| B | BAHAN | | | | |
| | Jaringan Kawat Baja | 1,020 | Kg | 12.500 | 12.750 |
| | Kawat Beton | 0,050 | Kg | 17.290 | 864,50 |
| | | | | Jumlah : | 18.589,50 |
| | Nilai HSPK | | | | 15.910,85 |

Jenis Pekerjaan : Drainase
(Galian dan Pemimbunan Tanah Biasa)

Satuan m²

Tabel 6. 18. HSPK Mojokerto 2016 Pekerjaan Galian dan Penimbunan Tanah Biasa

| No | Komponen | Sat | Koef. | Harga Satuan (Rp) | Jumlah Harga (Rp) |
|----|------------|--------|-------|-------------------|-------------------|
| A | UPAH | | | | |
| | Pekerja | 0,0037 | O.H | 85.000 | 314,50 |
| | Mandor | 0,0073 | O.H | 130.000 | 949 |
| | | | | Jumlah | 1.263,50 |
| B | ALAT | | | | |
| | Excavator | 0.0256 | Jam | 708.337,30 | 18.133,43 |
| | Dump Truck | 0.3344 | Jam | 336.246,16 | |
| | | | | Jumlah : | 18.133,43 |
| | | | | Nilai HSPK | 19.396,93 |

Jenis Pekerjaan : Drainase

(Batu Kali Belah 15/20 (1pc:1pp))

Satuan m²

Tabel 6. 19. HSPK Mojokerto 2016 Pekerjaan Batu Kali Belah 15/20
(1pc:1pp)

| No | Komponen | Sat | Koef. | Harga Satuan (Rp) | Jumlah Harga (Rp) |
|-------------------|-----------------------------|--------|----------------|-------------------|-------------------|
| A | UPAH | | | | |
| | Pekerja | 1,50 | O.H | 85.000 | 127.500 |
| | Mandor | 0,075 | O.H | 130.000 | 9.750 |
| | Kepala Tukang | 0,075 | O.H | 110.000 | 8.250 |
| | Tukang Batu | 0,750 | O.H | 100.000 | 75.000 |
| | | | | Jumlah | 220.500 |
| B | BAHAN | | | | |
| | Semen Portland | 10.224 | Kg | 1.937,50 | 18.133,43 |
| | Pasir pasang | 0,485 | m ³ | 223.450 | 108.373,23 |
| | Batu Kali Pecah 15/20 cm | 1,200 | m ³ | 180.850 | 217.020 |
| | | | | Jumlah : | 716.768,25 |
| Nilai HSPK | | | | | 937.268,25 |

Jenis Pekerjaan : Drainase
(Plesteran (1pc:1ps Tebal 15 mm))

Satuan m²

Tabel 6. 20. HSPK Mojokerto 2016 Pekerjaan Plesteran (1pc:1ps Tebal 15mm)

| No | Komponen | Sat | Koef. | Harga Satuan (Rp) | Jumlah Harga (Rp) |
|----|----------------|--------|----------------|-------------------|-------------------|
| A | UPAH | | | | |
| | Pekerja | 0,300 | O.H | 85.000 | 25.500 |
| | Mandor | 0,015 | O.H | 130.000 | 1.950 |
| | Kepala Tukang | 0,015 | O.H | 110.000 | 1.650 |
| | Tukang Batu | 0,150 | O.H | 100.000 | 15.000 |
| | | | | Jumlah | 44.100 |
| B | BAHAN | | | | |
| | Semen Portland | 10.224 | Kg | 1.937,50 | 19.809 |
| | Pasir pasang | 0,020 | m ³ | 223.450 | 4.469 |
| | | | | Jumlah : | 24.278 |
| | | | | Nilai HSPK | 68.378 |

Jenis Pekerjaan : Drainase
(Plesteran (1pc:1ps Tebal 15 mm))

Satuan m²

Tabel 6. 21. HSPK Mojokerto 2016 Pekerjaan Pelesteran 1pc:1ps
Tebal 15 mm

| No | Komponen | Sat | Koef. | Harga Satuan (Rp) | Jumlah Harga (Rp) |
|----|-------------------|-------|----------------|-------------------|-------------------|
| A | BAHAN | | | | |
| | Thermoplastic | 0,540 | Kg | 31.000 | 16.740 |
| | Glassbeads | 0,072 | m ³ | 28.500 | 2.052 |
| | Ongkos Pengecatan | 1.00 | m ³ | 8.712,50 | 8.712,50 |
| | | | | Jumlah : | 27.504,50 |
| | | | | Nilai HSPK | 27.504,50 |

Jenis Pekerjaan : Finishing (**Mobilisasi**)
Satuan m²

Tabel 6. 22. HSPK Mojokerto 2016 Pekerjaan *Finishing* (mobilisasi)

| No | Komponen | Sat | Koef. | Harga Satuan (Rp) | Jumlah Harga (Rp) |
|----|------------|-----|-------|-------------------|-------------------|
| | Mobilisasi | - | - | - | 10.000.000 |
| | | | | Jumlah : | 10.000.000 |
| | | | | Nilai HSPK | 10.000.000 |

Tabel 6. 23. Analisa Harga Satuan dan Upah

| ANALISA HARGA SATUAN DAN UPAH | | | |
|--------------------------------------|-----------------------|----------------|--------------------------|
| No | Komponen | Satuan | Harga Satuan (Rp) |
| A. UPAH | | | |
| 1 | Mandor | Orang Hari | 130.000 |
| 2 | Kepala Tukang | Orang Hari | 110.000 |
| 3 | Tukang | Orang Hari | 100.000 |
| 4 | Tukang Batu | Orang Hari | 100.000 |
| 5 | Tukang Besi | Orang Hari | 100.000 |
| 6 | Tukang Kayu | Orang Hari | 100.000 |
| 7 | Tukang Cat | Orang Hari | 100.000 |
| 8 | Operator Alat Berat | Orang Hari | 110.000 |
| 9 | Pembantu Operator | Orang Hari | 85.000 |
| 10 | Pekerja | Orang Hari | 85.000 |
| B BAHAN / MATERIAL | | | |
| 1 | Batu Kali Pecah 15/20 | Kg | 180.850 |
| 2 | Semen Portland | Kg | 1.937 |
| 3 | Pasir Pasang | m ³ | 223.450 |
| 4 | Aggregat Kasar | m ³ | 261.373,19 |
| 5 | Aspal | Kg | 12.000 |
| 6 | Keroisene | Liter | 1.650 |
| 7 | Aggregat A | m ³ | 279.891,84 |
| 8 | Minyak Tanah | Liter | 14.650 |

| ANALISA HARGA SATUAN DAN UPAH | | | |
|--------------------------------------|---|----------------|--------------------------|
| No | Komponen | Satuan | Harga Satuan (Rp) |
| 9 | Kerikil | m ³ | 245.400 |
| 10 | Air Tawar | Liter | 150 |
| 11 | Besi Beton Ulir | Kg | 13.550 |
| 12 | Besi Beton Polos | Kg | 13.050 |
| 13 | Kawat Beton | Kg | 17.290 |
| 14 | Dolken Kayu Gelam dia. 8-10 cm, p=4m | Batang | 23.900 |
| 15 | Kayu Meranti Usuk 4/6,5/7 | m ³ | 5.740.300 |
| 16 | Paku Biasa | Kg | 21.000 |
| 17 | Besi Blat Strip | Kg | 13.500 |
| 18 | Pasir Pasang | m ³ | 223.450 |
| 19 | Pasir Beton | m ³ | 236.400 |
| 20 | Koral Beton | m ³ | 245.400 |
| 21 | Bata Merah | Buah | 950 |
| 22 | Seng Plat | Lebar | 50.750 |
| 23 | Jendela Nako | Daun | 25.850 |
| 24 | Kaca Polos Tb. 3 mm | m ² | 112.150 |
| 25 | Kunci Taman Biasa | Buah | 74.400 |
| 26 | Plywood 4 mm | Lembar | 126.350 |

| ANALISA HARGA SATUAN DAN UPAH | | | |
|--------------------------------------|------------------------------------|----------------|--------------------------|
| No | Komponen | Satuan | Harga Satuan (Rp) |
| 27 | Thermoplastic | Kg | 31.000 |
| 28 | Galssbeads | Kg | 28.500 |
| 29 | Kayu Papan | m ³ | 6.415.650 |
| 30 | Kayu Balok | m ³ | 5.132.500 |
| 31 | Paku 4-7 cm | Kg | 21.000 |
| 32 | Cat meni | Kg | 54.250 |
| 33 | Plamir Kayu | Kg | 36.600 |
| 34 | Amplas Kayu | Lembar | 4.800 |
| 35 | Kuas Cat | Buah | 11.650 |
| 36 | Cat Kayu | Kg | 77.500 |
| 37 | Batu Split Pecah Mesin 3/5 | m ³ | 245.400 |
| 38 | <i>Median concrete Barrier</i> | Unit | 1.500.000 |
| 39 | Seng Gelombang | Lembar | 78.930 |
| C | PERALATAN | | |
| 1 | <i>Concrete paver</i> | Jam | 637.808,89 |
| 2 | <i>Wheel loader</i> | Jam | 579.263,86 |
| 3 | <i>Excavator</i> | Jam | 708.337,30 |
| 4 | <i>Compressor 4000-</i> | Jam | 224.642,53 |

| ANALISA HARGA SATUAN DAN UPAH | | | |
|--------------------------------------|-----------------------------|---------------|--------------------------|
| No | Komponen | Satuan | Harga Satuan (Rp) |
| | 6500 L/M | | |
| 5 | Concrete Vibrator | Jam | 51.650,18 |
| 6 | <i>Water Tank 300-4500L</i> | Jam | 343.415,25 |
| 7 | <i>Batching Plan</i> | Jam | 846.746,59 |
| 8 | <i>Dump Truck</i> | Jam | 336.248,16 |
| 9 | <i>Tire Roller</i> | Jam | 603.287,59 |
| 10 | <i>Tandem Roller</i> | Jam | 372.124,41 |
| 11 | <i>Motor Grader</i> | Jam | 716.346,34 |

“Halaman ini sengaja di kosongkan”

BAB VII

PENUTUP

7.1 KESIMPULAN

Dari hasil analisa dan perhitungan dalam perencanaan Jalan Tol Surabaya-Mojokerto STA 8+000 – 11+000 maka dapat ditarik kesimpulan sebagai berikut :

1. Dari analisa kebutuhan kapasitas jalan didapat :
 - a. Jalan Tol Mojokerto – Kertosono di rencanakan dengan:
 -) Pembagian Lajur = 6 lajur 2 arah terbagi median (6/2 D)
 -) Labar Lajur = 3.6 m
 -) Lebar Jalur = 3 x 3.6 m
 -) Lebar Bahu Dalam = 1.5 m
 -) Lebar Bahu Luar = 3 m
 - b. Nilai derajat kejenuhan pada awal umur rencana (2018) adalah sebesar 0.15 sedangkan nilai derajat kejenuhan pada akhir umur rencana (2048) adalah sebesar 0.84. dengan syarat DS 8.5, maka perencanaan pembagian lajur 6/2 D sudah memenuhi, tidak memerlukan pelebaran jalan sampai akhir umur rencana.
 2. Dari hasil hitungan kontrol geometrik jalan dengan mengacu pada Pekerjaan Umum Direktorat Jendral Bina Marga (No.007/BM/2009) sebagai berikut :
 - a. Alinyemen Horizontal
 $R_{Rencana} = 6000 \text{ m} > R_{\min} = 365 \text{ m}$ (Memenuhi Syarat)
 - b. Alinyemen Vertikal
Berdasarkan analisa kelandaian trase jalan diperoleh sebesar 3%, jika kelandaian trase jalan < 5% maka dapat di asumsikan tidak mengalami lengkung cembung maupun lengkung cekung.
 3. Dari hasil perhitungan tebal perkerasan diperoleh :
 - a. Direncanakan jalan Tol Mojokerto – Kertosono Sesi II menggunakan Beton Bertulang Tanpa Tulangan (BBTT)

- b. Lapis pondasi bawah menggunakan Lean Concrete setebal 10 cm
 - c. Perhitungan tebal plat dengan metode Pd-T-14.2003 diperoleh ketebalan plat sebesar 29 cm dengan total prosentase fatik sebesar 0 % dan prosentase analisa erosi sebesar 5.7 %. Sedangkan perhitungan tebal plat dengan metode AASHTO 1993 diperoleh ketebalan plat sebesar 30 cm. Sehingga digunakan tebal perkarsan metode Pd-T-14-2003 sebesar 26 cm.
 - d. Perkerasan kaku menggunakan dowel (ruji) dengan diameter 36 mm, panjang 450 mm dan jarak antar dowel 300 mm.
 - e. Perkeran kaku menggunakan tiebar (batang pengikat) dengan diameter 16 mm, panjang 700 mm, dan jarak antar tiebar 750 mm.
 - f. Sebagai perkuatan untuk mengatasi keretakan digunakan wiremesh M5.
4. Berdasarkan analisa terhadap data-data yang dibutuhkan, hitungan lalu lintas rencana, spesifikasi Jenis Kendaraan, parameter desain tebal perkarsan, tingkat perencanaan, analisa penerimaan desain, dan kondisi drainase. Dapat disimpulkan bahwa terdapat perbedaan cara perhitungan antara metode AASHTO 1993 dan Pd-T-14-2003, metode AASHTO 1993 membutuhkan CBR tanah dasar dan Modulus elastisitas Beton sedangkan Pd-T-14-2003 membutuhkan CBR tanah dasar efektif dan kuat tarik lentur beton. Faktor lajur dan arah memiliki nilai koefiseien yang berbeda pada Metode AASHTO 1993 sedangkan pada Pd-T-14-2003 faktor dan arah hanya memiliki satu nilai yang sama. Parameter desain metode AASHTO 1993 adalah Reability dan Serviceability sedangkan Pd-T-14-2003 CBR tanah efektif. Metode AASHTO 1993 menggunakan tingkat reabilitas sebagai *safety factor* sedangkan Pd-T-14-2003 F_{KB} (Faktor Keamanan Beban). Metode AASHTO 1993 menggunakan nilai kumulatif beban kendaraan dalam

perencanaan tebal perkerasan dengan memperhitungkan kondisi drainase sedangkan metode Bina Marga Pd-T-14-2003 dalam perhitungan ketebalannya menganalisa setiap beban jenis kendaraan dan tanpa memperhitungkan kondisi drainase.

5. Dari hasil perhitungan dimensi saluran drainase diperoleh:
 - a. Saluran Tepi
Saluran menggunakan materil pasangan batu kali 15/20 dengan plesteran 15 mm berbentuk persegi dengan dimensi $b = 1\text{ m}$ dan $H = 1\text{ m}$
 - b. Saluran tengah
Saluran menggunakan materil pasangan batu kali 15/20 dengan plesteran 15 mm berbentuk persegi dengan dimensi $b = 0.5\text{ m}$ dan $H = 0.6\text{ m}$
6. Total Rencana anggaran biaya untuk perencanaan jalan tol Mojokerto – Kertosono sesi II untuk STA 8+000 – 11+000 sebesar Rp 87.011.114.545.76

7.2 SARAN

1. Perencanaan menggunakan Metode Pd-T-14-2003 menggunakan bantuan nomogram sehingga untuk penggeraan membutuhkan ketelitian, atau dapat dengan mengubah nomogram tersebut menjadi persamaan sehingga dapat memudahkan proses penggeraan.
2. Perencanaan tebal perkerasan dan lebar lajur pada perencanaan tugas akhir ini hanya sampai tahun 2048, maka setelah tahun 2048 perlu diadakan evaluasi ulang mengenai penambahan lajur atau tebal perkerasan yang digunakan.
3. Perlu dilakukan pula evaluasi pelebaran saluran tepi dan tengah setelah berakhir umur rencana, menggunakan data curah hujan yang lebih *update*.

“Halaman ini sengaja di kosongkan”

DAFTAR PUSTAKA

Departemen Pekerjaan Umum Direktorat Jenderal Bina Marga. 2009. “*Perencanaan Geometrik Jalan Bebas Hambatan untuk Jalan Tol*”. Jakarta.

Directorate General Of Highway, ministry Of Public Work, Japan International Agency (JIKA). 2007. “*The Final Report, The Study on Public-private partnership Scheme for Trasns Java Toll Road in Indonesia*”.

Departemen Pekerjaan Umum Direktorat Bina Marga. 2014. “*Pedoman Kapasitas Jalan Indonesia (PKJI)* ”. Jakarta.

Departemen Pekerjaan Umum Direktorat Jenderal Bina Marga. 2003. “*Perkerasan Beton Semen Pd-T-14-2003*”. Jakarta

AASHTO, American Assosiation of State Highway and Trasportation Officials. 1993. “*Guide for Design of Pavement Structures*”.

Badan Standarisasi Nasional. 1994. “*Tata Cara Perencanaan Drainase Jalan*”. Jakarta.

Departement Pekerjaan Umum Kota Mojokerto. 2014. “*Harga Satuan Pokok Kegiatan (HSPK)*”. Mojokerto.

“Halaman ini sengaja di kosongkan”

LAMPIRAN

BIODATA PENULIS



Penulis bernama Eka Indriani, lahir di Surabaya, 17 Desember 1995. Penulis telah menempuh pendidikan formal di SD Muhammadiyah 5 Surabaya, SMP Negeri 4 Surabaya dan SMA Negeri 1 Surabaya. Setelah lulus, penulis melanjutkan pendidikan pendidikan di Diploma III Teknik Infrastruktur Sipil Fakultas Vokasi Institut Teknologi Sepuluh Nopember pada tahun 2014 dengan NRP 3114030007. Penulis mengambil konsentrasi studi Bangunan Transportasi. Penulis pernah aktif dalam beberapa

organisasi Mahasiswa yaitu HMDS (Himpunan Mahasiswa Diploma Teknik Sipil ITS). Selain itu penulis juga aktif dalam berbagai kepanitiaan yang ada selama menjadi mahasiswa di Institut Teknologi Sepuluh Nopember. Penulis juga pernah mengikuti Seminar dan kuliah Tamu baik yang diadakan oleh fakultas, himpunan, maupun luar Institut. Penulis pernah mengikuti kerja Praktek pada proyek PU Bina Marga Provinsi Jawa Timur pada proyek “Preservasi dan rekontruksi Jalan Gempol – Pasuruan – Probolinggo”. penulis bisa dihubungi melalui email indrianieka17@gmail.com

Assalamualaikum Wr. Wb

Alhamdulillah, dengan kerja keras selama hampir 6 bulan ini akhirnya kami dapat menyelesaikan tugas akhir ini. Semoga kedepannya tugas akhir yang kami kerjakan ini dapat memberikan manfaat untuk para pembaca,

disini saya ingin mengucapkan terikasih kepada pihak pihak yang terkait karena dengan bantuan mereka tugas akhir dapat terselesaikan.

Kami mengucapkan banyak terima kasih kepada :

1. Bapak Ir. Sulchan Arifin M. Eng , selaku dosen pembimbing kami
2. Bapak Ir Dunat Indartmo, ST. MT , selaku dosem penguji kami
3. Dr. Machsus, ST. MT, selaku dosen penguji kami
4. Bapak Ngadari, Sp.d dan ibu Isnani Amd.Kep, selaku orang tua saya yang senantiasa memberikan dukungan baik moril maupun materil.
5. Dinda R. Sumbayak, selaku kakak senior saya yang banyak memberikan masukan – masukannya.
6. Ahmad Faqihul M., selaku patner TA saya yang banyak membantu dan mensuport saya.
7. Teman – teman BT 2014 yang saling mendukung satu sama lain, semoga tetap kompak selalu.

Demikian, mohon maaf atas segala kerukangan dalam tugas akhir ini. Semoga dapat dijadiakan pembelajaran agar kedepannya tidak menjadi lebih baik lagi.

Wassalamualaikum. Wr.Wb .

BIODATA PENULIS



Penulis bernama lengkap Ahmad Faqihul Muqodda. Lahir di Bangkalan Madura, 20 Juni 1996 merupakan anak bungsu dari 2 bersaudara. Penulis telah menempuh pendidikan format TK YKK Bangkalan, SDN Bancaran 02 Bangkalan, SMPN 1 Bangkalan, dan SMAN 4 Bangkalan. Setelah menempuh pendidikan SMA, penulis melanjutkan pendiidikan di jurusan D III Teknik Sipil Departemen Teknik Infrastruktur Sipil Fakultas Volkasi ITS pada tahun 2014 dan terdaftar

dengan NRP. 3114030022. Penulis mengambil konsentrasi studi di Bangunan Trasportasi. Penulis juga mengikuti kerja praktek di PU Jalan Nasional pada Proyek Reservasi dan Rekontruksi Jalan Gempol-Pasuruan-Probolinggo. Selama studi 3 tahun penulis dapat menyelesaikan tugas akhir terapan ini dengan judul perencanaan ulang jalan Tol MOKER Sesi II Pada STA 8+000 – 11+000 menggunakan perkeraaan kaku metode AASHTO 1993 dan Pd-T-14-2003.

Penulis bisa dihubungi di faqihulm20@gmail.com

Alhamdulillaah walaaila hailAllah Allahuakbar

Puji syujur kehadirat Allah telah memberi kelancaran dalam penulisan tugas akhir ini. Semoga tugas ini bermanfaat dan diberkahi Allah S.W.T.

Saya mengucapkan terimaksih kepada pihak pihak yang telah support dan membantu ikhtiar pengerjaan tugas akhir ini yaitu

1. Kedua orang tua Moh. Makhrus S.Pd., M.Si dan Atik Zainab S.Pd., M.Si yang telah memberikan support dan doa restu dalam penulisan tugas akhir ini alhamdulillah berhasil pak, buk.
2. Dosen pembimbing saya Bapak Ir. Sulchan Arifin., M.Eng yang telah membimbing dan memberi ilmu kepada saya sehingga tugas akhir bisa terselesaikan. Terimakasih pak semoga Allah senantiasa memberi keberkahan, syafaat dan kesehatan untuk bapak. Aamiin.
3. PT. Hutama Karya Infrastruktur dan PT. Cipta Strada yang telah berkenan memberikan data-data untuk support tugas akhir saya. Saya hanya bisa mendoakan semoga Allah senantiasa memberikan kelapangan rizki dan kerberkahan perusahaannya. Semoga perusahaan tersebut dapat memberi kebermanfaatan untuk masyarakat.
4. Teman teman bangunan trasportasi 2014 yang telah support dan saling mendoakan semoga kita semua menjadi mahasiswa yang dapat menjawab permasalahan-permasalahan dunia dan meberikan kerbermafaatan untuk masyarakat.
5. Teman teman DS 35 yang telah support sekses semua rek yaaa ... barakallahu
6. Partner TA Eka Indriani sudah menyelesaikan TA ini. Semoga barokah yaa aamiin
7. Jamaah Masjid Al-Azhar (JMAA) yang telah membantu membentuk jadi diri ini. Ya allah berkah dan lapangkan ilmu dalam majelis majelis JMAA terus erkembang

dakwah dakwah kreatif dan menciptakan pemuda qur'ani.
Aaamiin.

8. Diploma Sipil Champion telah memberikan banyak ilmu manajemen dan pengembangan prestatif di kampus ITS MANYAR. Semoga barokah yaaa...
9. Terakhir terimakasih kepada semua pihak-pihak yang telah support pengerjaan tugas akhir ini dan terimakasih kepada pembaca maaf yaa kalau ini belum sepurna semoga bermanfaat.

Jazakumullahu khairan katshiran ...

